

FONDATION POUR FAVORISER
LES
RECHERCHES SCIENTIFIQUES EN AFRIQUE

ETUDES DU CONTINENT AFRICAIN

FASCICULE 2

**MONOGRAPHIE
DES DERBIDAE AFRICAINS**

(HOMOPTERA-FULGOROIDEA)

PAR

HENRI SYNAVE (Bruxelles)



BRUXELLES

1973

FONDATION POUR FAVORISER
LES
RECHERCHES SCIENTIFIQUES EN AFRIQUE

ETUDES DU CONTINENT AFRICAIN

FASCICULE 2

**MONOGRAPHIE
DES DERBIDAE AFRICAINS**
(HOMOPTERA-FULGOROIDEA)

PAR
HENRI SYNAVE (Bruxelles)



BRUXELLES

1973

Etude éditée,
grâce à l'intervention financière du FONDS
DE LA RECHERCHE FONDAMENTALE COLLECTIVE (Bruxelles),
par la FONDATION
POUR FAVORISER LES RECHERCHES SCIENTIFIQUES EN AFRIQUE
Rue Defacqz 1 — 1050 Bruxelles — Belgique

MONOGRAPHIE
DES DERBIDAE AFRICAINS
(HOMOPTERA-FULGOROIDEA)

PAR

HENRI SYNAVE (Bruxelles)

AVANT-PROPOS

Les DERBIDAE africains n'ont pas fait, jusqu'à ce jour, l'objet d'une étude d'ensemble. C'est dans le but de combler cette lacune que nous avons entrepris la réalisation du présent travail, basé sur l'étude des types ou paratypes des différentes espèces ainsi que sur un abondant matériel de diverses provenances :

1. Les récoltes effectuées : dans les Parcs Nationaux du Congo (Parc National Albert, Parc National de l'Upemba et Parc National de la Garamba); au Congo (Brazza) par MM. A. VILLIERS et A. DESCARPENTRIES; au Soudan par M. R. LINNAVUORI; au Nigeria par M. le Prof^r J. T. MEDLER; en République Centrafricaine par M. M. BOULARD.

2. Les collections de l'Institut royal des Sciences naturelles de Belgique, du Musée Royal de l'Afrique Centrale à Tervuren et de l'U.S. National Museum.

Nous nous sommes efforcé de multiplier le nombre des figures, estimant qu'une iconographie abondante est nécessaire pour restituer avec plus de précision certains détails qu'il serait malaisé de rendre par le texte.

La classification adoptée est basée sur celle qui a été proposée par FENNAH dans son travail intitulé « On the generic classification of DERBIDAE (FULGOROI-

Dans cette publication, l'appellation « Congo » doit être remplacée par « Zaïre », l'appellation « Parc National Albert (P.N.A.) » par « Parc National des Virunga (P.N.V.) ».

DEA) with description of new neotropical species » (Trans. Roy. Ent. Soc. London, 1952, vol. 103, 4, pp. 109-170).

Les tables des tribus et des genres ont été adaptées et transformées d'après cet auteur ainsi que d'après MUIR (Ent. Monthl. Mag., 1918, vol. 54, pp. 173-177, 202-206, 228-243).

Nous tenons à exprimer toute notre reconnaissance aux personnalités suivantes, qui nous ont apporté une aide appréciable soit en mettant à notre disposition le matériel typique conservé dans leurs Institutions, soit en nous confiant l'étude de matériaux qu'ils ont récoltés ou dont ils ont la garde et la responsabilité :

- M. P. BASILEWSKY, Chef de la Section d'Entomologie du Musée Royal de l'Afrique Centrale, Tervuren;
- M. M. BOULARD, Ecole Pratique des Hautes Etudes, Paris;
- M. J. DJABOLA, Narodni Museum V Praze, Prague;
- M. le D^r R. C. FROESCHNER, Smithsonian Institution, United States National Museum;
- M. le D^r W. J. KNIGHT, Department of Entomology, British Museum;
- M. R. LINNAVUORI, Raisio, Somersoja, Finlande;
- M. le D^r P. I. PERSSON, Naturhistoriska Riksmuseum, Stockholm;
- M. G. SCHMITZ, Musée Royal de l'Afrique Centrale, Tervuren;
- M. A. VILLIERS, Muséum National d'Histoire Naturelle, Paris.

INTRODUCTION

En 1918, MUIR partage les DERBIDAE en deux sous-familles, les ZORAIDINAE et les DERBINAE en se basant sur la réduction des ailes; il caractérise, en outre, les ZORAIDINAE par des élytres longs et étroits.

Dans son étude consacrée à la classification générique des DERBIDAE, FENNAH discute la classification proposée par MUIR et arrive à la conclusion que cette division en deux sous-familles ne peut être maintenue et ce, d'autant plus que la morphologie des genitalia présente une grande uniformité dans le groupe. Les DERBIDAE constituent une des plus importantes familles rattachées aux FULGOROIDEA et comptent environ 120 genres et 745 espèces décrits à ce jour. En ce qui concerne plus spécialement la faune africaine, toutes les tribus sont représentées, sauf les *Derbini*, par 19 genres dont un nouveau pour la Science (*Amania* gen. n.) et 134 espèces, dont 37 sont inédites et décrites ci-après.

Les caractères principaux définissant la famille sont les suivants :

Tête généralement comprimée latéralement; le vertex et surtout le front ont généralement des bords latéraux carénés, fortement relevés; dans de nombreux cas, les bords latéraux du front sont étroitement accolés sur la presque totalité de leur longueur; il n'y a jamais de processus céphalique mais, dans certains cas, la tête fortement comprimée peut très nettement dépasser le bord antérieur des yeux; ces derniers sont généralement très développés et, du fait de la réduction du vertex, peuvent constituer la partie la plus importante de la tête; les ocelles pairs sont situés sur les tempes, entre le bord du front et le bord antérieur de l'œil. Les antennes présentent un 1^{er} article annulaire très court et un 2^e qui peut être soit légèrement plus long que le premier, soit très développé et dépasser fortement le bord antérieur de la tête; à la base de l'antenne peut se développer un processus sous-antennaire lamellaire plus ou moins important. Le rostre, assez court, a un dernier article très petit, globuleux. Le pronotum est court au milieu, à bord postérieur très profondément et anguleusement échancré; il présente souvent une carène médiane nette et les carènes latérales peuvent fortement se relever sur les épaules et former avec les processus sous-antennaires, une sorte de cupule. Le scutellum est très développé, convexe (du moins en sa partie antérieure) et présente généralement trois carènes; ces dernières peuvent s'estomper et même pratiquement disparaître. Les tegulae sont présentes. Les élytres sont de dimensions variables mais toujours assez longs; dans certains cas, ils dépassent à peine l'abdomen (*Malenia*) et dans d'autres ils le dépassent de plusieurs fois sa longueur (*Zoraida*, *Proutista*, etc.); ils peuvent également être fort larges (*Levu*); le clavus peut être soit ouvert, soit fermé et dans ce dernier cas, le tronc commun des nervures clavales *CU12* dépasse l'apex et rejoint la série de transversales; *Sc*, *R* et *M* forment un tronc commun plus ou moins long à

la base; *M* présente généralement de 4 à 6 secteurs pouvant être tous simples ou bien dont 1, 2 ou 3 sont bifurqués; *Cu* a 2 branches dont la 2^e, *Cu2*, peut soit atteindre le bord de l'élytre, soit ne pas l'atteindre. Les ailes sont soit normalement développées, soit fortement réduites. Les pattes sont longues et minces; les tibias postérieurs présentent souvent 1 ou 2 petites épines, dont une sous l'articulation fémoro-tibiale.

TABLE DES TRIBUS

1. Elytres avec clavus ouvert, rarement fermé (*Kamendaka*); dans ce dernier cas, *Cu2* n'atteint pas le bord ^{apical}postérieur de l'élytre 2
- Elytres avec clavus fermé; *Cu2* atteignant le bord ^{apical}postérieur de l'élytre ou bien rejoignant la transversale située après l'apex du clavus en formant plus ou moins un angle droit CENCHREINI, p. 116.
2. Ailes ne dépassant pas le milieu des élytres, étroites ou réduites, avec organe stridulatoire sur le lobe anal réduit 3
- Ailes développées, larges, dépassant la moitié de la longueur des élytres ... 4
3. Vu de face, le bord inférieur des yeux n'atteignant pas la base du clypéus. Elytres avec cellule sous-costale longue et étroite ZORAIDINI, p. 7
- Vu de face, le bord inférieur des yeux atteignant la base du clypéus. Elytres avec cellule sous-costale courte SIKAIANINI, p. 112.
4. Elytres plus de 2,5 fois plus longs que larges; cellules apicales (au moins celles de *M*), courtes OTIOCERINI, p. 183.
- Elytres à peine 2 fois plus longs que larges; cellules apicales très longues. Ailes également très larges RHOTANINI, p. 215.

Tribu ZORAIDINI

Front étroit, généralement fort comprimé, à bords latéraux pouvant s'accoler sur une grande partie de leur longueur. En vue de face, le bord inférieur des yeux n'atteint pas la base du clypéus. Pas de processus sous-antennaires; 2^e article des antennes long et étroit. Elytres longs et étroits, de 3 à 5 fois plus longs que larges, avec une moyenne de 3,5 fois; cellule sous-costale longue et étroite; clavus ouvert, le tronc commun des nervures clavales rejoignant la série de transversales au-delà de l'apex du clavus; *M* avec 4 à 6 secteurs tous simples ou bien dont 1 ou 2 sont bifurqués (chez *Lydda*, *Diostrombus* et *Proutista*, les secteurs sont simples, chez *Helcita* et *Pamendaga* le 3^e est bifurqué; chez *Zoraida*, seul le 1^{er} est bifurqué et chez *Stenopeggia*, le 1^{er} et le 3^e); *Cu* avec 2 branches.

TABLE DES GENRES.

1. Sur les élytres, *M* présente 6 secteurs (rarement 7) qui sont tous simples . 2
- *M* avec 4 à 6 secteurs, dont 1 au moins est bifurqué 4
2. Tête, avec les yeux, aussi large ou plus large que le thorax
Lydda WESTWOOD, p. 8.
- Tête plus étroite que le thorax 3

3. Ailes beaucoup plus courtes que la moitié de la longueur des élytres, apex aigu *Diostrombus* UHLER, p. 23.
 — Ailes aussi longues ou presque, que la moitié de la longueur des élytres, apex arrondi *Proutista* KIRKALDY, p. 19.
4. *M* avec 6 secteurs dont seul le 3^e est bifurqué 5
 — *M* avec 5 à 6 secteurs dont le 1^{er} est bifurqué, avec 3 à 6 branches atteignant le bord de l'élytre 6
 — *M* avec 4 secteurs dont le 1^{er} et le 3^e sont bifurqués
Stenopeggia FENNAH, p. 81.
5. Tête, vue de profil, coniquement saillante vers l'avant
Helcita STÅL, p. 78.
 — Tête, vue de profil, non coniquement saillante vers l'avant
Pamendaga DISTANT, p. 66.
6. 1^{er} secteur de *M* avec 4 à 6 branches
Zoraida s. g. *Neozoraida* MUIR, p. 88.
 — 1^{er} secteur de *M* avec 3 branches 7
7. Antennes cylindriques ou légèrement aplaties
Zoraida s. g. *Zoraida* KIRKALDY, p. 93.
 — Antennes larges et aplaties *Zoraida* s. g. *Peggiopsis* MUIR, p. 91.

1. — Genre **LYDDA** WESTWOOD. *Fab*

WESTWOOD, J. O., Proc. Linn. Soc. Lond., I, p. 84.

Tête, avec les yeux, aussi large ou plus large que le thorax. Vertex de forme trapézoïdale, un peu plus large que long. Front pouvant être très étroit, mais ses bords latéraux ne se soudant pas et laissant toujours une partie du disque visible. Elytres généralement 3,5 fois plus long que larges; clavus ouvert, le tronc commun formé par la réunion de *C11* et *C12* rejoint *Cu2* au niveau de la transversale entre *Cu1* et *Cu2*; *M* avec 6 secteurs dont aucun n'est bifurqué; cellule médiane basale allongée. Ailes ne dépassant pas la moitié de la longueur des élytres.

Espèce-type : *Lydda elongata* WESTWOOD (Australie). *Fabr*

TABLE DES ESPECES.

1. Pronotum et scutellum jaunes, marqués de brun foncé ou de noir (taches ou bandes) 2
 — Pronotum et scutellum de coloration différente 3

2. Pronotum jaune, avec tache brun foncé derrière les yeux. Scutellum jaune, sauf les parties extérieures aux carènes latérales qui sont brun foncé. Elytres hyalins, avec marques brunes suivantes : cellules radiale et médiane basale, 6 ou 7 grandes taches dans la cellule costale, une dans l'angle formé par la réunion des nervures clavales et une autre dans celui formé par leur tronc commun et la suture clavale; bifurcations des branches de *M* et nervures transversales ennuagées de brun *L. annetti* (MUIR), p. 9.
- Pronotum jaune; une large bande longitudinale noire entre le bord postérieur des yeux et l'angle postérieur correspondant du pronotum; quelques points jaunes le long des carènes latérales. Scutellum jaune au milieu, noir latéralement; 2 points noirs au milieu, de part et d'autre de la carène médiane; 2 petites taches triangulaires brunâtres contre le bord postérieur du pronotum *L. woodi* MUIR, p. 11.
3. Elytres avec taches brunes, plus ou moins foncées 4
- Elytres sans taches foncées; les cellules costale et sous-costale sont légèrement plus foncées que le reste de l'élytre 5
4. Une tache sur l'apex du clavus, comprise entre le bord sutural et *Cu2*, ainsi que la moitié antérieure de la cellule sous-costale, sont brunâtres; nervures transversales et bifurcations des secteurs de *M* ennuagées de brun
L. hargreavesi MUIR, p. 13.
- Pas de tache foncée sur l'apex du clavus; une assez grande tache brune occupant la partie médiane de la cellule sous-costale et s'étendant sur la cellule costale jusqu'au bord; transversales ennuagées de brun
L. mayumbensis SYNAVE, p. 13.
5. Pronotum jaunâtre, avec une grande tache rouge sous les yeux et une plus petite de part et d'autre du milieu. Scutellum jaunâtre, avec 8 taches rouges dont 2 médianes sous le bord postérieur du pronotum, 2 plus grandes sur les angles latéraux et une série transversale de 4 avant l'angle postérieur ...
— Par taches rouges sur pronotum *L. cocos* MUIR, p. 15.
6. Apex du tube anal, chez le ♂, se prolongeant par 2 longues épines recourbées vers le bas (fig. 22) *L. lineatipes* MUIR, p. 17.
- En vue dorsale, l'apex du tube anal, chez le ♂, se terminant par 2 saillies latérales triangulaires (fig. 24) *L. eloeidis* MUIR, p. 18.

1. — *Lydda annetti* (MUIR).

(Fig. 1-6.)

MUIR, F., 1918, Entom. Monthl. Mag., 54, p. 176 *Diospolis*.

Front jaune vif, à bords latéraux fortement relevés, environ 2,5 fois plus long que large, à bord supérieur concave. Clypéus tricaréné, plus long que large (60 : 50); jaune vif entre les carènes, brun-noir sur les faces latérales. Rostre noir. Pattes jaunes. Antennes jaunes; 2^e article élargi vers l'apex, un peu moins de

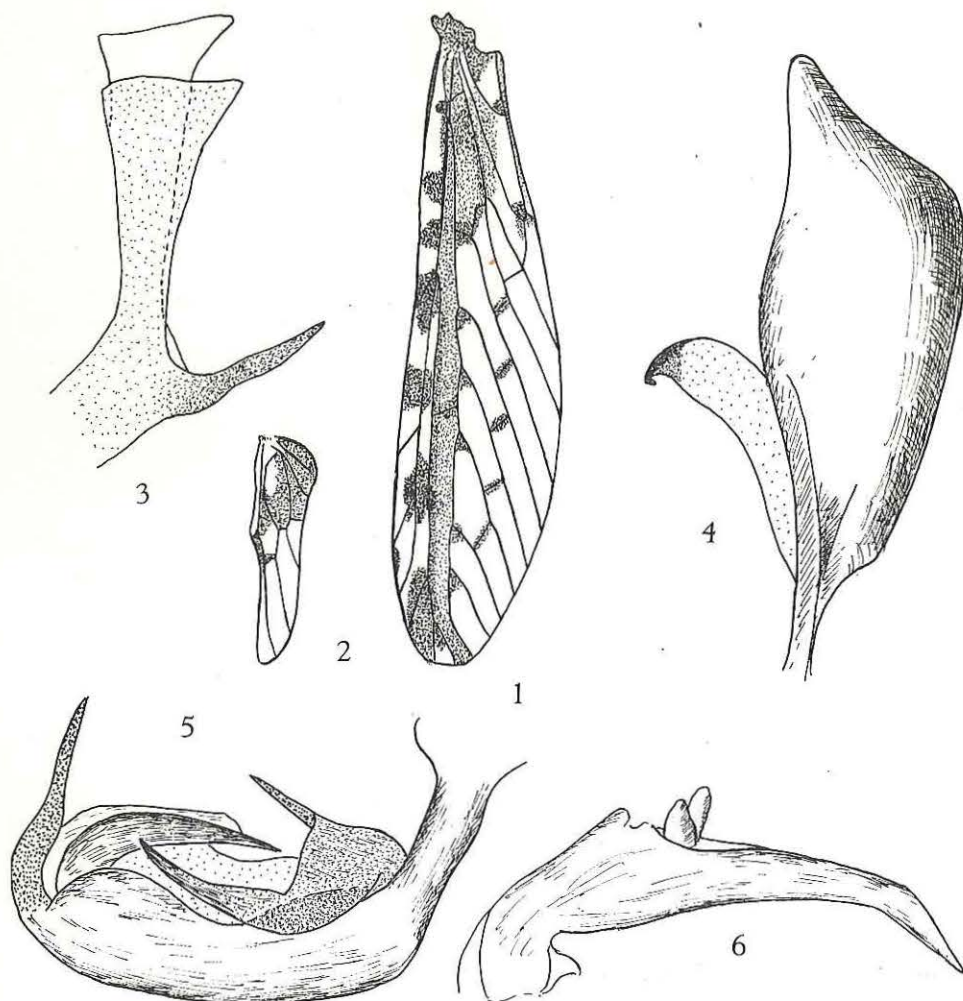


FIG. 1-6. — *Lydda annetti* (MUIR).

1 : Elytre; 2 : Aile; 3 : Pygophore, vue latérale; 4 : Paramère; 5 : Edéage, vue latéro-ventrale droite; 6 : Tube anal, vue latérale.

2 fois plus long que large. Joux brun-noir. Vertex jaune vif, trapézoïdal, ne dépassant pas le bord antérieur des yeux. Pronotum jaune vif, avec tache brun foncé derrière les yeux. Scutellum jaune vif, sauf les parties latérales extérieures aux carènes, qui sont brun foncé. Abdomen jaune, avec 2 bandes longitudinales dorso-latérales brun foncé, parsemées de petites taches jaunes; tube anal jaune vif, paramères noirs, à bord interne jaune; sternites abdominaux noirs, postérieurement bordés de jaune. Elytres (fig. 1) environ 4 fois plus longs que larges, hyalins, enfumés; cellules radiale et médiane basales, brunes; 6 ou 7 grandes taches brunes dans la cellule costale; bifurcations des secteurs de *M* et nervures

transversales ennuagées de brun; une tache brune dans l'angle formé par la réunion des nervures clavales et une autre dans celui formé par leur tronc commun et la suture clavale. Ailes atteignant un peu plus du $\frac{1}{3}$ de la longueur des élytres, marquées de brun à la base (fig. 2). Genitalia ♂, voir figures 3-6 (d'après un exemplaire du Musée Royal de l'Afrique Centrale).

Longueur totale : env. 10 mm.

Distribution. — Nigeria (Type); Sierra Leone; Congo (Léo).

Musée Royal de l'Afrique Centrale :

6 ex. : Rutshuru, 30.X.1937, J. GHESQUIÈRE; Tshuapa, Ikela, 1955, R.P. LOOTENS; Rutshuru, 1.285 m, 1-6.VI.1935, G. F. DE WITTE, 1401; Côte d'Ivoire, Bingerville, IX.1968, J. DECELLE; Terr. Rutshuru, 26.III.1937, Miss. Prophylactique.

Institut royal des Sciences naturelles de Belgique :

1 ex. : Eala, 19.VIII.1935, J. GHESQUIÈRE.

Institut des Parcs Nationaux du Congo :

Parc National Albert : 1 ex. : 5.X.1952, P. VANSCHUYTBROECK et J. KEKENBOSH, 1314-19.

Parc National de la Garamba : 1 ex. : Akam, 21.IV.1950, H. DE SAEGER, 441.

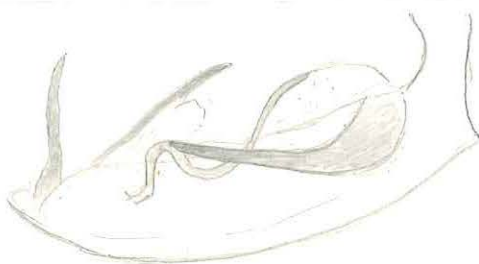
2. — *Lydda woodi* MUIR.

(Fig. 7.)

MUIR, F., 1926, Ann. Mag. Nat. Hist., sér. 9, vol. 18, p. 235.

Front jaune, environ 2,5 fois plus long que large. Clypéus noir, sauf la partie basale médiane qui est jaune. Rostre jaune, sauf le dernier article qui est noir. Joues noires. Antennes jaunes; 2^e article près de 2 fois plus long que large. Vertex jaune, un peu plus de 2 fois plus large à la base, que long au milieu; trapézoïdal, à bord antérieur droit et bord postérieur légèrement concave. La tête avec les yeux est aussi large que le pronotum. Pronotum jaune; une large bande longitudinale noire entre le bord postérieur des yeux et l'angle postérieur correspondant du pronotum, avec quelques petits points jaunes le long des carènes latérales; pas de carène longitudinale médiane. Scutellum avec 3 carènes nettes; jaune entre les carènes, avec 2 points noirs au milieu, situés de part et d'autre de la carène médiane; faces latérales noires; 2 petites taches triangulaires brunâtres contre le bord postérieur du pronotum. Pattes jaunes, sauf le dernier article des tarsi qui est noir. Elytres hyalins, clairs; sont brun-noir : toutes les nervures transversales et quelques taches dont une dans la bifurcation *CIIC12*, une autre entre la suture clavale et le tronc commun *CIIC12*, à l'endroit où ils se recoupent, et, enfin, 2 petites taches dans la cellule costale, entre la base et la bifurcation *Sc+R* (voir fig. 7). Tergites abdominaux noirâtres, avec taches jaunes. Plaque subgénitale de la ♀ saillante, jaune.

Longueur totale : env. 9 mm.



← Correspondent d'un
exemplaire identique n°
31211 et 11000
de Iboke (vic. Desmin)
(1974)

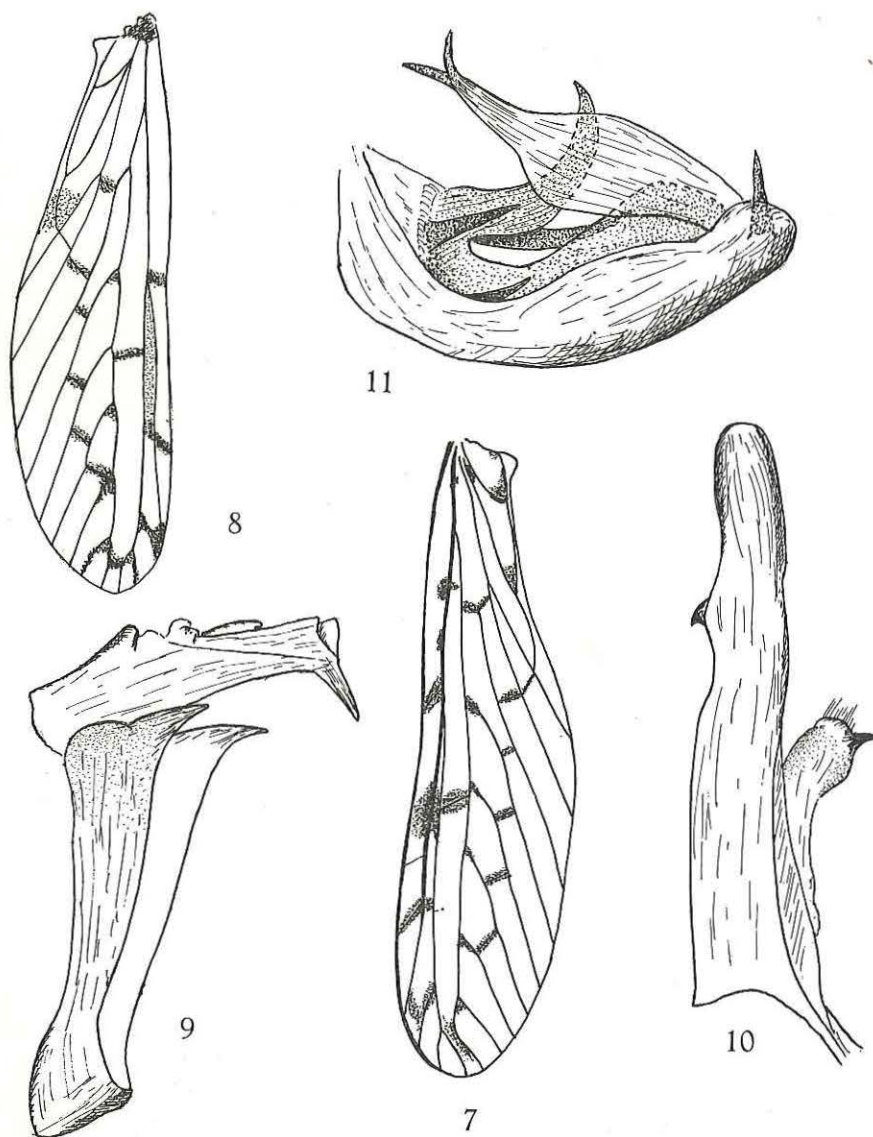


FIG. 7. — *Lydda woodi* MUIR : élytre.

FIG. 8-11. — *Lydda hargreavesi* MUIR.

8 : Elytre; 9 : Pygophore et tube anal, vue latérale; 10 : Paramère; 11 : Edéage, vue latéro-ventrale gauche.

Distribution. — Nyassaland (Type); Congo (Léo).

La description qui précède ainsi que les figures ont été faites d'après l'Holotype ♀.

Musée Royal de l'Afrique Centrale :

1 ex. : Uélé : Bayenga, terr. Wamba, 810 m, 8.VII.1956, R. CASTELAIN.

3. — *Lydda hargreavesi* MUIR.

(Fig. 8-11.)

MUIR, F., 1926, Ann. Mag. Nat. Hist. (9), 18, p. 236.

Tête, avec les yeux, aussi large ou légèrement plus large que le thorax. Vertex jaune verdâtre pâle, trapézoïdal, un peu plus large que long. Front blanchâtre, à bords latéraux parallèles fortement relevés et formant une gouttière. Clypéus sans carènes latérales; jaune, avec bande longitudinale médiane brun rougeâtre. Antennes jaunes, assez courtes, 2^e article environ 2 fois plus long que large. Pattes blanc jaunâtre, sauf les tibias antérieurs et médians qui sont ocre; tarse bruns. Rostre blanc jaunâtre sauf l'article apical, très court, qui est noir. Pronotum blanc jaunâtre, avec tache rougeâtre de part et d'autre de la carène médiane. Scutellum jaune verdâtre, à carènes plus pâles. Elytres (fig. 8) hyalins, à nervures brunes; les transversales ainsi que les bifurcations sont ennuagées de brun; une tache brunâtre à l'apex du clavus; cellule sous-costale brunâtre sur sa moitié basale; nervulation caractéristique du genre. Abdomen jaunâtre, plus ou moins fortement marqué de noir, notamment des points noirs sur les tergites et un sur les pleures du 8^e sternite. Genitalia ♂, voir figures 9-11.

Longueur totale : env. 9 mm.

Distribution. — Sierra Leone (Type); Congo (Léo).

Musée Royal de l'Afrique Centrale :

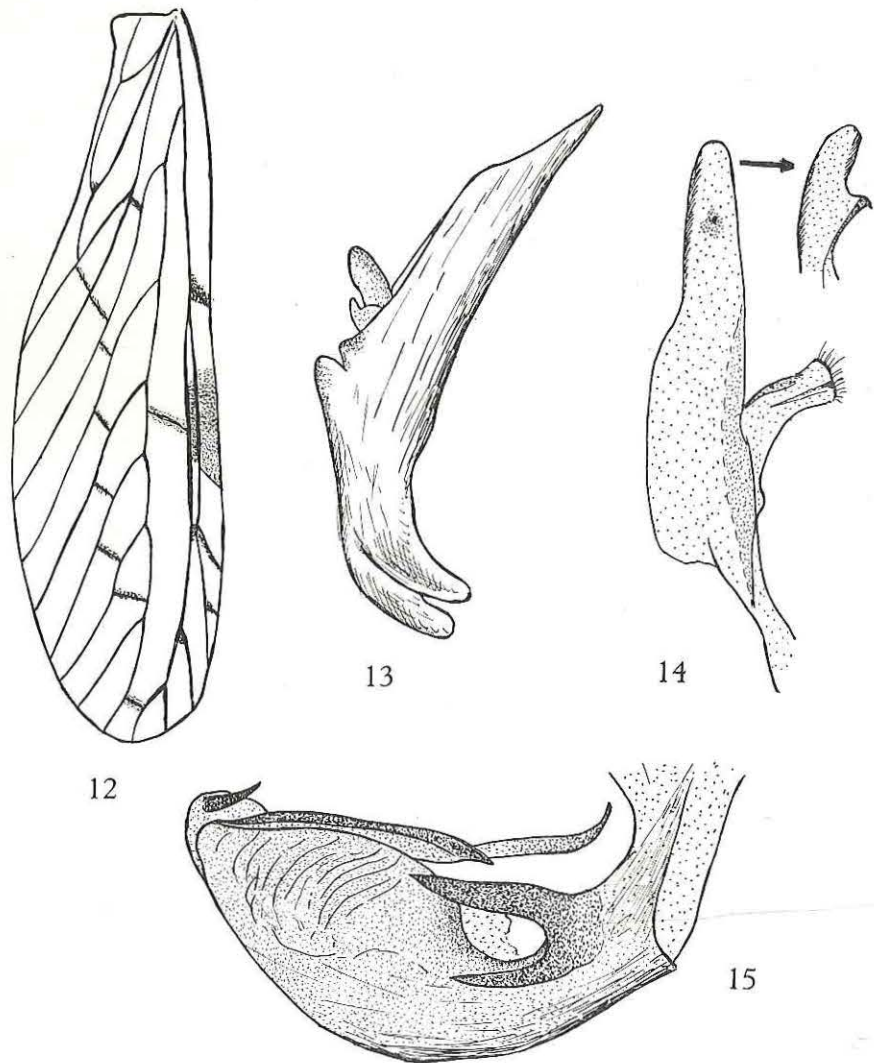
2 ex. : Uélé, Bayenga, terr. Wamba, 810 m, 10.V.1956, R. CASTELAIN; Yangambi, 1940, INEAC.

4. — *Lydda mayumbensis* SYNAVE.

(Fig. 12-15.)

SYNAVE, H., 1966, Bull. Inst. roy. Sci. nat. Belgique, t. 42, n° 31, p. 4, fig. 9-12.

Front blanc, long et étroit, environ 4 fois plus long que large, à bords latéraux fortement relevés, épaissis, très rapprochés l'un de l'autre, subparallèles. Clypéus ocre pâle, aussi long que le front, tricaréné. Rostre dépassant les hanches postérieures; derniers articles globuleux, noirâtres. Antennes courtes; 2^e article un peu moins de 2 fois plus long que large à l'apex; arista insérée dans une encoche apicale. Processus sous-antennaires absents. Tête, avec les yeux, aussi large que le thorax. Vertex blanchâtre, trapézoïdal, à bords relevés, séparé du front par

FIG. 12-15. — *Lydda mayumbensis* SYNAVE.

12 : Elytre; 13 : Tube anal, vue latérale; 14 : Paramère; 15 : Edéage, vue latéro-ventrale droite.

une carène; sa largeur à la base un peu supérieure à la moitié de celle d'un œil. Pronotum jaunâtre, avec une tache orangée de part et d'autre du milieu; bord postérieur très profondément échancré; carènes latérales très faibles; plaques pectorales non relevées. Scutellum jaune, avec 3 carènes nettes dont les latérales sont d'abord convexes, ensuite brusquement concaves. Tegulae orangées. Elytres (fig. 12) allongés, environ $3\frac{1}{2}$ fois plus longs que larges; hyalins, à nervures

brunes, avec une petite tache brun-noir sur la 1^{re} transversale de la cellule costale et peu après, une 2^e, plus grande, allongée, s'étendant dans la cellule sous-costale; nervures transversales plus ou moins ennuagées de brun; clavus ouvert, le tronc commun des nervures clavales rejoignant la série de transversales; *Cu* avec 2 branches atteignant le bord postérieur; *M* avec 6 secteurs simples (donc 7 branches en comptant l'extrémité du tronc principal); bifurcation *Sc+R* peu après l'apex du clavus. Abdomen ocre jaune, avec taches noires, ces dernières pouvant être réduites à quelques points. Pattes jaunâtres; tarsi antérieurs et médians, dernier article des tarsi postérieurs, brun foncé; tibia postérieurs non armés. Génitalia ♂, voir figures 13-15.

Longueur totale: env. 8 mm.

Distribution. — Congo (Léo); Nigeria.

Institut royal des Sciences naturelles de Belgique:

10 ex. (Type et Paratypes): Mayumbe, XII.1935, J. GHESQUIÈRE; 1 ex. Nigeria, Agbalu, W. State, 3 mar. 1973, J. T. MEDLER Coll.

Musée Royal de l'Afrique Centrale:

1 ex. (Paratype): Ikela, Tshuapa, IX.1956, R.P. LOOTENS.

5. — *Lydda cocos* MUIR.

(Fig. 16-19.)

MUIR, F., 1928, Ann. Mag. Nat. Hist. (10), I, p. 513, fig. 21 a-b.

Front jaunâtre, long et étroit, à bords latéraux fortement relevés et carénés. Clypéus tricaréné, à peu près de même longueur que le front; ocre, sauf la partie médiane comprise entre les carènes latérales, qui est rouge vif. La partie située entre la base des antennes et les bords latéraux du front est également rouge vif. Antennes jaunâtres; 2^e article environ 2 fois plus long que large, avec encoche apicale pour l'insertion de l'arista. Rostre jaune; article terminal globuleux, noir. Vertex trapézoïdal, à peu près aussi long que large à la base, séparé du front par une carène très nette, anguleusement brisée; base anguleusement échancrée. Pronotum jaunâtre, sans carène médiane, avec grande tache rouge sous les yeux et une plus petite de part et d'autre du milieu. Scutellum jaunâtre, nettement tricaréné; 8 taches rouges, dont 2 médianes sous le bord postérieur du pronotum, 2 plus grandes dans les angles scutellaires et une série transversale de 4 avant l'angle postérieur. Tegulae jaunâtres. Elytres hyalins, à nervures brunes; cellules costale et sous-costale légèrement jaunâtres; nervures transversales légèrement ennuagées de brun; *Cu* avec 2 branches, *M* avec 6 secteurs atteignant le bord de l'élytre; bifurcation *Sc+R* et celle du 2^e secteur de *M* au même niveau. Tergites abdominaux ocre, avec quelques petits points noirs de part et d'autre du milieu; sternites rougeâtres, sauf les 2 premiers visibles qui sont presque entièrement

noirs. Genitalia jaunes. Pattes jaunâtres; dernier article des tarsi noirâtre. Genitalia ♂, voir figures 16-19.

Longueur totale: env. 8 mm.

Distribution. — Sierra Leone.

La description qui précède est basée sur l'Holotype.

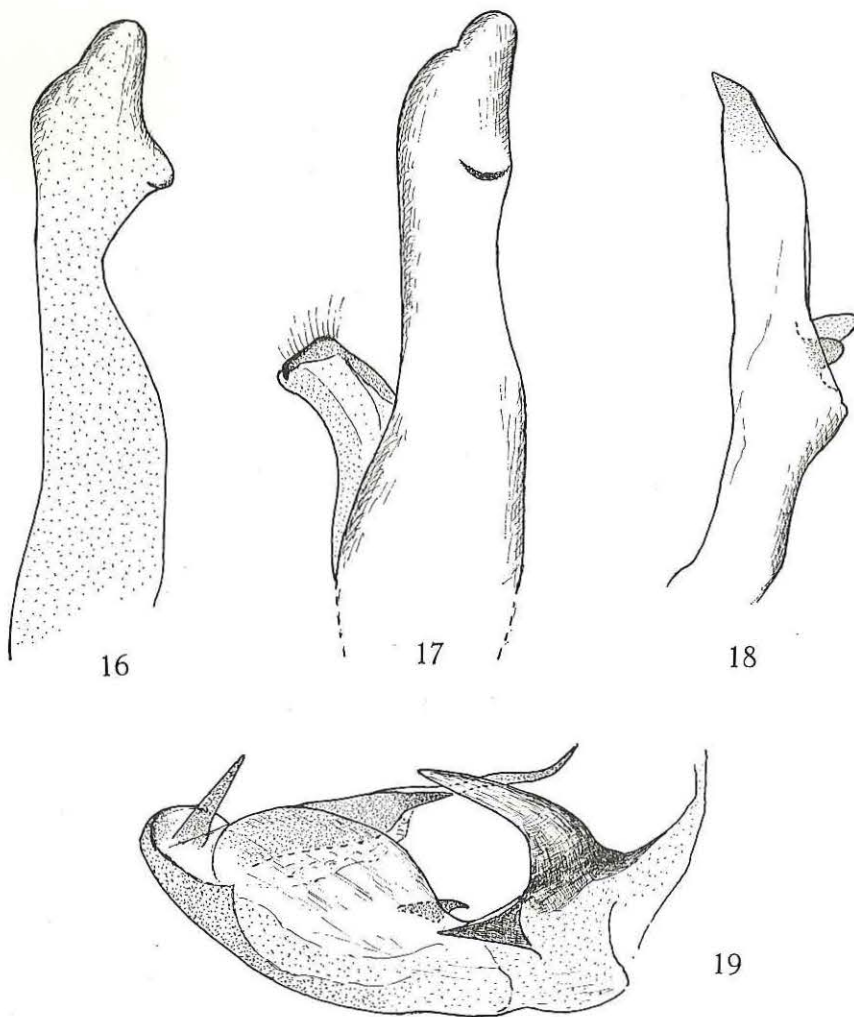


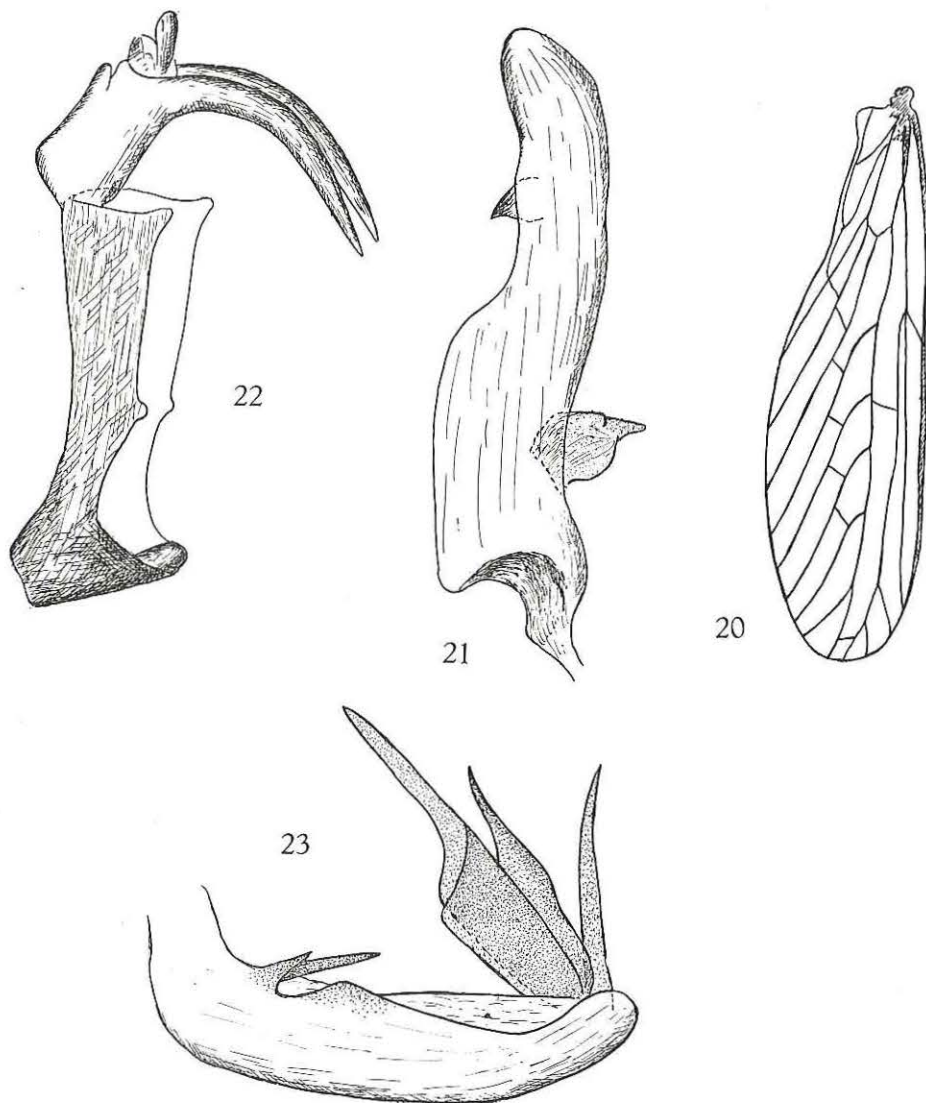
FIG. 16-19. — *Lydda cocos* MUIR.
16: Paramère; 17: Paramère, vu sous un autre angle; 18: Tube anal, vue latérale;
19: Edéage, vue latéro-ventrale droite.

6. — *Lydda lineatipes* MUIR.

(Fig. 20-23.)

MUIR, F., 1926, Ann. Mag. Nat. Hist. (9), 18, p. 235.

Tête plus large ou aussi large que le thorax. Vertex jaunâtre, trapézoïdal. Front brun, sauf l'extrême base qui est jaune; étroit, en forme de gouttière, à

FIG. 20-23. — *Lydda lineatipes* MUIR.

20: Elytre; 21: Paramère; 22: Pygophore et tube anal, vue latérale; 23: Edéage, vue latéro-ventrale gauche.

bords latéraux subparallèles très fortement relevés mais ne se touchant en aucun point; disque brun foncé, bords jaunes. Clypéus tricaréné, brun foncé, sauf la base de la carène médiane qui est ocre. Rostre jaune; article apical très court, brun foncé. Pattes jaunes, fémurs antérieurs et médians avec lignes longitudinales brun foncé. Antennes jaune sale, relativement courtes; 2^e article environ 1 1/2 fois plus long que large. Pronotum jaunâtre. Scutellum ocre, brun sur la moitié postérieure; carènes noirâtres. Elytres environ 3 1/2 fois plus longs que larges; hyalins, recouverts d'une pruinosité blanche; nervulation brune, caractéristique du genre (voir fig. 20). Genitalia ♂, voir figures 21-23.

Longueur totale : env. 9 mm.

Distribution. — Sierra Leone (Type); Côte d'Ivoire.

Musée Royal de l'Afrique Centrale :

3 ♀ : Côte d'Ivoire, Bingerville, 1-15.IV.1964, J. DECELLE; ibidem, XI.1963 et III.1964.

7. — *Lydda eloeidis* MUIR.

(Fig. 24-26.)

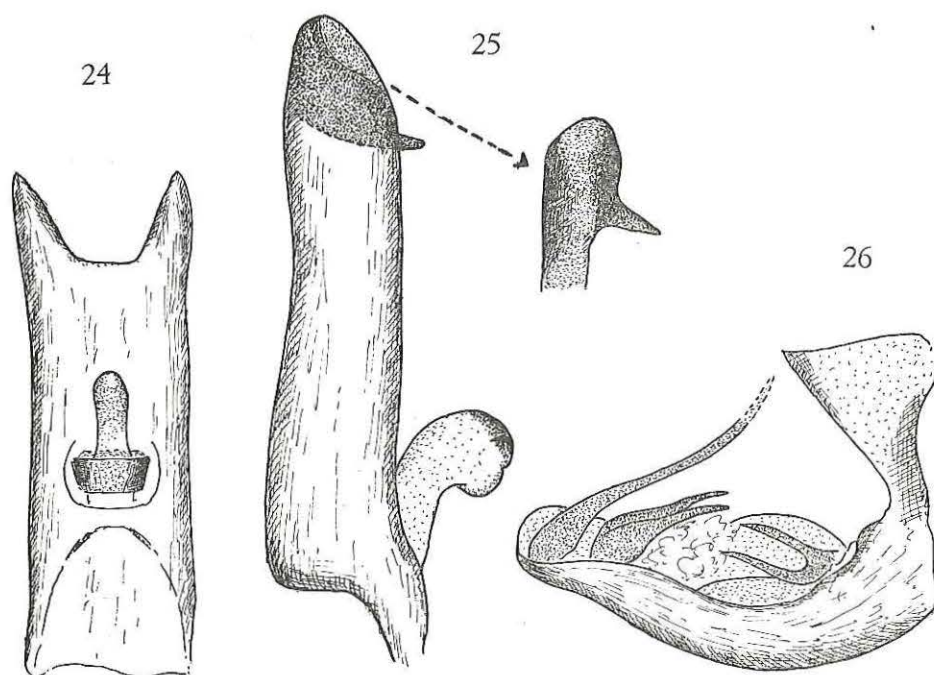
MUIR, F., 1928, Ann. Mag. Nat. Hist. (10), 1, p. 511, fig. 19 a.

Front brun foncé au milieu, environ 4 fois plus long que large; bords latéraux ocre, subparallèles, fortement relevés et carénés. Clypéus nettement tricaréné; brun foncé sauf une bande médiane comprise entre les carènes qui est brun clair. Rostre jaunâtre; article terminal globuleux, noir. Tête, avec les yeux, aussi large que le thorax. Vertex ocre, séparé du front par une carène transversale nette, environ 2 fois plus large entre les angles postérieurs que long au milieu, à bords latéraux légèrement sinués, convergents vers l'avant; bord postérieur concave. Yeux transverses, presque 2 fois plus larges que longs. Pronotum ocre, avec tache brun foncé contre le bord inférieur des plaques pectorales; pas de carène médiane. Scutellum ocre, environ 7 fois plus long que le pronotum au milieu, nettement tricaréné. Elytres hyalins, très légèrement brunâtres, à cellules costale et sous-costale plus foncées; *Sc* et *R* épaissies, se séparant au niveau du 2^e secteur de *M*; *M* avec 6 secteurs simples, donc 7 branches atteignant le bord de l'élytre; *Cu* avec 2 branches simples; clavus ouvert, tronc commun formé par *CII*, *CI2* rejoignant *Cu2* au niveau des nervures transversales. Abdomen ocre, les sternites noirâtres. Genitalia ♂ (fig. 24-26). Bords latéraux du pygophore anguleusement saillants; tube anal à bord apical profondément encoché, formant de ce fait 2 lobes triangulaires (fig. 24); édéage et paramères (fig. 25 et 26).

Longueur du corps : un peu plus de 3 mm; longueur de l'élytre : près de 8 mm.

Distribution. — Sierra Leone.

La description de même que les figures ont été faites d'après l'Holotype.

FIG. 24-26. — *Lydda eloeidis* MUIR.

24 : Tube anal, vue dorsale; 25 : Paramère; 26 : Edéage, vue latéro-ventrale droite.

2. — Genre **PROUTISTA** KIRKALDY.

KIRKALDY, F., 1904, Entom. 137, p. 279.

Front lamellaire, à bords latéraux étroitement accolés sur toute leur longueur; de ce fait, les yeux sont presque contigus. Clypéus plus long que le front, à bords latéraux carénés, avec carène médiane. Antennes plus courtes que le front; 2^e article dilaté vers l'apex. Tête plus étroite que le pronotum. Pas de processus sous-antennaires et carènes latérales du pronotum non dilatées. Scutellum fortement convexe, avec 3 carènes dont les latérales convergent vers l'arrière. Vertex petit, triangulaire. Elytres environ 3 fois plus longs que larges; clavus ouvert; tronc commun formé par les nervures clavales rejoignant *Cu2*; *M* avec 6 secteurs simples; cellule médiane basale longue et étroite. Ailes atteignant la $\frac{1}{2}$ de la longueur des élytres, à bord apical convexe.

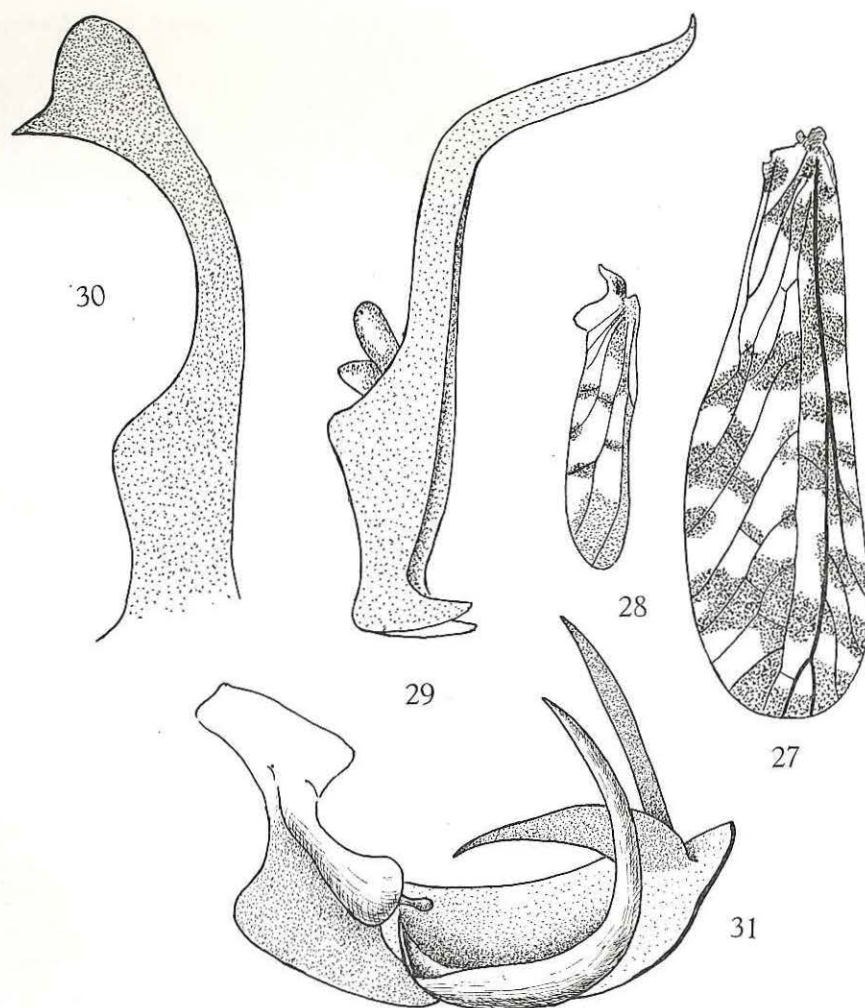
Espèce-type: *Proutista dentata* BUCKTON (Assam).

1. — *Proutista fritillaris* (BOHEMAN).

(Fig. 27-31.)

BOHEMAN, C. H., 1837, Handl. Svensk. Vet. Akad., 58, p. 227, pl. VII, fig. 8-9, *Derbe*.

Front jaunâtre, réduit à une lame séparant les yeux qui sont volumineux; vu de profil, il est convexe, peu saillant vers l'avant et présente 2 taches noires. Clypéus noir, avec 3 carènes nettes. Rostre jaune; article terminal subsphérique et

FIG. 27-31. — *Proutista fritillaris* (BOHEMAN).

27 : Elytre; 28 : Aile; 29 : Tube anal, vue latérale; 30 : Paramère; 31 : Edéage, vue latéro-ventrale gauche.

brun foncé. Le 1^{er} article des antennes brun, le 2^e jaunâtre, environ 2 fois, plus long que large. Vertex triangulaire, à bords latéraux dilatés et relevés; blanchâtre, sauf le disque qui est brun foncé. Pronotum noir, à carène médiane jaune; bord postérieur très profondément et anguleusement échancré; plaques pectorales noires. Scutellum très volumineux, formant une bosse saillante; noir, à carènes jaunâtres dont les latérales sont faibles et convergentes vers l'arrière; angle postérieur jaune. Elytres environ 3 fois plus longs que larges; hyalins, avec nombreuses taches brunes suivant figure 27; bifurcation *Sc+R* vers le milieu de l'élytre; *M* avec 6 secteurs simples dont le 1^{er} rejoint *Cu1* peu après la bifurcation de *Cu*; clavus ouvert. Ailes, voir figure 28. Pattes jaunes, sauf les fémurs antérieurs et médians qui sont noirs; dernier article des tarsi, brun. Segment pré-génital de la ♀ présentant en plus de 2 cornicules dirigés vers l'arrière, 3 petites saillies dont 1 médiane et 2 latérales. Genitalia ♂, voir figures 29-31.

Longueur totale : 9 mm.

Distribution. — Sierra Leone (Type); Guinée; Cameroun; Congo (Léo); Nyassaland; Uganda; Soudan; Nigeria; Tanganyka.

Institut des Parcs Nationaux du Congo :

Parc National de la Garamba: 179 ex.: II/gd/4, 26.VI.1952, H. DE SAEGER, 3706; II/gc/8, 10.VII.1952, H. DE SAEGER, 3765; Mabanga, 29.IX.1953, H. DE SAEGER, 4103; II/fd/17, 9.VII.1952, H. DE SAEGER, 4078; Ndelele/4, 18.VI.1952, H. DE SAEGER, 3678; II/gd/11, 4.IX.1952, H. DE SAEGER, 4036; II/gd/4, 8.VIII.1952, H. DE SAEGER, 3923; II/gd/4, 18.IX.1952, H. DE SAEGER, 4077; II/fd/18, 21.XII.1951, H. DE SAEGER, 2939; II/fd/9, 2.VII.1952, H. DE SAEGER, 3720; II/fd/17, 3.I.1952, H. DE SAEGER, 2991; Garamba/2 (Source), 6.VI.1952, H. DE SAEGER, 3583; II/gd/4, 22.VIII.1952, H. DE SAEGER, 3964; II/gd/4, 5.VII.1952, H. DE SAEGER, 3743; II/gc/10, 4.VIII.1952, H. DE SAEGER, 3878; II/gd/6, 19.VII.1952, H. DE SAEGER, 3952; PFSK 1/6, 30.VIII.1952, H. DE SAEGER, 3992; PFNK 12/9, 24.VII.1952, H. DE SAEGER, 3820; II/fd/17, 27.VIII.1952, H. DE SAEGER, 3983; PpK 8/9, 15.VII.1952, H. DE SAEGER, 3792; II/gc/7, 16.IX.1952, H. DE SAEGER, 4057; II/gc/8, 30.IV.1952, H. DE SAEGER, 3402; II/gc/11, 29.IV.1952, H. DE SAEGER, 3399; II/fd/18, 21.XII.1951, H. DE SAEGER, 2939; Dedeqwa, 17.V.1952, H. DE SAEGER, 3468; II/fd/17, 14.XII.1951, H. DE SAEGER, 2910; PpK 14/2, 1.V.1952, H. DE SAEGER, 3501; Makpe/8, 5.XI.1951, H. DE SAEGER, 2718; Utukuru/4, 22.VII.1952, H. DE SAEGER, 3811; II/gd/4, 31.VII.1952, H. DE SAEGER, 3859; II/fd/17, 3.I.1952, H. DE SAEGER, 2991; II/fd/17, 7.V.1952, H. DE SAEGER, 3431; II/gc/10, 29.IV.1952, H. DE SAEGER, 3401; II/fd/7'', 5.V.1952, H. DE SAEGER, 3424; II/hc/4, 31.V.1951, J. VERSCHUREN, 1849; II/gc/9, 20.X.1951, H. DE SAEGER, 2651; II/gd/4, 5.VII.1951, H. DE SAEGER, 2052; II/hd/4, 17.VII.1951, H. DE SAEGER, 2107; Akam, 19.V.1950, H. DE SAEGER, 528; I/o/1, 17.V.1950, H. DE SAEGER, 527; I/a/3, 17.IV.1950, H. DE SAEGER, 422; I/o/2, 15.V.1950, H. DE SAEGER, 524; II/gd/8, 20.VI.1951, H. DE SAEGER, 1947; II/gc/8, 9.IX.1952, H. DE SAEGER, 4042; I/o/1, 19.VIII.1950, G. DEMOULIN, 764; I/o/1, 17.V.1950, H. DE SAEGER, 527; I/o/2, 5.X.1950, G. DEMOULIN, 868; II/gd/4, 7.XI.1951, H. DE SAEGER, 2731; Makpe/8, 5.XI.1951, H. DE SAEGER, 2718; II/gd/4, 30.XI.1951, H. DE SAEGER, 2812; I/a/1, 26.VI.1950, G. DEMOULIN, 639; II/fd/17, 14.XI.1951, H. DE SAEGER, 2761; Ndelele K. 115, 3.XII.1951, H. DE SAEGER, 2842; II/fc/18, 12.X.1951, H. DE SAEGER, 2653; II/fc/6, 11.X.1951, H. DE SAEGER, 2756; II/hc/9, 28.IX.1951, H. DE SAEGER, 2491; II/gd/4, 20.VII.1951, H. DE SAEGER, 2134; II/fc/6, 13.VI.1951, H. DE SAEGER, 1911; II/gd/4, 6.VII.1951, H. DE SAEGER, 2055; II/fc/17, 25.IX.1951, H. DE SAEGER, 2471; II/hd/4, 6.XII.1951, H. DE SAEGER, 2861; II/fd/5, 23.VII.1951,

H. DE SAEGER, 2128; II/gc/6, 9.VIII.1951, H. DE SAEGER, 2243; II/gd/14, 6.V.1951, H. DE SAEGER, 1876.

Parc National Albert: 2 ex.: May-ya-Moto, 6-9.XI.1934, 950 m, G. F. DE WITTE, 729; P.N.A., 12.XII.1956, P. VANSCHUYTBROECK, 840 d.

Musée Royal de l'Afrique Centrale :

59 ex.: Tshuapa: Ikela, 1956, R.P. LOOTENS; Likere s. Lomela, VI.1936, J. GHESQUIÈRE; N. Sankuru: Lomela, 1955, HANOTIER; Thysville, 1.XII.1952, P. BASILEWSKY; Ubangi: Nouvelle Anvers, 9.XII.1952, P. BASILEWSKY; Escarp. Kabasha: Chambi, X.1933, Dr. DE WULF; Parc Albert, cratère Mugunga, 1933, Dr. DE WULF; Haut Uélé: Manda, III.1925, Dr. H. SCHOUTEDEN; Sankuru: Mt. Pemba (Gandajika), 7.II.1960, R. MARECHAL; Lulua: Kapanga, XI.1932, F. G. OVERLAET; Basoko, X.1948, P. L. G. BENOIT; Lualaba: Kalombo, 23.VI.1947, M. POLL; Tanganika: Moba, 780 m, II.1954, H. BOMANS; Tshuapa: Bokuma, 1954, R.P. LOOTENS; Kasenyi, 19.VIII.1937, H. J. BREDO; Cameroun: Nkolbisson, Dept. Nyong-Sanaga, IX.63, L. G. SEGERS Leg.

U. S. National Museum :

2 ex., Tangan. Territ., Ukerewe I., Father CONRADS.

Muséum National d'Histoire Naturelle (Paris) :

14 ex., Boukoko, M. BOULARD; s. poirier, 12.X.1966, M. BOULARD; Mbale, Rep. Centrafr., 13.I.1970, M. BOULARD; Boukoko, R.C.A., 28.I.1970, M. BOULARD; route Bagandou, s. cacao, 15.VI.1967, M. BOULARD.

2. — *Proutista tessellata* (WESTWOOD).

Incertae sedis.

WESTWOOD, J. O., 1851, Ann. Mag. Nat. Hist. (2), p. 209 *Derbe* (*Phenice*).

Nous ne connaissons pas cette espèce en nature et n'avons pu nous en procurer d'exemplaire. Décrite dans le genre *Derbe* (*Phenice*) par WESTWOOD, elle est reprise par WALKER en 1852 dans « List of Homopt. Ins. Suppl., p. 1137 » sous le genre *Phenice*. En 1918, dans Entom. Monthl. Mag., 54, p. 235, MUIR la comparant à *Phenice fasciolata* BOHEMAN, écrit que les élytres de ces deux espèces sont similaires mais que les processus sous-antennaires sont très petits et que, par conséquent, *P. tessellata* WESTWOOD est plus proche de *Dawnaria* DISTANT. Enfin, en 1928, ce même auteur, dans Ann. Mag. Nat. Hist. (10), I, p. 517, la place dans le genre *Proutista*.

En voici la description originale :

« *Piceo-nigra albo-variegata, carina angusta faciei, antennnis et promuscidis articulo penultimo longo albidis, mesonoto glabro carinis tribus gracillimis margineque postico albidis; alis omnibus nigris albo valde tessellatis, anticis plage magna communi triangulari alba versus basin marginis interni; cercis lateralibus analibus maris curvatis apice clavatis spinaque interna brevi terminatis.*

» *Expans. alar. antic. lin. 6 1/2.*

» *Hab. in Sierra Leone. Mus. Westwood* ».

3. — Genre **DIOSTROMBUS** UHLER.

UHLER, P. R., 1896, Proc. United States Nat. Mus., 19, p. 283.

DISTANT, W. L., 1906, Faun. Brit. India, 3, p. 305 *Drona*.

DISTANT, W. L., 1907, Ann. Mag. Nat. Hist. (7), 19, p. 404 *Camma*.

Front très étroit, à bords latéraux subparallèles, parfois presque accolés sur toute leur longueur. Pas de processus sous-antennaires. Clypéus tricaréné, les carènes latérales assez faibles. Vertex triangulaire, se prolongeant vers l'avant par les bords latéraux du front. Pronotum à bord postérieur très profondément et anguleusement échancré, avec ou sans carène médiane. Scutellum grand et convexe, avec 3 carènes qui peuvent être peu nettes et même disparaître. Antennes assez courtes, cylindriques, dont le 2^e article est environ 2 fois plus long que large. Elytres à clavus ouvert, le tronc commun des nervures clavales rejoignant la branche interne de *Cu*; cellule radiale très longue, avec une transversale vers le milieu; *M* avec 6 secteurs dont aucun n'est bifurqué (parfois, mais rarement 7). Ailes très courtes et étroites.

E s p è c e - t y p e : *Diostrombus politus* UHLER (Japon).

Certaines espèces du genre sont difficilement séparables si ce n'est par les genitalia ♂. Elles appartiennent au groupe *hancocki* caractérisé par un front plus ou moins anguleusement saillant au devant des yeux ainsi que par les élytres présentant soit une bande basale ou médiane brune, soit les deux. Si l'on se base uniquement sur les descriptions originales ainsi que sur le matériel typique, la distinction paraît aisée et s'établit comme suit :

1. Scutellum ocre, avec 8 taches noires *D. pseudohancocki* MUIR.
- Scutellum soit noir, soit ocre, soit des deux teintes mais ne présentant par les 8 taches noires 2
2. Elytres avec une bande transversale brune vers le milieu 3
- Pas de bande transversale brune sur le milieu des élytres 4
- Elytres entièrement brun foncé *D. obscurus* n. sp.
3. Outre la bande transversale, la base des élytres est marquée de brun. Scutellum noir, à angles latéraux et postérieur jaunes *D. alcmena* FENNAH. ^{pl. 36}
- Pas de brun sur la base des élytres. Scutellum noir, avec ligne médiane et angle postérieur jaunâtres *D. hancocki* MUIR.
4. Partie basale brune des élytres contenant 2 petites taches claires, plus ou moins rondes *D. dilatatus* WESTWOOD.
- Dessin des élytres différent 5
5. Elytres avec marques brunes suivantes : le clavus sauf une tache claire dans la bifurcation *C1/C2*, une étroite bande transversale oblique sur la base de

- la cellule costale et une seconde, plus large, traversant obliquement le corium depuis le milieu de la suture clavale jusqu'à $Sc + R$ et suivant cette dernière sur un court trajet. Scutellum généralement brun-noir mais le disque pouvant parfois être testacé *D. laertes* FENNAH.
- Elytres bruns à nervures plus foncées; plus clairs le long du bord costal et sur les cellules marginales de *M* *D. hopkinsi* MUIR.

Si le tableau qui précède permet de séparer *pseudohancocki*, *obscurus*, *dilatatus* et *laertes*, il ne convient pas toujours pour *alcmena*, *hancocki* et *hopkinsi*. L'examen de matériel, autre que celui ayant servi de base aux descriptions originales, a révélé une grande variabilité dans la plupart des caractères généralement utilisés. Dans le cas de *hancocki* MUIR, nous avons trouvé des exemplaires dont les genitalia ♂ correspondent à ceux du matériel typique mais qui présentent, par contre, des caractères chromatiques très différents. Le pronotum est noir au lieu d'être jaune. Le scutellum normalement noir, avec une ligne médiane et un petit espace au bord postérieur, jaunes, peut être, soit noir avec le milieu et le bord postérieur jaunes, soit même entièrement jaune. Il est probable que les jeunes individus sont entièrement clairs et qu'ils acquièrent progressivement leur coloration définitive. Les élytres, qui typiquement ne présentent qu'une bande transversale médiane brune, peuvent en outre avoir la partie basale foncée.

Chez *hopkinsi* MUIR, le cas est identique en ce qui concerne le dessin des élytres. D'après la description originale, ils sont uniformément brunâtres, avec plages plus claires le long du bord costal et dans les cellules marginales de *M*. Nous avons eu sous les yeux des exemplaires qui présentent une tache basale ainsi qu'une bande transversale médiane, brunes. Si l'on considère enfin la description des élytres d'*alcmena* FENNAH, on constatera que le dessin de ces derniers peut être confondu avec celui d'exemplaires appartenant soit à *hancocki* soit à *hopkinsi*.

La variabilité des caractères chromatiques de ce groupe apparaissait déjà lorsqu'en 1934, MUIR signalait, provenant d'Uganda, une ♀ de *hancocki* plus claire que le type et dont le pronotum présente 2 paires de marques noires. FENNAH également, dans la description de *laertes*, écrit que le scutellum, normalement marron foncé, peut parfois avoir le disque testacé.

De ce qui précède, il ressort que l'utilisation des caractères chromatiques relatifs au thorax et aux élytres de *hopkinsi*, *alcmena* et *hancocki* ne peut être envisagée. Il ne reste alors pratiquement que les genitalia ♂ pour les distinguer l'un de l'autre.

Pour ce qui est de *pseudohancocki*, *obscurus*, *dilatatus* et *laertes* et jusqu'à preuve du contraire, nous considérerons les caractères chromatiques comme valables et nous les utiliserons dans l'élaboration de la table dichotomique ci-dessous.

TABLE DES ESPECES.

1. Front, vu de profil, fortement saillant au-devant des yeux en un angle arrondi 2
- Front peu saillant au devant des yeux, régulièrement arrondi 8
2. Scutellum ocre, avec 8 taches noires. Elytres sans marque brune sur la base et sans bande transversale médiane ... *D. pseudohancocki* MUIR, p. 28.
- Scutellum noir ou ocre jaune, ne présentant pas les 8 taches 3
3. Elytres entièrement brun foncé, avec plage hyaline dans la bifurcation *Cl1Cl2* et le long du bord costal jusqu'à la bifurcation *Sc + R*
D. obscurus n. sp., p. 29.
- Elytres clairs, à dessin brun plus ou moins foncé 4
4. Elytres avec marques brunes suivantes : le clavus sauf une tache claire dans la bifurcation *Cl1Cl2*, une étroite bande transversale oblique sur la base de la cellule costale et une seconde bande, plus large, traversant obliquement le corium depuis le milieu de la suture clavale jusqu'à *Sc + R* et suivant cette dernière sur un court trajet. Scutellum généralement brun-noir mais le disque pouvant parfois être testacé *D. laertes* FENNAH, p. 31.
- Dessin des élytres différent 5
5. Elytres soit avec seulement une marque basale brune, soit avec en plus de cette dernière, une bande transversale médiane 6
- Elytres avec partie basale brune contenant 2 petites taches claires, plus ou moins rondes, situées l'une entre le tronc commun *Cl1Cl2* et la suture, l'autre à peu près au même niveau, entre *M* et *Cu*. Scutellum noir, à carènes jaunes
D. dilatatus (WESTWOOD) p. 32.
6. Un processus spiniforme partant de la face dorsale de l'édéage et dirigé vers le haut; de l'apex partent 3 autres processus dont le médian, très long, est dirigé vers la base de l'édéage (fig. 56) *D. hopkinsi* MUIR, p. 34.
- Pas de processus spiniforme partant du milieu de la face dorsale de l'édéage 7
7. Edéage avec 2 éléments de longueur à peu près égale; un lobe comprimé latéralement et dirigé vers l'extérieur, fortement élargi et dilaté avant l'apex, se terminant brusquement en pointe. La partie apicale du corps principal de l'édéage présente 3 processus spiniformes dont le médian est le plus long, assez large à la base puis s'effilant progressivement, dirigé vers l'intérieur. Les 2 autres sont minces, se croisent et sont dirigés vers le haut et vers l'extérieur (fig. 60) *D. alcmena* FENNAH, p. 36.

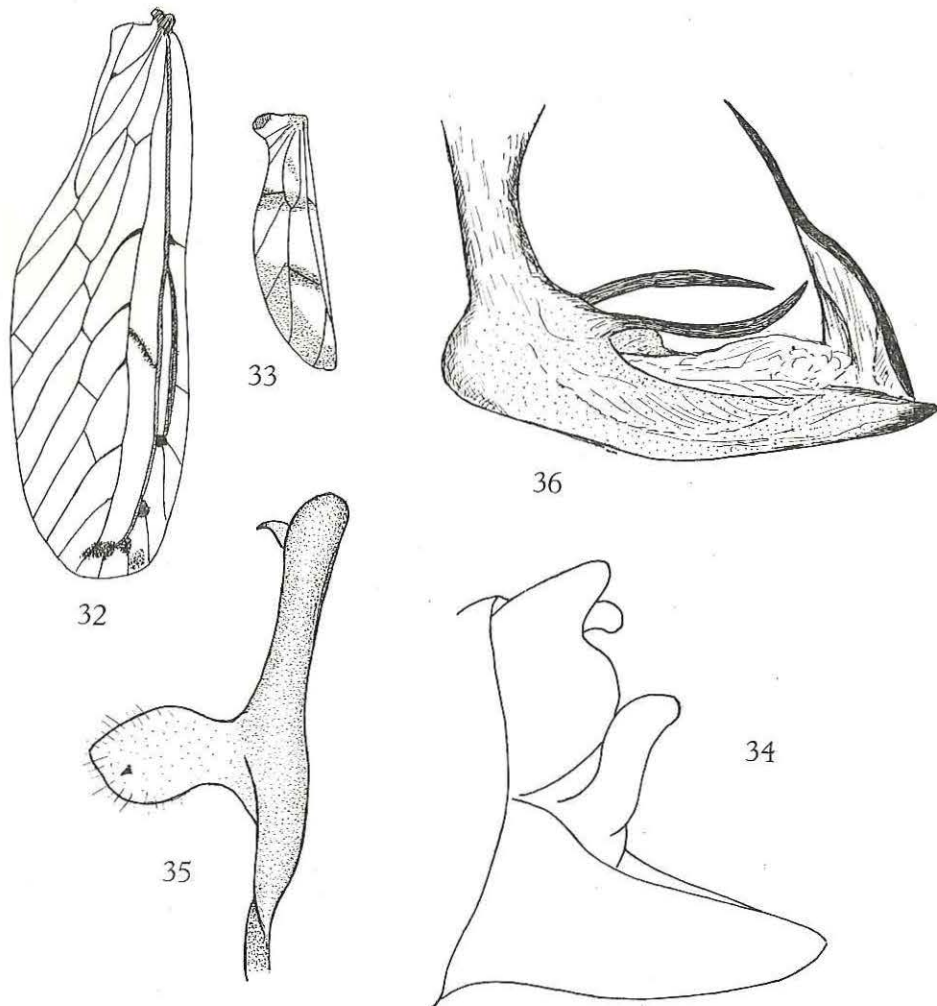
- Le processus partant de la base de l'édéage et dirigé vers l'extérieur est en forme d'épine ondulée au milieu, apicalement dirigée vers le haut. Le processus apical médian est large et ne s'effile pas progressivement vers l'apex (fig. 64) *D. hancocki* MUIR, p. 37.
8. Pronotum et scutellum, noirs 9
- Pronotum et scutellum, clairs 11
9. Elytres avec marques noires sur la base; notamment une bande longitudinale sur *Sc + R* et une transversale depuis *Sc + R* jusqu'à la suture clavale
D. saegeri n. sp., p. 39.
- Pas de marques noires sur la base des élytres 10
10. Antennes et tegulae, noires *D. gowdei* DISTANT, p. 40.
- Antennes et tegulae, jaunâtres à ocre ... *D. rutshuruensis* n. sp., p. 43.
11. Elytres hyalins, à partie apicale brune ... *D. apicalis* (HAGLUND), p. 44.
- Pas de partie apicale brune sur les élytres 12
12. Une grande tache brun-noir sur les plaques pectorales du pronotum
D. djambensis n. sp., p. 46.
- Pas de tache brun-noir sur les plaques pectorales du pronotum 13
13. Abdomen marqué de noir 26
- Pas de marques noires sur l'abdomen 14
14. Cellule costale des élytres noirâtre; nervures *Sc* et *R* rouges
D. demoulini n. sp., p. 48.
- Cellule costale des élytres plus ou moins brunâtre; *Sc* et *R* ocre à brun foncé 15
15. ♂♂ 16
- ♀♀ 23
16. Paramères très longs et étroits, dépassant fortement l'abdomen, coudés vers l'intérieur avant l'apex (voir fig. 72) 17
- Paramères beaucoup plus courts, non coudés vers l'apex (voir fig. 117). 21
17. Une petite épine au bord interne avant l'apex (voir fig. 98) 18
- Pas de petite épine antéapicale sur le bord interne du paramère 19
18. Epine du paramère située avant le coude apical; une saillie au bord externe près de la base *D. rufus* MUIR, p. 49.
- Epine du paramère située après le coude apical
D. whitfieldi MUIR, p. 51.
19. Paramères se terminant en pointe effilée, sans élargissement vers l'apex (voir fig. 104) *D. grahami* (DISTANT), p. 52.
- Paramères plus ou moins élargis à l'apex (voir fig. 109 et 113) 20

20. Bord interne de la partie apicale, convexe, saillant (fig. 109)
D. verschureni n. sp., p. 54.
- Partie apicale dilatée, avec encoche au bord interne, lui donnant l'aspect d'un crochet (fig. 113) *D. sibirica* n. sp., p. 55.
21. Apex des paramères carré, avec petite épine vers l'intérieur (fig. 117)
D. luteus MUIR, p. 56.
- Apex des paramères soit plus ou moins conique, soit bilobé 22
22. Apex des paramères bilobé (voir fig. 123) *D. lanius* (STÅL), p. 58.
- Apex des paramères pointu (voir fig. 83)
D. apicalis kivuensis LALLEMAND (= *miniaceus* MUIR), p. 45.
23. Plaque subgénitale très longue, dépassant très fortement l'abdomen, s'élargissant en spatule à l'apex (voir fig. 95) 24
- Plaque subgénitale pas ou peu saillante 25.
24. Bord externe de la plaque subgénitale avec 2 encoches de part et d'autre du milieu, formant de ce fait 3 petites saillies aiguës (fig. 94)
D. rufus MUIR, p. 49.
- Bord externe de la plaque subgénitale avec 1 petite encoche médiane (fig. 110) *D. verschureni* n. sp., p. 54.
25. Nervures des ailes bordées de brun foncé. Pas de plaque subgénitale saillante.
D. luteus (MUIR), p. 56.
- Ailes avec bordure brune le long du bord interne. Plaque subgénitale légèrement saillante, à bord postérieur bilobé teinté de noir
D. apicalis kivuensis LALLEMAND (= *miniaceus* MUIR), p. 45.
26. Scutellum jaune orangé, avec 6 petites taches noires sous le bord postérieur du pronotum. Abdomen ocre, avec taches dorsales noires de part et d'autre du milieu *D. dedegwanus* n. sp., p. 59.
- Scutellum sans petites taches noires 27
27. Une bande noire entourant l'abdomen au 5^e segment
D. cocos MUIR, p. 61.
- Pas d'anneau noir, complet, au 5^e segment abdominal 28
28. Une large bande longitudinale noire sur la face dorsale de l'abdomen ... 29
- Pas de bande longitudinale sur la face dorsale de l'abdomen mais une bande transversale ventrale *D. nitidus* MUIR, p. 62.
29. Une bande noire sur les 4 premiers tergites abdominaux. Metanotum noir. Pronotum sans carène médiane *D. moerensis* n. sp., p. 63.
- Une série médiane de taches noires formant bande longitudinale et contenant une tache ocre sur le segment basal. Metanotum ocre. Pronotum avec carène médiane nette *D. abdominalis* (DISTANT), p. 65.

1. — *Diostrombus pseudohancocki* MUIR.

(Fig. 32-36.)

MUIR, F., 1934, Ann. Mag. Nat. Hist. (10), 14, p. 569, fig. 8.

FIG. 32-36. — *Diostrombus pseudohancocki* MUIR.

32 : Elytre; 33 : Aile; 34 : Genitalia ♀ (sec. MUIR); 35 : Paramère; 36 : Edéage, vue latéro-ventrale gauche.

Front lamellaire, à bords étroitement soudés sur tout leur trajet; fortement saillant au-devant des yeux et anguleusement convexe; brunâtre sur la moitié antérieure, blanchâtre sur le restant. Antennes jaunâtres; 2^e article court et large, environ 1 1/2 fois plus long que large. Clypéus blanc jaunâtre, tricaréné. Rostre

jaunâtre; apex terminal globuleux, noirâtre. Vertex ocre jaune, se prolongeant vers l'avant par le front, à bords carénés et légèrement relevés. Pronotum blanc, jaunâtre derrière les yeux. Scutellum tricaréné; ocre, avec 8 taches noires, dont 2 situées de part et d'autre de la carène médiane, peu après le bord postérieur du pronotum, 2 entre chaque carène latérale et la tegula, et 1 vers le milieu de chaque bord latéro-postérieur. Elytres (fig. 32) hyalins, à nervures jaunâtres; la base des secteurs 2, 3 et 4 de la médiane, la nervure transversale de la cellule radiale et une petite tache sur les branches apicales de la nervure radiale, noires; 1 petite tache sur le point de jonction entre *Cl1* et *Cl2*; *Cu* avec 2 branches, *M* avec 6 secteurs donc 7 branches atteignant le bord de l'élytre. Ailes hyalines, plus courtes que la moitié des élytres, avec bande brune le long du bord apical et une autre à la fin de la cellule médiane (fig. 33). Pattes jaunâtres. Genitalia ♂, voir figures 35 et 36. Plaque subgénitale de la ♀ conique, assez saillante vers l'arrière (fig. 34).

Distribution. — Uganda.

2. — *Diostrombus obscurus* n. sp.

(Fig. 37-42.)

Front fortement saillant vers l'avant, en forme de large bec arrondi, à bords latéraux étroitement accolés; vues de profil, la moitié supérieure est noire, l'inférieure jaune. Clypéus noir, avec 1 carène médiane nette. Antennes jaunes; 2^e article plus long que large, avec encoche apicale pour l'insertion de l'arista. Vertex noir, court, triangulaire, plus long que large, à bords latéraux prolongeant ceux du front. Pronotum noir, avec fine bordure jaune le long du bord postérieur. Scutellum noir, avec 3 carènes nettes; extrémité postérieure jaune. Elytres (fig. 37) brun foncé, avec plages hyalines dans la bifurcation *Cl1Cl2* et le long du bord costal jusqu'à la bifurcation *Sc + R*; *Cu* avec 2 branches simples, *M* avec 6 secteurs, donc 7 branches atteignant le bord de l'élytre. Ailes brun foncé avec taches claires, dont 1 petite, ronde, sur le milieu de la cellule médiane basale et 2, triangulaires, contre le bord externe (fig. 38). Abdomen noir; genitalia ♀ ocre; genitalia ♂ ocre, sauf le tube anal qui est noir. Pattes ocre, dernier article des tarsi noir. Genitalia ♂ : voir figures 39-41. Plaque subgénitale de la ♀ légèrement saillante vers l'arrière; elle présente une dépression médiane sous le bord postérieur qui est largement anguleux (voir fig. 42).

Longueur totale : env. 8 mm.

Holotype ♂ : P.N.A., 12.XII.1956, P. VANSCHUYTBROECK, vs 840 d (Inst. Parcs Nat. Congo).

57 Paratypes : même origine que le type (Inst. Parcs Nat. Congo).

2 Paratypes : Tshuapa, Ikela, 1955, R.P. LOOTENS; Kunungu, 3.IV.1921, H. SCHOUTEDEN, (Musée Royal de l'Afrique Centrale).

1 Paratype : 20 m. W. Kampala, Uganda, October 1952, E. PINHEY (U. S. National Museum).

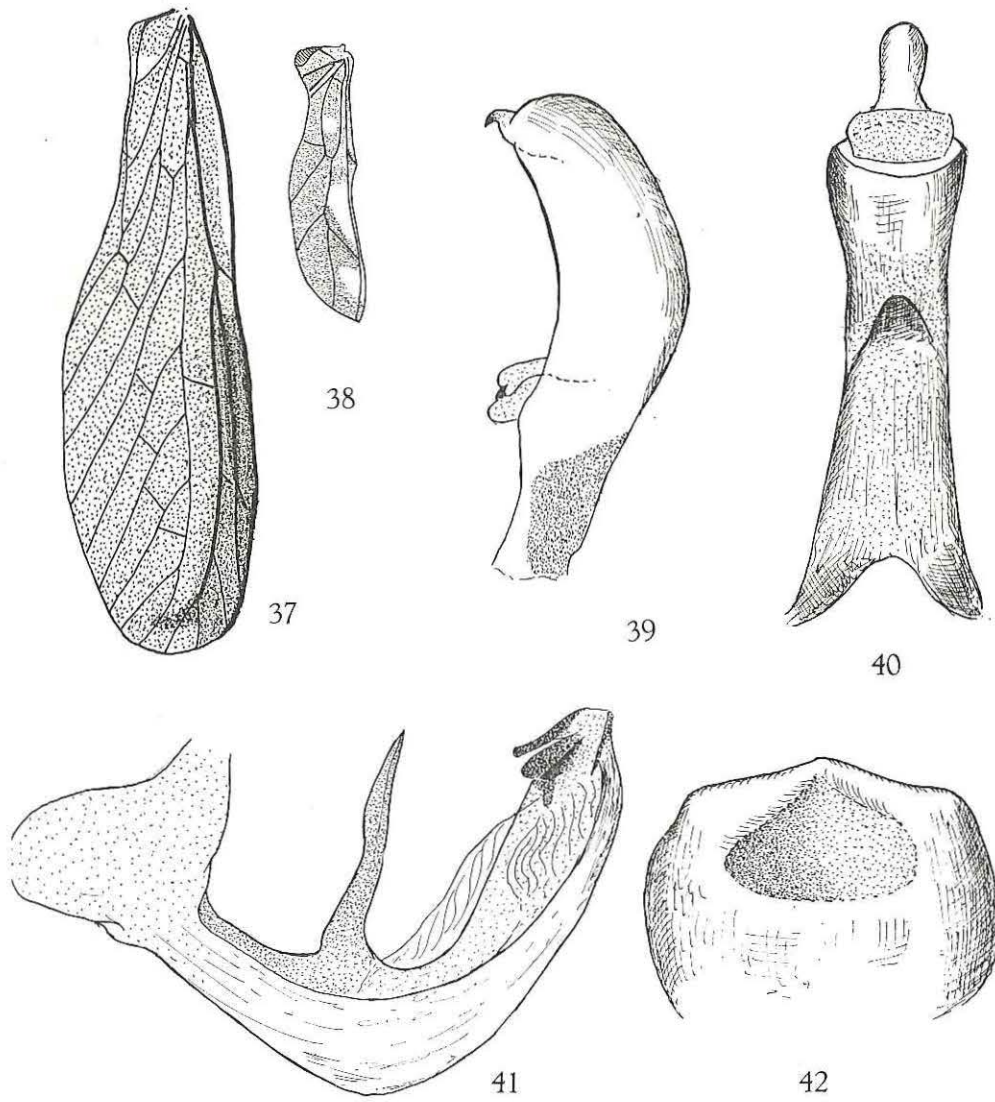


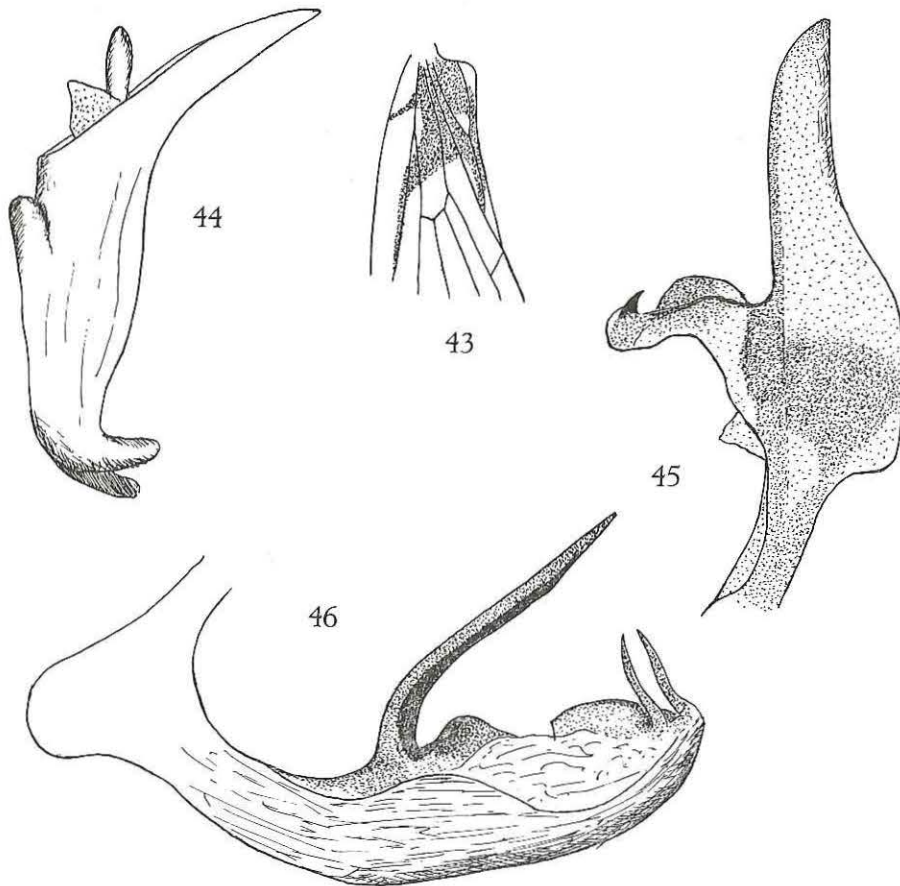
FIG. 37-42. — *Diostrombus obscurus* n. sp.

37 : Elytre; 38 : Aile; 39 : Paramère; 40 : Tube anal, vue dorsale; 41 : Edéage, vue latéro-ventrale gauche; 42 : Plaque subgénitale de la ♀.

3. — *Diostrombus laertes* FENNAH.

(Fig. 43-46.)

FENNAH, R. J., 1958, Bull. IFAN, t. XX, 2, p. 498, fig. 10, 1-8.

FIG. 43-46. — *Diostrombus laertes* FENNAH.

43 : Base de l'élytre (*sec.* FENNAH); 44 : Tube anal, vue latérale; 45 : Paramère; 46 : Edeage, vue latéro-ventrale gauche.

Grâce à l'amabilité de M. A. VILLIERS du Muséum National d'Histoire Naturelle, nous avons pu avoir en communication, le type de l'espèce. Ce dernier est malheureusement en très mauvais état. Les élytres manquent et seule subsiste une aile postérieure.

Front, vu de profil, anguleusement et fortement saillant au-devant des yeux; blanchâtre, avec bande brune le long du bord supérieur; bords latéraux étroitement accolés. Clypéus brun foncé, tricaréné. Rostre ocre; dernier article globuleux,

noirâtre. Vertex court, triangulaire, à bords carénés se prolongeant vers l'avant par ceux du front. 2^e article des antennes environ 2 fois plus long que large, s'élargissant vers l'apex. Pronotum noir, à bord postérieur très profondément entaillé et étroitement bordé d'ocre. Scutellum noir, brillant, avec 3 fines carènes. Abdomen noir; paramères et tube anal du ♂, ocre. Elytres (*sec.* FENNAH) hyalins; sont brunâtres (fuscous): le clavus, sauf un espace clair entre les nervures clavales à leur jonction, un fascia oblique en travers de la base de la cellule costale, un large fascia traversant obliquement le corium depuis le milieu de la suture clavale jusqu'à la bifurcation *Sc+R* et recouvrant *Sc+R* sur une courte distance (voir fig. 43). Ailes fortement marquées de brun; un petit espace triangulaire au bord postérieur, près de la base et une tache allongée, ovulaire antéro-distalement, sont transparents; la dernière partiellement divisée par une suffusion foncée recouvrant la branche antérieure de *M*. Pattes ocre, sauf les fémurs postérieurs et la base des tibias postérieurs qui sont bruns. Genitalia ♂, voir figures 44-46.

Longueur (♂): 3,3 mm; élytre: 6,6 mm.

Longueur (♀): 3,1 mm; élytre: 7,6 mm.

Distribution. — Guinée française (Mt. Nimba).

4. — *Diostrombus dilatatus* (WESTWOOD).

(Fig. 47-51.)

WESTWOOD, J. O., 1851, Ann. Nat. Hist. (2), 7, p. 209 *Derbe dilatata*.

DISTANT, W. L., 1907, Ann. Mag. Nat. Hist. (7), 19, p. 405, fig. 2 *Camma dilatata*.

MUIR, F., 1934, Ann. Mag. Nat. Hist. (10), 14, p. 572 *Diostrombus dilatata* (*sic*).

Front noir jusque peu après le milieu, ensuite blanc; bords latéraux lamellaires étroitement accolés sur tout leurs parcours; vu de profil, il est assez fortement saillant au-devant des yeux et forme un angle arrondi. Clypéus ocre au milieu, latéralement brun foncé, avec 3 carènes. Rostre jaune; article terminal globuleux, noirâtre. Antennes brunâtres; 2^e article environ 2 fois plus long que large, avec encoche apicale pour l'insertion de l'arista. Vertex triangulaire, à bords carénés mais non relevés, se prolongeant vers l'avant par ceux du front; noir, à bords jaunes. Pronotum noir, brillant, à bords et faible carène médiane, jaunes. Scutellum noir, avec 3 carènes jaunes; une petite bande transversale jaune réunit les carènes après le milieu. Elytres (fig. 47) hyalins; base brunâtre jusqu'à l'apex de la cellule médiane basale; une tache hyaline blanchâtre avant l'apex de la cellule médiane basale et une seconde, plus grande, entre le tronc commun formé par *C11*, *C12* et la suture; quelques taches punctiformes brun-noir le long du bord costal, depuis la bifurcation *Sc+R* jusqu'à l'apex; *Cu* avec 2 branches, *M* avec 6 secteurs, donc 7 branches atteignant le bord de l'élytre. Ailes blanchâtres, à bords apical et interne largement bordés de brun foncé; partie basale et nervure transversale également brun-noir (fig. 48). Pattes ocre jaune; tibias antérieurs

bru
nita

47: F

I
Séné

F

4

4036;

M

1

Tshua

1943,

Plante: Sacc

brun-noir. Genitalia ♂, voir figures 49-51. Chez la ♀, pas de plaque subgénitale saillante.

Longueur : env. 8 mm.

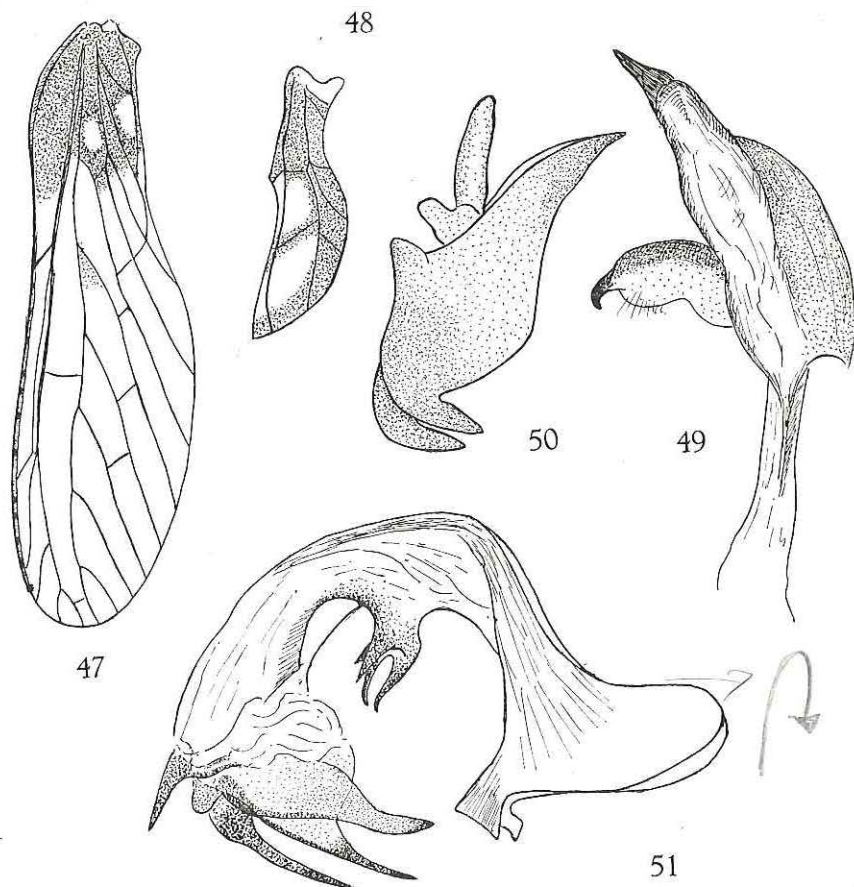


FIG. 47-51. — *Diostrombus dilatatus* (WESTWOOD).

47 : Elytre; 48 : Aile; 49 : Paramère; 50 : Tube anal, vue latérale; 51 : Edéage, vue latéro-ventrale gauche.

Distribution. — Sierra Leone (Type); Uganda; Congo (Léo); Angola; Sénégal; Liberia; Tanganyka; Nigeria; Côte d'Or (*sur palmier*)

Parc National de la Garamba :

4 ex. : II/fc/4, 30.VIII.1952, H. DE SAEGER, 3997; II/gd/11, 4.IX.1952, H. DE SAEGER, 4036; II/gd/10, 8.VIII.1952, H. DE SAEGER, 3909; Makpe/8, 5.XI.1951, H. DE SAEGER, 2718.

Musée Royal de l'Afrique Centrale :

13 ex. : Sénégal, M'Bambey, 1940, M. RISBEC; Lusambo, XII.1921, Lt. GHESQUIÈRE; Tshuapa, Bokuma, III.1954, R.P. LOOTENS; Thysville, 26-27.XI.1952, P. BASILEWSKY; Mayidi, 1943, R.P. VAN EYEN; Elisabethville, 10.I.1939, H. J. BRÉDO; Boma, 9.IX.1920,

Plante : *Saccharum officinarum* (Canna à sucre)

H. SCHOUTEDEN; Rutshuru, II.1938, J. GHESQUIÈRE; Gandajika, IV.1959, J. DECALLE; Escarp. Kabasha: Chambi, X.1933, Dr. DE WULF.

Institut royal des Sciences naturelles de Belgique:

4 ex.: Boma, 9.IX.1920; Temyo, Mayumbe, XII.1935, J. GHESQUIÈRE; Eala, 19.VIII.1935, J. GHESQUIÈRE; Dundo, 11.III.1948, A. DE BARROS MACHADO (à la lumière).

U. S. National Museum:

2 ex.: Liberia 52, 18 mi. NW Toppita, 25.IX; Tanganyka Terr., Ukerewe I., Father CONRADS.

Description d'après 2 ♂♂ (Brit. Mus.): Uganda, 24.IV.1927, E. HARGREAVES; Sierra Leone, Njala, 19.VI.1925, E. HARGREAVES, nigerian oil palm.

5. — *Diostrombus hopkinsi* MUIR.

(Fig. 52-56.)

MUIR, F., 1934, Ann. Mag. Nat. Hist. (10), 14, p. 568.

Front lamellaire, à bords latéraux étroitement soudés sur tout leur parcours; vu de profil, fortement saillant au-devant des yeux et formant un angle arrondi; brun foncé jusqu'à l'endroit où il se coude, blanchâtre sur le reste. Antennes jaune pâle; 2^e article un peu moins de 2 fois plus long que large. Clypéus brun-noir, tricaréné. Rostre jaune; article terminal globuleux, noir. Vertex triangulaire, à bords latéraux carénés mais non relevés se prolongeant vers l'avant par ceux du front; brun-noir, à bords ocre. Pronotum non caréné, noir brillant, à bord postérieur étroitement jaunâtre. Scutellum brun-noir, tricaréné; angle postérieur ocre. Élytres environ 3 fois plus longs que larges, hyalins; chez le type, ils sont uniformément brunâtres, légèrement plus clairs le long du bord costal et sur les cellules médianes marginales; chez le paratype ♂, que nous avons eu sous les yeux, ils sont légèrement brunâtres, à base brune jusqu'au point de rencontre entre la suture et le tronc commun *Cl1Cl2*, avec une marque brune, allongée, sur la cellule costale entre la base et la première transversale; sont également brunes, une tache sur la nervure transversale de la cellule radiale et une autre, en face, sur la cellule costale; les branches apicales de *R* sont ennuagées de brun foncé (voir fig. 52). Dans certains cas également, les élytres peuvent présenter une tache basale et une bande transversale médiane, brunes. *Cu* avec 2 branches; *M* avec 6 secteurs, donc 7 branches. Ailes plus courtes que la moitié des élytres; brun foncé, avec 2 grandes taches hyalines au bord costal et 4 petites sur la base (fig. 53). Pattes jaunâtres; hanches antérieures et médianes, brun-noir. Genitalia ♂, voir figures 54-56. Plaque subgénitale de la ♀ légèrement saillante.

Description d'après un paratype ♂ (Brit. Mus.): Uganda, Kampala, 29.IX.1929, G. H. E. HOPKINS.

Distribution. — Uganda (Type); Kitambala; Congo (Léo); Angola.

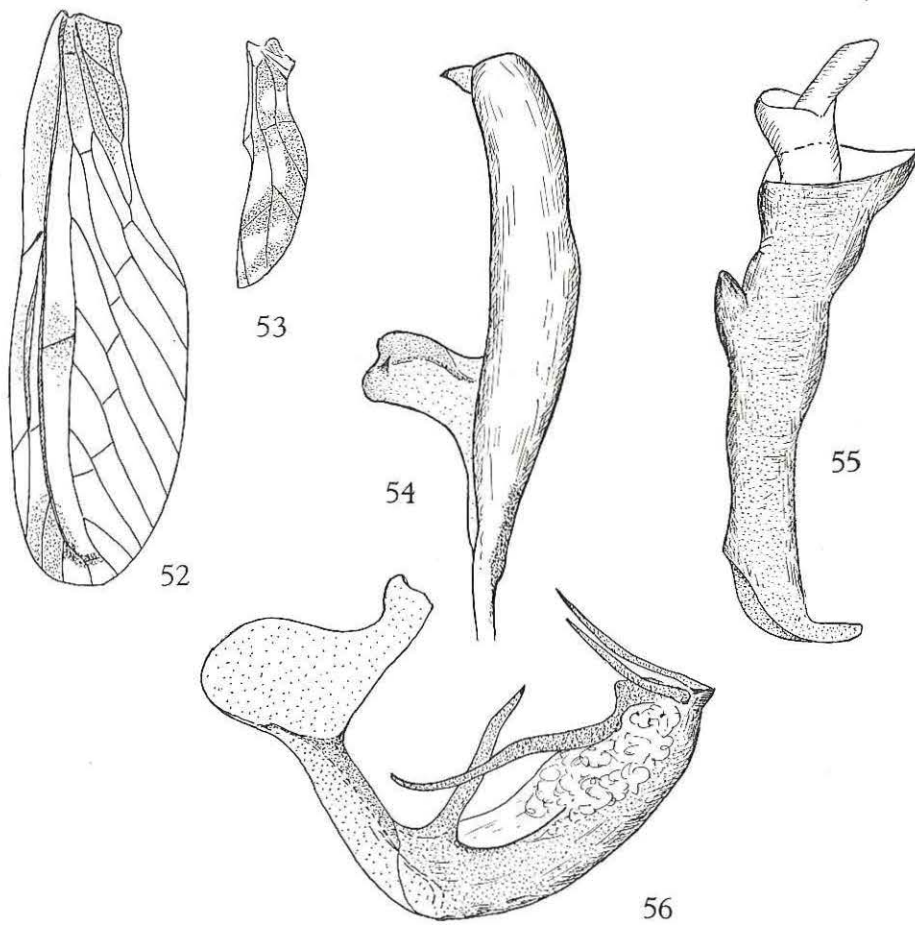


FIG. 52-56. — *Diostrombus hopkinsi* MUIR.

52 : Elytre; 53 : Aile; 54 : Paramère; 55 : Tube anal, vue latérale; 56 : Edéage, vue latéro-ventrale gauche.

Musée Royal de l'Afrique Centrale :

4 ex. : Mayumbe, Kiolo, 19.VI.1924, A. COLLART; Kunungu, 4.IV.1921, H. SCHOUTEDEN.

Institut royal des Sciences naturelles de Belgique :

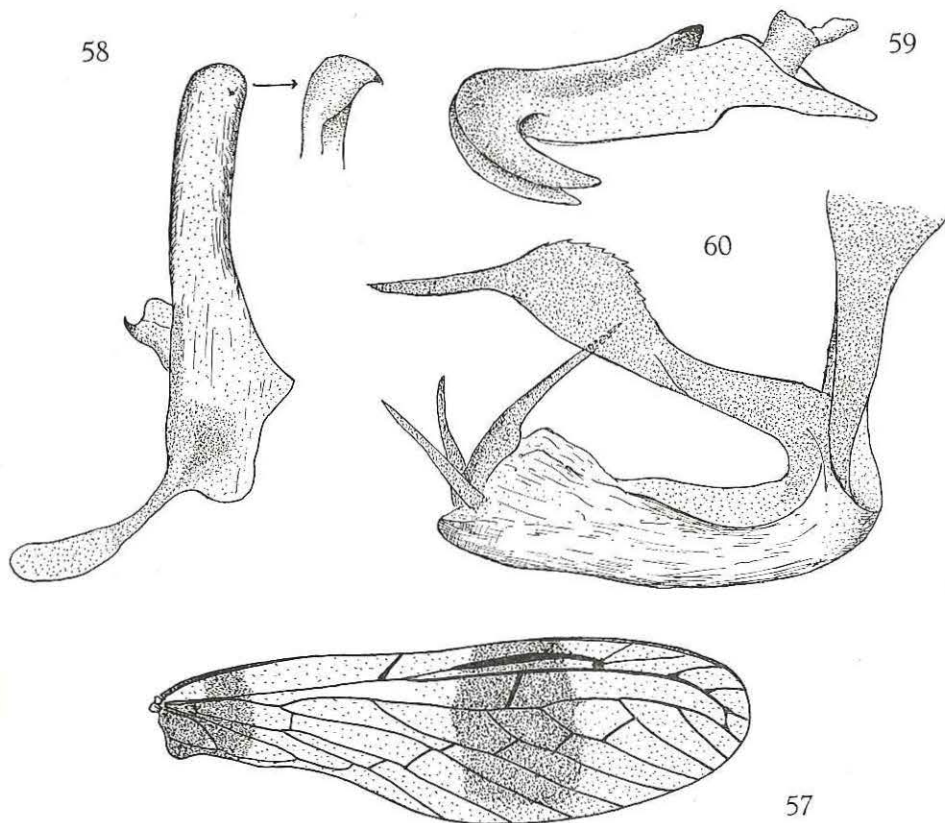
1 ex. : Angola, Dundo, 11.III.1948, A. DE BARROS MACHADO.

6. — *Diostrombus alcmena* FENNAH.

(Fig. 57-60.)

FENNAH, R. G., 1957, Bull. IFAN, t. XIX, sér. A, p. 1284, fig. 5 a-e.

Grâce à l'amabilité de M. M. ANDERSEN, conservateur des Hémiptères au Musée zoologique de l'Université de Copenhague, nous avons pu examiner le type de l'espèce.

FIG. 57-60. — *Diostrombus alcmena* FENNAH.

57 : Elytre; 58 : Paramère; 59 : Tube anal, vue latérale; 60 : Edéage, vue latéro-ventrale droite.

Front à bords latéraux étroitement accolés; vu de profil, il est anguleusement saillant, jaunâtre, avec une large bande brun-noir le long du bord supérieur. Antennes brunes. Clypéus noir, brillant, sauf l'apex qui est jaunâtre; une carène médiane nette. Rostre jaunâtre; dernier article globuleux, noirâtre. Pro- et mésosternum, hanches médianes et antérieures, noirs; métasternum et hanches postérieures, jaunâtres. Pattes jaunâtres à ocre. Vertex noir, triangulaire, à bords

latéraux ocre se prolongeant vers l'avant par ceux du front; disque très légèrement déprimé, presque plan; bord postérieur droit. Pronotum noir; bord postérieur étroitement bordé d'ocre au milieu et aux angles latéraux; bord inférieur des plaques pectorales largement ocre. Tegulae noires. Scutellum tricaréné, noir, sauf l'angle postérieur qui est ocre. Abdomen noir. Genitalia ♂, ocre. Elytres hyalins, clairs; sont noirs: la base du clavus, une bande transversale entre les bords costal et sutural, recouvrant la réunion des nervures clavales, ainsi qu'une large bande transversale après le milieu, débutant au bord costal, recouvrant la bifurcation des 3^e et 4^e secteurs de *M* et s'estompant vers le bord sutural; clavus ouvert, le tronc commun des nervures clavales rejoignant *Cu2* au niveau de la transversale entre *Cu1* et *Cu2*; bifurcation *Sc+R* vers le milieu de l'élytre; *M* avec 6 secteurs simples, *Cu* avec 2 branches atteignant le bord postérieur (fig. 57). Genitalia ♂, voir figures 58-60.

Longueur ♂ : 4 mm; élytre : 7,4 mm.

Distribution. — Cameroun.

Institut royal des Sciences naturelles de Belgique:

1 ex.: Toukoulou, 16.VI.1965, Michel BOULARD (sur cacaoyer).

7. — *Diostrombus hancocki* MUIR.

(Fig. 61-64.)

MUIR, F., 1928, Ann. Mag. Nat. Hist. (10), I, p. 515, fig. 23.

Front à bords latéraux lamellaires étroitement accolés; vu de profil, il est fortement et anguleusement saillant au-devant des yeux; les faces latérales sont jaunes, avec une large bordure brun foncé le long du bord supérieur. Clypéus noir; carène médiane nette. Rostre jaune; article terminal globuleux, noir. Vertex brun foncé, triangulaire, à bords latéraux se prolongeant vers l'avant par ceux du front. Pronotum ocre jaune ou bien noir, avec mince bordure jaune le long du bord postérieur qui est très profondément échancré; une grande tache jaunâtre contre le bord inférieur des plaques pectorales; pas de carène. Scutellum tricaréné, pouvant être, soit noir brillant avec ligne médiane et un petit espace au bord postérieur, jaunes, soit noir, avec tout le milieu et le bord postérieur jaunes, soit entièrement jaunâtre (individus jeunes). Elytres (fig. 61) hyalins, avec une bande transversale brune peu après le milieu, sur la nervure transversale entre *R* et *M*, plus marquée vers le bord costal et s'estompant vers l'intérieur; une petite tache brune sur la bifurcation *Sc+R* et sur la partie apicale de *R*; parfois, également la base est brune; *M* avec 6 secteurs simples, *R* avec 2 branches atteignant le bord postérieur. Ailes hyalines, avec bande brune le long du bord interne jusqu'à l'apex et une seconde en travers du milieu. Sternum, hanches antérieures et médianes, brun-noir. Pattes jaunâtres; apex des tarses antérieurs et médians, brun. Genitalia ♂, voir figures 62-64.

Longueur totale: env. 7 mm.

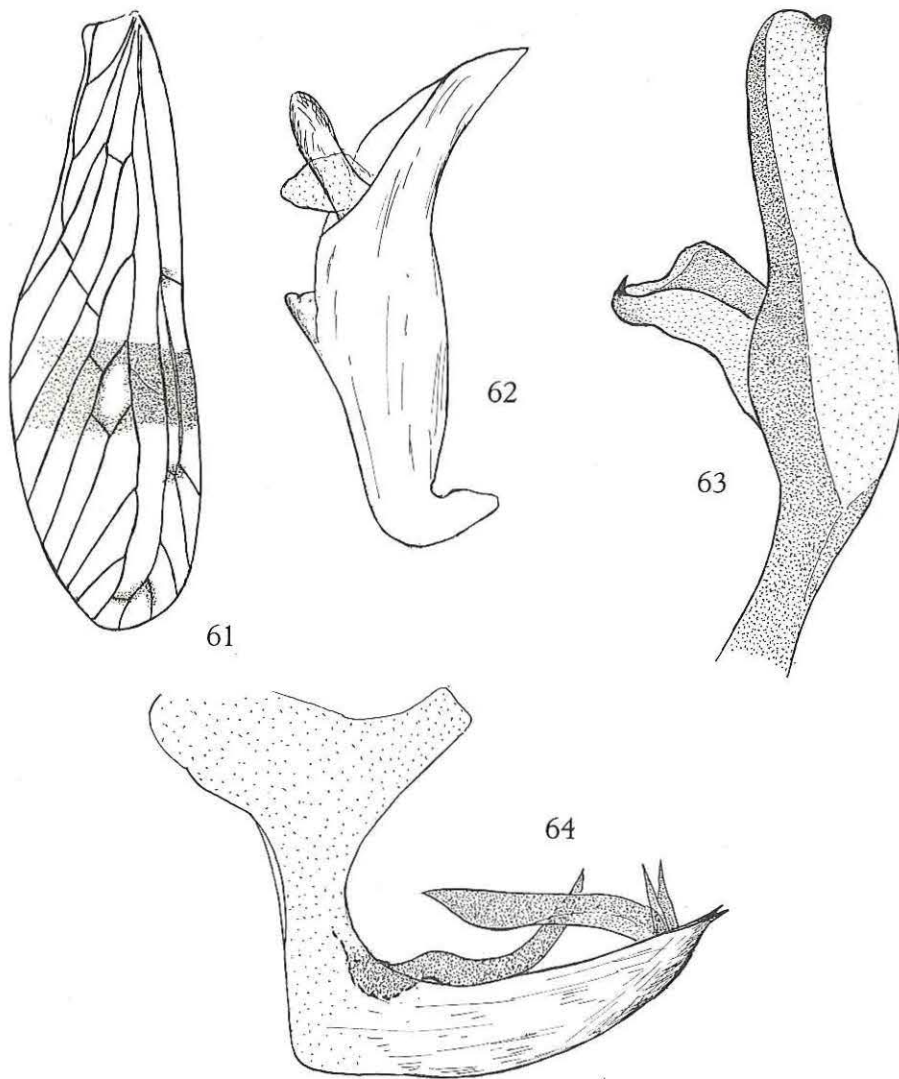


FIG. 61-64. — *Diostrombus hancocki* MUIR.

61 : Elytre; 62 : Tube anal, vue latérale; 63 : Paramère; 64 : Edéage, vue latéro-ventrale gauche.

Distribution. — Uganda (Type); Congo (Léo); Soudan; Nigeria.

Musée Royal de l'Afrique Centrale :

3 ex. : Luali, 24.VIII.1913, Dr. BEQUAERT; Ituri, Wamba, 7-13.VIII.1930; Haut Uélé, Yebo Moto, 1926, L. BURGEON.

qu'
nett
min
long
que
mer
noir
Teg
ties
ce c
de l
sur
clav
gna
saut
fona
exte
geni
sur
anté
pas

(Inst

H. I
H. I
H. I
H. I
J. V
H. I
H. I
H. I
H. I

Belg

Institut des Parcs Nationaux du Congo :

3 ex. : P.N.G., Miss. H. DE SAEGER, Dedeqwa, 17.V.1952, H. DE SAEGER, 3481.

Collection R. Linnavuori :

1 ex. : Sudan, Equatoria, Aloma plateau, Yei-Iwatoka road, 12-13.IV.1963, LINNAVUORI.

8. — *Diostrombus saegeri* n. sp.

(Fig. 65-68.)

Front noir, à bords latéraux relevés, très étroit, environ 5 fois plus étroit qu'un œil vu de face. Clypéus convexe, plus long que le front, avec 1 carène nette; noir sauf l'apex qui est blanc jaunâtre de même que le rostre; l'article terminal de ce dernier, noir. 2^e article des antennes brun, environ 2 fois plus long que large, avec encoche apicale pour l'insertion de l'arista. Vertex aussi long que large, se prolongeant directement par le front; noir, à bord postérieur étroitement blanc jaunâtre. Pronotum noir, brillant, non caréné au milieu. Scutellum noir, brillant, avec 3 carènes nettes et le bord de l'angle postérieur blanchâtre. Tegulae noires. Elytres (fig. 65) hyalins, avec marques noires sur la base, réparties comme suit : une tache couvrant la base du clavus, une autre sur l'apex de ce dernier, une courte bande longitudinale suivant *Sc + R* et dépassant le niveau de bifurcation du 1^{er} secteur de *M* et de *Cu*; une bande transversale plus large sur ces bifurcations, réunissant la bande longitudinale à la tache apicale du clavus; *Cu* avec 2 branches simples, *M* avec 6 secteurs, donc 7 branches, atteignant le bord de l'élytre; *Sc* et *R* épaissies; toutes les nervures sont jaunâtres sauf la partie basale de la costale qui est noire. Ailes presque entièrement brun foncé; seules 1 grande tache triangulaire s'appuyant sur la moitié apicale du bord externe et 2 autres situées sur la moitié basale, sont hyalines. Abdomen noir, genitalia jaunes. Pattes blanchâtres; sont brun foncé : une strie longitudinale sur la face latérale interne des fémurs antérieurs, la moitié basale des tibias antérieurs, les fémurs postérieurs. Genitalia ♂, voir figures 66-68. Chez la ♀, pas de plaque subgénitale saillante.

Longueur totale : env. 7 mm.

Holotype ♂ : Parc National de la Garamba : II/le/8, 3.V.1952, 3417, H. DE SAEGER (Institut des Parcs Nationaux du Congo).

18 **Paratypes** : Parc National de la Garamba : PpK/60/d/8, 18.XII.1951, 2924, H. DE SAEGER; Mt. Moyo, 25.IX.1952, 4076, H. DE SAEGER; Inimvua, 20.V.1952, 3488, H. DE SAEGER; II/fd/17, 9.VII.1952, 3763, H. DE SAEGER; II/le/8, 3.V.1952, 3417, H. DE SAEGER; II/eb/9, 13.III.1952, 3234, H. DE SAEGER; II/fd/17, 14.XII.1951, 2912, H. DE SAEGER; II/gd/8, 20.VI.1951, 1947, H. DE SAEGER; II/hc/4, 31.V.1951, 1849, J. VERSCHUREN; I/o/1, 17.V.1950, 527, H. DE SAEGER; II/fd/17, 3.IV.1952, 3279, H. DE SAEGER; II/gd/8, 10.IV.1952, 3313, H. DE SAEGER; I/a/1, 20.III.1950, 316, H. DE SAEGER; PpK. 51/g/9, 2.IV.1952, 3277, H. DE SAEGER; Makpe/8, 5.XI.1961, 2718, H. DE SAEGER; II/fd/5, 10.IX.1951, 2396, H. DE SAEGER; II/gc/8, 30.IV.1952, 3402, H. DE SAEGER; (Inst. Parcs Nat. Congo).

1 **Paratype** : Congo Belge, Titule (Uélé), 17.I.1950, J. VERBEKE (Inst. roy. Sci. nat. Belgique, I.G. n° 18.310).

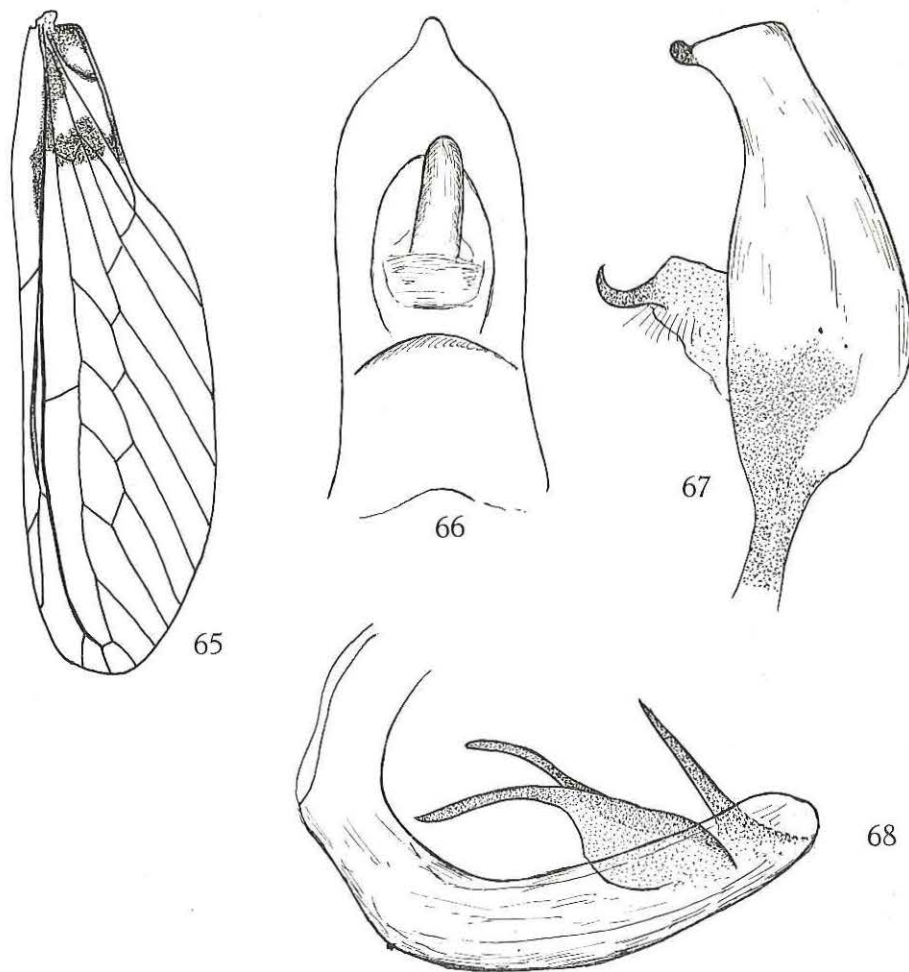


FIG. 65-68. — *Diostrombus saegeri* n. sp.

65 : Elytre; 66 : Tube anal, vue dorsale; 67 : Paramère; 68 : Edeage, vue latéro-ventrale gauche.

9. — *Diostrombus gowdei* DISTANT.

(Fig. 69-74.)

DISTANT, W. L., 1914, Ann. Mag. Nat. Hist. (8), 13, p. 419.

Front noir, long et étroit, à bords latéraux relevés et fortement rapprochés; vu de profil, régulièrement convexe et peu saillant au-devant des yeux. Clypéus brun-noir, avec carène médiane saillante, jaunâtre à la base; carènes latérales plus faibles que la médiane. Rostre ocre; dernier article globuleux, noir. Ocelles blanchâtres. Antennes ocre; 2^e article à peu près 2 fois plus long que large, avec

encoche apicale pour l'insertion de l'arista. Hanches antérieures et médianes, mésosternum, noir brillant. Pattes jaunâtres; tibias antérieurs et médians bruns. Pronotum noir brillant, sauf la $\frac{1}{2}$ postérieure des plaques pectorales qui est blanchâtre; pas de carène médiane. Vertex noir, petit, à bords latéraux relevés se prolongeant vers l'avant par ceux du front. Scutellum noir brillant, apex blanchâtre; 3 faibles carènes longitudinales. DISTANT ne les a pas remarquées, il écrit : « mesonotum large, convexe, smooth, glossy, non carinate ». Abdomen

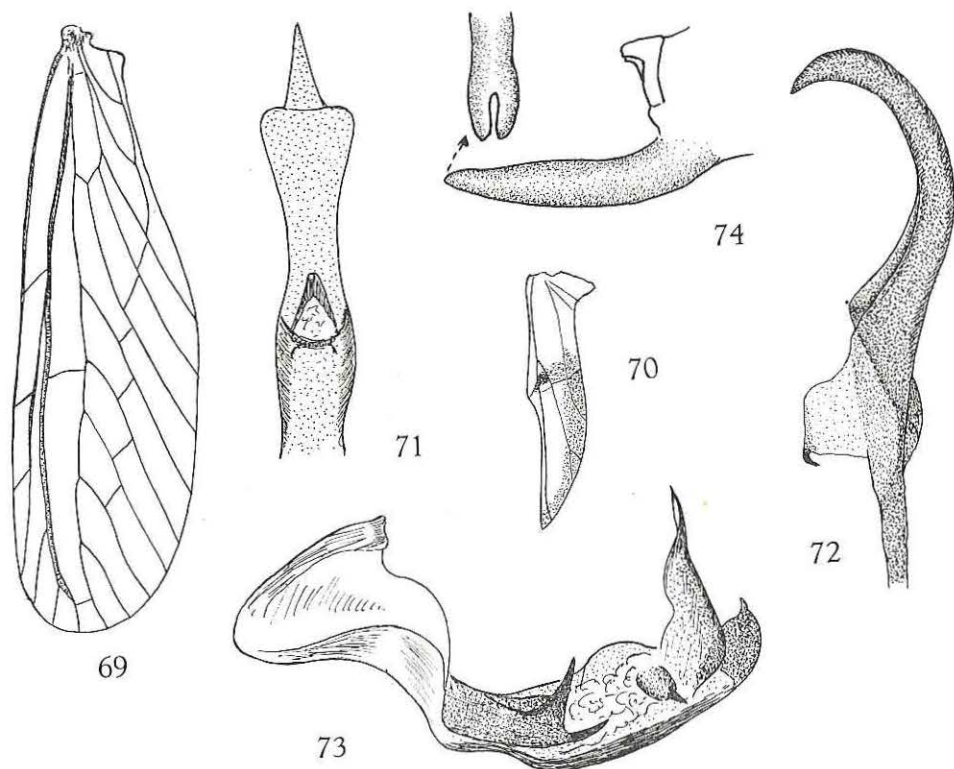


FIG. 69-74. — *Diostrombus gowdei* DISTANT.

69 : Elytre; 70 : Aile; 71 : Tube anal, vue dorsale; 72 : Paramère; 73 : Édéage, vue latéro-ventrale gauche; 74 : Genitalia ♀, vue latérale.

noir; segment génital jaunâtre. Elytres environ 3,5 fois plus longs que larges; hyalins non teintés, à nervures ocre; bord costal, *Sc* et *R* plus foncés; cellule costale avec 3 nervures transversales; cellule radiale avec transversale vers le milieu; *Cu* avec 2 branches, *M* avec 7 secteurs, tous simples (fig. 69). Ailes plus courtes que la moitié des élytres, à bords interne et apical bordés de brun pâle, avec 1 tache noire au milieu du bord externe (fig. 70). Genitalia ♂ (fig. 71-73) : tube anal étroit, terminé par un appendice triangulaire (fig. 71); paramères grands, en forme de crochet (fig. 72); édéage, voir figure 73. Genitalia ♀ : plaque subgé-

nitale prolongée vers l'arrière par un processus cylindrique, apicalement bifide (voir fig. 74).

Longueur totale : env. 11 mm.

Longueur des élytres : 9,5 mm.

Distribution. — Uganda (Type); Congo (Léo); Kenya, *Ethiopia (C. Linné 1976)*

Description d'après un spécimen ♀ déterminé par MUIR : « Busongoro, Toto, XII.1927 » et un ♂ d'Uganda : « Uganda 1912-461 (C. GOWDEI), Mabira Forest, Chagwe 17-20.VII.1911 ».

Institut royal des Sciences naturelles de Belgique :

1 ex., Rutshuru, 29.XI.1937, J. GHESQUIÈRE.

Institut des Parcs Nationaux du Congo :

3 ex. : P.N.A., 26-28.VIII.1953, P. VANSCHUYTBROECK et V. HENDRICKX, 4999-5005.

Musée Royal de l'Afrique Centrale :

16 ex. : Arebi (Bondo-Mabé), VII.1925, H. SCHOUTEDEN; Lulua, Kapanga, XI.1932, F. G. OVERLAET; Haut Uélé : Moto, IV-V.1923, L. BURGEON.

U. S. National Museum :

2 ex. : Mabwa Forest, Kabras K.C., May 1952, E. PINHEY; Kakamega, Kenya, July 57, Mrs. BOARD.

10. — *Diostrombus rutshuruensis* n. sp.

(Fig. 75-79.)

Front noir, non saillant au-devant des yeux, à bords latéraux fortement relevés et carénés, environ 3 fois plus étroit qu'un œil vu de face. Clypéus brun foncé, tricaréné, nettement plus long que le front. Rostre blanc jaunâtre, article terminal globuleux, noir. Vertex noir, à bords latéraux relevés prolongeant ceux du front. Pronotum noir, sauf la plus grande partie des plaques pectorales qui est blanchâtre. Scutellum noir, brillant, nettement tricaréné; bords latéro-postérieurs et angle postérieur, ocre. Metanotum noir, brillant. Tegulae ocre. Elytres hyalins, à nervures brunes; partie comprise entre *C12* et le bord interne, brune; tronc commun *Sc+R* et *R* épaissis; *Cu* avec 2 branches simples, *M* avec 6 secteurs, donc 7 branches atteignant le bord interne (fig. 75). Hanches antérieures et médianes noires; pattes blanc jaunâtre, tarsi antérieurs et médians ainsi que le dernier article des tarsi postérieurs, brun foncé. Abdomen noir; genitalia ♀ ocre jaune; ceux du ♂ également, sauf les paramères et l'édéage qui sont brun foncé. Genitalia ♂, voir figures 76-78. Genitalia ♀ : plaque subgénitale saillante vers l'arrière, conique (voir fig. 79).

Longueur totale : env. 11 mm.

Holotype ♂ : Rutshuru, XII.1937, J. GHESQUIÈRE (Musée Royal de l'Afrique Centrale).

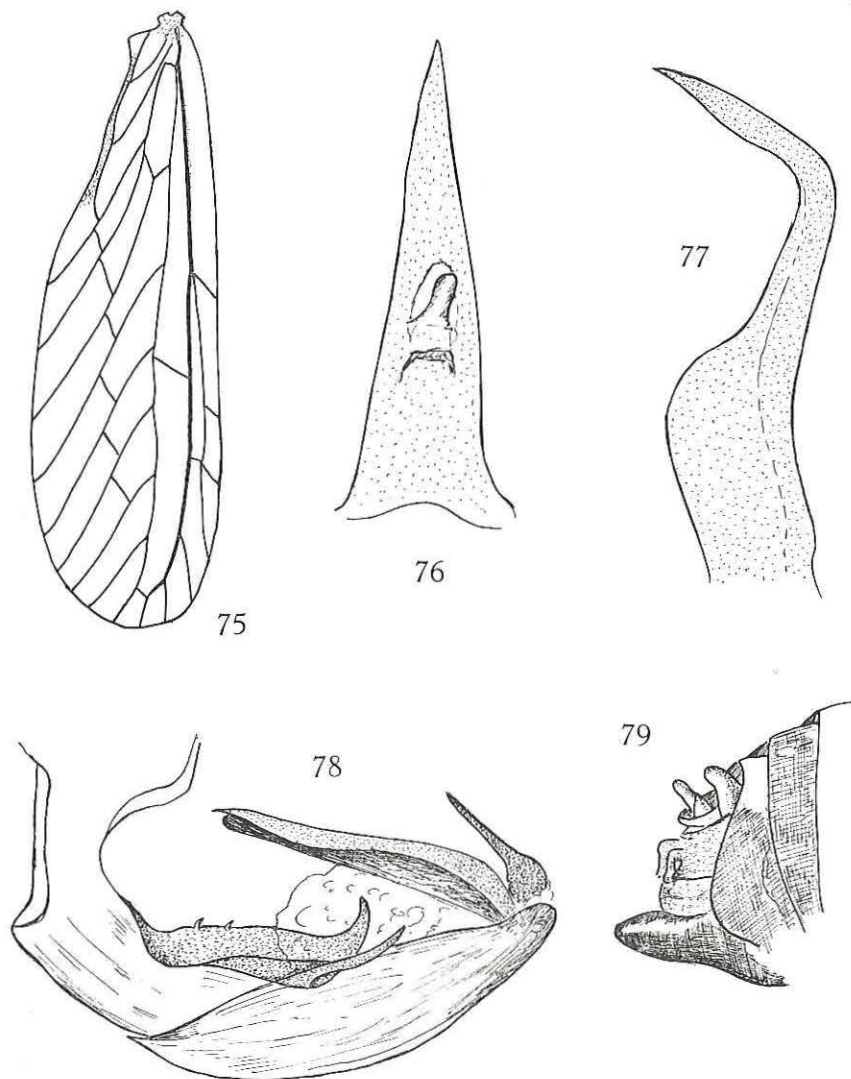


FIG. 75-79. — *Diostrombus rutshuruensis* n. sp.

75 : Elytre; 76 : Tube anal, vue dorsale; 77 : Paramère; 78 : Edéage, vue latéro-ventrale gauche; 79 : Genitalia ♀, vue latérale.

8 Paratypes : même localité; Mongbwalu, 1939, M^{me} SCHEITZ; Tanganyka-Moero, Nyunzu, 1.II.1934, DE SAEGER; Arebi (Bondo Mabé), 25.VII.1925, H. SCHOUTEDEN; N. lac Kivu, Rwankwi, VI.1951, J. V. LEROY; Kivu : Rutshuru, 1.285 m, 1-6.VI.1935, G. F. DE WITTE, 1403 (Musée Royal de l'Afrique Centrale).

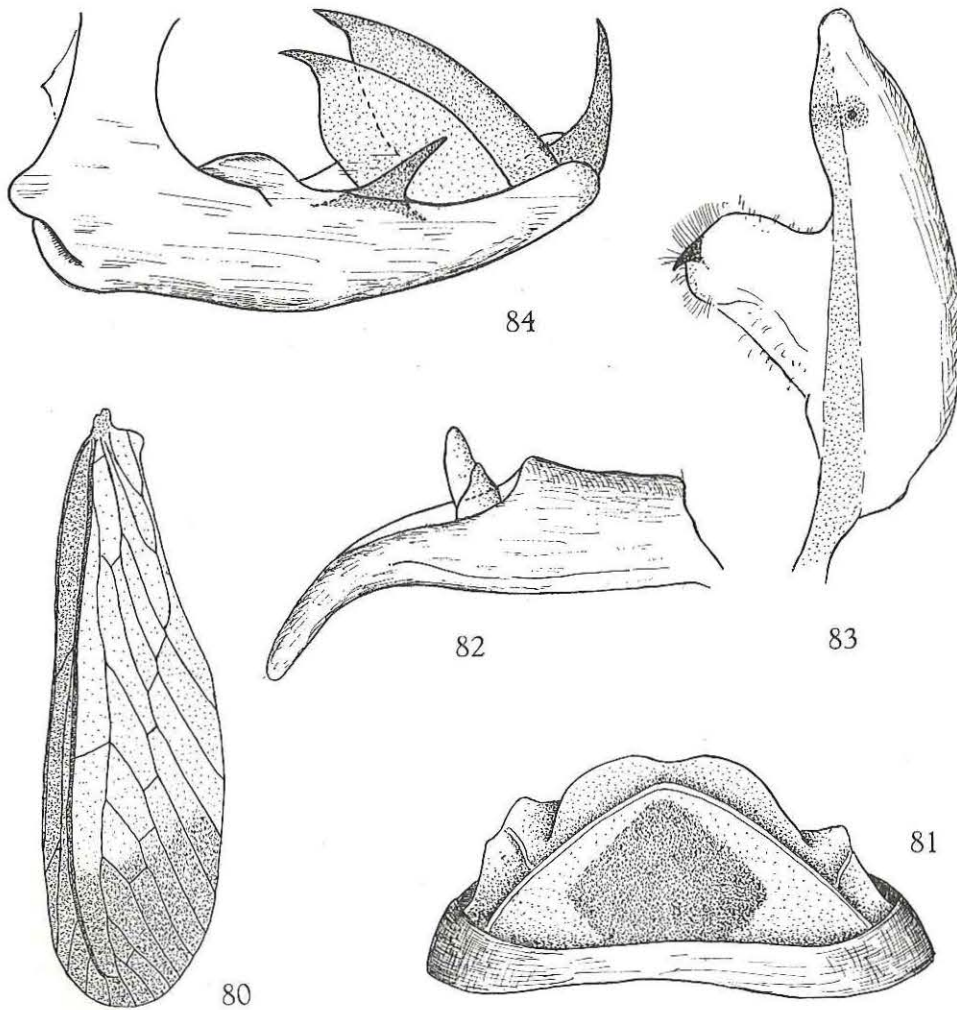
1 Paratype : Tang. Terr., Ukerewe I., Father CONRADS (U. S. National Museum).

11. — *Diostrombus apicalis* (HAGLUND).

(Fig. 80-84.)

HAGLUND, C. J. E., 1899, Öfv. Svensk. Vet. Akad. Forh., 56, p. 64 *Thracia*.DISTANT, W. L., 1907, Ann. Mag. Nat. Hist. (7), 19, p. 403 *Drona*.DISTANT, W. L., 1914, Ann. Mag. Nat. Hist. (8), 13, p. 419 *Diostrombus*.

La description suivante est basée sur le type ♀ ainsi que sur une ♀ provenant également du Congo (Léo) et sur une série d'exemplaires ♂♂ et ♀♀ récoltés en République Centrafricaine (Congo Brazza) par M. M. BOULARD.

FIG. 80-84. — *Diostrombus apicalis* (HAGLUND).

80 : Elytre; 81 : Genitalia ♀; 82 : Tube anal, vue latérale; 83 : Paramère; 84 : Edéage, vue latéro-ventrale gauche.

Le type, qui nous a été communiqué par le Riksmuseum de Stockholm, est endommagé et la tête manque.

Tête, pronotum et scutellum rouge orangé. Front convexe, légèrement saillant au-devant des yeux. Antennes jaunâtres. Pronotum très court, sans carène médiane. Scutellum tricaréné (carènes très faibles sur le type). Abdomen rougeâtre, avec, chez la ♀, une petite tache brune de chaque côté du segment génital. Elytres hyalins; environ le $\frac{1}{3}$ apical ainsi que la cellule costale sont bruns; *Cu* avec 2 branches atteignant le bord apical; *M* avec 6 ou 7 secteurs simples (7 chez le type); le 1^{er} secteur de *M* part du tronc principal peu après le niveau de la bifurcation de *Cu*; bifurcation *Sc+R* peu avant celle du 2^e secteur de *M* (fig. 80). Pattes jaunâtres, sauf les tibias antérieurs qui sont brunâtres. Genitalia ♀ (d'après le type): figure 81. Genitalia ♂, d'après un exemplaire de République Centrafricaine (Congo Brazza), voir figures 82-84.

Longueur totale: env. 8 mm.

Distribution. — Congo (Léo) (Type); Afrique-Equatoriale française (R.C.A.).

Musée Royal de l'Afrique Centrale:

1 ex.: Uélé, Dakwa, VII.1933, H. J. BRÉDO; Lovanium, I-1968, P. M. ELSÉN.

Muséum National d'Histoire Naturelle (Paris):

5 ex.: R.C.A., Boukoko, 3.V.1969, 7.VI.1969, 11.X.1970, M. BOULARD.

12. — *Diostrombus apicalis kivuensis* LALLEMAND.

LALLEMAND, V., 1929, Rev. Zool. Bot. Afr., I, p. 85 *Camma kivuensis*.

MUIR, F., 1934, Ann. Mag. Nat. Hist. (10), 14, p. 571 *Diostrombus miniaceus*.

A l'examen, les genitalia ♂ et ♀ de *kivuensis* LALLEMAND (= *miniaceus* MUIR) se sont révélés semblables à ceux d'*apicalis* HAGLUND. La présence d'une partie apicale brune bien délimitée sur les élytres d'*apicalis* alors que chez *kivuensis* ils sont uniformément jaunâtres nous a paru suffisante pour considérer cette dernière comme sous-espèce de la précédente.

Distribution. — Congo (Léo) (Type); Uganda; Congo (Brazza); Angola; Soudan; Nigeria; Tanganyka; *Cameroon*.

Musée Royal de l'Afrique Centrale:

93 ex.: Rutshuru, 8.V.1936, L. LIPPENS Kisantu, 1931, R.P. VANDERIJST; Congo da Lemba, IV.1913, R. MAYNÉ; Kasai, Ngombe, 9.XI.1921, H. SCHOUTEDEN; S.W. Maniema: Lufungula, VI.1936, P. HENRARD; Haut Uélé: Abimva, VI-VII.1925, L. BURGEON; Ubangi: Buburu, XII.1931, H. J. BRÉDO; Eala, 19.XI.1923, H. J. BRÉDO; Kasai: Ipamu, 1922, P. VANDERIJST; Katanda, 950 m, 30.XI.1934, G. F. DE WITTE; N. Kivu: riv. Kabarazo, 12.V.1936, L. LIPPENS; Uélé: Dingila, 1.V.1933, H. J. BRÉDO; Benza Mazola, V.1913, R. MAYNÉ; Bambesa, 20.VIII.1933, J. V. LEROY; Luebo, 1921, L. ACHTEN; Mongende, 17.IV.1921, H. SCHOUTEDEN; Tshuapa, Ikela, 1956, R.P. LOOTENS.

Muséum de Paris :

7 ex. : Sibiti, Congo, 1963, Miss. A. DESCARPENTRIES et A. VILLIERS 1963-1964; Boukoko (R.C.A.), M. BOULARD.

Institut royal des Sciences naturelles de Belgique :

3 ex. : Boma Sundi, P. ROLIN; Ngowa, XII. 1937, R.P. J. MERTENS; Angola : Dundo, forêt de la Luachimo, 14.IX.1946, A. DE BARROS MACHADO; Ile-Ife, 4 nov. 1968 et 10 déc. 1968, J. T. MEDLER.

Collection R. Linnavuori :

2 ex. : Sudan, Upper Nile, Pochalla, 13.I.1963, LINNAVUORI.

U. S. National Museum :

2 ex. : Uganda, Ankole, Kichwamba, 23-29.IV.1968, P. J. SPANGLER; Tangan. Terr., Ukerewe I., Father CONRADS.

Institut des Parcs Nationaux du Congo :

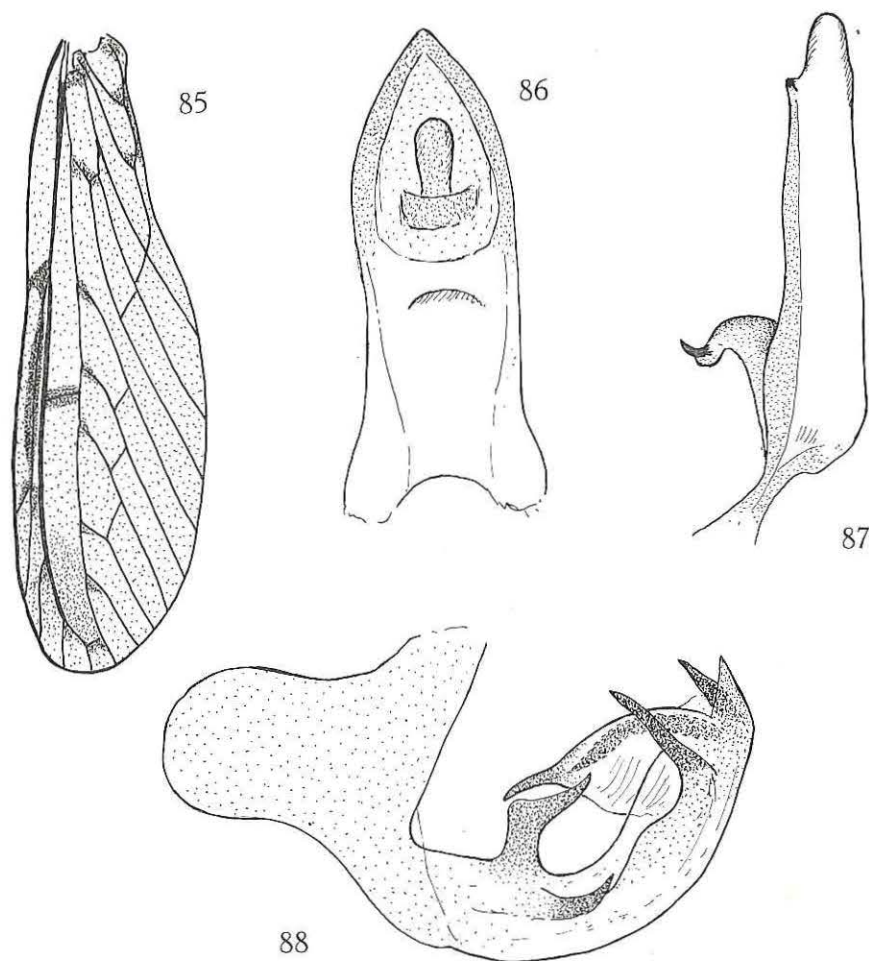
Parc National de la Garamba : 100 ex. : II/hd/9, 21.VIII.1951, H.D.S., 2297; II/fd/7", 5.V.1952, H.D.S., 3424; Mt Moyo, 25.IX.1952, H.D.S., 4076; II/gd/4, 22.VIII.1952, H.D.S., 3964; II/hd/8, 3.VIII.1951, H.D.S., 2195; II/fd/17, 25.IX.1952, H.D.S., 4083; PpK. 9/g/9, 10.IX.1952, H.D.S., 4044; I/o/1, 4.V.1950, G.D., 479; II/hc/4, 31.V.1951, J.V., 1849; II/gd/6, 19.VIII.1952, H.D.S., 3952; II/hd/4, 2.X.1951, H.D.S., 2496; II/gd/14, 6.V.1951, H.D.S., 1876; II/hd/4, 17.VII.1951, H.D.S., 2107; II/hc/11, 31.V.1951, J.V., 1845; II/gd/6, 2.IX.1952, H.D.S., 4023; II/gd/4, 8.VI.1951, H.D.S., 1889; I/o/1, 10.VIII.1950, G.D., 753; II/gc/8, 9.IX.1952, H.D.S., 4042; I/a/1, 5.V.1950, G.D., 483; II/gd/4, 12.VI.1951, H.D.S., 1902; II/gd/8, 20.V.1951, H.D.S., 1947; Inimvua, 20.V.1952, H.D.S., 3488; II/gd/4, 26.VI.1952, H.D.S., 3706; II/gc/6, 9.VIII.1951, H.D.S., 2243; II/gd/4, 2.V.1952, H.D.S., 3410; II/fc/18, 12.X.1951, H.D.S., 2653; II/fc/6, 10.X.1951, H.D.S., 2575; II/gd/6, 19.VIII.1952, H.D.S., 3952; II/fc/6, 20.VIII.1951, H.D.S., 2282; Dedegwa, 21.V.1952, H.D.S., 3499; II/gd/4, 26.VI.1952, H.D.S., 3706; II/gd/10, 29.IV.1952, H.D.S., 3401; Aka/2, 19.V.1952, H.D.S., 3476; Nagero, 10.V.1952, H.D.S., 3500; II/gc/15, 17.XII.1951, H.D.S., 2917; II/hc/8, 12.XII.1951, H.D.S., 2902; II/hd/4, 17.VII.1951, H.D.S., 2107; I/a/1, 10.VII.1950, G.D., 696; PFSK. 5/3, 20.VI.1952, H.D.S., 3656; I/a/1, I.V.1950, G.D., 469; II/le/8, 9.IX.1952, H.D.S., 4040; II/gc/15, 17.XII.1951, H.D.S., 2917; I/o/1, 17.V.1950, H.D.S., 527; I/a/3, 17.IV.1950, H.D.S., 422; I/a/3, 8.V.1950, H.D.S., 497; I/o/1, 4.V.1950, G.D., 419.

Parc National Albert : 4 ex. : P.N.A., 26-28.VIII.1953, P.V.S. et V.H., 4999-5005; 9.VIII.1955, P.V.S., 13.794-95; 26.IX.1952, P.V.S. et J.K., 1083; 9.VIII.1954, P.V.S. et H.S., 9952-55.

13. — *Diostrombus djambensis* n. sp.

(Fig. 85-88.)

Front ocre, linéaire, à bords latéraux fortement relevés et rapprochés. Clypéus brun-noir, apicalement jaune, avec une carène médiane nette. Antennes brun foncé; 2^e article à peine plus long que large, avec encoche apicale pour l'insertion de l'arista. Vertex ocre, aussi long que large, à bords latéraux prolongeant ceux du front. Pronotum jaune à ocre jaune, avec grande tache brun foncé couvrant la presque totalité des plaques pectorales; pas de carène médiane. Scutellum ocre, tricaréné. Metanotum jaunâtre. Elytres (fig. 85) hyalins; sont bruns : une petite tache triangulaire sur la 1^{re} transversale de la cellule costale, la bifurcation des secteurs de *M*, la bifurcation *Cl1Cl2* et l'espace compris entre *Cl2* et le bord

FIG. 85-88. — *Diostrombus djambensis* n. sp.

85 : Elytre; 86 : Tube anal, vue dorsale; 87 : Paramère; 88 : Edéage, vue latéro-ventrale gauche.

interne, l'angle formé par le tronc commun *Sc + R* et la suture clavale; *Sc* et *R* épaissies; *Cu* avec 2 branches simples, *M* avec 6 secteurs, donc 7 branches atteignant le bord de l'élytre. Abdomen ocre, avec marques brun-noir sur la face dorsale. Hanches antérieures et médianes brun foncé, fémurs et tibias ocre, dernier article des tarses brun. Genitalia ♂, voir figures 86-88.

Longueur totale : env. 8 mm.

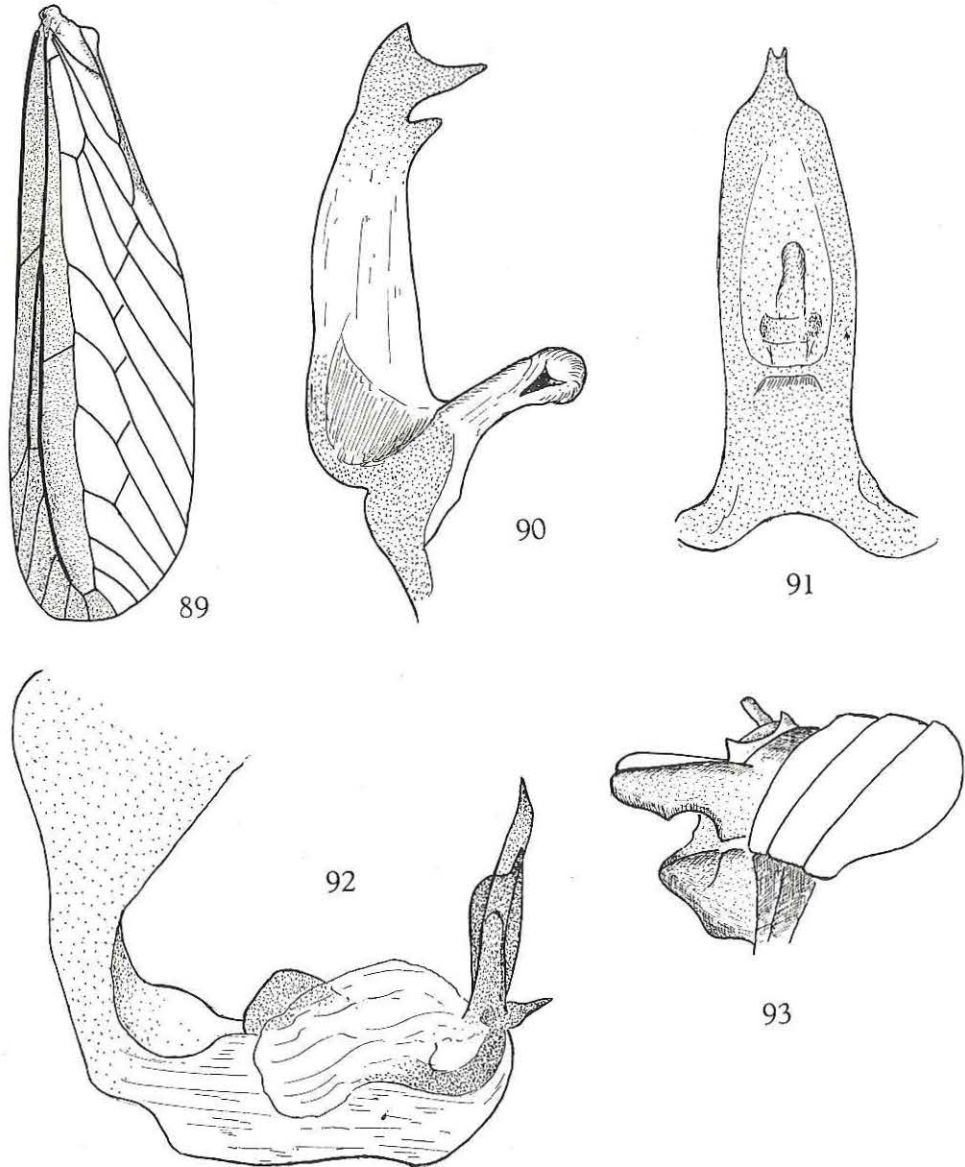
Holotype ♂ : Bas-Uélé : Djamba, 17-25.XII.1924, H. SCHOUTEDEN (Musée Royal de l'Afrique Centrale).

2 Paratypes ♀ : 20 m. W. Kampala, Uganda, May 1952, E. PINHEY (U. S. National Museum). Ces exemplaires présentent 2 petites taches brunes sur la partie postérieure du scutellum, peu avant l'angle apical.

14. — *Diestrombus demoulini* n. sp.

(Fig. 89-93.)

Front rouge vif, environ 3 fois moins large qu'un œil vu de face. Clypéus rouge, tricaréné. 2^e article des antennes environ 2 fois plus long que large,

FIG. 89-93. — *Diestrombus demoulini* n. sp.

89 : Elytre; 90 : Paramère; 91 : Tube anal, vue dorsale; 92 : Edéage, vue latéro-ventrale gauche; 93 : Genitalia ♀, vue de profil.

avec encoche apicale pour l'insertion de l'arista. Vertex, pronotum et scutellum rouges. Pronotum sans carène médiane. Scutellum tricaréné. Elytres (fig. 89) hyalins, à cellules costale et sous-costale brunâtres; nervures ocre brun, *Sc+R* rouge vif; partie comprise entre *Cl2* et le bord sutural, brun foncé; *Cu* avec 2 branches simples, *M* avec 6 secteurs, donc 7 branches atteignant le bord de l'élytre; bifurcation du 1^{er} secteur de *M* au même niveau que celle de *Cu*, celle du 2^e secteur au niveau de la bifurcation *Sc+R*. Pattes ocre rougeâtre; tibias et tarsi antérieurs et médians ainsi que le dernier article des tarsi postérieurs, brun-noir. Abdomen rouge. Ailes avec bordure brune le long du bord interne et une tache noire vers le milieu du bord externe. Genitalia ♂, voir figures 90-92. Genitalia ♀ : voir figure 93.

Holotype ♂ : Parc National de la Garamba : Miss. H. DE SAEGER, I/a/1, 22.V.1950, G. DEMOULIN, 536 (Institut des Parcs Nationaux du Congo).

15 Paratypes : II/gc/6, 21.VIII.1952, 3963, H. DE SAEGER; II/gc/7, 14.VIII.1952, 3940, H. DE SAEGER; II/hc/4, 31.V.1951, 1849, J. VERSCHUREN; II/hd/4, 20.VIII.1952, 3958, H. DE SAEGER; I/a/1, 17.VII.1950, 705, G. DEMOULIN; II/gc/6, 21.VIII.1952, 3963; II/gd/8, 16.VI.1951, 1919, H. DE SAEGER; I/a/1, 17.VII.1950, 703, G. DEMOULIN; II/gd/6, 19.VIII.1952, 3952, H. DE SAEGER; I/a/1, 12.VI.1950, 594, G. DEMOULIN (Institut des Parcs Nationaux du Congo).

1 Paratype : Bunia, 1938, RR.FF. Maristes (Musée Royal de l'Afrique Centrale).

15. — *Diostrombus rufus* MUIR.

(Fig. 94 et 95.)

MUIR, F., 1928, Ann. Mag. Nat. Hist. (10), I, p. 514, fig. 22, 22 a.

MUIR, F., 1934, *ibidem*, 14, p. 571 (♂).

Front rouge, très étroit, environ 2 fois moins large que la largeur maximale d'un œil vu de face, à bords latéraux fortement relevés, subparallèles. Clypéus rouge, avec 3 carènes dont les latérales sont plus faibles que la médiane. Rostre ocre rougeâtre; dernier article globuleux, noir. Antennes rougeâtres; 2^e article environ 2 fois plus long que large; arista insérée dans une encoche apicale. Ocelles nets. Vertex rouge, triangulaire, à bords latéraux relevés se prolongeant directement par ceux du front, un peu moins de 2 fois plus large à la base, que long au milieu. Pronotum rouge, à bord postérieur ocre, sans carène médiane. Scutellum rouge à ocre rouge, faiblement tricaréné. Elytres (fig. 94) plus de 3 1/2 fois aussi longs que larges, hyalins, légèrement jaunâtres, à nervures brunes; tronc commun *Sc+R* ainsi que *R* épaissis, brun-noir; cellule costale très légèrement teintée de brun de même que l'espace compris entre *Cl2*, le tronc commun *Cl1Cl2* et le bord sutural; le tronc commun *Cl1Cl2* rejoint *Cu2* loin après l'apex du clavus qui est ouvert; *Cu* avec 2 branches, *M* avec 6 secteurs, donc 7 branches atteignant le bord de l'élytre. Abdomen rouge. Pattes jaunâtres sauf les

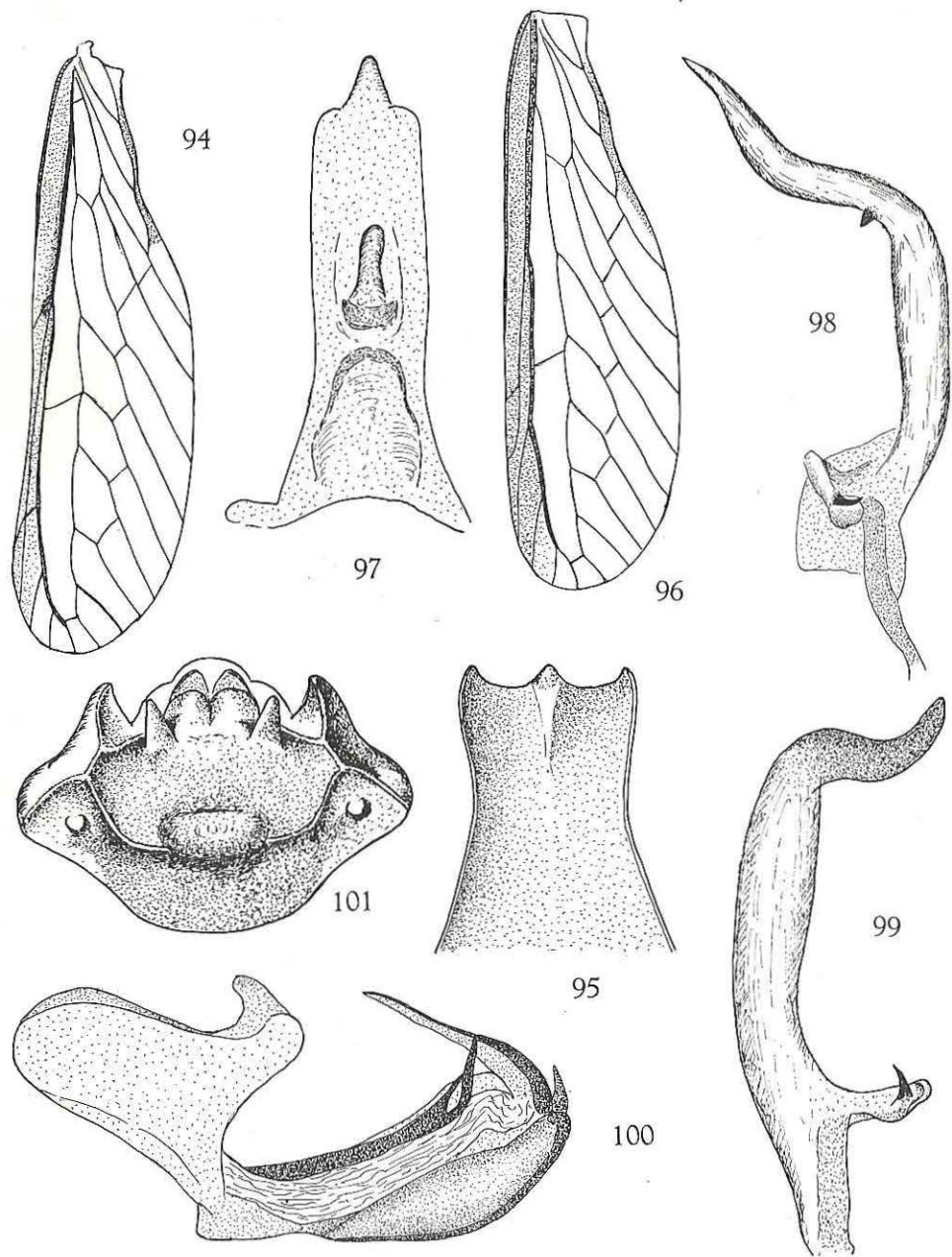


FIG. 94 et 95. — *Diostrombus rufus* MUIR.

94 : Elytre; 95 : Plaque subgénitale de la ♀.

FIG. 96-101. — *Diostrombus whitfieldi* MUIR.

96 : Elytre; 97 : Tube anal, vue dorsale; 98 : Paramère gauche; 99 : Paramère droit;
100 : Édéage, vue latéro-ventrale gauche; 101 : Genitalia ♀, vue ventrale.

tibias antérieurs et médians qui sont bruns. Plaque subgénitale de la ♀ large et fortement saillante, son bord externe formant 3 petites pointes (voir fig. 95). D'après MUIR (¹), les genitalia ♂ sont proches de ceux de *whitfieldi* mais le tube anal est plus long et plus mince, les bords anguleux du pygophore plus petits; en vue dorsale, les paramères plus larges à la base et plus minces à l'apex, la petite épine est située basalement de la courbure et il y a une petite saillie au bord externe, près de la base.

MUIR ne dit pas si, comme c'est le cas pour *whitfieldi*, les deux paramères sont différents. L'exemplaire ♂ sur lequel est basée la description des genitalia ne se trouvant pas dans les collections du British Museum, il nous est impossible de donner plus de précisions.

Distribution. — Sierra Leone (Type); Congo (Léo); Afrique-Equatoriale française (R.C.A.). *Nigeria; Côte d'Ivoire; H. Volta.*

Parcs nationaux du Congo :

1 ex. : P.N.G., II/gd/4, 12.VI.1951 (1902).

Musée Royal de l'Afrique Centrale :

1 ex. : N. Kivu, riv. Kabarazo, 12.V.1936, L. LIPPENS.

Muséum National d'Histoire Naturelle (Paris) :

1 ex. : Boukoko, 18.XI.1965, s. caféiers, parcelle H-90, M. BOULARD.

16. — *Diostrombus whitfieldi* MUIR.

(Fig. 96-101.)

MUIR, F., 1934, Ann. Mag. Nat. Hist. (10), 14, p. 570, fig. 9.

Front rougeâtre, environ 2 fois plus étroit que la largeur d'un œil vu de face, à bords latéraux fortement relevés et rapprochés l'un de l'autre; vu de profil, il est régulièrement convexe et peu saillant au-devant des yeux. Clypéus rougeâtre, avec 3 carènes nettes mais peu saillantes. Rostre jaunâtre; dernier article court, globuleux, brun-noir. Antennes globuleuses; 2^e article environ 2 fois plus long que large; arista insérée dans échancrure apicale interne. Ocelles nets, blanchâtres. Pronotum ocre rouge, non caréné au milieu. Scutellum très faiblement caréné; ocre rouge, blanchâtre à l'apex. Vertex rougeâtre, triangulaire, à bords relevés, environ 1 1/2 fois plus large à la base que long au milieu; bords latéraux convergents vers l'avant, se prolongeant par ceux du front en une courbe régulière. Elytres (fig. 96) hyalins, très légèrement brunâtres; cellule costale plus foncée de même que l'espace compris entre le tronc commun des nervures clavales et le

(¹) Ann. Mag. Nat. Hist., 1934, 14 (10), p. 571.

bord sutural; nervures brun clair, la sous-costale et la radiale épaissies, brun foncé; *Cu* avec 2 branches atteignant le bord postérieur, *M* avec 6 secteurs, donc 7 branches atteignant le bord de l'élytre. Ailes brunâtres, avec bordure brune le long de la moitié apicale du bord interne et une petite tache foncée vers le milieu du bord externe. Pattes jaunâtres; tibias antérieurs et médians brunâtres. Abdomen rouge vif; segment génital ♀ ocre rougeâtre; pas de plaque subgénitale saillante vers l'arrière mais 2 cornicules médians développés et 2 petites saillies latérales noduleuses (voir fig. 101). Genitalia ♂, voir figures 97-100.

Distribution. — Soudan (Type); Congo (Léo).

Musée Royal de l'Afrique Centrale :

49 ex.: Kisantu, 1931, R.P. VANDERIJST; Bambesa, 19.VI.1931, J. VRIJDAGH; Léopoldville, 13.III.1911, Dr. MOUCHET; Congo da Lemba, III.1913, R. MAYNÉ; Mongende, 17.IV.1921, H. SCHOUTEDEN; Léopoldville, IV-V.1911, Dr. A. DUBOIS.

Description d'après un paratype ♀ : « Talodi, F. G. S. WHITFIELD, 16.IX.1929, on grass ». Elytre figuré d'après paratype, genitalia ♂ d'après un exemplaire de Kisantu.

17. — *Diostrombus grahami* (DISTANT).

(Fig. 102-105.)

DISTANT, W. L., 1907, Ann. Mag. Nat. Hist. (7), 19, p. 404 *Drona*.

Dans la description originale, les genitalia ♂ sont décrits comme suit : « ... Male with three long appendages, the uppermost deflected from near base and directed downwards, its apex acute, the two lowermost directed strongly outwards and then as strongly directed inwardly and downward... ».

Ce que DISTANT décrit comme un appendice situé en haut et recourbé vers le bas correspond au tube anal tandis que les 2 appendices inférieurs correspondent aux paramères.

Nous avons retrouvé cette espèce, représentée par 4 ♂♂, dans le matériel du Musée Royal de l'Afrique Centrale. La description et la figuration des genitalia ♂ ont été faites d'après ces exemplaires.

Front rougeâtre à bords latéraux fortement relevés, très rapprochés, ne laissant entre eux qu'une étroite gouttière dont la largeur est 3 1/2 fois inférieure à celle d'un œil vu de face; vu de profil, il est régulièrement convexe et peu saillant. Clypéus rougeâtre, tricaréné. Vertex triangulaire, à bords latéraux relevés se prolongeant vers l'avant par ceux du front. 2^e article des antennes environ 2 fois plus long que large, avec encoche apicale pour l'insertion de l'arista. Pronotum rouge; sans carène médiane. Scutellum rougeâtre, faiblement tricaréné. Elytres (fig. 102) hyalins, cellules costale et sous-costale brunâtres; *M* avec

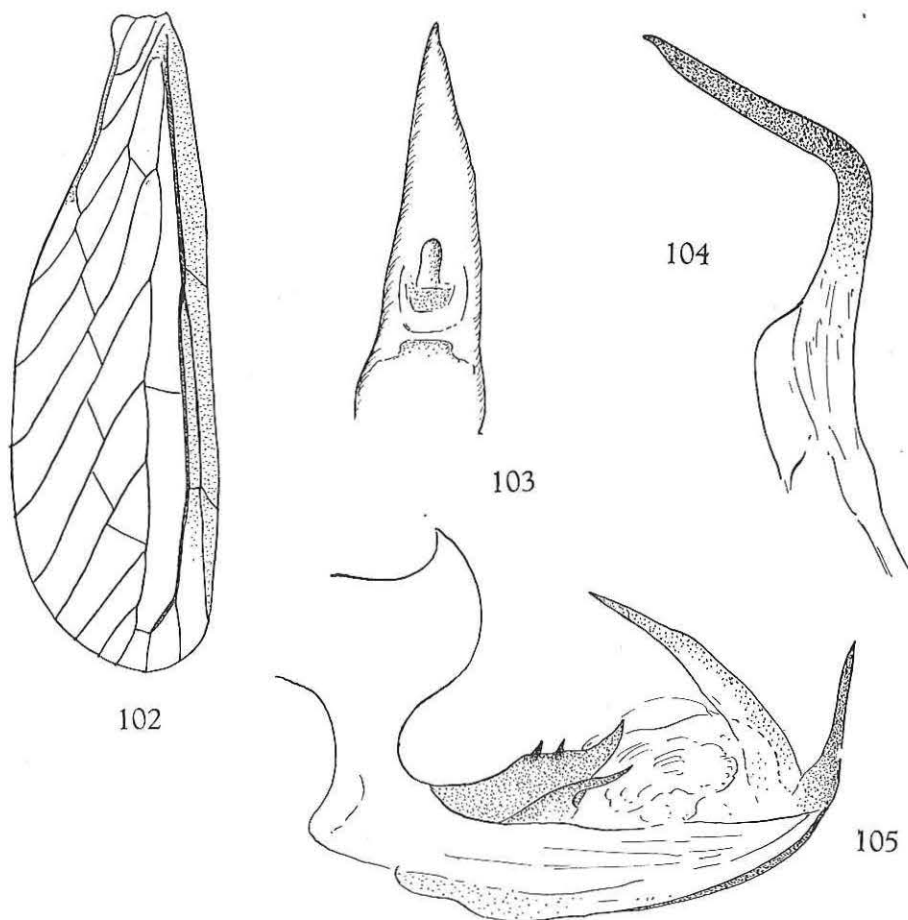


FIG. 102-105. — *Diostrombus grahami* (DISTANT).

102 : Elytre; 103 : Tube anal, vue dorsale; 104 : Paramère; 105 : Edéage, vue latéro-ventrale gauche.

6 secteurs, donc 7 branches atteignant le bord de l'élytre. Ailes jaunâtres, avec bande brun foncé le long du bord interne et une petite tache noire au milieu du bord externe. Abdomen rougeâtre. Pattes ocre à ocre rouge, sauf les tibias antérieurs et médians qui sont brun foncé. Rostre ocre rouge; article apical globuleux, noirâtre. Genitalia ♂, voir figures 103-105.

Distribution. — Côte d'Or (Type); Nyassaland; Congo (Léo).

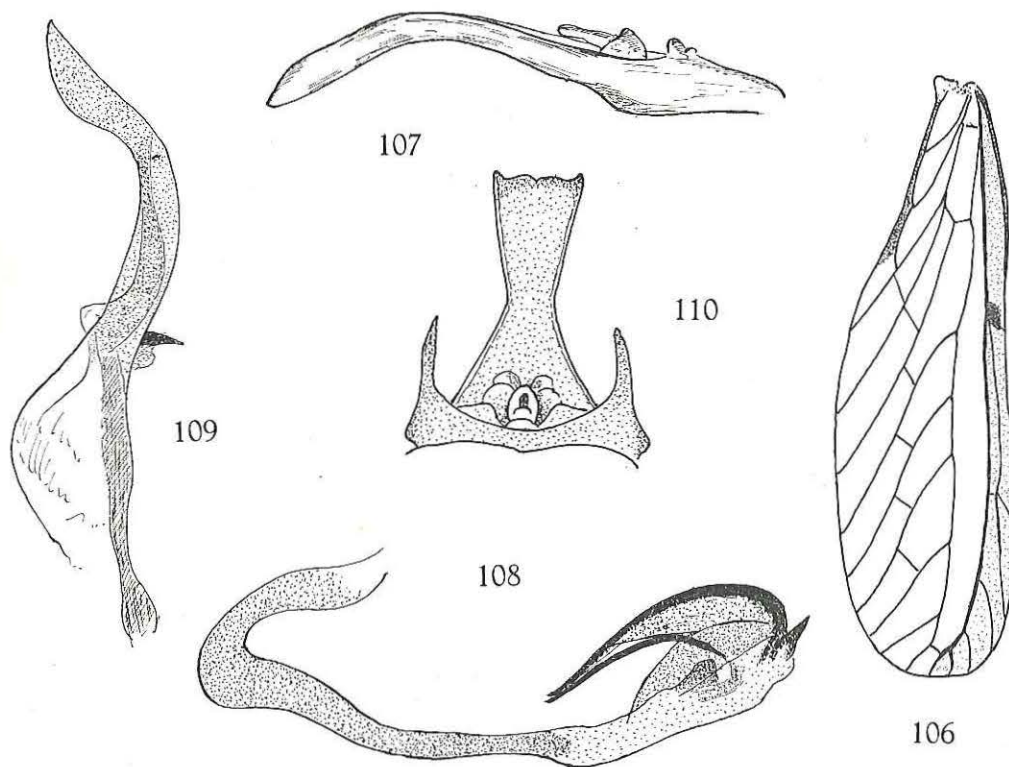
Musée Royal de l'Afrique Centrale :

Rutshuru, XI.1937, J. GHESQUIÈRE; IX-X.1936, Dr. DELVILLE; Tanganyka, Moero, Nyunzu, 1.II.1934, DE SAEGER.

18. — *Diostrombus verschureni* n. sp.

(Fig. 106-110.)

Front rouge, à bords latéraux relevés, un peu plus de 2 fois plus étroit qu'un œil vu de face. Clypéus rouge, très nettement tricaréné. 2^e article des antennes environ 2 fois plus long que large, avec encoche apicale pour l'insertion de l'arista. Vertex rouge, trapézoïdal, environ 2 fois plus large à la base que long au milieu. Pronotum sans carène médiane; rouge, avec large bordure jaunâtre sur les plaques pectorales. Scutellum légèrement tricaréné, rouge à rouge orangé avec extrémité postérieure blanchâtre. Elytres (fig. 106) hyalins, à nervures brunâtres; tronc commun *Sc+R* ainsi que *R* épaissis et plus foncés; partie comprise entre le bord sutural et *Cl2* brun foncé; une tache brun foncé sur la première transversale de la cellule costale; cellules costale et sous-costale plus foncées; *Cu* avec 2 branches simples, *M* avec 6 secteurs, donc 7 branches atteignant le bord de l'élytre; bifurcation du 1^{er} secteur de *M* au même niveau que celle de *Cu*; bifurcation *Sc+R* au même niveau que celle du 2^e secteur de *M*. Pattes ocre, tibias anté-

FIG. 106-110. — *Diostrombus verschureni* n. sp.

106: Elytre; 107: Tube anal, vue latérale; 108: Edéage, vue latéro-ventrale gauche;
109: Paramère; 110: Genitalia ♀, vue dorsale.

rieurs et médians ainsi que l'apex des tarsi postérieurs, brun foncé. Abdomen rougeâtre, sans marques noires. Genitalia ♂, voir figures 107-109. Genitalia ♀ : plaque subgénitale très longue et étroite, dépassant très fortement l'apex de l'abdomen; elle se rétrécit fortement vers le milieu puis s'élargit à nouveau pour former une sorte de spatule dont le bord externe est sinué (voir figure 110).

Longueur totale : env. 9 à 10 mm.

Holotype ♂ : Parc National de la Garamba : II/hc/4, 31.V.1951, 1849, J. VERSCHUREN (Institut des Parcs Nationaux du Congo).

13 Paratypes : Parc National de la Garamba : PpK/60/d/8, 18.XII.1951, 2924, H. DE SAEGER; II/gd/4, 22.VIII.1952, H. DE SAEGER, 3964; II/fd/7", 5.V.1952, H. DE SAEGER, 3424; II/gd/6, 2.IX.1952, H. DE SAEGER, 4023; II/gd/11, 4.IX.1952, H. DE SAEGER, 4036; II/hc/4, 31.V.1951, J. VERSCHUREN, 1849; II/gc/4, 1.VI.1951, H. DE SAEGER, 1852; II/gd/8, 20.VI.1951, H. DE SAEGER, 1947; II/hd/4, 2.X.1951, H. DE SAEGER, 2496 (Institut des Parcs Nationaux du Congo).

1 Paratype : Kasai : Ngombe, 5.XI.1921, Dr. H. SCHOUTEDEN (Musée Royal de l'Afrique Centrale).

19. — *Diostrombus sibiricus* n. sp.

(Fig. 111-114.)

Front rouge, à bords latéraux fortement relevés, environ 3 fois plus étroit qu'un œil vu de face. Clypéus rouge, tricaréné. 2^e article des antennes à peu près 2 fois plus long que large, avec encoche apicale pour l'insertion de l'arista. Vertex rouge. Pronotum sans carène médiane, rouge. Scutellum rouge, tricaréné. Elytres (fig. 111) hyalins, légèrement jaunâtres, à cellules costale et sous-costale plus foncées; nervures brunâtres, le tronc commun *Sc+R* de même que *R* épaissis et noirâtres; *Cu* avec 2 branches simples, *M* avec 6 secteurs, donc 7 branches atteignant le bord de l'élytre; bifurcation du 1^{er} secteur de *M* au même niveau que celle de *Cu*; bifurcation du 2^e secteur de *M* au même niveau que celle de *Sc+R*; espace compris entre *Cl2* et le bord sutural, noirâtre. Ailes avec bordure brune le long du bord interne et une tache noire vers le milieu du bord externe. Pattes ocre; tibiae et tarsi antérieurs et médians ainsi que le dernier article des tarsi postérieurs, bruns. Abdomen rougeâtre, sans marques foncées. Genitalia ♂, voir figures 112-114.

Longueur totale : env. 8 mm.

Holotype ♂ : Congo, Sibiti, Miss. A. DESCARPENTRIES et A. VILLIERS 1963-1964 (Muséum National d'Histoire Naturelle, Paris).

3 Paratypes : Uélé, Bambesa, 1.VI.1934, H. J. BRÉDO; Mayumbe, Tschela, 13.VI.1924, A. COLLART; Léopoldville, 13.III.1911, Dr. MOUCHET (Musée Royal de l'Afrique Centrale et Institut royal des Sciences naturelles de Belgique).

Distribution : Congo (Prov. de Brazzaville); Nigeria.

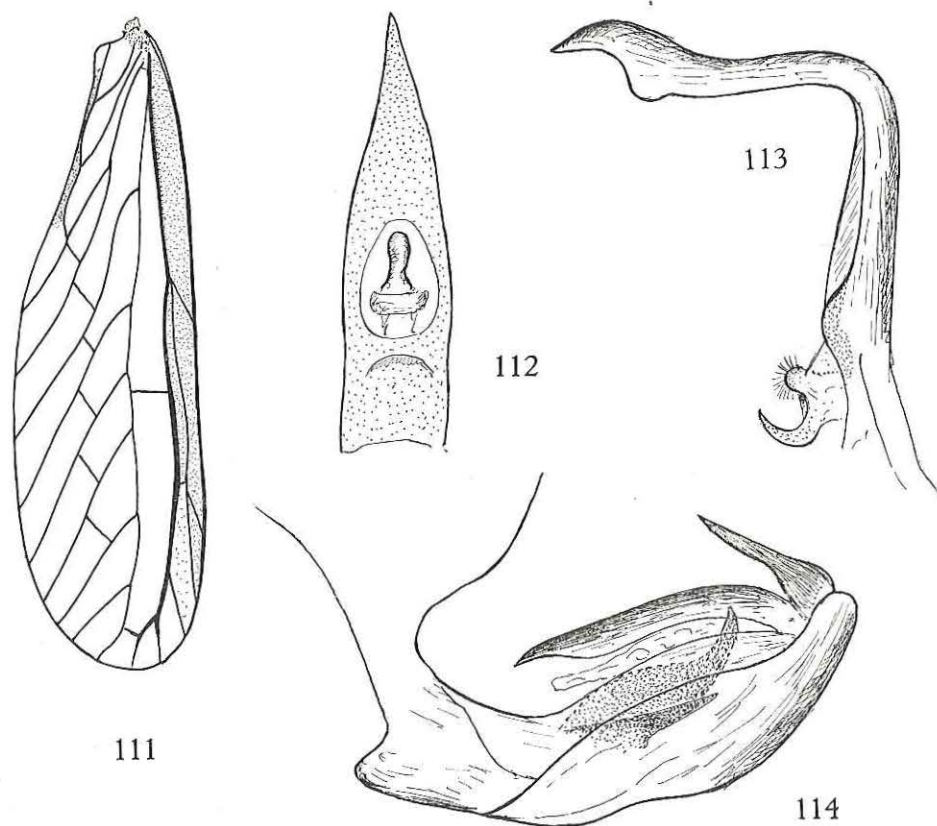


FIG. 111-114. — *Diostrombus sibiricus* n. sp.
 111 : Elytre; 112 : Tube anal, vue dorsale; 113 : Paramère; 114 : Edage, vue latéro-ventrale gauche.

20. — *Diostrombus luteus* (MUIR).

(Fig. 115-119.)

MUIR, F., 1926, Ann. Mag. Nat. Hist. (9), 18, p. 239, fig. 17, 18 *Camma*.

Front jaune à ocre jaune, environ 2 fois plus étroit que la largeur maximale d'un œil vu de face; bords latéraux fortement relevés, formant une étroite gouttière. Clypéus jaunâtre à ocre, convexe, tricaréné. Rostre jaune; article apical globuleux noirâtre. Antennes ocre; 2^e article environ 2 fois plus long que large. Vertex, pronotum et scutellum jaunâtres. Une pruinosité blanche sur la base du clypéus, sur le pronotum et derrière l'angle postérieur du scutellum. Elytres (fig. 115) hyalins, à nervures brunes; bifurcation *Sc+R* peu avant le 2^e secteur de *M*, celle de *Cu* peu avant le 1^{er} secteur; *M* avec 6 secteurs simples, donc 7 branches atteignant le bord de l'élytre; *Cu* avec 2 branches simples. Ailes hyalines; bords et nervures largement bordés de brun noirâtre (fig. 116). Pattes

jaunâtres. Moitié apicale de la face antérieure des fémurs antérieurs et médians, brun-noir; tibias et tarses antérieurs et médians, noirs; une marque foncée à l'apex des tibias postérieurs. Chez la ♀, pas de plaque subgénitale saillante. Genitalia ♂, voir figures 117-119.

Longueur totale: env. 7 mm.

Distribution. — Sierra Leone (Type); Congo (Léo); Uganda; Tanganyka; Afrique-Equatoriale française (R.C.A.).

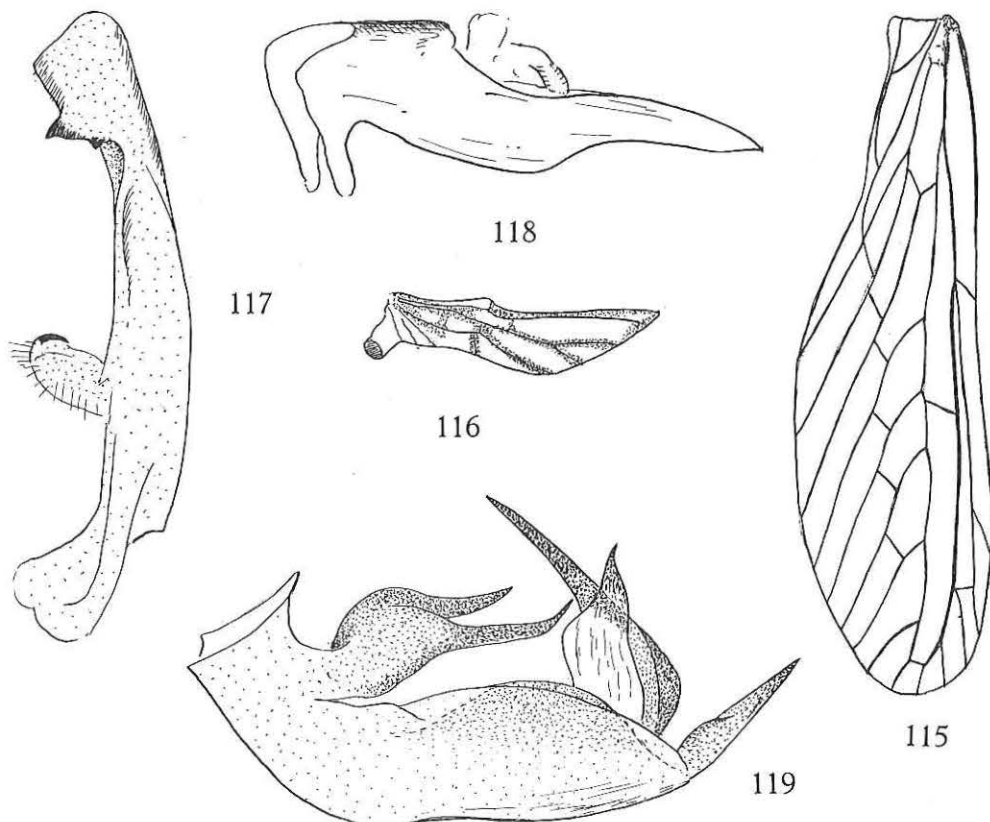


FIG. 115-119. — *Diostrombus luteus* (Muir).

115: Elytre; 116: Aile; 117: Paramère; 118: Tube anal, vue latérale; 119: Edéage, vue latéro-ventrale gauche.

Institut des Parcs Nationaux du Congo:

10 ex.: P.N.G., Akam, 21.IV.1950, H. DE SAEGER, 441; I/o/2, 6.XI.1950, H. DE SAEGER, 929.

Musée Royal de l'Afrique Centrale:

42 ex.: Mayumbe, Luvu, 24.VI.1924, A. COLLART; Haut Uélé, Yebo Moto, 1926, L. BURGEON; Boma, 9.IX.1920, H. SCHOUTEDEN; Eala, 29.X.1929, H. J. BRÉDO; Kunungu, 2.IV.1921, H. SCHOUTEDEN; Mayumbe, Tshela, 1.V.1924, A. COLLART; Stanleyville,

5.II.1928, A. COLLART; Mongbwalu (Kilo), VII.1938, M^{me} SCHEITZ; May-ya-Moto, 6-9.XI.1934, G. F. DE WITTE, 729.

Institut royal des Sciences naturelles de Belgique :

6 ex. : Eala, 19.VIII.1935, J. GHESQUIÈRE.

U. S. National Museum :

2 ex. : 20 m. W. Kampala, Uganda, May 1952, E. PINHEY; Tang. Terr., Ukerewe, Father CONRADS.

Muséum National d'Histoire Naturelle (Paris) :

1 ex. : Boukoko, R.C.A., 29.I.1970, M. BOULARD.

21. — *Diostrombus lanius* (STÅL).

(Fig. 120-124.)

STÅL, C., 1855, Ofv. Svensk. K. Vet. Akad. Forh., 12, p. 94 *Derbe*.

STÅL, C., 1866, Hem. Afric., IV, p. 195 *Thracia*.

DISTANT, W. L., 1907, Insect. Transvaal., 8, p. 196, pl. 20, fig. 5 *Drona*.

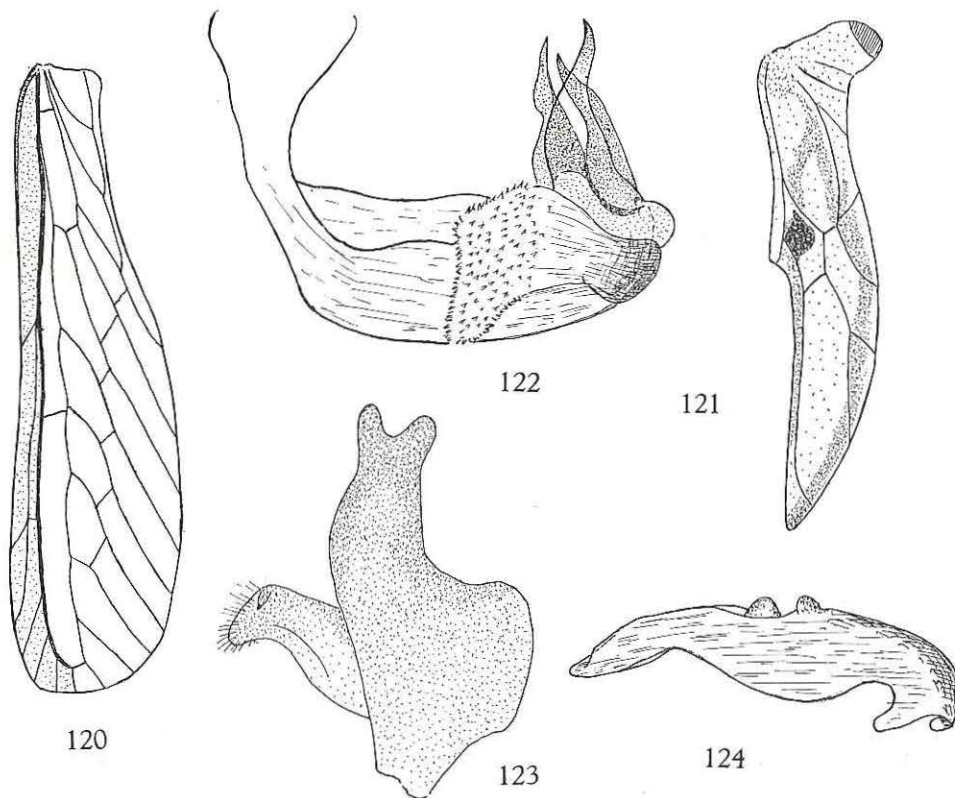


FIG. 120-124. — *Diostrombus lanius* (STÅL).

120 : Elytre; 121 : Aile (grossissement double de celui de l'élytre); 122 : Edéage, vue latéro-ventrale gauche; 123 : Paramère; 124 : Tube anal, vue latérale.

La description qui suit a été établie d'après le type; les genitalia sont figurés d'après un paratype ♂ qui a été disséqué.

Front rougeâtre, à bords latéraux étroitement accolés; vu de profil, il est convexe et légèrement saillant au-devant des yeux. Clypéus rougeâtre, tricaréné. Rostre ocre; dernier article globuleux, noirâtre. 2^e article des antennes environ 2 fois plus long que large, rougeâtre. Vertex rougeâtre, triangulaire, à bords latéraux carénés se prolongeant vers l'avant par ceux du front. Pronotum et scutellum rougeâtres; le 2^e tricaréné. Elytres (fig. 120) hyalins, près de 4 fois plus longs que larges; nervures jaunâtres sauf *Sc* et *R* qui sont rougeâtres; cellules costale et sous-costale légèrement teintées de brun; *Cu* avec 2 branches, *M* avec 6 secteurs, donc 7 branches atteignant le bord interne. Ailes atteignant presque la moitié de l'élytre; hyalines, avec étroite bordure brune le long du bord interne et d'une partie du bord externe; une tache noire contre le milieu du bord externe (fig. 121). Pattes ocre; tibias antérieurs et médians brunâtres; tibias postérieurs avec une très petite épine sous l'articulation fémoro-tibiale et une seconde, plus forte, vers le milieu. Genitalia ♂ : voir figures 122-124.

Envergure : 18 mm.

Distribution. — Natal (Afrique du Sud).

22. — *Diostrombus dedegwanus* n. sp.

(Fig. 125-128.)

Front ocre; vu de profil, il est fortement saillant au-devant des yeux, son bord antérieur est anguleusement arrondi. Clypéus blanc jaunâtre, avec carène médiane nette. Antennes jaunes; 2^e article à peine plus long que large, avec encoche apicale pour l'insertion de l'arista. Vertex jaune, se prolongeant vers l'avant par les bords latéraux du front. Pronotum blanchâtre, avec tache jaune orangé derrière les yeux; pas de carène médiane. Scutellum jaune orangé, avec petites taches noires réparties comme suit : une rangée de 6 sous le bord postérieur du pronotum, dont 1 de part et d'autre de la carène médiane et 2 de chaque côté, entre l'angle latéro-antérieur et la carène correspondante; 1 sur chaque bord latéro-postérieur. Metanotum noir (sur 1 ex. ♂, il est ocre avec 2 taches latérales noires). Tegulae blanchâtres. Elytres hyalins, à nervures pâles sauf la transversale de la cellule costale, celle de la cellule radiale et celles qui réunissent la branche externe de *Cu* aux secteurs 1 et 2 de *M*; des marques brunes réparties comme suit : 1 branche transversale oblique partant du bord costal, après le milieu, s'estompant vers le bord interne; 1 petite tache sur la bifurcation apicale de *Sc*, 1 autre sur celle de *R* et 1 plus grande, transversale, apicale, entre le bord costal et le tronc principal de *M*; 1 très petite également sur la bifurcation *C1/C2*; *Cu* avec 2 branches atteignant le bord de l'élytre, *M* avec 6 secteurs, donc 7 branches; *Sc* et *R* épaissies (fig. 125). Ailes hyalines, avec bande brune le long du bord interne et une seconde, transversale, avant le milieu; toutes deux délimitent une longue tache triangulaire hyaline s'appuyant au bord externe et partagée vers

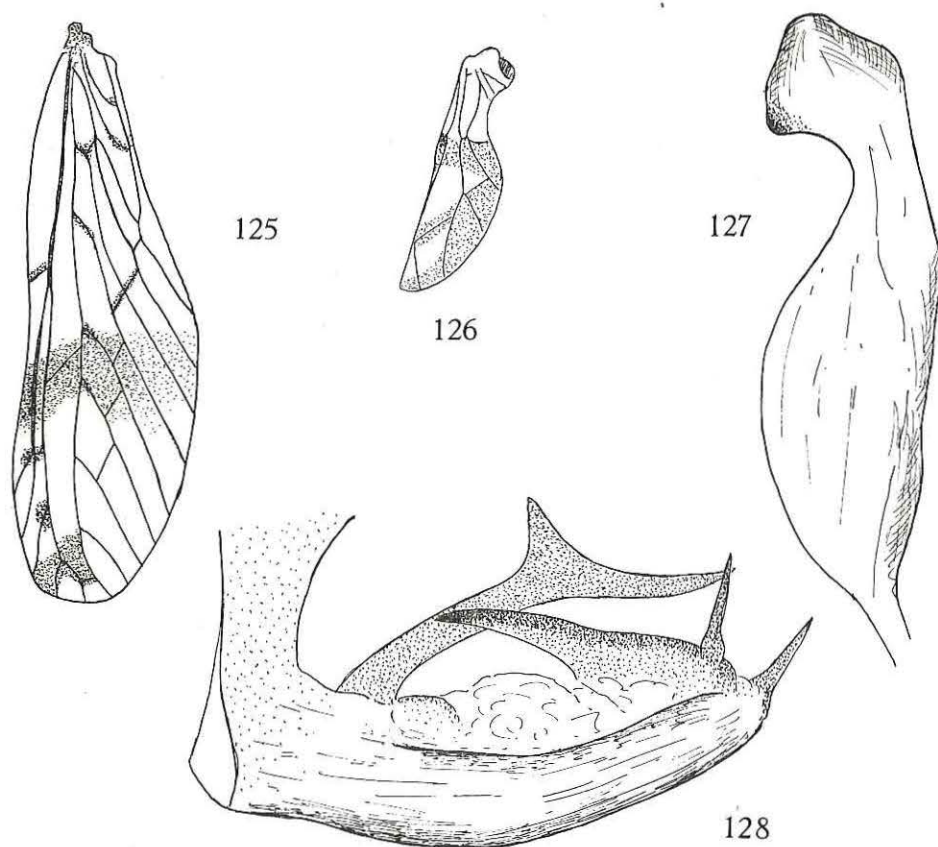


FIG. 125-128. — *Diostrombus dedegwanus* n. sp.

125 : Elytre; 126 : Aile; 127 : Paramère; 128 : Edéage, vue latéro-ventrale gauche.

le milieu par une étroite bande qui recouvre la nervure transversale (fig. 126). Pattes blanchâtres; dernier article des tarsi brun, de même que l'apex des tibias postérieurs. Abdomen ocre, avec taches dorsales noires de part et d'autre du milieu. Genitalia ♂, voir figures 127 et 128. Chez la ♀, pas de plaque subgénitale saillante.

Longueur totale : env. 8 mm.

Holotype ♂ : Parc National de la Garamba : Dedegwa, 21.V.1952, 3499, H. DE SAEGER (Institut des Parcs Nationaux du Congo).

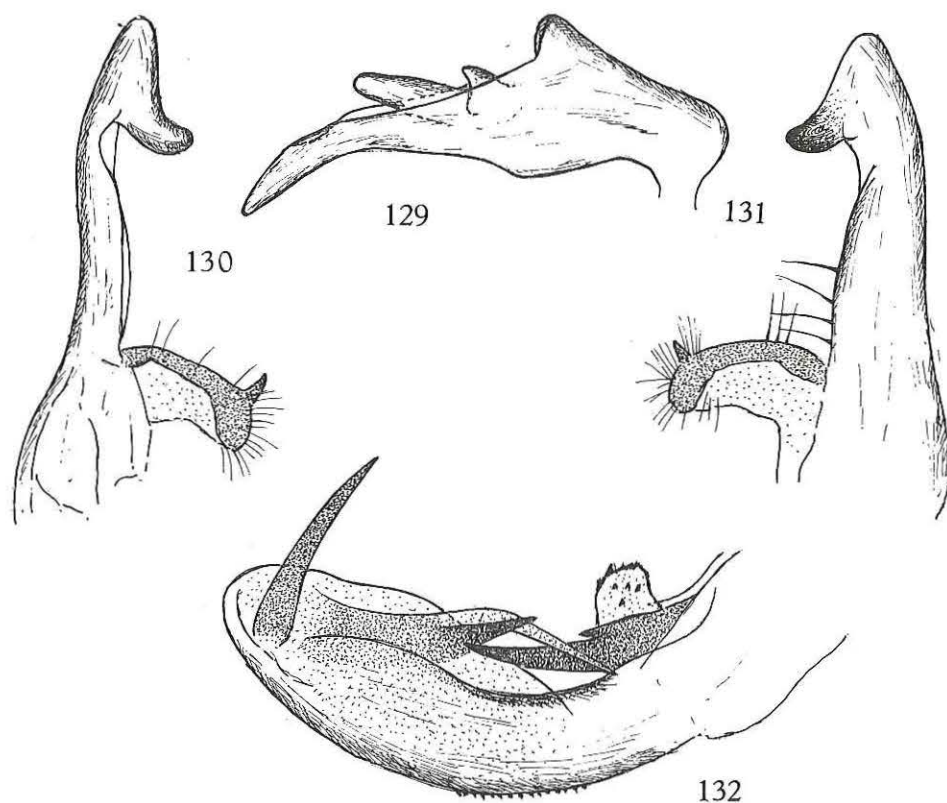
9 Paratypes : Parc National de la Garamba : Dedegwa, 21.V.1952, 3499, H. DE SAEGER; idem, 17.V.1952, 3481, H. DE SAEGER; II/ke/8, 12.II.1952, 3105, H. DE SAEGER; Km 17, 6.VIII.1950, 673, G. DEMOULIN; Aka, 15.V.1952, 3463, H. DE SAEGER (Institut des Parcs Nationaux du Congo).

23. — *Diostrombus cocos* MUIR.

(Fig. 129-132.)

MUIR, F., 1928, Ann. Mag. Nat. Hist. (10), I, p. 513, fig. 21 a et b.

Front linéaire, rougeâtre, à bords latéraux relevés, lamellaires, fortement rapprochés l'un de l'autre. Clypéus jaune orangé sauf l'extrême pointe qui est noirâtre. Rostre jaune orangé; article terminal globuleux, noir. Antennes brunâtres; 2^e article environ 2 fois plus long que large, avec encoche apicale pour l'insertion de l'arista. Vertex rougeâtre. Pronotum rougeâtre, sauf la moitié inférieure des plaques pectorales qui est blanchâtre. Scutellum brun rougeâtre, avec 3 carènes nettes. Tegulae ocre rougeâtre. Abdomen ocre rougeâtre, avec un étroit anneau noir sur le 5^e segment. Elytres hyalins; cellules costale et subcostale jaunâtres; C, Sc+R, R et la transversale entre R et M, brun-noir, les autres

FIG. 129-132. — *Diostrombus cocos* MUIR.

129: Tube anal, vue latérale; 130: Paramère; 131: Paramère, sous un autre angle; 132: Edéage, vue latéro-ventrale droite.

nervures jaunâtres; espace compris entre le tronc commun *ClC12* et le bord sutural, brun. Ailes hyalines avec une petite tache noire et la partie apicale du bord interne bordée de brun-noir. Pattes jaunâtres; sont noirs : les tibias antérieurs, une fine ligne le long des tibias antérieurs et médians, les tarsi antérieurs et médians, le dernier article des tarsi postérieurs et un anneau peu avant l'apex des tibias postérieurs. Genitalia ♂, voir figures 129-132.

Distribution. — Sierra Leone, Njala.

La description qui précède, de même que les figures, ont été faites d'après l'Holotype ♂.

24. — *Diostrombus nitidus* MUIR.

(Fig. 133-136.)

MUIR, F., 1926, Ann. Mag. Nat. Hist. (9), 18, p. 237, fig. 15.

Front rouge, environ 5 fois plus étroit que la largeur maximale d'un œil vu de face, à bords latéraux fortement relevés et formant une étroite gouttière. Clypéus jaunâtre, tricaréné. Rostre jaune; dernier article globuleux, noir. Antennes jaune rougeâtre; 2^e article à peine 1 1/2 fois plus long que large; arista insérée

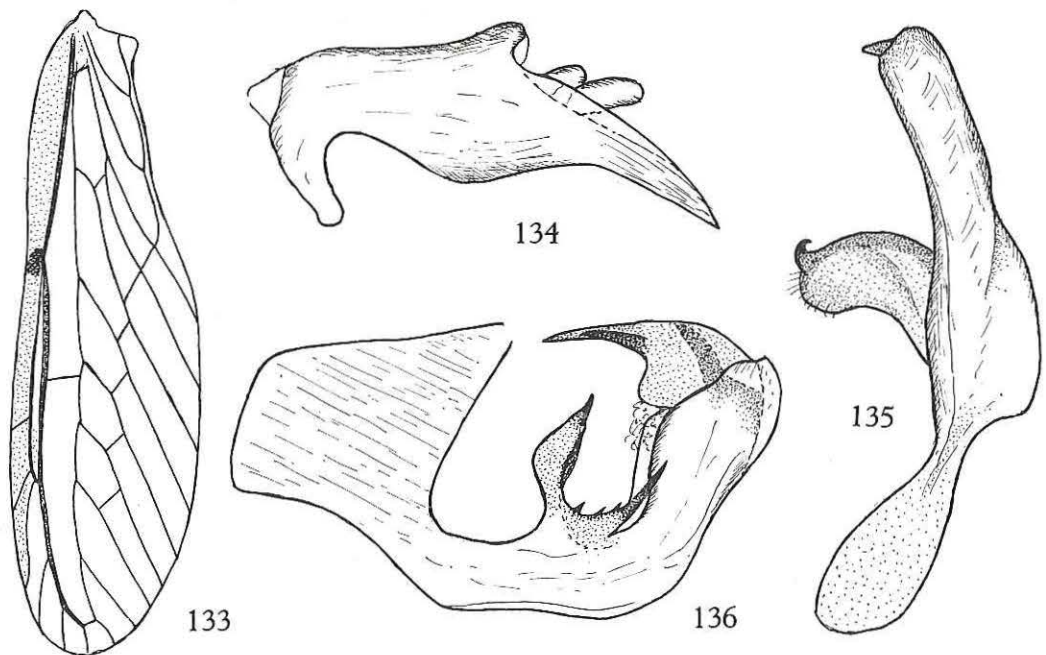


FIG. 133-136. — *Diostrombus nitidus* MUIR.

133 : Elytre; 134 : Tube anal, vue latérale; 135 : Paramère; 136 : Edéage, vue latéro-ventrale gauche.

dans une encoche apicale. Vertex rouge, triangulaire, environ $1\frac{1}{2}$ fois plus large à la base que long au milieu. Pronotum rouge; bord inférieur des plaques pectorales très largement bordé de blanc. Scutellum jaunâtre à ocre rouge, avec faibles traces de carènes. Elytres environ 3,5 fois aussi longs que larges, hyalins; cellule costale très légèrement jaunâtre avec une tache brun-noir sur la nervure transversale; tronc commun de *Cl1Cl2* rejoignant *Cu2* loin après l'apex du clavus qui est ouvert; *Cu* avec 2 branches, *M* avec 6 secteurs, donc 7 branches atteignant le bord de l'élytre; tronc commun *Sc+R*, *Sc* et *R* épaissis et brun foncé (fig. 133). Abdomen ocre jaune à ocre rouge, avec 1 petite tache noire sur le milieu du 6^e tergite et 1 plus grande sur chaque bord latéral du 5^e; une fine ligne noire en travers du 5^e sternite. Chez la ♀, pas de plaque subgénitale saillante. Pattes rougeâtres; tibias antérieurs et médians plus foncés. Genitalia ♂, voir figures 134-136.

Distribution. — Sierra Leone (Type); Congo (Léo); Afrique-Equatoriale française (R.C.A.).

Musée Royal de l'Afrique Centrale :

20 ex. : Eala, IV.1921, J. GHESQUIÈRE; Coquilhatville, 10.XI.1931, Lt. DORMAN.

Muséum National d'Histoire Naturelle (Paris) :

1 ex. : Boukoko, R.C.A., 9.IV.1970, M. BOULARD.

25. — *Diostrombus moerensis* n. sp.

(Fig. 137-141.)

Front rouge, à bords latéraux relevés et très rapprochés; il est environ 4 fois plus étroit qu'un œil vu de face. Clypéus plus long que le front, nettement tricaréné; rouge, sauf les faces latérales et l'apex qui sont noirâtres. 2^e article des antennes environ $1\frac{1}{2}$ fois plus long que large; arista insérée dans une légère encoche apicale. Vertex rouge, trapézoïdal, un peu plus long que large, à bords latéraux relevés, prolongeant ceux du front. Pronotum sans carène médiane; rouge, avec large bordure latérale blanche et une tache médiane noirâtre. Scutellum avec 3 carènes nettes; rougeâtre à brunâtre, plus foncé vers l'arrière avant l'angle postérieur qui est blanchâtre de même que les bords latéro-postérieurs. Metanotum noir, brillant. Elytres hyalins, les cellules costale et sous-costale légèrement jaunâtres; nervures brunes, sauf les transversales et *Sc* qui sont jaunes; *Cu* avec 2 branches simples, *M* avec 6 secteurs, donc 7 branches atteignant le bord de l'élytre, leur base ennuagée de brun; *Sc* et *R* (surtout la seconde) épaissies; bifurcation du 1^{er} secteur de *M* au même niveau que celle de *Cu*; bifurcation *Sc+R* au niveau de celle du 2^e secteur de *M* (fig. 137). Ailes hyalines, avec 4 petites taches noires, dont 1 recouvrant la pointe de l'apex (fig. 138). Face dorsale de l'abdomen jaune à ocre jaune, avec large bande longitudinale noire sur les 4 premiers tergites; face ventrale jaunâtre, avec marques noires sur les 3 derniers sternites ainsi que sur le segment génital. Pattes jaunâtres, sauf

l'apex des tarsi postérieurs qui est noir. Genitalia ♂, voir figures 139-141. Pas de plaque subgénitale saillante chez la ♀.

Longueur totale : env. 8 mm.

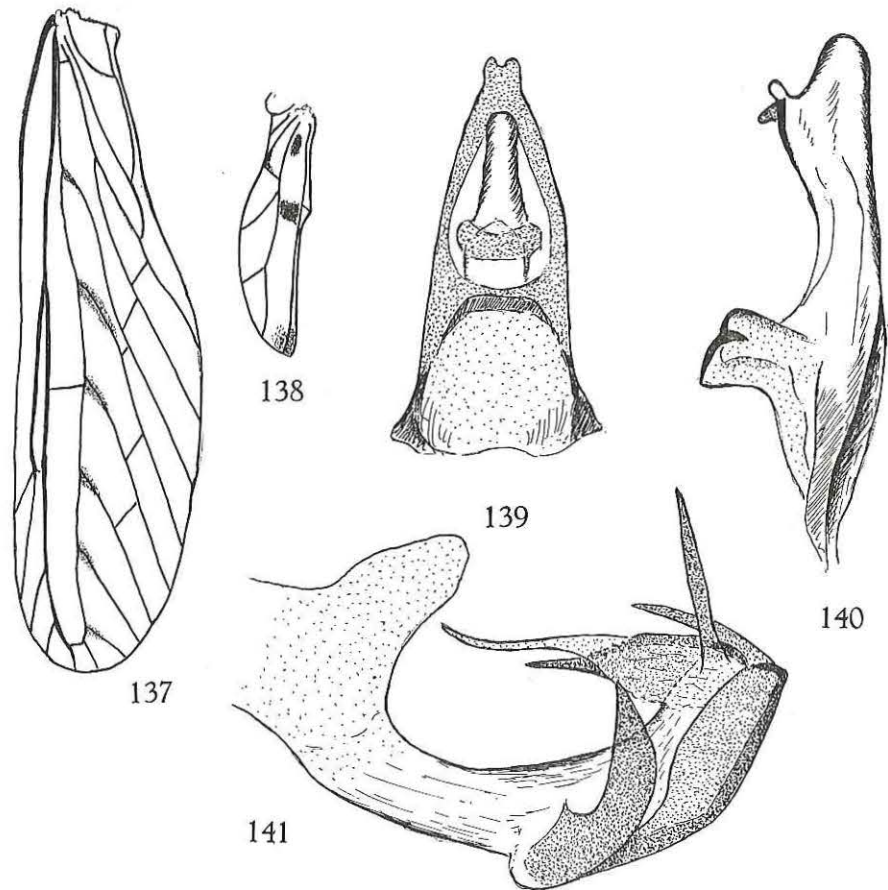


FIG. 137-141. — *Diostrombus moerensis* n. sp.

137 : Elytre; 138 : Aile; 139 : Tube anal, vue dorsale; 140 : Paramère; 141 : Edéage, vue latéro-ventrale gauche.

Holotype ♂ : Tanganyka-Moero : Nyunzu, 1.II.1934, H. DE SAEGER (Musée Royal de l'Afrique Centrale).

4 **Paratypes** : même localité (Musée Royal de l'Afrique Centrale).

1 **Paratype** : Rhodesia, Victoria Falls National Park, 3-6.IV.1968, Paul SPANGLER (U. S. National Museum).

Distribution : Kivu.

26. — *Diostrombus abdominalis* (DISTANT).

DISTANT, W. L., 1907, Insect. Transvaal., 8, p. 195, pl. XX, fig. 3, 3a *Phenice*.

Contrairement à ce qu'écrit DISTANT, le type de cette espèce est un exemplaire ♀. Le type unique, conservé au British Museum, nous a été confié pour étude et présente les étiquettes suivantes :

Type, H.T.; *Phenice abdominalis* DISTANT, type; Bell-Marley, Durban, Natal; DISTANT Coll. 1911-383.

Front ocre rouge, très étroit, à bords latéraux carénés, non accolés; vu de profil, il est régulièrement convexe et moyennement saillant au-devant des yeux. Clypéus tricaréné; ocre à ocre rouge, avec tache allongée brunâtre sur les faces latérales. Rostre ocre; article terminal globuleux, noir. Vertex ocre rougeâtre, rectangulaire, nettement plus long que large, à bords latéraux d'abord subparallèles et droits, ensuite concaves et divergents vers le bord postérieur; ce dernier est également concave; largeur entre les angles postérieurs près de 2 fois supérieure à la largeur antérieure. Pronotum rouge orangé, avec plaques pectorales très largement bordées de blanc au bord inférieur; une petite tache noire au milieu du disque. Scutellum ocre rouge, nettement tricaréné. Metanotum noir brillant, avec une grande tache circulaire médiane ocre. Tegulae ocre. Elytres hyalins, cellule costale jaunâtre; nervures ocre, devenant noires vers l'apex; bords costal et apical noirs; la base des secteurs de *M* est marquée de noir et cette coloration déborde légèrement sur les cellules; *M* avec 6 secteurs, donc 7 branches atteignant le bord de l'élytre, *Cu* avec 2 branches atteignant également le bord de l'élytre. Abdomen ocre; sur chacun des 3 premiers tergites, 2 taches médianes rondes, noires; sternites noirs, bordés de jaune; 1 tache noire sur chaque extrémité des tergites 1 et 2. Ailes hyalines, avec 2 taches noires dont 1 à la base et la 2^e contre le bord costal, avant le milieu; extrême pointe apicale brune. Pattes jaunâtres; dernier article des tarsi antérieurs et médians, noir.

Distribution. — Natal.

Plante: *Cocos nucifera* L.

27. — *Diostrombus biclavatus* (WESTWOOD).

Incertae sedis.

WESTWOOD, 1851, Ann. Mag. Nat. Hist. (2), 7, p. 209 *Derbe biclavata*.

DISTANT écrit: « a remnant of the type of this species is in the British Museum collection, which, with the description given by WESTWOOD, leaves no reasonable doubt that it should be included in the genus *Drona* ».

Le type est donc partiellement détruit. Quant à la description originale, elle est plus que rudimentaire :

« *luteo-albida, antennis brevibus, carina occipitali acute bifida, mesonoti carina acuta media fuscescenti; alis anticis luteo-hyalinis, costa tenuissime nigro-marginata, apiceque luteo parum tincto; alis posticis hyalinis fusco fasciatis, abdomine stylis duobus elongatis clavatis erectis terminato; pedibus luteo-albidis; femoribus nigrostriatis. Expans. alar. antic. lin. 9.*

» *Hab. in Africa tropicali. Congo Mus. brit. ».*

4. — Genre **PAMENDANGA** DISTANT.

DISTANT, W. L., 1906, Faun. Brit. Ind., 3, p. 298.

Front très étroit, à bords latéraux étroitement accolés jusque peu avant l'apex, où ils divergent; vu de profil, il est peu saillant vers l'avant et convexe. Clypéus plus long que le front, latéralement et médialement caréné. 2^e article des antennes près de 3 fois plus long que large. Pas de processus sous-antennaires. Vertex triangulaire; ses bords latéraux prolongeant directement ceux du front en une courbe régulière. Pronotum très court au milieu, à bord postérieur très profondément et anguleusement échancré. Scutellum convexe, tricaréné. Elytres longs et étroits; bifurcation *Sc+R* avant le milieu; *M* avec 6 secteurs, dont le 3^e, à partir de la base, est bifurqué; clavus ouvert, le tronc commun des nervures clavales rejoignant *Cu2*; cellule médiane basale longue et étroite. Ailes atteignant à peu près la moitié de l'élytre.

E s p è c e - t y p e : *P. rubilinea* DISTANT (Indes).

TABLE DES ESPECES.

- | | |
|--------------------------------------------------------------------------------------------------------------------------------------------------------------------------------------------------------------------------------------------------------------------------------------------------------------|---------------------------------|
| 1. Elytres foncés, bruns ou noirs avec quelques marques claires | 2 |
| — Elytres entièrement clairs, avec quelques marques foncées | 7 |
| 2. Elytres avec 2 bandes transversales claires, dont la 1 ^{re} peu après la base et la 2 ^e vers le milieu; quelques petites taches claires dans la cellule costale et le long du bord apical | <i>P. hopkinsi</i> MUIR, p. 67. |
| — Pas de bandes transversales claires sur les élytres | 3 |
| 3. Elytres avec 2 taches discales claires dont 1, très grande, sur les nervures transversales, entre les 3 ^e et 4 ^e secteurs de <i>M</i> et atteignant <i>Cu2</i> ; 1 beaucoup plus petite, comprise entre les 3 ^e et 5 ^e secteurs de <i>M</i> , au niveau de la | |

- bifurcation de ce dernier; quelques petites taches claires dans la cellule costale et 1 petite à l'apex des branches de *M* et *Cu*
P. hancocki MUIR, p. 69.
- Elytres bruns ou noirs avec au moins les nervures *Sc* et *R* rouges 4
4. Seul, le 3^e secteur de *M* est bifurqué 5
- Outre le 3^e secteur de *M*, le 2^e est également bifurqué; des taches claires dans la cellule costale, à l'apex des nervures longitudinales, entre le bord sutural et *Cl2*; quelques-unes, plus grandes, notamment entre *Sc* et le 5^e secteur de *M* et à l'apex, après la bifurcation de *R*; base des secteurs de *M* et transversales ennuagées de brun plus foncé
P. majuscula (DISTANT), p. 69.
5. Elytres noirs; *Sc* et *R* rouge vif, les autres nervures noires avec tronçons rougeâtres; sur le tronc principal de *M*, 3 petits tronçons orangés respectivement situés au niveau des 4^e, 5^e et 6^e secteurs ... *P. nigra* n. sp., p. 71.
- Pas de tronçons orangés sur le tronc principal de *M* 6
6. Cellule costale brun foncé, avec taches claires; des taches claires également à l'apex des nervures longitudinales; nervures transversales, entre les secteurs de *M*, ennuagées de brun foncé *P. nealei* DISTANT, p. 72.
- Cellule costale claire, avec quelques taches brunes, notamment sur les transversales; pas de tache claire à l'apex des nervures longitudinales; transversales entre les secteurs de *M* ennuagées de brun foncé; une petite tache foncée dans l'angle formé par la suture clavale et le tronc commun *Cl1Cl2*; quelques petites taches claires dans le corium
P. laestrygon FENNAH, p. 73.
7. Elytres hyalins, avec quelques marques brunes, notamment une assez grande sur la base, quelques-unes dans la cellule costale, à l'apex des nervures longitudinales et sur le corium. Longueur: 11 mm. Genitalia ♂, voir figures 162-165 *P. calami* MÉLICHAR (= *grahami* MUIR), p. 75.
- Idem, mais longueur 13 mm. Genitalia ♂, voir figure 167
P. neavei MUIR, p. 77.

1. — *Pamendanga hopkinsi* MUIR.

(Fig. 142.)

MUIR, F., 1934, Ann. Mag. Nat. Hist. (10), 14, p. 574, fig. 14.

Coloration générale brune; carènes du scutellum plus claires. Espèce très caractéristique par le dessin des élytres qui sont bruns, avec 2 bandes transversales blanches dont la 1^{re} (la plus large) au niveau de la bifurcation de *Cu*, la 2^e vers le milieu (voir fig. 142); quelques taches blanches, notamment dans la cellule costale et le long des bords apical et sutural; clavus ouvert, le tronc com-

mun des nervures clavales rejoignant *Cu2*; *M* avec 6 secteurs dont le 3^e est bifurqué; nervures ocre, pouvant devenir rougeâtres, surtout *Sc* et *R*.

Longueur du corps : 3 mm; élytre : 8,5 mm.

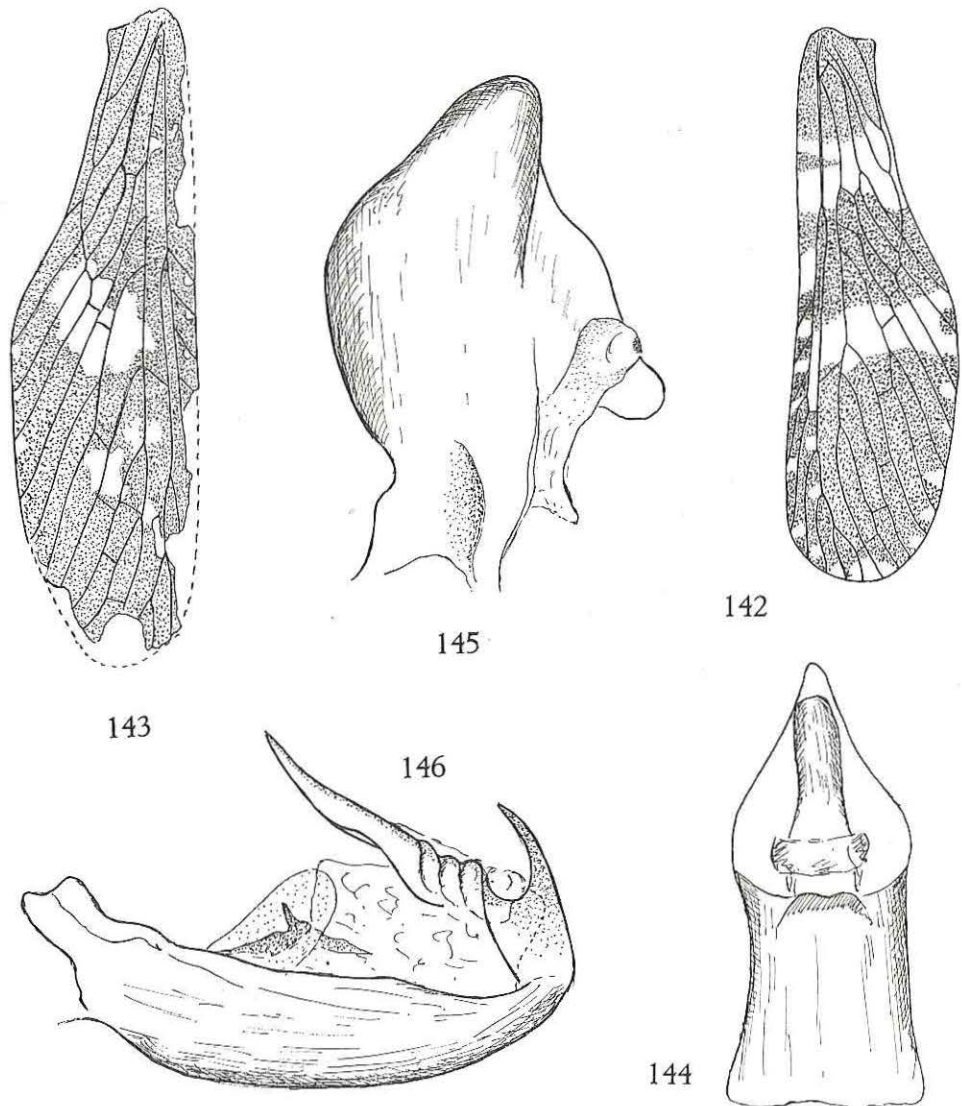


FIG. 142. — *Pamendanga hopkinsi* MUIR : Elytre.

FIG. 143-146. — *Pamendanga hancocki* MUIR.

143 : Elytre; 144 : Tube anal, vue dorsale; 145 : Paramère; 146 : Edéage, vue latéro-ventrale gauche.

Distribution. — Uganda (Type); Afrique-Equatoriale française (R.C.A.).

Muséum National d'Histoire Naturelle (Paris) :
Boukoko, R.C.A., 14.I.1969, Michel BOULARD.

2. — **Pamendanga hancocki** MUIR.

(Fig. 143-146.)

MUIR, F., 1928, Ann. Mag. Nat. Hist. (10), I, p. 517, fig. 26.

La description suivante est basée sur un exemplaire provenant du Congo (Léo) :

Front ocre, très long, à bords latéraux accolés. Clypéus rouge, tricaréné à carène médiane fortement saillante. Rostre blanc sale; article terminal globuleux, noir. Pronotum brun rougeâtre foncé, avec carène médiane nette. Scutellum brun, tricaréné; disque et faces latérales convexes, surtout les secondes qui forment 2 bosses. Abdomen brun, fortement marqué de rouge. Pattes blanc sale; sont bruns : un anneau avant l'apex des tibias, les tarses antérieurs et médians, les tarses postérieurs, sauf le 1^{er} article qui est blanc jaunâtre, à base brune. Elytres brun foncé, avec taches hyalines suivantes : 1 très grande sur les nervures transversales, entre les 3^e et 4^e secteurs de *M* et atteignant *Cu*₂; 1 plus petite entre les secteurs 4 et 5, au niveau de la bifurcation du dernier; quelques-unes dans la cellule costale et 1 petite à l'apex de chaque branche de *M* et de *Cu*; nervures sous-costale et radiale, rougeâtres; les autres, brunes ou ocre (fig. 143). Genitalia ♂, voir figures 144-146.

Longueur totale : env. 12 mm.

Distribution. — Uganda; Congo (Léo).

Musée Royal de l'Afrique Centrale :
Mongbwalu (Kilo), VII.1938, M^{me} SCHEITZ.

3. — **Pamendanga majuscula** (DISTANT).

(Fig. 147-149.)

DISTANT, W. L., 1914, Ann. Mag. Nat. Hist. (8), 13, p. 414 *Phenice*.

Front jaune, sauf la partie triangulaire apicale qui est brune. Second article des antennes un peu moins de 2 fois plus long que large (fig. 147). Clypéus rougeâtre, à carènes jaunes. Rostre jaune, sauf le dernier article qui est brun foncé et à peine plus long que large. Vertex triangulaire, brun rougeâtre, à bords latéraux jaunâtres, carénés et convergents vers l'avant. Pronotum brun foncé, avec quelques marques rouges, parsemé de quelques pustules blanchâtres, à bord

antérieur et carène médiane jaunâtres; le bord antérieur est légèrement anguleux et le postérieur largement et profondément échancré. Scutellum brunâtre avec marque rouge contre chaque carène latérale; les carènes, l'angle postérieur et quelques pustules discales sont jaunâtres. Elytres environ 4 fois plus longs que larges à leur largeur maximale, hyalins, brun plus ou moins foncé, avec marques

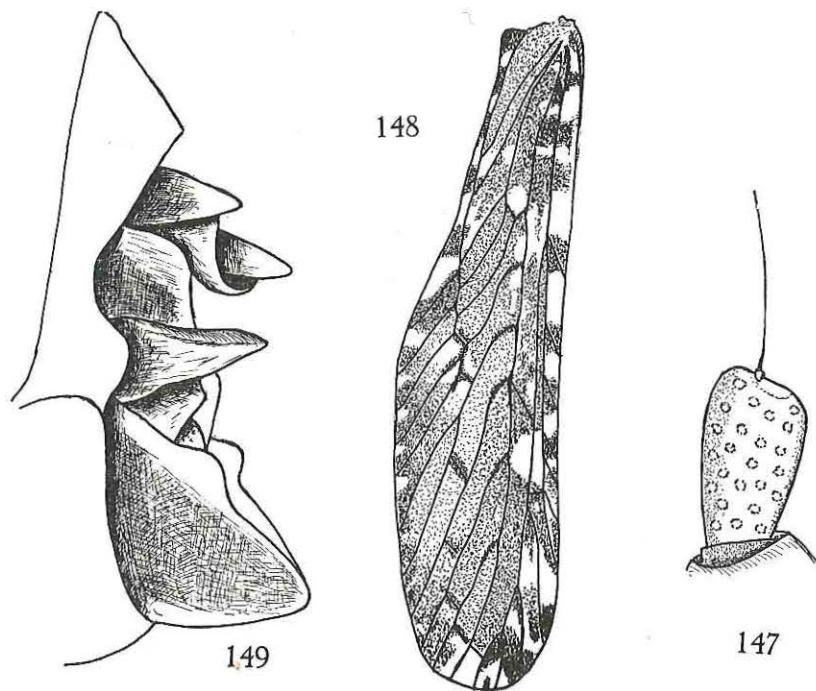


FIG. 147-149. — *Pamendanga majuscula* (Distant).
147 : Antenne; 148 : Elytre; 149 : Genitalia ♀, vue latérale.

blanchâtres suivant figure 148; *Sc*, *R* et *M* rouges; *M* avec 6 secteurs dont non seulement le 3^e mais également le 2^e sont bifurqués; *Cu* avec 2 branches atteignant le bord sutural; clavus ouvert; tronc commun des nervures clavales rejoignant *Cu2* au niveau des transversales. Ailes atteignant la $\frac{1}{2}$ de la longueur des élytres; blanchâtres, marquées de brun. Abdomen ocre à rouge brunâtre, parsemé de pustules jaunes. Pattes jaunes sauf la base des fémurs antérieurs et médians et les fémurs postérieurs qui sont bruns. Genitalia ♀, voir figure 149.

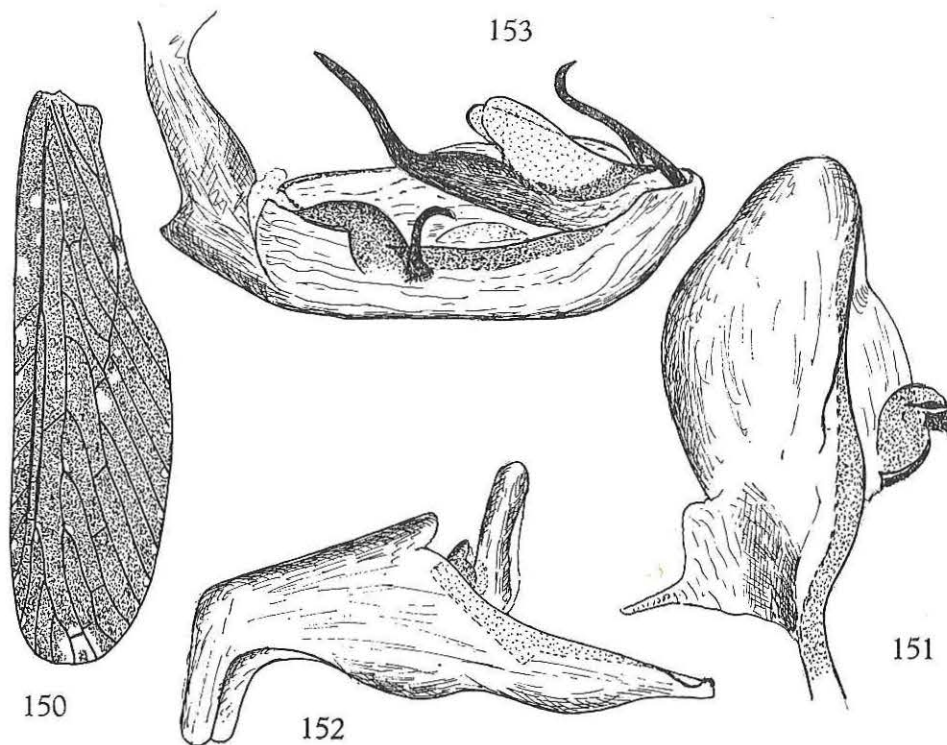
Envergure : 23 mm.

Distribution. — Afrique Orientale Portugaise.

4. — *Pamendanga nigra* n. sp.

(Fig. 150-153.)

Front ocre, lamellaire, à bords latéraux étroitement rapprochés; vu de profil, il est légèrement saillant au-devant des yeux, à peine convexe, presque droit. Clypéus rouge, un peu plus long que le front, tricaréné. Base des antennes rouge; 2^e article cylindrique, environ 3 fois plus long que large. Pas de processus sous-antennaires. Vertex ocre, court, triangulaire, ses bords latéraux convergents vers

FIG. 150-153. — *Pamendanga nigra* n. sp.

150 : Elytre; 151 : Paramère; 152 : Tube anal, vue latérale; 153 : Edéage, vue latéro-ventrale gauche.

l'avant et prolongeant ceux du front en une courbe régulière. Pronotum brun, plus foncé contre le bord postérieur, avec quelques granules pâles sur les faces latérales; carène médiane jaune. Tegulae brunes. Scutellum fortement convexe, brusquement déprimé avant l'angle postérieur; carène médiane saillante, écourtée vers l'arrière; brun, plus foncé sur les angles latéraux et postérieur ainsi que de part et d'autre de la carène médiane. Elytres noirs (fig. 150); *Sc* et *R* rouge vif,

les autres nervures noires avec tronçons rougeâtres; sur le tronc principal de *M*, 3 petits tronçons orangés respectivement situés au niveau des 4^e, 5^e et 6^e secteurs; quelques taches blanches dans la cellule costale; 1 tache hyaline, blanchâtre, à l'apex du clavus, une 2^e sur le milieu, entre les 2^e et 3^e secteurs de *M*, une 3^e, plus grande, contre le bord apical; 1 petite tache punctiforme, hyaline, à l'apex des nervures longitudinales; bifurcation *Sc+R* peu après le $\frac{1}{3}$ basal de l'élytre; *M* avec 6 secteurs dont le 3^e est bifurqué; clavus ouvert, le tronc commun des nervures clavales rejoignant *Cu2*. Pattes ocre; fémurs antérieurs et médians longitudinalement striés de brun, avec tache brune peu avant la base; tibias antérieurs avec tache brune après le milieu; tarses antérieurs et médians, bruns; fémurs postérieurs armés de 1 épine vers le milieu; dernier article des tarses postérieurs, noirs. Genitalia ♂, voir figures 151-153.

Longueur totale : env. 11 mm.

Holotype ♂ : Boukoko, R.C.A., 10.VI.1969, Michel BOULARD (Muséum National d'Histoire Naturelle, Paris).

5. — *Pamendanga nealei* DISTANT.

(Fig. 154-157.)

DISTANT, W. L., 1914, Ann. Mag. Nat. Hist. (8), 13, p. 413.

Espèce voisine de la précédente dont elle diffère principalement par la coloration et la nervulation des élytres. Coloration générale ocre; carènes du scutellum, ocre jaune. Elytres hyalins, bruns, à nervures rouges, avec quelques taches blanches, notamment dans la cellule costale et le long des bords apical et sutural; tronc commun formé par la réunion des nervures clavales rejoignant *Cu2*; *M* avec 6 secteurs dont le 3^e est bifurqué (chez *majuscula*, le 2^e l'est également). Ailes brunâtres, atteignant à peu près la $\frac{1}{2}$ de l'élytre. Pattes ocre; tibias postérieurs avec anneau antéapical et apex noirs. Genitalia ♂, voir figures 154-157.

Longueur totale : env. 13,5 mm.

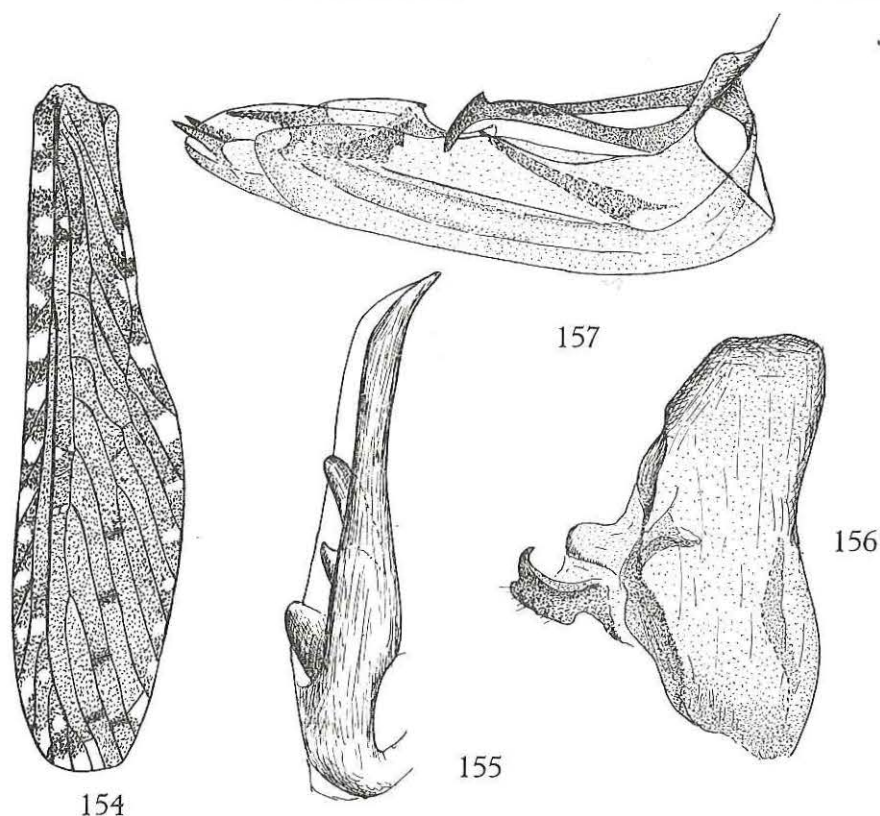
Distribution. — Nigeria (Type); Côte d'Or; Congo (Léo); Afrique-Equatoriale française (R.C.A.).

Musée Royal de l'Afrique Centrale :

$\frac{1}{3}$ ex. : Kil. 345 de Kindu (nuit), Dr. Russo; Ghana : Anpem-Volta Lake, 29-30.IX.1966, THYS V. D. OUDENAERDE.

Muséum National d'Histoire Naturelle (Paris) :

1 ex. : Mbalé, Rép. Centrafric., 14.I.1970, M. BOULARD.

FIG. 154-157. — *Pamendanga nealei* DISTANT.

154 : Elytre; 155 : Tube anal, vue latérale; 156 : Paramère; 157 : Edéage, vue latéro-ventrale droite.

6. — *Pamendanga laestrygon* FENNAH.

(Fig. 158-161.)

FENNAH, R. G., 1958, Bull. I.F.A.N., t. XX, 2, p. 496, fig. 9 (1-3).

Cette espèce, paraissant voisine de *nealei* DISTANT, en diffère par la coloration des élytres ainsi que par les genitalia ♂.

Front ocre, à bords latéraux étroitement accolés sauf à l'apex où ils divergent et enclosent un petit compartiment triangulaire; vu de profil, il est convexe et légèrement saillant au-devant des yeux. Vertex, à bords latéraux concaves; disque légèrement convexe. Pronotum brunâtre; carène médiane, bords et quelques pustules sur les lobes latéraux, ocre. Scutellum ocre, plus ou moins marqué de brun; bords latéro-postérieurs et angle postérieur, ocre jaune. Tegulae brunes. Tergites abdominaux ocre teinté d'orangé, postérieurement bruns sur la ligne médiane et présentant chacun une rangée de taches rondes, ivoire, entre le

milieu et le bord; face inférieure de l'abdomen et genitalia, bruns. Elytres bruns, avec environ 11 taches hyalines le long du bord costal; 2 petites taches dans la cellule formée par *Sc* et *R*, 1 dans la cellule subapicale de *R*, 1 entre les 3^e et 4^e secteurs de *M* et 1 de chaque côté des transversales; *Sc*, *R* et *M*, rougeâtres; clavus ouvert; le tronc commun formé par *C11* et *C12* rejoignant *Cu2* au niveau des nervures transversales; *Cu* avec 2 branches atteignant le bord postérieur; *M* avec 6 secteurs dont le 3^e est bifurqué (fig. 158). Pattes ocre. Genitalia ♂ (d'après FENNAH), voir figures 159 à 161.

Longueur: 4,5 mm; élytre: 9,6 mm.

Distribution. — Dahomey; Nigeria

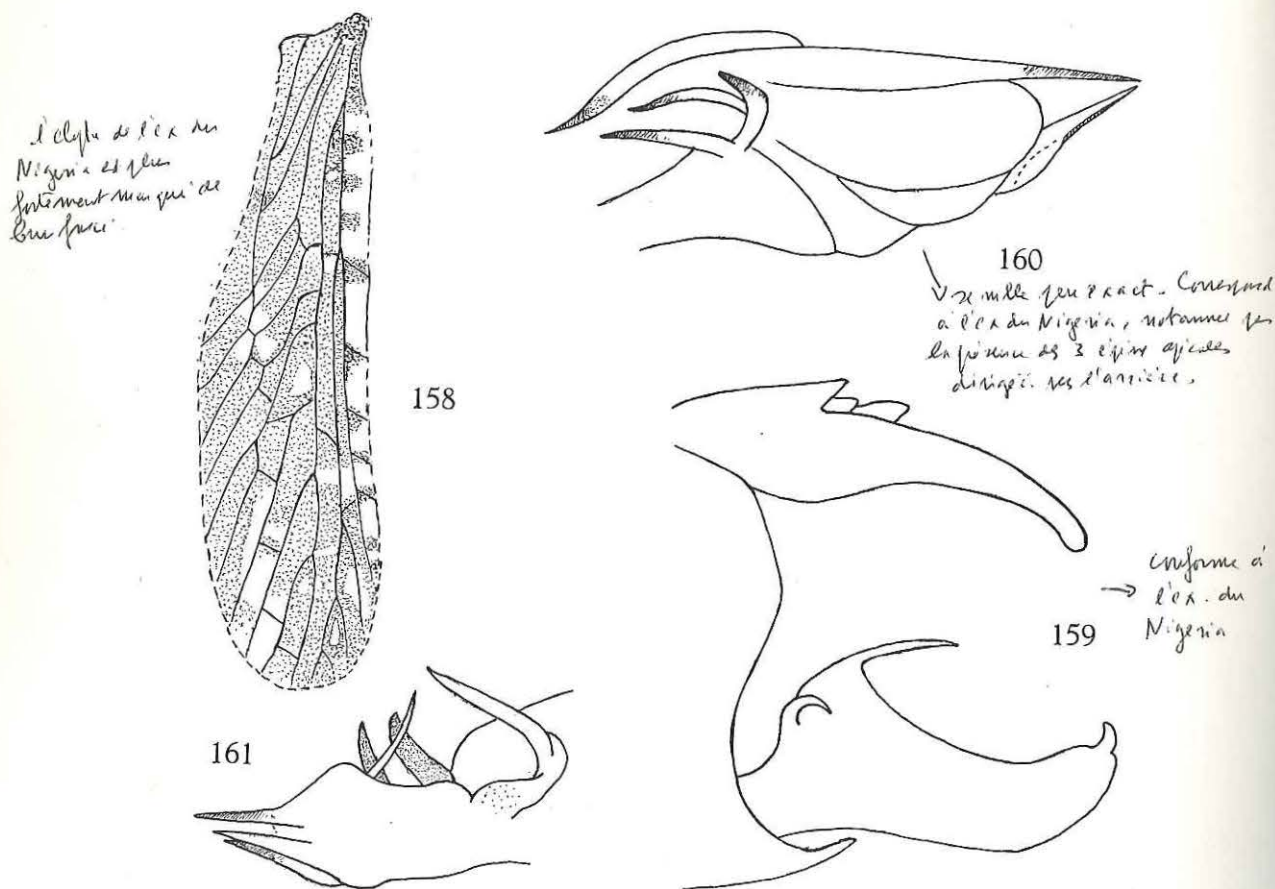


FIG. 158-161. — *Pamendanga laestrygon* FENNAH.

158: Elytre; 159: Segment anal, pygophore et paramère gauche; 160: Edéage, vue latéro-ventrale gauche; 161: moitié distale de l'édéage, vue postéro-latérale droite (Genitalia sec. FENNAH).

M. A. VILLIERS, du Muséum National d'Histoire Naturelle de Paris, a bien voulu me communiquer le type de l'espèce. Malheureusement, ce dernier est en fort mauvais état. L'abdomen manque complètement, les élytres sont assez fortement abîmés et, ce qui est plus grave, les genitalia manquent également. Ces derniers, qui ont été disséqués par l'auteur, sont perdus. A signaler également que le type porte l'étiquette de détermination de l'auteur avec le nom « *lystraegon* » et non « *laestrygon* ».

7. — *Pamendanga calami* (MÉLICHAR) Comb. nov.

(Fig. 162-165.)

MÉLICHAR, L., 1912, Deutsch. Zentr. Afr. Exp. 1910-1911, I, p. 127, pl. II, fig. 9, 9 a *Phenice calami*.

MUIR, F., 1918, Entom. Monthl. Mag., 54, p. 203 *Pamendanga grahami*.

MUIR, F., 1928, Ann. Mag. Nat. Hist. (10), 1, p. 517 *Proutista calami*.

Nous avons pu examiner et disséquer l'Holotype de *P. calami* MÉLICHAR, provenant du Musée de Brno. Il porte une étiquette de localité libellée comme suit : « Belg. Congo, Kimuenza » ainsi qu'une étiquette rouge « Holotypus ».

Cet exemplaire est fortement endommagé et des élytres notamment, il ne reste que de courts moignons.

Après avoir comparé les genitalia à ceux de *Pamendanga grahami* MUIR, nous les avons trouvés semblables, sauf une très légère différence entre les paramères. Nous considérons les deux espèces comme synonymes et par conséquent, *Phenice calami* MÉLICHAR (placé en 1928 dans le genre *Proutista* par MUIR) passe dans le genre *Pamendanga* avec priorité sur *grahami* MUIR. Cette espèce est indiscutablement un *Pamendanga* étant donné la présence sur les élytres de 6 secteurs de *M* dont le 3^e est bifurqué, alors que chez *Proutista* tous ces secteurs sont simples.

La description suivante est basée sur le type de *P. calami* MÉLICHAR sauf pour les élytres qui sont décrits d'après des exemplaires de *Pamendanga grahami* MUIR.

Front blanchâtre, à bords latéraux étroitement accolés et formant de ce fait une étroite gouttière entre les yeux; vu de profil, il est convexe et peu saillant au-devant des yeux. Clypéus ocre, tricaréné; carène médiane blanche. Rostre dépassant largement les hanches postérieures; article terminal subsphérique, brun foncé. Antennes longues; 2^e article subcylindrique, près de 3 fois plus long que large, jaune légèrement brunâtre. Pas de processus sous-antennaires. Pronotum blanchâtre, assez long, à bord postérieur largement entaillé, avec carène médiane; carènes latérales incurvées vers l'avant. Scutellum fortement convexe, très grand, avec 3 carènes nettes; blanchâtres, sauf la partie basale comprise entre les carènes et les parties latérales extérieures à ces dernières qui sont brunes. Elytres hyalins, avec quelques marques brunâtres réparties suivant figure 162, à nervures jaunâtres présentant quelques tronçons bruns; *M* avec 6 secteurs dont le 3^e est bifurqué. Ailes atteignant à peine la moitié de la longueur des élytres. Pattes blanc jaunâtre, apex des tarsi brun; un anneau brun après le milieu des tibiai

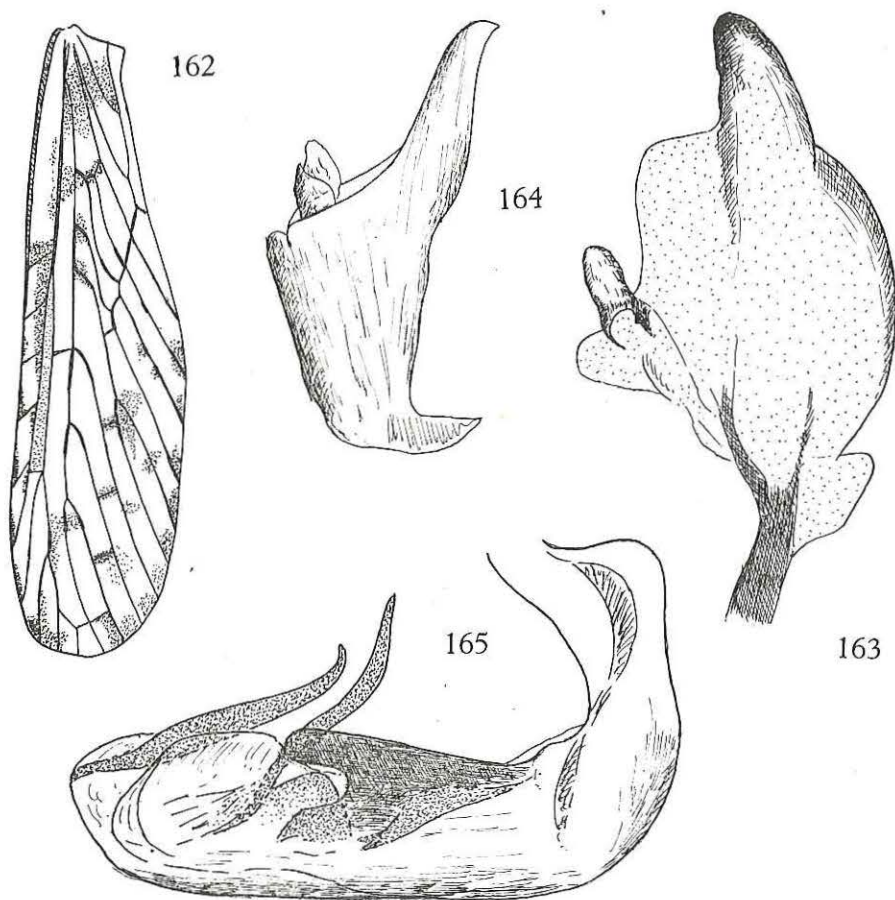


FIG. 162-165. — *Pamendanga calami* (MÉLICHAR).

162 : Elytre; 163 : Paramère; 164 : Tube anal, vue latérale; 165 : Edéage, vue latéro-ventrale droite.

antérieurs et médians; apex des tibias postérieurs, brun; ces derniers avec 1 toute petite épine à la base et une 2^e, plus forte, vers le milieu. Genitalia ♂, voir figures 163-165.

Longueur totale : env. 11 mm.

Distribution. — Congo (Léo) (Type); Sierra Leone; Nigeria; Afrique-Equatoriale française (R.C.A.); Uganda; Côte d'Or.

Institut royal des Sciences naturelles de Belgique:

2 ex. : Congo Belge, Titule (Uélé), 17.I.1950, J. VERBEKE, I.G. 18.310.

Musée Royal de l'Afrique Centrale :

8 ex. : Kunungu, 2.IV.1921, H. SCHOUTEDEN; Bas Uélé, Koteli, 21.I.1925, H. SCHOUTEDEN; Mayidi, 1945, R.P. VAN EYEN; Lulua, Kapanga, IV.1933, G.F. OVERLAET; Arebi (Bondomoto), 22.VII.1925, Dr. H. SCHOUTEDEN; Mayumbe, Kimula, 17.VI.1924, A. COLLART; Mayumbe, Luvu, 24.VI.1934, A. COLLART.

Muséum National d'Histoire Naturelle (Paris) :

1 ex. : Boukoko, R.C.A., 9.V.1969, M. BOULARD.

8. — *Pamendanga neavei* MUIR.

(Fig. 166 et 167.)

MUIR, F., 1934, Ann. Mag. Nat. Hist. (10), 14, p. 574, fig. 13.

Cette espèce a été décrite sur le paratype de *grahami* provenant d'Uganda. Cet exemplaire ♂ différencierait, d'après MUIR, du type de *grahami* par une taille supérieure ainsi que par des genitalia différents. Les figures que donne MUIR sont malheureusement peu précises, ayant été exécutées d'après les spécimens non disséqués. Le type manquant dans les collections du British Museum, le seul exemplaire qu'il nous ait été donné d'examiner est une ♀ provenant d'Uganda et qui lui aurait été comparée.

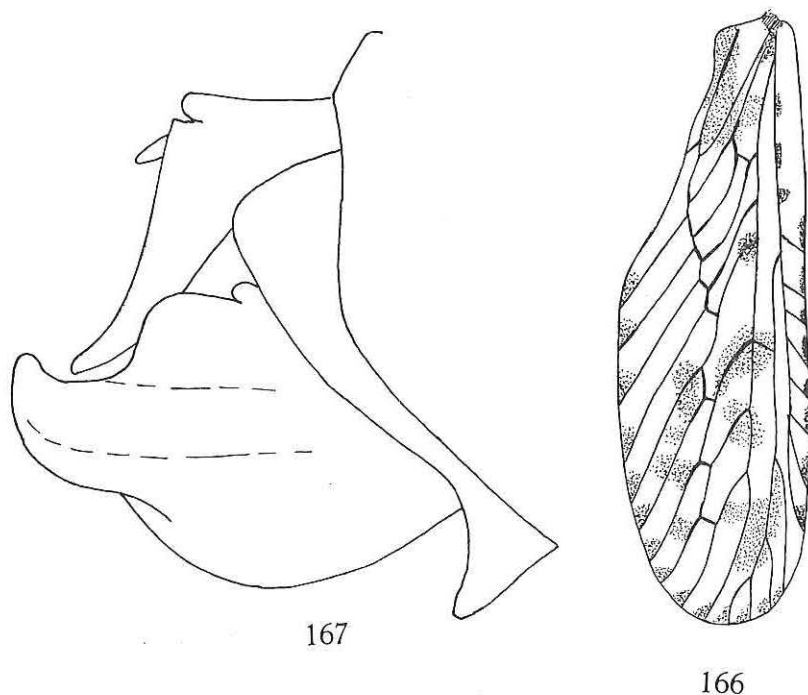


FIG. 166 et 167. — *Pamendanga neavei* DISTANT.
166 : Elytre; 167 : Genitalia ♂ (sec. MUIR).

Cet exemplaire est effectivement d'une taille supérieure à celle des exemplaires de *grahami* (13 mm contre 11 mm); il est ocre plus ou moins foncé, avec marques brunes sur les faces latérales du pronotum et du scutellum; la nervulation et les marque des élytres sont semblables à celles de *grahami* (fig. 166).

Il s'agit de toute façon de deux espèces très voisines mais seule la comparaison des genitalia ♂ aurait pu établir avec certitude si elles sont distinctes ou non. Genitalia ♂ (*sec.* MUIR), voir figure 167.

Longueur totale: env. 13 mm.

Distribution. — Uganda (Type); Afrique-Equatoriale française (R.C.A.).

Muséum National d'Histoire Naturelle (Paris):

1 ex.: Boukoko, R.C.A., 8.IV.1970, M. BOULARD.

5. — Genre **HELICITA** STÅL.

STÅL, C., 1856, Öfv. Svensk. Vet. Akad. Förh., 13, p. 164.

Tête nettement plus étroite que le thorax. Vertex beaucoup plus long que large, assez fortement saillant au devant des yeux; vu de profil, il forme avec le front, une saillie conique. Front comprimé, étroit, mais les bords latéraux non accolés sur toute leur longueur; vus de profil, ils sont droits. Clypéus très long, tricaréné; vu de profil, il est convexe. Rostre long; dernier article subsphérique. Pas de processus sous-antennaires et pas de carènes relevées sur les plaques pectorales du pronotum. Le 2° article des antennes cylindriques, allongé, mais plus court que le front, obliquement tronqué à l'apex. Pronotum à bord postérieur profondément et anguleusement échancré. Scutellum convexe, tricaréné. Elytres environ 3 fois plus longs que larges; *M* avec 6 secteurs dont le 3° est bifurqué; bifurcation *Sc+R* très nettement avant le milieu de l'élytre; cellule sous-costale longue et étroite; clavus ouvert, tronc commun des nervures clavales rejoignant *Cu2*. Tibias postérieurs armés de 2 épines, dont 1 très petite à la base et une 2°, plus forte vers le milieu.

Espèce-type: *Helcita wahlbergi* STÅL (Afrique du Sud).

1. — **Helcita wahlbergi** (STÅL).

(Fig. 168-170.)

STÅL, C., 1855, Öfv. Svensk. Vet. Akad. Förh., 12, p. 93 *Derbe*.

DISTANT, W. L., 1907, *Insecta Transvaal.*, 8, p. 196, pl. XX, fig. 4, 4 a.

MUIR, F., 1928, *Ann. Mag. Nat. Hist.* (10), 1, p. 518, fig. 27, 27 a.

Front jaunâtre; bords latéraux fortement relevés, étroitement accolés au milieu, brusquement et fortement divergents vers le haut et vers le bas. Clypéus brun, plus long que le front, nettement tricaréné. Rostre ocre; article terminal

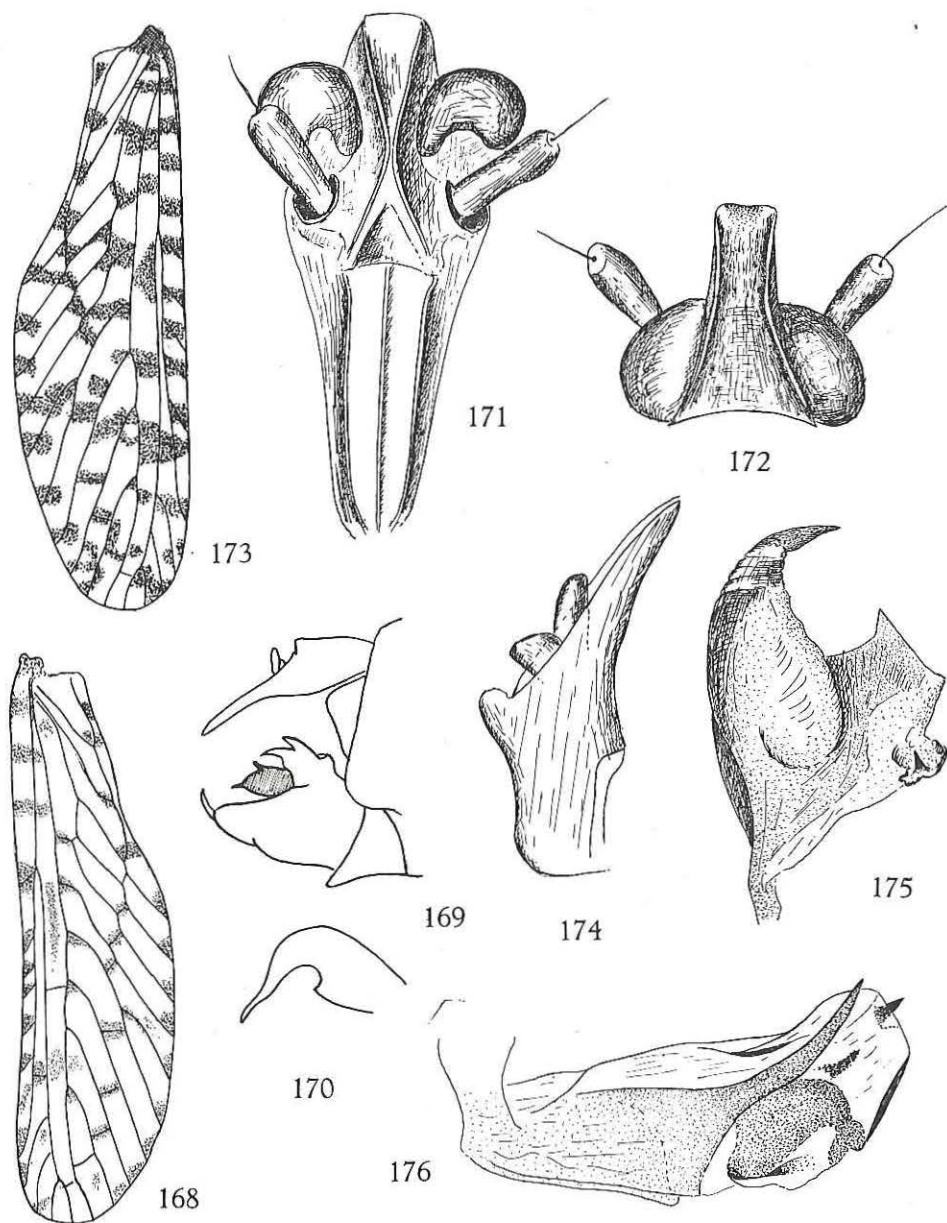


FIG. 168-170. — *Helcita wahlbergi* (STÅL).

168 : Elytre; 169 : Genitalia ♂, vue latérale (sec. MUIR); 170 : Paramère droit, vue ventrale (sec. MUIR).

FIG. 171-176. — *Helcita occidentalis* MUIR.

171 : Tête, vue de face; 172 : Idem, vue de dessus; 173 : Elytre; 174 : Tube anal, vue latérale; 175 : Paramère; 176 : Edéage, vue latéro-ventrale gauche.

globuleux, noir. Antennes longues; 2^e article environ 3 fois plus long que large. Vertex fortement saillant au-devant des yeux, à carène médiane nette, à bords antérieur et postérieur droits, bords latéraux concaves; ces derniers sont divergents vers l'arrière. Pronotum jaunâtre, à bord postérieur profondément et anguleusement échancré, avec carène médiane. Scutellum brun, avec carène médiane nette et 2 sillons ocre délimitant les parties latérales qui sont fortement convexes. Tegulae jaunâtres. Elytres blanchâtres, marqués de brun; les marques principales sont les suivantes : une douzaine de taches dans la cellule costale, une tache sur les nervures transversales et une série de petites, le long des bords apical et interne, entre les nervures rejoignant les nervures transversales et *Cu2*; *M* avec 6 secteurs (7 branches atteignant le bord de l'élytre) dont le 3^e est bifurqué. Pattes ocre; tibias et tarses antérieurs et médians bruns; tibias postérieurs avec un large anneau brun avant l'apex; moitié basale du 1^{er} article des tarses postérieurs, brun, de même que le dernier article. Genitalia ♂ (d'après MUIR) : voir figures 169, 170.

Distribution. — Afrique du Sud.

La description ci-dessus a été établie d'après un exemplaire de Durban (South African Museum).

2. — *Helcita occidentalis* MUIR.

(Fig. 171-176.)

MUIR, F., 1926, Ann. Mag. Nat. Hist. (9), p. 238, fig. 16 *H. wahlbergi* (nec STÅL).

Dans son travail publié en 1926, MUIR figure les genitalia d'un exemplaire ♂ provenant de Sierra Leone et identifié par lui sous le nom de *wahlbergi* STÅL. Il écrit à son sujet que les ♀ ♀ l'accompagnant et provenant également de Sierra Leone, correspondent très bien aux ♂ ♂ de *wahlbergi*, mais que les élytres sont plus fortement marqués de brun et qu'il devrait pouvoir examiner un ♂ de *wahlbergi* provenant d'Afrique du Sud afin de confirmer leur détermination. Dans un article subséquent publié en 1928 [Ann. Mag. Nat. Hist. (10), 1, p. 518], l'auteur ayant examiné un ♂ provenant de Durban a pu établir que les exemplaires provenant de Sierra Leone sont différents et appartiennent en fait à une espèce qu'il nomme *occidentalis*.

Nous avons examiné 2 ♂ ♂ récoltés en Sierra Leone par HARGREAVES le 17.XII.1930.

Font à bords latéraux très fortement relevés, s'accolant sur un court trajet en leur milieu (fig. 171); vu de profil, il forme avec le vertex, une protubérance subconique et présente une bande brune devant les yeux. Clypéus environ aussi long que le front, latéralement et médianement caréné. Rostre long, dépassant les hanches postérieures; dernier article très court, noirâtre. 2^e article des antennes cylindrique, un peu moins de 3 fois plus long que large; arista partant de l'apex. Pas de processus sous-antennaires. Vertex près de 2 fois plus long que

large à la base, dépassant le bord antérieur des yeux d'une longueur inférieure à celle d'un œil; bords latéraux concaves, carénés, légèrement relevés; bord postérieur droit (fig. 172). Pronotum blanc jaunâtre, à bord antérieur droit; bord postérieur profondément et anguleusement échancré. Scutellum fortement bombé; la partie médiane séparée des latérales par des sillons; carène médiane nette; ocre brun, plus ou moins marqué de brun foncé, la carène et les sillons plus clairs. Elytres environ 3 fois plus longs que larges, hyalins, blanchâtres, avec de nombreuses taches brunes, notamment dans la cellule costale, au bord sutural et à l'apex de chaque nervure (voir fig. 173); bifurcation *Sc+R* nettement avant le milieu de l'élytre; *R* bifurquée au niveau de la réunion des nervures clavales dont le tronc commun rejoint la branche interne de *Cu*; *M* avec 6 secteurs (7 branches atteignant le bord de l'élytre) dont le 3^e est bifurqué. Face antérieure et apex des fémurs antérieurs et médians, brun foncé; tibias antérieurs et médians de même que les tarsi, bruns; tibias postérieurs jaunâtres, avec tache apicale brune. Genitalia ♂, voir figures 174-176.

Longueur totale: env. 13 mm.

Distribution. — Sierra Leone (Type); Afrique-Equatoriale française (R.C.A.); Congo (Léo); *Cameroon*.

Musée Royal de l'Afrique Centrale:

2 ex.: Kunungu, 2.IV.1921, H. SCHOUTEDEN; Bumba, XII.1939-I.1940, H. DE SAEGER.

Institut royal des Sciences naturelles de Belgique:

1 ex.: Toukoulou, 16.VIII.1965, Michel BOULARD (sur cacaoyer).

Muséum National d'Histoire Naturelle (Paris):

1 ex.: Toukoulou, Rep. Centrafic., 18.XI.1967, M. BOULARD.

6. — Genre **STENOPEGGIA** FENNAH Comb. nov.

FENNAH, R. G., 1952, Trans. Ent. Soc. Lond., vol. 103, p. 116.

L'importance des caractères séparant *Peggia* KIRKALDY de *Stenopoggia* FENNAH nous paraît suffisante pour considérer ce dernier comme un genre distinct et non comme sous-genre de *Peggia*.

La morphologie de la tête est très différente. Le vertex et le front sont quadrangulaires et très larges chez *Peggia* ⁽²⁾ tandis que chez *Stenopoggia* le vertex est triangulaire et le front est long, étroit, à bords latéraux étroitement accolés lui donnant un aspect linéaire.

De même, chez *Peggia*, le rostre dépasse très nettement les post-trochanters alors qu'il ne les dépasse pas chez *Stenopoggia*. Enfin, chez *Stenopoggia*, le pronotum et le scutellum sont carénés tandis qu'ils ne le sont pas chez *Peggia*.

⁽²⁾ *Peggia* a été proposé en 1901 par KIRKALDY, en remplacement de *Nebrissa* STÅL (1870) qui est préoccupé par *Nebrissa* WALKER. Les observations ainsi que la figure 184 ont été faites d'après le type de *Nebrissa nitida* STÅL qui est l'espèce-type du genre.

Vertex triangulaire, à bords latéraux fortement relevés, convergents vers l'avant où ils prolongent ceux du front; une carène transversale irrégulière les sépare. Front long et étroit, à bords latéraux étroitement accolés jusque peu avant l'apex où ils divergent. Rostre ne dépassant pas les post-trochanters. Antennes très longues et aplaties; 2^e article environ 10 fois plus long que large. Pronotum très court au milieu, à bord postérieur très profondément et anguleusement échancré, avec carène médiane nette. Scutellum grand, fortement bombé antérieurement, ensuite brusquement déclive vers l'angle postérieur; nettement tricaréné. Elytres environ 3 fois plus longs que larges; cellule costale dilatée sur environ le $\frac{1}{3}$ basal; clavus ouvert; bifurcation *Sc+R* vers le milieu de l'élytre, au niveau du 3^e secteur de *M*; *M* avec 4 secteurs dont le 1^{er} présente 3 branches atteignant le bord de l'élytre; 2^e et 4^e secteurs simples, le 3^e également bifurqué. Tibias postérieurs armés de 1 épine après le milieu.

E s p è c e - t y p e : *Peggia (Stenopeggia) kawandana* FENNAH.

***Stenopeggia kawandana* FENNAH.**

(Fig. 177-183.)

FENNAH, R. G., 1952, Trans. Ent. Soc. Lond., vol. 103, p. 115, fig. 1 A-F *Peggia*.

Les caractères morphologiques sont ceux du genre. Front jaunâtre, avec 2 petites taches brunes sur la partie comprise entre les yeux; 1 grande tache brune entre la base des antennes et l'angle inférieur des yeux. Antennes longues et étroites; 2^e article environ 10 fois plus long que large, aplati, ocre, longitudinalement marqué de brun sur chaque face (fig. 177). Vertex à bords fortement relevés, jaunâtres, avec une ligne longitudinale brune sur sa partie basale (fig. 183). Pronotum brun, sauf le disque qui est jaune de même qu'une fine bordure, une ligne oblique sur les épaules et 1 grande tache sur les plaques pectorales. Scutellum ocre au milieu, avec 3 carènes jaunes bordées de chaque côté par une bande brun foncé; parties latérales comprises entre les carènes externes et les angles latéraux, brunes. Elytres (fig. 178) hyalins, légèrement marqués de brun à la base, au niveau des nervures clavales; cellules costale, sous-costale et radiale ocre brunâtre sur à peu près la $\frac{1}{2}$ apicale; nervures ocre avec 1 petite tache brune à la base des secteurs de *M*. Pattes jaunâtres; tibias postérieurs armés de 1 épine située après le milieu. Genitalia ♂ : voir figures 179-182.

Longueur totale : env. 16 mm.

Distribution. — Uganda; Nigeria

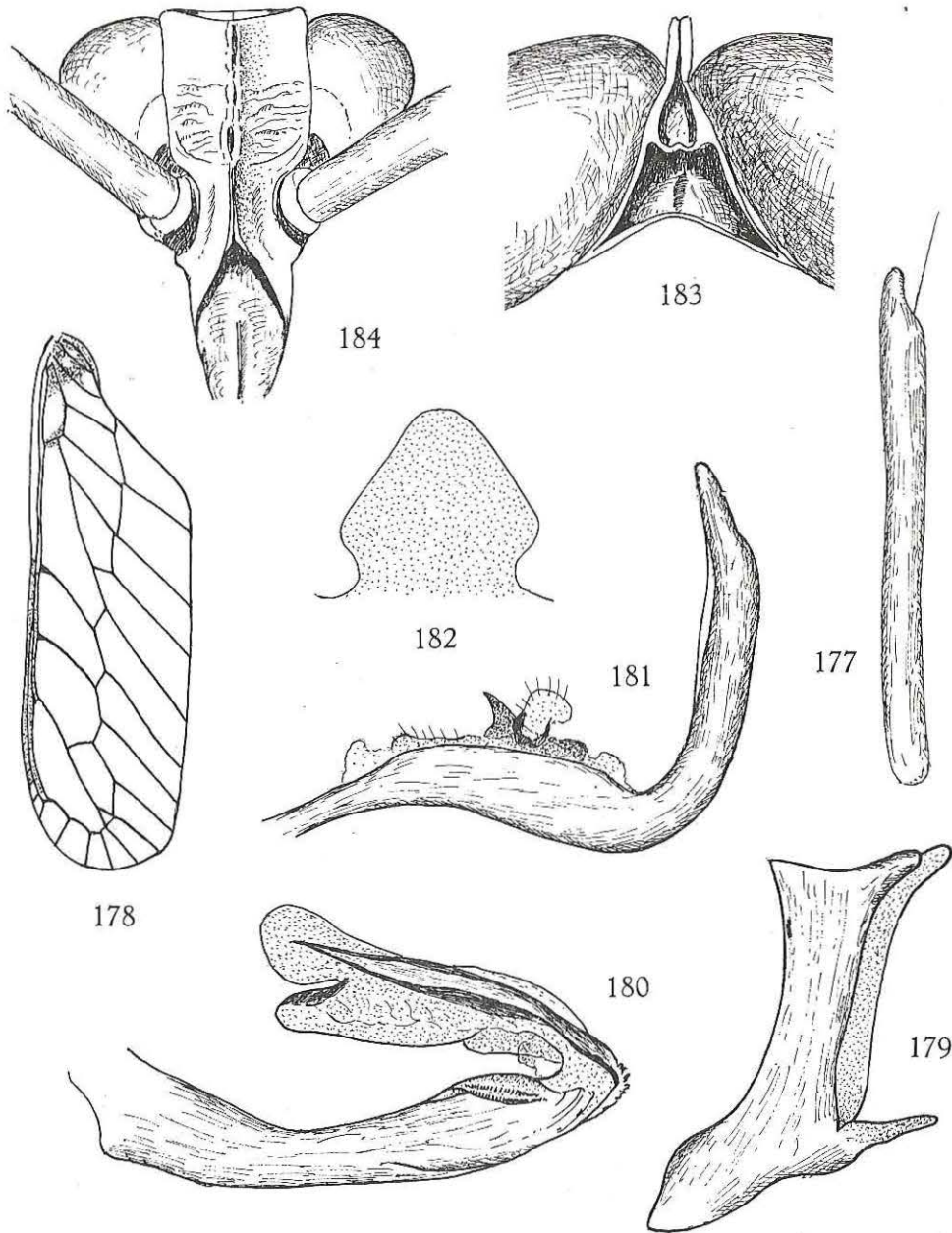


FIG. 177-183. — *Stenopeggia kawandana* FENNAH.

177 : 2° article de l'antenne; 178 : Elytre; 179 : Pygophore, vue latérale; 180 : Edéage, vue latéro-ventrale gauche; 181 : Paramère, vue latérale; 182 : Processus médio-ventral du pygophore; 183 : Tête, vue de dessus.

FIG. 184. — *Nebrissa nitida* STÅL : tête, vue de face.

7. — Genre **ZORAIDA** KIRKALDY.

KIRKALDY, G. W., 1900, Entomologist, 33, p. 242.

Front à bords latéraux accolés sur presque toute leur longueur. Vertex plus long que large. Vus de face, les yeux n'atteignent pas la base du clypéus. Le front vu de profil, est plus ou moins convexe mais non coniquement saillant vers l'avant. Antennes aussi longues ou plus longues que la face; 2^e article cylindrique ou plus ou moins aplati. Pas de processus sous-antennaires. Bord postérieur du pronotum anguleusement échancré. Elytres allongés; clavus ouvert; *M* avec 5 secteurs dont le 1^{er} est bifurqué; ce dernier peut présenter de 3 à 6 branches atteignant le bord de l'élytre; *Cu* avec 2 branches dont l'interne (*Cu*2) rejoint le tronc commun *Cl**Cl*2.

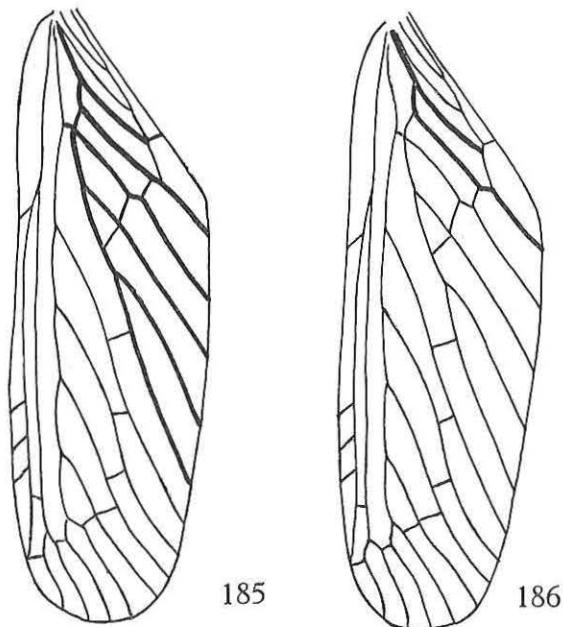


FIG. 185 et 186. — *Zoraida (Neozoraida) ugandensis* DISTANT.

185 : Elytre (le trajet de *Cu* selon MUIR est en gras); 186 : Idem (en gras, le trajet de *Cu* suivant notre conception).

MUIR (Entom. Month. Mag., 1918, 54, p. 175) distingue 3 sous-genres, *Peggiopsis*, *Neozoraida* et *Zoraida* suivant la présence de 4 branches cubitales (*Peggiopsis* et *Zoraida*) ou de 6 (*Neozoraida*). Cet auteur considérait le 1^{er} secteur de *M* comme faisant partie de la cubitale. Nous basant sur le travail que METCALF a consacré à la nervation alaire chez les *Fulgoridae* (Ann. Soc. Ent. Amer., 1913, VI, p. 341), nous considérons la cubitale comme ayant 2 branches et, de ce fait, les autres branches atteignant le bord de l'élytre font

partie de la médiane. Nous illustrons ce qui précède par les figures 185 et 186 qui présentent l'élytre de *Zoraida (Neozoraida) ugandensis* DISTANT avec le trajet de la cubitale (trait gras) suivant MUIR et une 2^e fois d'après notre propre interprétation. Cette dernière a été utilisée dans la description des espèces qui vont suivre.

Les sous-genres *Peggiopsis* et *Zoraida* sont donc tous deux caractérisés par une cubitale de 2 branches et une médiane ayant 5 secteurs dont le 1^{er} est bifurqué et présente 3 branches; ils se distinguent l'un de l'autre par le 2^e article des antennes cylindrique ou très légèrement aplati (*Zoraida*) ou bien large et nettement aplati (*Peggiopsis*).

Le sous-genre *Neozoraida* est également caractérisé par une cubitale présentant 2 branches mais, par contre, le 1^{er} secteur de la médiane compte de 4 à 6 branches.

E s p è c e - t y p e : *Zoraida sinuosa* BOH. (Afrique).

TABLE DES ESPECES.

1. Sur les élytres, le 1^{er} secteur de *M* est bifurqué et présente 4 à 6 branches atteignant le bord interne (sous-genre *Neozoraida*) 2
- Sur les élytres, le 1^{er} secteur de *M*, bifurqué, présente 3 branches atteignant le bord interne 3
2. Des petits points noirs le long des $\frac{2}{3}$ postérieurs du bord costal des élytres qui sont hyalins, opalescents; 1^{er} secteur de *M* avec 6 branches atteignant le bord interne. Abdomen jaune, avec nombreuses marques rouges et une marque noire en V sur la base de la face dorsale
Z. maculicostata MUIR, p. 89.
- Pas de petits points noirs le long du bord costal des élytres qui sont hyalins, blanchâtres, à nervures concolores sauf la plupart des transversales, la base des longitudinales et l'apex des apicales qui sont brun-noir; le 1^{er} secteur de *M*, bifurqué, présente 4 branches atteignant le bord interne, mais sur certains exemplaires ce nombre peut être de 4,5 ou même 6
Z. ugandensis DISTANT, p. 88.
3. 2^e article des antennes cylindrique ou très légèrement aplati (sous-genre *Zoraida*) 4
- 2^e article des antennes large et nettement aplati (sous-genre *Peggiopsis*), 4,5 fois plus long que large. Elytres brunâtres, à base brun foncé jusqu'à la réunion des nervures clavales; à partir de là, la coloration foncée forme une bande longitudinale le long du bord costal, englobant les cellules costale, sous-costale et radiale ainsi que parfois la $\frac{1}{2}$ basale de la médiane; 1 tache brune à l'apex du clavus; 1 petit point noir sur l'apex des nervures longitudinales et de petites taches contre le bord apical ... *Z. distant* MUIR, p. 91.
4. Elytres hyalins, à cellule costale jaunâtre ou brun foncé 5
- Elytres fortement marqués de brun ou de noir 6

sig. Peggiopsis

5. Elytres à cellule costale jaunâtre; 1 petite tache noire à l'apex du clavus et 2 stries longitudinales sur l'angle apical
Z. flavocostata DISTANT, p. 93.
- Elytres à cellule costale brun foncé, cette coloration recouvrant également la 1^{re} cellule apicale; 1 petite tache noire sur l'apex des 3 premières nervures longitudinales apicales et 2 autres situées respectivement sur la transversale entre *R* et *M* et à la jonction du tronc commun *Cl1Cl2* avec *Cu* et la série de transversales *Z. boulandi* n. sp., p. 94.
6. Des petits points foncés sur l'apex des nervures longitudinales 11
- Pas de points foncés sur l'apex des nervures longitudinales 7
7. Le dessin brun des élytres consiste en une bande longitudinale, le long du bord costal, couvrant les cellules costale, sous-costale et parfois la médiane 8
- Pas de bande brune continue le long du bord costal des élytres 9
8. 2^e article des antennes environ 8 fois plus long que large, légèrement aplati. Elytres hyalins, avec cellules costale, sous-costale et radiale ainsi que la base, brunes *Z. angolensis* n. sp., p. 96.
- 2^e article des antennes nettement plus court, environ 5 fois plus long que large 10
9. Sur les élytres grisâtres, des marques brunes réparties suivant la figure 217. 2^e article des antennes environ 4 fois plus long que large
Z. evansi DISTANT, p. 96.
- Z. nigriensis* _{syn} → — Elytres bruns, avec une bande transversale hyaline, blanche, en travers du milieu, débutant au bord costal au niveau du 4^e secteur de *M* et rejoignant obliquement le bord interne sous l'apex du clavus; outre cette bande, 1 plage hyaline à la base de la cellule costale, une 2^e entre cette dernière et la bande transversale et une 3^e sur le clavus, comprise entre la bifurcation *Cl1Cl2* et l'apex; nervures rouges. Le 2^e article des antennes cylindrique, environ 6 fois plus long que large *Z. aburiensis* MUIR, p. 99.
10. Front, vu de profil, formant une saillie convexe sous les yeux (fig. 226). Elytres légèrement fumés, avec bande brun foncé le long du bord costal depuis la base jusqu'à l'apex, recouvrant la 1/2 basale du clavus, les cellules costale (sauf la 1/2 basale), sous-costale, radiale et débordant plus ou moins dans les cellules formées par les secteurs de *M*, une petite tache brun foncé à l'endroit où se rejoignent le tronc commun *Cl1Cl2* et *Cu2*; nervures rouges sur la partie foncée, ocre sur le restant; bord apical et extrémité des nervures, blancs *Z. njalensis* MUIR, p. 100.
- Front, vu de profil, convexe, légèrement et régulièrement saillant au devant des yeux. Elytres blancs; base brun foncé jusque peu avant la bifurcation *Cl1Cl2*; de là, part une large bande brune qui recouvre les cellules costale (sauf la moitié basale), sous-costale, radiale et médiane (moitié basale); nervures blanches sauf *Sc*, *R* et *M* qui sont rouge vif
Z. nyasensis DISTANT, p. 102.

11. Bord interne des élytres concave avant l'apex; cellules costale, sous-costale et radiale blanchâtres, parsemées de petites taches rondes, brunes; dans la grande tache apicale claire, 4 groupes de 2 taches punctiformes noires situées deux à deux de part et d'autre des nervures longitudinales, non loin du bord apical. Le restant est brun, avec de nombreuses petites taches plus foncées, parfois confluentes. Les nervures transversales sont noires et les 2 séries obliques situées respectivement à l'apex du clavus et sur l'angle apical sont recouvertes par une étroite bande noirâtre. 2^e article des antennes légèrement aplati, environ 6 fois plus long que large; le 1^{er} article court, est noir et extérieurement bordé de jaune. Dernier article du rostre 2,5 fois plus long que large *Z. sudanica* n. sp., p. 104.
- Bord interne des élytres, droit; cellules costale, sous-costale et radiale ne présentant pas de nombreuses petites taches rondes, brunes 12
12. Une large bande longitudinale brun foncé le long du bord costal des élytres, recouvrant les cellules costale, sous-costale et radiale ainsi que la $\frac{1}{2}$ basale de la cellule médiane; 1 tache à la jonction entre le tronc commun des nervures clavales et *Cu2*, 1 point brun sur l'apex des nervures longitudinales. 2^e article des antennes de 5,5 à 5,7 fois plus long que large
Z. sinuosa (BOHEMAN), p. 105.
- Elytres gris brunâtre, avec de nombreuses marques brunes plus ou moins foncées et 1 tache apicale claire dans laquelle il y a de petits points noirs sur l'apex des nervures longitudinales, le long du bord apical entre ces dernières 13
13. Nervures des élytres ocre sauf dans la partie foncée où elles sont presque noires; un court tronçon jaune sur la bifurcation de *Cu*, sur *M* au niveau de la précédente et sur l'embranchement des 2^e, 4^e et 5^e secteurs, sur *R* au niveau de l'embranchement des 4^e et 5^e secteurs de *M*. 2^e article des antennes de 6 à 7 fois plus long que large
Z. pattersoni DISTANT, p. 106.
- Pas de courts tronçons jaunes sur *R*, *M* et *Cu* 14
14. 2^e article des antennes 4 fois plus long que large. Elytres avec cellules costale, sous-costale et radiale brun foncé avec quelques taches blanches, cette bande longitudinale costale émet deux prolongements triangulaires dirigés vers le milieu de l'élytre, l'un au niveau du 3^e secteur de *M*, l'autre entre le bord apical et le 6^e secteur. Plaque subgénitale de la ♀ noire, à bord externe anguleux *Z. picturata* DISTANT, pp. 108, 218.
- 2^e article des antennes de 4,5 fois plus long que large chez la ♀ et de 6 à 6,7 fois chez le ♂. Elytres avec tache apicale claire plus ou moins triangulaire, bordée de brun foncé, avec points noirs sur l'apex des nervures longitudinales. Plaque subgénitale de la ♀ à bord externe anguleux, jaune ...
Z. bohemani (WESTWOOD), p. 109.

1. — Sous-genre **NEOZORAIDA** MUIR.

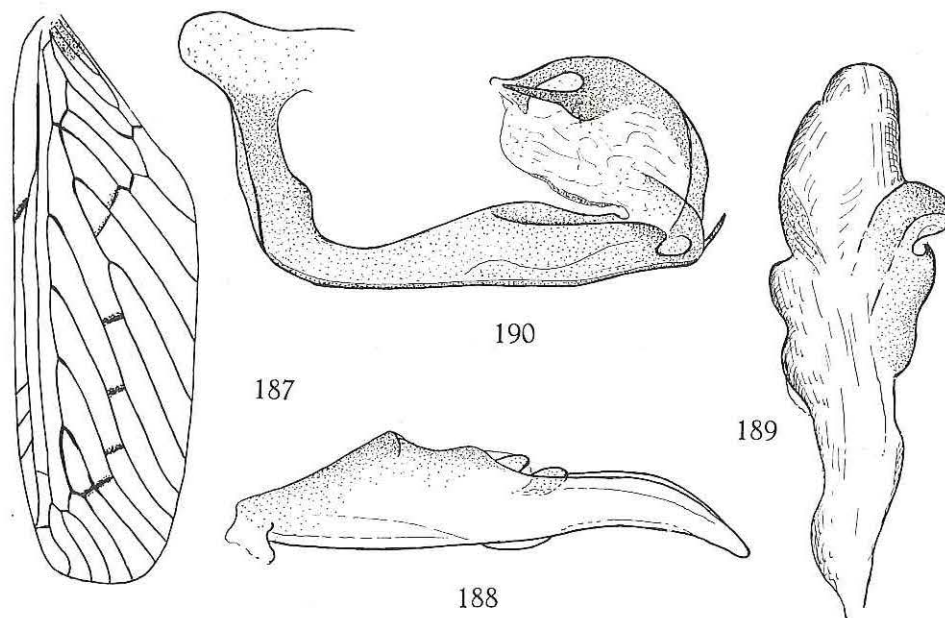
MUIR, F., 1918, Ent. Monthl. Mag., 54, p. 175.

1. — **Zoraida (Neozoraida) ugandensis** DISTANT.

(Fig. 187-190.)

DISTANT, W. L., 1914, Ann. Mag. Nat. Hist. (8), 13, p. 416.

Front ocre jaune, à bords latéraux lamellaires accolés sur toute leur longueur. Antennes ocre; apex brun-noir; 2^e article plus de 4 fois plus long que large, aplati. Vertex ocre, triangulaire, à bords relevés et carénés; bords latéraux se rejoignant vers l'avant et se prolongeant directement par ceux du front. Pronotum

FIG. 187-190. — *Zoraida (Neozoraida) ugandensis* DISTANT.

187: Elytre; 188: Tube anal, vue latérale; 189: Paramère; 190: Edéage, vue latéro-ventrale gauche.

ocre brun. Scutellum ocre, avec marques plus foncées, à carènes fines et peu saillantes. Elytres environ 3 fois plus longs que leur largeur maximale; hyalins, blanchâtres, avec 1 petite tache brune sur la base du clavus; nervures concolores

ou légèrement ocre sauf la plupart des transversales, la base des longitudinales et l'apex des apicales qui sont brun-noir; *M* avec 5 secteurs dont le 1^{er} est bifurqué et présente 4 à 6 (4 sur le type) branches atteignant le bord de l'élytre; *Cu1* et *Cu2* simples, la seconde rejoignant le tronc commun *Cl1Cl2* (voir fig. 187). Genitalia ♂, voir figures 188-190.

Longueur des élytres : 11 mm.

Distribution. — Uganda (Type); Sierra Leone; Congo (Brazza et Léo); Afrique-Equatoriale française; Sénégal; Nigeria

Musée Royal de l'Afrique Centrale :

3 ex. : Eala, XI.1936, J. GHESQUIÈRE.

Le nombre de branches du 1^{er} secteur de *M* qui atteignent le bord postérieur de l'élytre semble variable. En effet, deux des trois exemplaires d'Eala, dont un ♂, présentent 5 branches au 1^{er} secteur de *M* tandis que le 3^e en présente 6. Le ♂ a été disséqué et correspond parfaitement à l'exemplaire du British Museum.

2. — *Zoraida (Neozoraida) maculicostata* MUIR.

(Fig. 191 et 192.)

MUIR, F., 1928, Ann. Mag. Nat. Hist. (10), I, p. 523, fig. 35.

Front jaunâtre, linéaire, à bords latéraux étroitement accolés sur tout leur parcours. Clypéus ocre, à bords latéraux carénés, légèrement saillants, avec carène médiane nette. Rostre jaunâtre, atteignant les hanches postérieures. Vertex rouge, triangulaire. Antennes longues, légèrement aplaties (*sec.* MUIR). Pronotum jaunâtre, avec bande rouge le long du bord postérieur. Scutellum ocre, sans carènes, avec taches rouges sur sa moitié postérieure. Tegulae blanc jaunâtre. Abdomen jaune à ocre jaune, avec de nombreuses marques rouges sur la face dorsale qui présente également une marque noirâtre en forme de V sur la base. Elytres hyalins, opalescents, à nervures jaunâtres, présentant une série de points noirs le long des $\frac{2}{3}$ apicaux du bord costal ainsi qu'une marque noire sur le point de jonction entre le tronc commun *Cl1Cl2* et *Cu2*; *M* avec 5 secteurs dont le premier est ramifié et les autres simples; le 1^{er} secteur se partage en 6 branches qui atteignent le bord postérieur, le 2^e en 2 branches; bifurcation *Sc+R* avant le $\frac{1}{3}$ basal de l'élytre et après la bifurcation du 1^{er} secteur de *M*; nervures clavales réunies avant le milieu du clavus; ce dernier est ouvert et le tronc commun des clavales rejoint *Cu2* au niveau des transversales (voir fig. 191). Genitalia ♀ (voir fig. 192) : la plaque subgénitale présente une forte saillie médiane à sa partie inférieure.

Longueur : 4,6 mm; élytre : 11,5 mm.

Distribution. — Sierra Leone (Type); Congo (Léo) ?

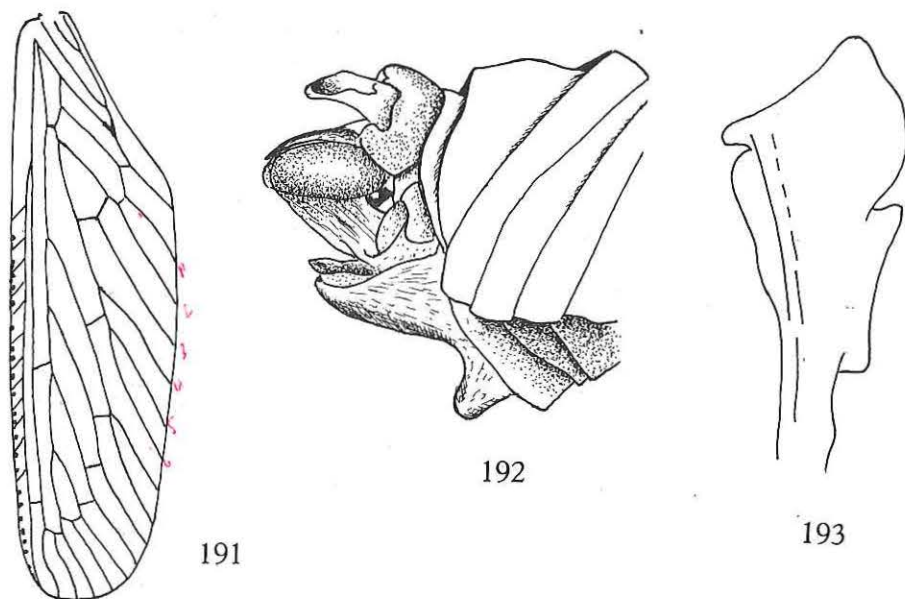


FIG. 191 et 192. — *Zoraida (Neozoraida) maculicostata* MUIR.

191 : Elytre; 192 : Genitalia ♀, vue latérale.

FIG. 193. — *Zoraida (Neozoraida) carpenteri* MUIR : Paramère (sec. MUIR).

Musée Royal de l'Afrique Centrale :

3 ♀♀ : Eala, IV.1936, J. GHESQUIÈRE; Sankuru, IV.1925, J. GHESQUIÈRE; Lulonga Simba, V.1927, J. GHESQUIÈRE.

Ces trois exemplaires sont rapportés à l'espèce avec un certain doute. Ils correspondent à la description originale, répondent assez bien aux mensurations mais ne présentent pas de saillie médiane de la plaque subgénitale.

3. — *Zoraida (Neozoraida) carpenteri* MUIR.

Incertae sedis.

(Fig. 193.)

MUIR, F., 1928, Ann. Mag. Nat. Hist. (10), I, p. 524, fig. 36.

Cette espèce a été décrite sur un ♂ unique d'Uganda qui ne se trouve pas dans les collections du British Museum et doit être considéré comme disparu. D'après MUIR, elle est semblable à *maculicostata* par sa morphologie et la nervulation des élytres. Les antennes et le segment anal sont teintés de rouge et l'abdomen présente une marque dorsale noire en V. Les élytres sont jaunâtres avec les cellules costale, sous-costale et radiale légèrement opacifiées. Une série de petits points noirs occupent les $\frac{2}{3}$ apicaux de la Costa. Les bords latéraux du pygophore sont anguleusement saillants; le bord ventral est aussi anguleuse-

ment saillant, avec l'apex tronqué. Le segment anal est long, étroit, se rétrécissant très progressivement vers l'apex pointu, l'orifice anal un peu avant le milieu. Les paramères sont figurés ci-contre (voir fig. 193).

D'après MUIR, sa grande taille, compte tenu du sexe et une coloration légèrement différente des élytres, doivent la distinguer de *maculicostata*.

Longueur : 5,7 mm; élytre : 13,4 mm.

S'il est exact que les ♂♂ sont généralement de plus petite taille que les ♀♀, il n'en est pas moins vrai que la taille est un élément sujet à variation. De ce fait, nous estimons que ce seul caractère ne pourrait suffire à distinguer deux espèces. Il en est de même pour de légères différences de coloration.

La disparition du type, d'une part, et l'absence de ♂ de *maculicostata*, d'autre part, nous mettent dans l'impossibilité d'établir avec certitude s'il s'agit d'espèces distinctes ou non.

Distribution: Uganda; Nigeria (1 ♂ matériel Simanvori, 1976)

2. — Sous-genre PEGGIOPSIS MUIR.

MUIR, F., 1913, Bull. Haw. Sug. Plant. Assoc., div. Ent., 12, p. 72.

Zoraida (Peggiopsis) distanti MUIR.

(Fig. 194-201.)

MUIR, F., 1918, Entom. Monthl. Mag., 54, p. 204.

Front à bords latéraux lamellaires étroitement accolés jusque peu avant le bord supérieur des yeux où ils se séparent brusquement et forment un petit compartiment triangulaire. 2^e article des antennes ocre, large et aplati, environ 4,5 fois plus long que large, environ 1 1/2 fois plus long que le front (fig. 194). Elytres environ 4 fois plus longs que larges à leur largeur maximale; brunâtres, avec base brun foncé jusqu'au point de jonction entre *C11* et *C12*; de là, la coloration brun foncé forme une bande longitudinale le long du bord costal, englobant les cellules costale, sous-costale et radiale ainsi que parfois la médiane; dans ce dernier cas, seulement depuis la base jusque vers le milieu de l'élytre; nervures transversales ennuagées de brun; 1 tache brune sur l'apex du clavus; 5 petites taches noires sur les nervures, peu avant l'apex et 5 taches brunes contre le bord apical; 1^{er} secteur médian bifurqué, présentant 3 branches qui atteignent le bord apical; *Cu1* et *Cu2* simples, la seconde rejoignant le tronc commun *C11C12* (fig. 195). Ailes atteignant la moitié de la longueur des élytres (fig. 196). Plaque subgénitale de la ♀ large, anguleusement saillante vers l'arrière (voir fig. 201). Genitalia ♂ (d'après un exemplaire d'Elisabethville), voir figures 197-200.

Longueur totale : env. 13 mm.

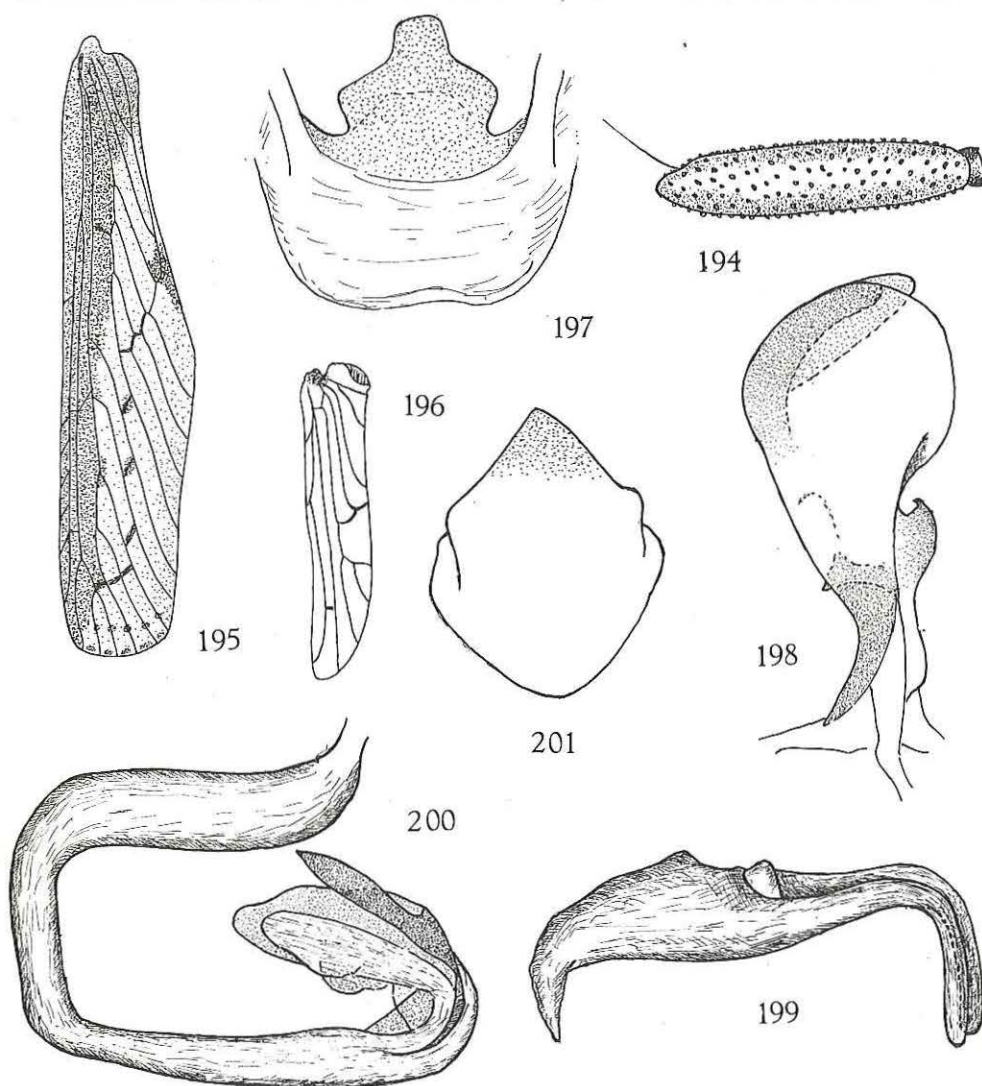


FIG. 194-201. — *Zoraida (Peggiopsis) distanti* MUIR.

194 : 2^e article de l'antenne; 195 : Elytre; 196 : Aile; 197 : Appendice médio-ventral du pygophore; 198 : Paramère; 199 : Tube anal, vue latérale; 200 : Edéage, vue latéro-ventrale gauche; 201 : Plaque subgénitale de la ♀.

Distribution. — Afrique Orientale Portugaise (Type); Afrique du Sud (Natal); Congo (Léo); Afrique-Equatoriale française (R.C.A.); Sierra Leone. L'Holotype ♀ provient d'Afrique Orientale Portugaise, le Paratype (également ♀) de Durban (Natal). Dans un travail subséquent [Ann. Mag. Nat. Hist. (10), I, 1928, p. 522, fig. 32], MUIR signale avoir vu un exemplaire ♀ de Sierra Leone et un ♂ du Natal. *Nigeria*

Musée Royal de l'Afrique Centrale :

5 ex. : Elisabethville, 14.7.1930, CH. SEYDEL; Tshela, 10.XI.1920, Dr. H. SCHOUTEDEN; Haut Uélé, Paulis, IV.1947, P. L. G. BENOIT.

Muséum National d'Histoire Naturelle (Paris) :

1 ex. : R.C.A., Lamaboke, 21.X.1968, M. BOULARD.

Cette espèce ressemble fortement à *Z. sinuosa* BOHEMAN par la nervulation et le dessin des élytres. Elle s'en distingue cependant nettement par le 2^e article des antennes ainsi que par la plaque subgénitale de la ♀. Le ♂ de *sinuosa* nous étant inconnu, nous n'avons pu comparer les genitalia des deux espèces.

3. — Sous-genre **ZORAIDA** KIRKALDY.

KIRKALDY, G. W., 1900, Entomologist, 33, p. 242.

1. — **Zoraida (Zoraida) flavocostata** DISTANT.

(Fig. 202-204.)

DISTANT, W. L., 1914, Ann. Mag. Nat. Hist. (8), 13, p. 415.

MUIR, F., 1930, Ann. Mag. Nat. Hist. (10), 5, p. 84, fig. 8, 8 a.

Front ocre pâle, long et étroit, à bords latéraux étroitement soudés sur toute la longueur; vu de profil, il est légèrement convexe et dépasse à peine le bord antérieur des yeux. Clypéus ocre, presque aussi long que le front. 2^e article des antennes très long, cylindrique, environ 8 fois plus long que large, plus de 3 fois plus long que tête et pronotum réunis. Vertex jaunâtre, triangulaire, avec gouttière médiane étroite; base légèrement concave au milieu. Pronotum jaunâtre; plaques pectorales étroitement bordées de blanc; bord postérieur profondément et anguleusement échancré; carène médiane nette. Scutellum ocre jaune, fortement bombé, avec 3 faibles nervures brunes; cellule costale jaunâtre; 1 petite tache noire à l'apex du clavus et 2 stries noires le long de l'extrémité du bord costal; *M* avec 5 secteurs dont le 1^{er}, bifurqué, a 3 branches atteignant le bord de l'élytre; *Cu1* et *Cu2* simples, le 2^e rejoignant le tronc commun *Cl1Cl2* au-delà de l'apex du clavus (fig. 202). Genitalia ♂, voir figures 203 et 204.

Longueur totale: env. 15 mm.

Distribution. — Afrique Orientale Portugaise (Type); Sierra Leone; Afrique du Sud; Congo (Léo); *Nigeria*.

Musée Royal de l'Afrique Centrale :

6 ex. : Kisantu, 1928, R.P. VAN EYEN; Katanga, Katakumba, 10.V.1925, G.F. OVERLAET; Uélé, Bayenga, terr. Wamba, 810 m, 8.VII.1956, R. CASTELAIN; Swaziland: Eranchi. XII.1954-I.1955, A. L. CAPENER; Tshuapa: Ikela, VIII.1956, R.P. LOOTENS; Mimbo (Likini), A. COLLAERT.

Institut royal des Sciences naturelles de Belgique:

Congo Belge, Ngowa, 10.IV.1939, R.P. J. MERTENS.

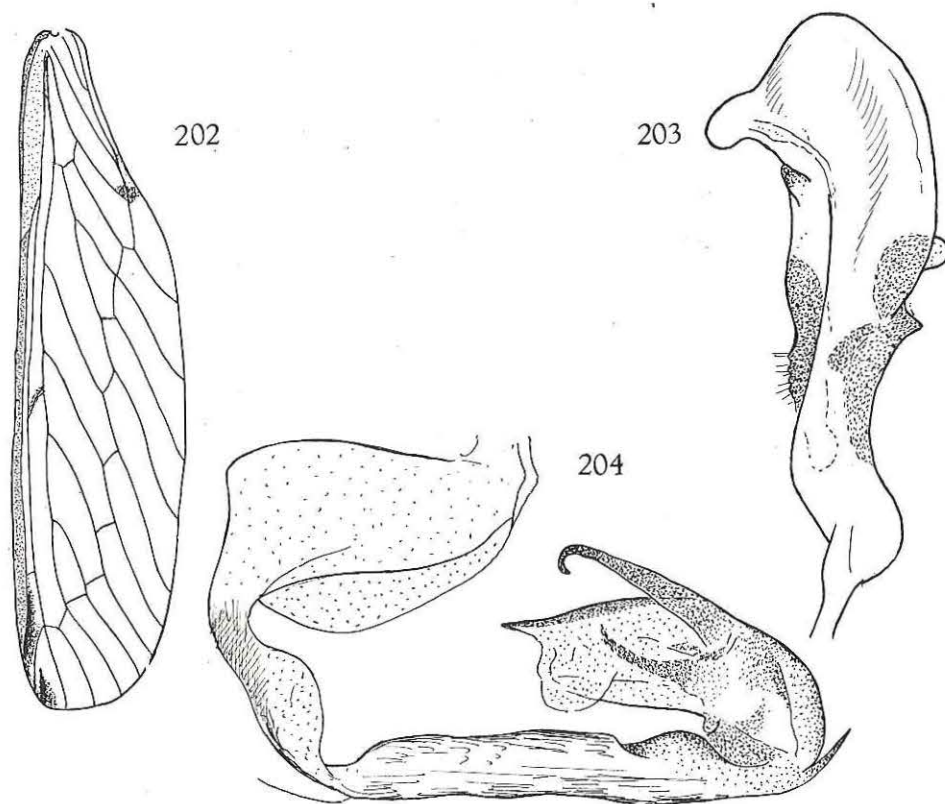


FIG. 202-204. — *Zoraida (Zoraida) flavocostata* DISTANT.
202 : Elytre; 203 : Paramère; 204 : Edéage, vue latéro-ventrale gauche.

2. — *Zoraida boulandi* n. sp.

(Fig. 205-209.)

Front linéaire, ocre; vu de profil, il dépasse à peine le bord externe des yeux et présente une grande tache noirâtre entre l'œil et l'antenne. Vertex triangulaire, brun. Pronotum jaune, sauf le disque qui est noir, brillant, avec carène médiane nette. Scutellum noir, brillant, avec ligne jaune sur les carènes latérales; les bords latéro-postérieurs et l'angle postérieur sont également jaunâtres. Tegulae jaunes, très largement bordées de noir. 2^e article des antennes brun foncé, un peu plus de 5 fois plus long que large. Elytres (fig. 205) hyalins, à nervures noires; cellule costale brun foncé, cette coloration recouvrant également la 1^{re} cellule apicale; 1 petite tache noire à l'apex des 3 premières nervures apicales, 1 autre sur la petite transversale entre *R* et *M*, située entre les 3^e et 4^e secteurs de cette dernière, et 1 dernière à l'endroit où se rejoignent *Cu*₂, le tronc commun *Cl**Cl*₂ et la série de transversales; *Cu* avec 2 branches dont la 1^{re} rejoint le bord de l'élytre

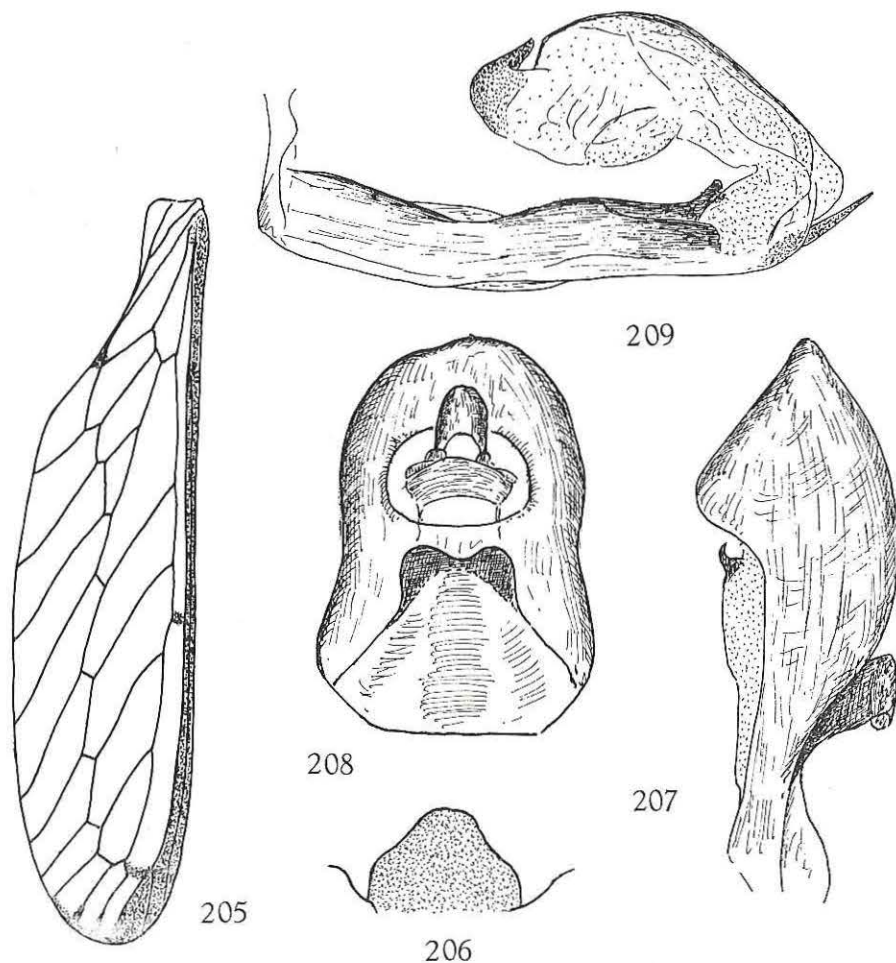


FIG. 205-209. — *Zoraida (Zoraida) boulandi* n. sp.

205 : Elytre; 206 : Appendice médio-ventral du pygophore; 207 : Paramère; 208 : Tube anal, vue dorsale; 209 : Édéage, vue latéro-ventrale gauche.

tandis que la 2^e rejoint le tronc commun *Cl1Cl2* au-delà de l'apex du clavus; M avec 6 secteurs dont le 1^{er} est bifurqué et présente 3 branches rejoignant le bord de l'élytre. Hanches et fémurs antérieurs et médians, ocre; tibias et tarsi antérieurs et médians, brunâtres; fémurs postérieurs brunâtres, tibias ocre. Genitalia ♂, voir figures 206-209.

Longueur totale : env. 15 mm.

Holotype ♂ Boukoko (forêt), Rép. Centrafricaine, 1.X.1967, M. BOULARD (Muséum National d'Histoire Naturelle, Paris). - Togo (matériel *S. maroccanus* 1966)

3. — *Zoraida (Zoraida) angolensis* n. sp.

(Fig. 211-216.)

Front brun, réduit à un étroit sillon, à bords latéraux fortement relevés, lamellaires, presque accolés sur toute leur longueur. Vu de profil, il est très légèrement convexe et peu saillant (fig. 212). Clypéus rougeâtre, un peu plus long que le front, à bords latéraux carénés, avec carène médiane nette. 2^e article des antennes cylindrique, très légèrement aplati, environ 8 fois plus long que large, avec encoche pour insertion de l'arista assez éloignée de l'apex (fig. 211); ocre, avec petite tache rouge à l'insertion de l'arista. Vertex triangulaire, à peu près 2 fois plus large à la base que long au milieu, à bords latéraux convergents vers l'apex où ils se rejoignent et se prolongent par ceux du front. Pronotum et scutellum bruns; le 2^e avec 3 carènes nettes. Elytres hyalins, à nervures brunes; base brune de même que les cellules costale, sous-costale et radiale; *Cu* avec 2 branches; *M* avec 6 secteurs dont le 1^{er} est bifurqué et présente 3 branches atteignant le bord de l'élytre (fig. 213). Pattes ocre; tibias postérieurs armés de 1 épine après le milieu et de 1 très petite sous l'articulation fémoro-tibiale. Genitalia ♂ : voir figures 214-216.

Longueur totale : env. 13 mm.

Holotype ♂ : Angola, Dundo, VII.1955 (Institut royal des Sciences naturelles de Belgique, ex. coll. LALLEMAND).

1 Paratype ♂ (mutilé) : Angola, Dundo, 11.III.1948 (idem).

Une ♀, également originaire d'Angola, est rapportée à l'espèce avec un léger doute. Elle est semblable au ♂ mais sur les élytres, la base est brune de même que les cellules radiale et sous-costale tandis que la cellule costale est blanc jaunâtre; les nervures sous-costale et radiale sont rouge vif.

Cette espèce est voisine de *njalensis* MUIR et *nyasensis* DISTANT. Elle en diffère par les dimensions relatives du 2^e article des antennes qui chez *angolensis* est beaucoup plus long que chez les espèces précédentes. Elle diffère également de *njalensis* par un front non fortement saillant en vue latérale.

4. — *Zoraida (Zoraida) evansi* DISTANT.

(Fig. 217-221.)

DISTANT, W. L., 1914, Ann. Mag. Nat. Hist. (8), 13, p. 417.

Front ocre, linéaire, à bords latéraux étroitement accolés sur toute la longueur; vu de profil, il est régulièrement convexe et dépasse légèrement le bord antérieur des yeux. 2^e article des antennes, cylindrique, environ 4 fois plus long que large. Vertex ocre, triangulaire. Scutellum ocre brun, nettement tricaréné. Abdomen brun clair, avec petites taches foncées. Pattes ocre. Elytres un peu plus de

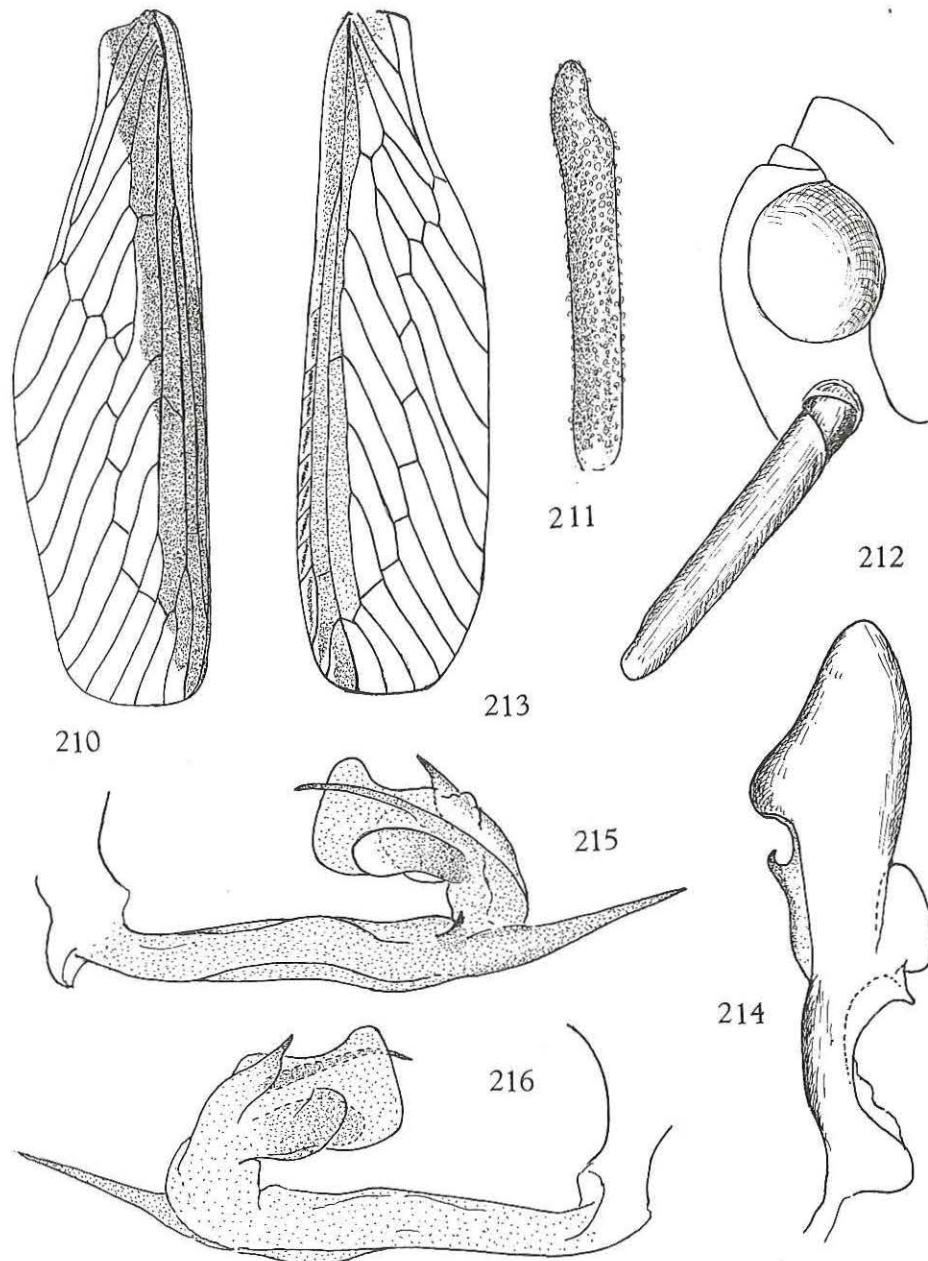


FIG. 210. — *Zoraida (Zoraida) nyasensis* DISTANT : élytre.

FIG. 211-216. — *Zoraida (Zoraida) angolensis* n. sp.

211 : 2^e article de l'antenne; 212 : Tête, vue de profil; 213 : Elytre; 214 : Paramère;
215 : Edéage, vue latéro-ventrale gauche; 216 : Edéage, vue latéro-ventrale droite.

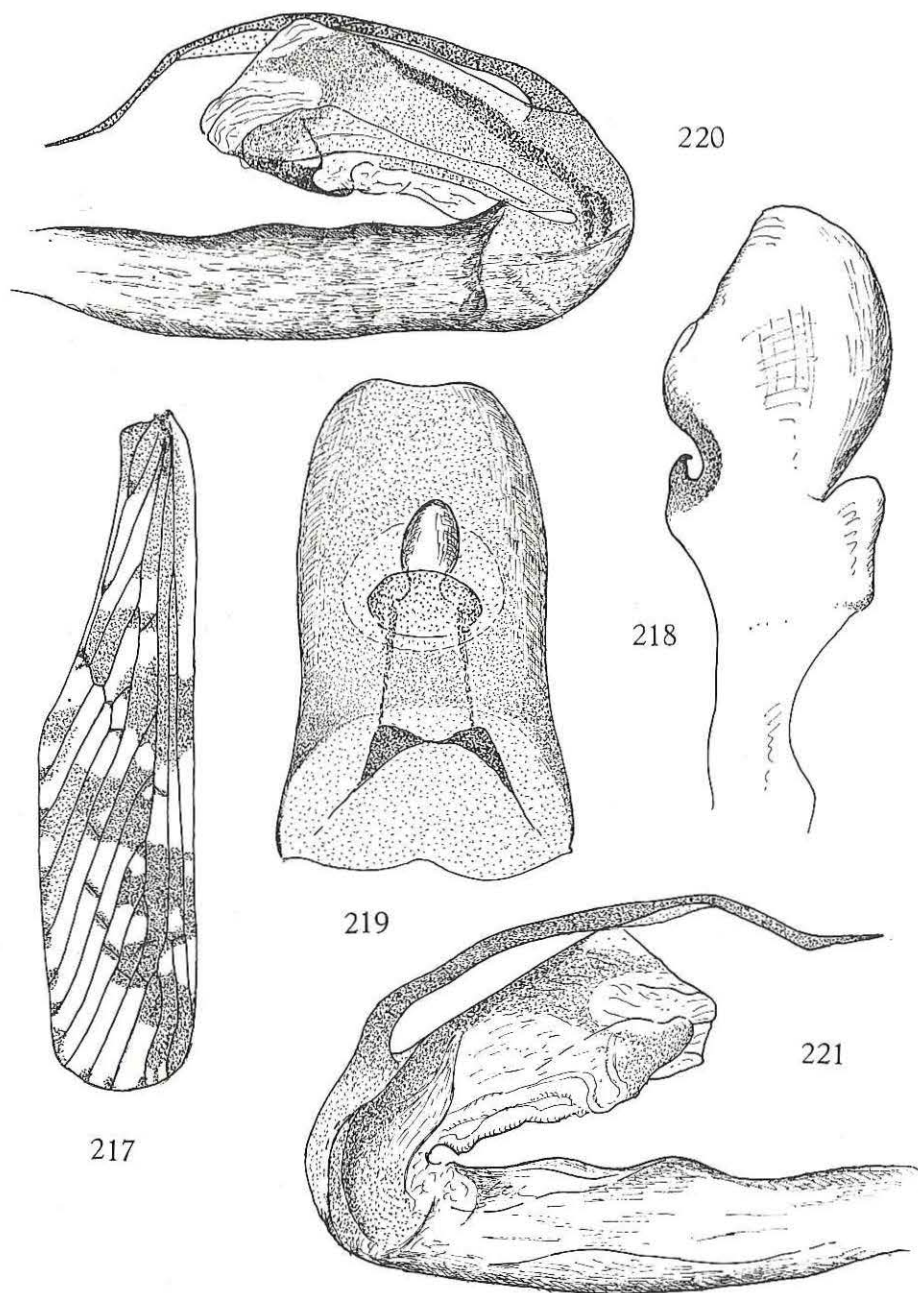


FIG. 217-221. — *Zoraida (Zoraida) evansi* MUIR.
 217 : Elytre; 218 : Paramère; 219 : Tube anal, vue dorsale; 220 : Edéage, vue latéro-ventrale gauche; 221 : Idem, vue latéro-ventrale droite.

4 fois plus longs que larges, grisâtres, avec marques brunes suivant figure 217; bifurcation *Sc+R* vers le $\frac{1}{3}$ basal; *M* avec 5 secteurs dont le 1^{er} est bifurqué et présente 3 branches atteignant le bord de l'élytre; *Cu* avec 2 branches simples dont la 2^e rejoint le tronc commun *CIIC12* à la série de transversales et n'atteint pas directement le bord interne. Ailes grisâtres, presque aussi longues que la $\frac{1}{2}$ des élytres. Genitalia ♂, voir figures 218-221.

Longueur des élytres : 10 mm.

Distribution. — Côte d'Or, *Nigeria*

5. — *Zoraida (Zoraida) aburiensis* MUIR.

(Fig. 222-225.)

MUIR, F., 1918, Ent. Monthl. Mag., 54, p. 206.

Front jaunâtre, linéaire; vu de profil, il est légèrement convexe et saillant au-devant des yeux. Clypéus jaune, nettement tricaréné. Rostre jaune; dernier article aussi long que large, brun. Antennes rougeâtres; 2^e article cylindrique, environ 6 fois plus long que large; arista insérée dans une encoche avant l'apex. Pronotum brun, à plaques pectorales blanches. Scutellum brun, avec 3 carènes plus claires; partie postérieure déprimée, brune; angle postérieur blanc. Elytres un peu moins de 4 fois plus longs que larges; bruns, nervures rouges, une bande transversale hyaline, blanche, en travers du milieu, débutant au bord costal au niveau du 4^e secteur de *M* et rejoignant obliquement le bord interne sous l'apex du clavus; outre cette bande, une plage hyaline à la base de la cellule costale, une 2^e entre cette dernière et la bande transversale, une 3^e sur le clavus, comprise entre la bifurcation *CIIC12* et l'apex; bifurcation *Sc+R* peu avant le 1^{er} secteur de *M*; clavus ouvert, le tronc commun des nervures clavales rejoignant la ligne de nervures transversales; *M* avec 5 secteurs dont le 1^{er} présente 3 branches atteignant le bord de l'élytre; *Cu1* et *Cu2* simples, *Cu2* rejoignant le tronc commun *CIIC12* (fig. 222). Genitalia ♂, voir figures 223-225.

Longueur totale : env. 12 mm.

Distribution. — Côte d'Or (Type); Congo (Léo); Sierra Leone; Afrique-Equatoriale française (R.C.A.).

Musée Royal de l'Afrique Centrale :

5 ex. : Eala, XI.1935, J. GHESQUIÈRE; Tshuapa : Bokuma, II-III.1954, R.P. LOOTENS; Flandria, 1931, R.P. HULSTAERT; Sankuru : Embongobango, 9.II.1950, Dr. FONTAINE.

Institut royal des Sciences naturelles de Belgique :

1 ex. : Eala, 28.V.1935, J. GHESQUIÈRE.

Muséum National d'Histoire Naturelle (Paris) :

1 ex. : Boukoko, Michel BOULARD.

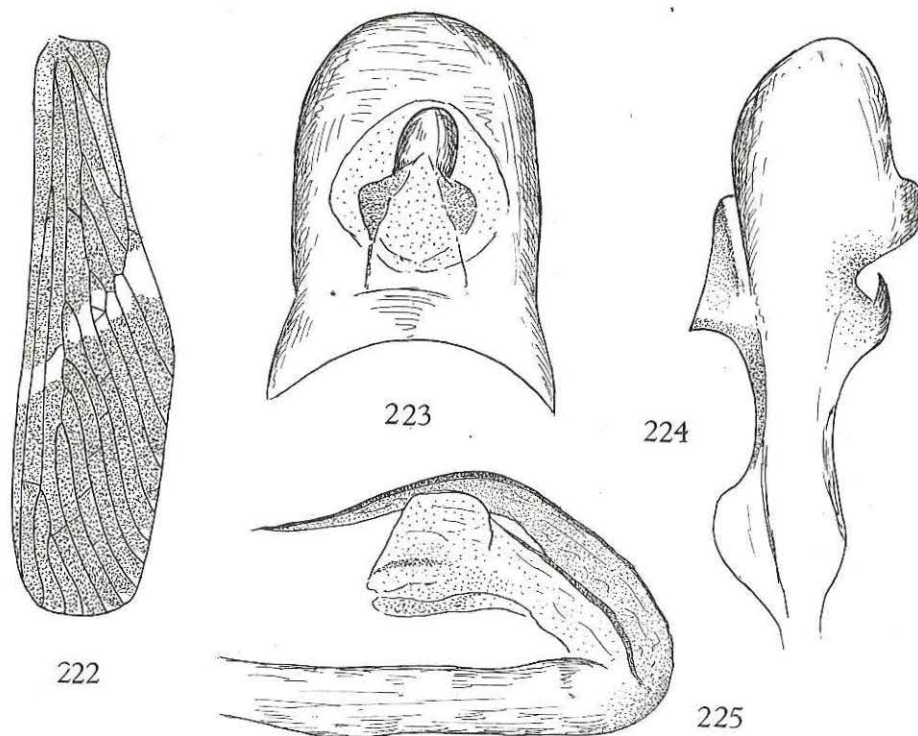


FIG. 222-225. — *Zoraida (Zoraida) aburiensis* MUIR.
222 : Elytre; 223 : Tube anal, vue dorsale; 224 : Paramère; 225 : Edéage, vue latéro-ventrale gauche.

6. — *Zoraida (Zoraida) njalensis* MUIR.

(Fig. 226-229.)

MUIR, F., 1928, Ann. Mag. Nat. Hist. (10), p. 519, fig. 29.

Front ocre pâle, linéaire, à bords latéraux étroitement accolés sauf vers la base où ils s'écartent l'un de l'autre; vu de profil, il est légèrement saillant et arrondi à partir du bord inférieur des yeux (fig. 226). Antennes beaucoup plus longues que le front; 2^e article environ 5 fois plus long que large (fig. 227). Vertex ocre pâle, trapézoïdal, à bords latéraux se prolongeant directement vers l'avant par ceux du front. Pronotum ocre, sauf une large bande le long du bord postérieur qui est brune, avec de nombreux granules ocre; une faible carène médiane, nette surtout sur la $\frac{1}{2}$ postérieure. Scutellum brun, avec 3 carènes nettes sur la $\frac{1}{2}$ antérieure, plus ou moins estompées (surtout les latérales) sur la $\frac{1}{2}$ postérieure. Elytres hyalins, légèrement fumés, avec une large bande longitudinale brun foncé le long du bord costal depuis la base jusqu'à l'apex, recouvrant la $\frac{1}{2}$ basale du clavus, les cellules costale (sauf la $\frac{1}{2}$ basale), sous-costale, radiale

et débordant plus ou moins dans les cellules formées par les secteurs de *M*; une petite tache brun foncé à l'endroit où se rejoignent le tronc commun des nervures clavales et *Cu2*; les nervures sont teintées de rouge sur la partie foncée et sont ocre sur le restant; le bord apical et l'extrémité des nervures qui y aboutissent sont blancs; bifurcation *Sc+R* vers le $\frac{1}{3}$ basal de l'élytre; *M* avec 5 secteurs dont le 1^{er} est bifurqué et présente 3 branches atteignant le bord de l'élytre; la transversale entre *Msl* et *Msl*_a est bifurquée, délimitant de ce fait une petite

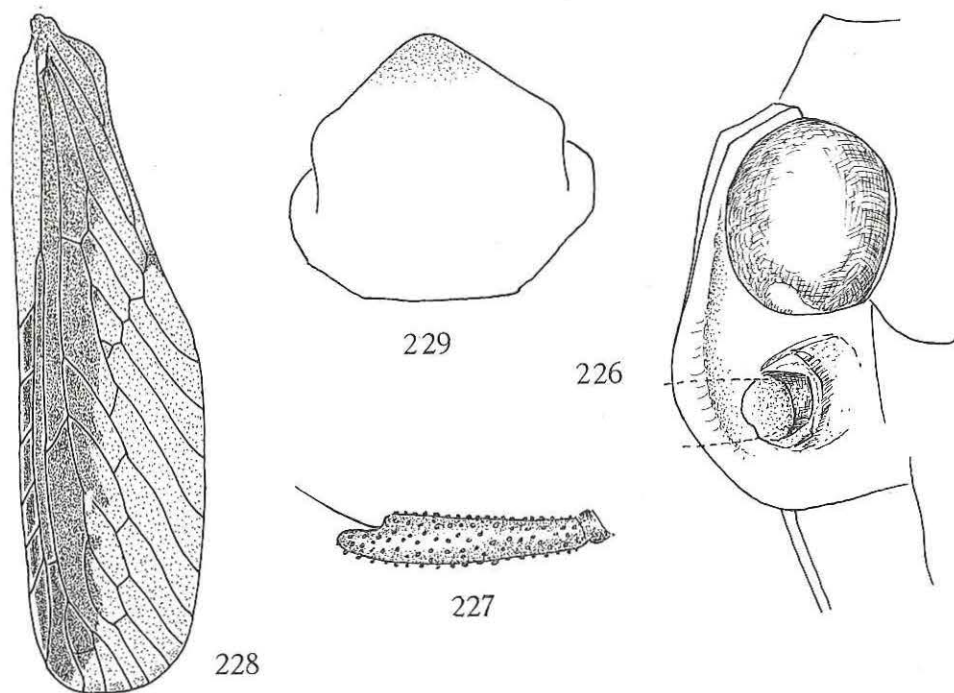


FIG. 226-229. — *Zoraida (Zoraida) njalensis* MUIR.

226 : Tête, vue de profil; 227 : 2^e article de l'antenne; 228 : Elytre; 229 : Plaque subgénitale de la ♀.

cellule triangulaire; *Cu* avec 2 branches simples dont l'interne n'atteint pas le bord et rejoint le tronc commun *Cu1*₂ (fig. 228). Pattes ocre; tibias postérieurs armés d'une épine après le milieu. Abdomen brun, moucheté d'ocre. Le tube anal, l'édéage et les paramères manquent sur le type. Plaque subgénitale de la ♀, voir figure 229.

Longueur totale: env. 15 mm.

Distribution. — Sierra Leone (Type); Congo (Léo); Afrique-Equatoriale française (R.C.A.).

Musée Royal de l'Afrique Centrale :

1 ex. : Kilo Mines, 19.IX.1952 (C. BOITQUIN).

Muséum National d'Histoire Naturelle (Paris) :

1 ex. : R.C.A., Boukoko, 10.II.1968, M. BOULARD.

Cette espèce est très voisine de *nyasensis* DISTANT dont elle diffère principalement par le front qui forme, vu de profil, une saillie arrondie sous les yeux. Les genitalia ♂ n'ont pu être comparés étant donné que le type de *nyasensis* est une ♀ et que celui de *njalensis* est un ♂, malheureusement mutilé. Chez le type des deux espèces, la nervure transversale entre *Ms1* et *Ms1a* est bifurquée, formant de ce fait une petite cellule triangulaire.

7. — *Zoraida (Zoraida) nyasensis* DISTANT.

(Fig. 210.)

DISTANT, W. L., 1914, Ann. Mag. Nat. Hist. (8), 13, p. 414.

Front ocre, linéaire, à bords latéraux étroitement accolés sur toute leur longueur; vu de profil, il est légèrement convexe et régulièrement saillant au-devant des yeux. Vertex triangulaire, à bords latéraux relevés, épaissis, convergents vers l'avant où ils se prolongent directement par ceux du front; bord postérieur anguleusement échancré. Scutellum tricaréné, ocre brun, plus clair entre les carènes. Elytres hyalins, blancs; base brun foncé jusque peu avant la réunion des nervures clavales; de là part une large bande brune qui recouvre les cellules costale (sauf la $\frac{1}{2}$ basale), sous-costale, radiale et médiane ($\frac{1}{2}$ basale) (voir fig. 210); nervures blanches sauf *Sc*, *R* et *M* qui sont rouge vif; *M* avec 5 secteurs dont le 1^{er} est bifurqué et a 3 branches atteignant le bord de l'élytre; bifurcation *Sc+R* au niveau du 1^{er} secteur de *M*; *Cu1* et *Cu2* simples, la seconde rejoignant le tronc commun *C1/C2*. Ailes un rien plus longues que la $\frac{1}{2}$ de la longueur des élytres, hyalines, légèrement brunâtres le long du bord costal; nervures blanchâtres sauf les deux externes qui sont rouges. Antennes brunes, sauf l'apex du 2^e article qui est noir; 1^{er} article globuleux, 2^e article aplati, 5 fois plus long que large. Abdomen brun, tacheté d'ocre; bord postérieur des sternites abdominaux blanchâtre. Pattes ocre; tibias postérieurs armés de 1 épine après le milieu.

Longueur totale: env. 17 mm.

Distribution. — Nyassaland (Type); Congo (Léo).

Musée Royal de l'Afrique Centrale :

3 ex. : Mayidi, 1942, R.P. VAN EYEN; Eala, IV.1936, J. GHESQUIÈRE.

Le type ♀ est fortement endommagé. Le pronotum et le scutellum sont en très mauvais état, l'élytre gauche manque. Cette espèce est voisine de *njalensis* MUIR dont elle diffère principalement par le fait que, chez cette dernière, le front, vu de profil, est convexe et saillant à partir du bord inférieur des yeux et, également, par de légères différences de coloration.

8. — *Zoraida (Zoraida) sudanica* n. sp.

(Fig. 230-235 b.)

Front brun foncé, à bords latéraux lamellaires étroitement accolés. Le 1^{er} article des antennes court, noir, extérieurement bordé de jaune; 2^e article brun, légèrement aplati, environ 6 fois plus long que large (fig. 230); pas de processus sous-antennaire. Clypéus ocre, avec carène médiane saillante. Rostre jaune; dernier article brun foncé, environ 2,5 fois plus long que large. Vertex brun noirâtre. Pronotum brun foncé sauf la partie apicale des plaques pectorales, la granulation et une bande sur la carène médiane qui sont jaunes; l'arête de la carène médiane est rouge. Scutellum très fortement bombé, brun foncé, avec une grande tache ronde, ocre, sur chaque face latérale; 3 carènes nettes, dont les latérales sont fortement écourtées vers l'arrière; la carène médiane est brune, les latérales jaunes et, sur la partie postérieure du scutellum, elles sont toutes trois indiquées par une série de petits points jaunes. Tegulae ocre, avec bande brun foncé le long du bord postérieur. Elytres hyalins, fortement marqués de brun suivant la figure 231. Cellules costale, sous-costale et radiale blanchâtres, avec de très nombreuses petites taches rondes, brunes. Le restant de l'élytre est brun pâle, avec de nombreuses petites taches plus foncées, parfois confluentes; dans la partie apicale claire, 4 groupes de 2 petites taches noires situées 2 à 2 de part et d'autre des nervures apicales et non loin du bord apical; nervures ocre sauf *Sc*, *R* et *M* qui sont rouges; les transversales sont brun-noir et une bande transversale noire, oblique, les recouvre à l'apex et au niveau de l'apex du clavus; clavus ouvert; les nervures clavales sont réunies loin avant le milieu et leur tronc commun rejoint la série de transversales au-delà de l'apex du clavus; *Cu* avec 2 branches dont l'interne n'atteint pas le bord de l'élytre; *M* avec 5 branches dont la 1^{re} est bifurquée et présente 3 branches atteignant le bord de l'élytre. Fémurs et tibias antérieurs et médians jaunâtres avec tronçon basal et apical brun; fémurs postérieurs bruns sauf l'apex qui est jaunâtre; tibias postérieurs ocre, avec 1 tache brune avant l'apex, armés de 1 épine située après le milieu. Genitalia ♂, voir figures 232-235. Plaque subgénitale de la ♀, voir figure 235 b.

Longueur totale: env. 15 mm (type ♂) à env. 18 mm (♀).

Holotype: Sudan, Equatoria. Lotti forest, 14-17.III.1963, LINNAVUORI (Coll. LINNAVUORI).

1 **Paratype** ♀: Dilolo, III.1931, J. DRION (Musée Royal de l'Afrique Centrale).

2 **Paratypes** ♀: R.C.A., Boukoko, 7.I.1968, M. BOULARD; Lamaboke, 26.III.1966 (U.V.), Michel BOULARD.

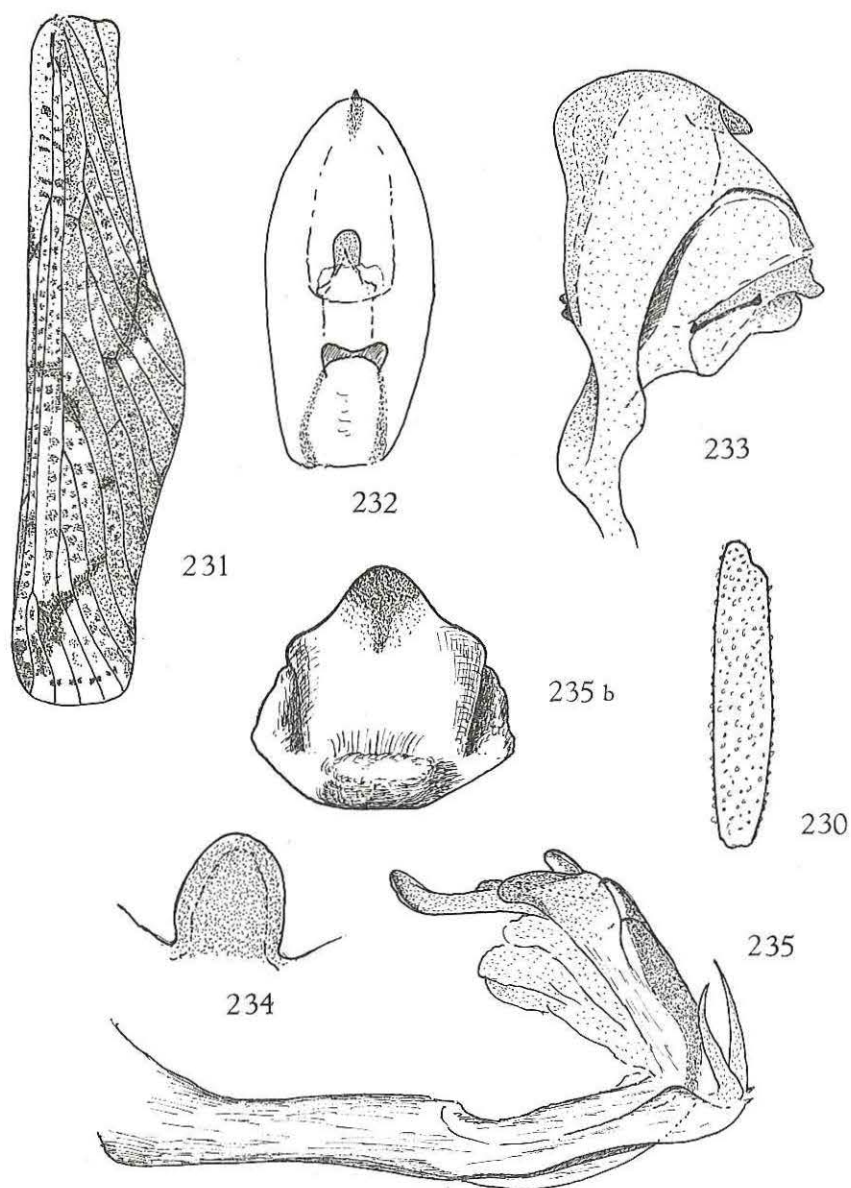


FIG. 230-235 b. — *Zoraida (Zoraida) sudanica* n. sp.

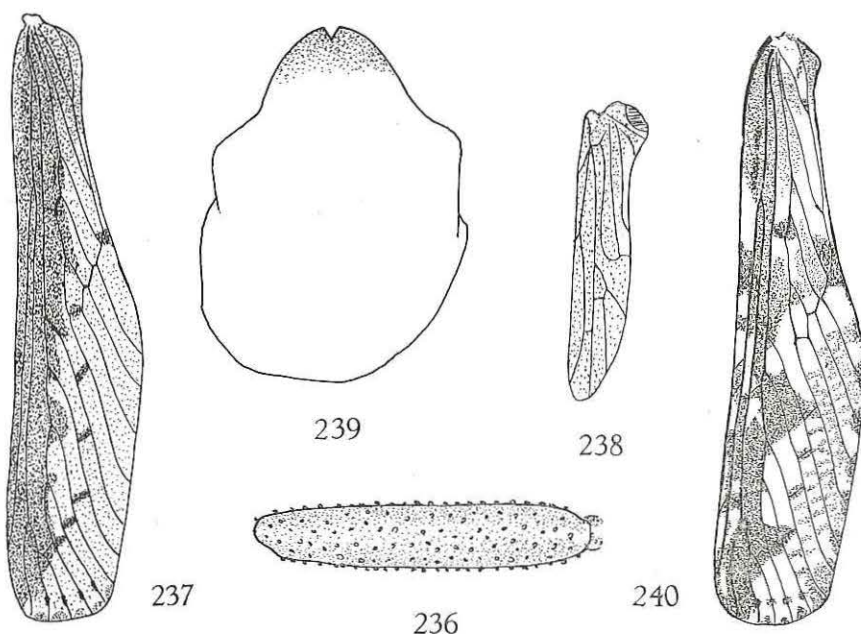
230: 2^e article de l'antenne; 231: Elytre; 232: Tube anal, vue dorsale; 233: Paramère;
 234: Appendice médio-ventral du pygophore; 235: Edéage, vue latéro-ventrale gauche;
 235 b: Plaque subgénitale de la ♀.

9. — *Zoraida (Zoraida) sinuosa* (BOHEMAN).

(Fig. 236-239.)

BOHEMAN, C. H., 1837, Handl. Svensk. Vet. Akad., 58, p. 225, pl. VII, fig. 1 et 2 *Derbe*.

Front ocre, à bords latéraux étroitement accolés sauf à l'extrême base où ils sont divergents et rejoignent les bords latéraux du vertex, formant un petit compartiment. 2^e article des antennes ocre, teinté de rouge, de 5,5 à 5,7 fois plus long que large (fig. 236). Vertex ocre, trapézoïdal, à bords relevés, séparé du front par une carène transversale. Pronotum ocre grisâtre, court, à bord postérieur très profondément et anguleusement échancré; carène médiane pré-

FIG. 236-239. — *Zoraida (Zoraida) sinuosa* (BOHEMAN).236: 2^e article de l'antenne; 237: Elytre; 238: Aile; 239: Plaque subgénitale de la ♀.FIG. 240. — *Zoraida (Zoraida) picturata* DISTANT: élytre.

sente; quelques granules ocre sur les faces latérales. Scutellum brun, avec 3 carènes nettes. Elytres hyalins, blanchâtres, à nervures brunes; base brun foncé jusqu'à la réunion des nervures clavales; de là, une bande brune à bord interne sinueux, le long du bord costal, recouvrant les cellules costale, sous-costale, radiale et la $\frac{1}{2}$ basale de la médiane; nervures transversales ennuagées de brun; 1 tache brune à la jonction entre le tronc commun *Cu1Cu2* et *Cu2* et 1 point brun sur l'apex des nervures longitudinales atteignant le bord apical; *M* avec 5 secteurs

dont le 1^{er} est bifurqué et présente 3 branches atteignant le bord de l'élytre; les autres sont simples; nervures clavales réunies nettement avant le milieu du clavus, leur tronc commun rejoignant la série de nervures transversales et *Cu2*; *Cu1* et *Cu2* simples (fig. 237). Aile, voir figure 238. Pattes ocre. Plaque subgénitale de la ♀, voir figure 239.

Longueur totale: env. 16 mm.

Distribution. — Sierra Leone; Guinée; Cameroun; Togo; Congo (Léo); Afrique-Equatoriale française (R.C.A.); *Migania*.

Musée Royal de l'Afrique Centrale:

5 ex.: Eala, IV.1936, J. GHESQUIÈRE; Mayidi, 1943, R.P. VAN EYEN; Tshuapa, Lukokela, DE GUIDE; Tshela, 10.XI.1920, Dr. H. SCHOUTEDEN.

Muséum National d'Histoire Naturelle (Paris):

1 ex.: R.C.A., Boukoko, 10.II.1970, M. BOULARD.

10. — *Zoraida (Zoraida) pattersoni* DISTANT.

(Fig. 241-248.)

DISTANT, W. L., 1914, Ann. Mag. Nat. Hist. (8), 13, p. 415.

Le type ♀ est fortement endommagé. La corrosion de l'épingle a provoqué l'éclatement du thorax et de la tête. Le vertex et le front ont disparu, seuls subsistent les yeux et les antennes.

Antennes ocre, cylindriques, 2^e article de 6 à 7 (chez le type) fois plus long que large à l'apex, vers lequel il s'élargit progressivement à partir du milieu; arista insérée dans une encoche apicale (fig. 241). Clypéus brun foncé, à carènes ocre. Pronotum brun foncé, avec carène médiane et un étroit liseré le long du bord postérieur, ocre; des granules ocre sur les faces latérales, de part et d'autre du disque. Scutellum brun foncé; angles postérieur et latéraux, pâles; 3 carènes ocre. Elytres hyalins, grisâtres; toute l'aire comprise entre le bord costal et *M* de même qu'une bande transversale comprise entre le milieu du bord sutural et le bord costal, sont brun plus ou moins foncé; 1 grande tache oblique, pâle, entre l'apex du clavus et la bande transversale, atteignant le milieu de l'élytre; aire comprise entre la bande transversale brune et le bord apical, claire, tachetée de brun pâle; 1 tache foncée à l'apex des nervures apicales et 1 plus grande au bord sutural, à l'endroit où le tronc commun *Cl1Cl2* rejoint *Cu2*; apex avec une double série de petites taches brunes dont les 1^{res} sont situées sur les nervures et les 2^{es}, contre le bord apical, entre ces dernières; nervures ocre, sauf dans les parties foncées où elles sont elles-mêmes presque noires; un court tronçon jaune sur la bifurcation de *Cu*, sur *M* au niveau du précédent et sur l'embranchement des 2^e, 4^e et 5^e secteurs de *M*; clavus ouvert, tronc commun des nervures clavales dépassant l'apex et rejoignant *Cu2*; *M* avec 5 secteurs dont le 1^{er} est bifurqué et présente 3 branches atteignant le bord de l'élytre; *Cu1* et *Cu2* simples, la 2^e rejoignant *Cl1Cl2*; les autres sont simples; bifurcation *Sc+R* peu après celle de *Cu*, vers le $\frac{1}{4}$ basal de l'élytre (fig. 242). Pattes ocre. Abdomen brun

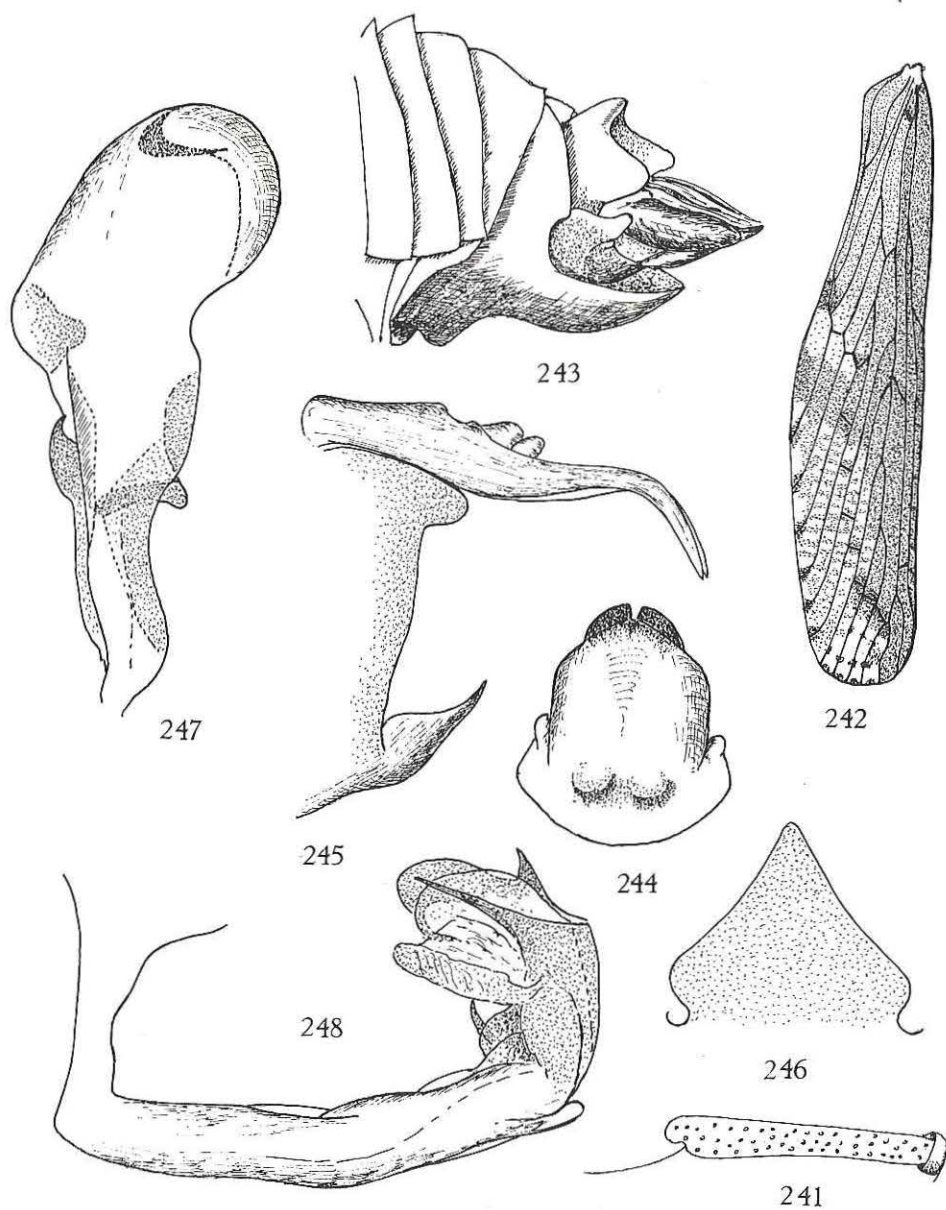


FIG. 241-248. — *Zoraida (Zoraida) pattersoni* DISTANT.
 241 : 2^e article de l'antenne; 242 : Elytre; 243 : Genitalia ♀, vue latérale; 244 : Plaque subgénitale de la ♀, vue ventrale; 245 : Pygophore, vue latérale; 246 : Appendice médio-ventral du pygophore; 247 : Paramère; 248 : Edéage, vue latéro-ventrale gauche.

foncé; la face dorsale est parsemée de granules ocre. Genitalia ♂, voir figures 245-248. Genitalia ♀, voir figures 243 et 244.

Envergure: 30 mm.

Distribution. — Côte d'Or (Type); Afrique-Equatoriale française (R.C.A.); Congo (Léo). ; Cameroun.

Muséum National d'Histoire Naturelle (Paris):

2 ex.: R.C.A., Mbale, 15.II.1968, Michel BOULARD; R.C.A., Toukoulou, 16.VIII.1965, Michel BOULARD.

Musée Royal de l'Afrique Centrale:

1 ex.: Wulu-Wulu, à 15 km de Lemba (Mayumbe), 24.IV.1970, P. M. ELSÉN.

11. — *Zoraida (Zoraida) picturata* DISTANT.

(Fig. 240.) + ♂ 36 et 538 (genitalia ♂)

DISTANT, W. L., 1914, Ann. Mag. Nat. Hist. (8), 13, p. 416.

Front jaunâtre, long et étroit, à bords latéraux étroitement accolés sur toute leur longueur; vu de profil, il est légèrement convexe et très peu saillant au-devant des yeux; la distance entre le bord antérieur et celui de l'œil correspondant est environ 5 fois inférieure à la largeur de ce dernier. Clypéus ocre rougeâtre, avec carène médiane plus claire. Rostre long, dépassant fortement les hanches postérieures. 2^e article des antennes jaunâtre, cylindrique, environ 4 fois plus long que large chez la ♀ et 5 fois chez le ♂, à peu près 2 fois plus long que tête et pronotum réunis. Vertex jaunâtre, triangulaire, à bord postérieur profondément et anguleusement échancré. Scutellum fortement convexe, tricaréné, grisâtre sauf les angles latéraux et la partie postérieure qui sont bruns. Élytres un peu plus de 4 fois plus longs que larges; blanchâtres, fortement marqués de brun plus ou moins foncé suivant la figure 240; nervures sous-costale, radiale et médiane (tronc principal) épaissies, rouge vif, les autres sont ocre et les transversales brunes; *M* avec 5 secteurs dont le 1^{er} est bifurqué et compte 3 branches atteignant le bord de l'élytre; *Cu1* et *Cu2* simples, la 2^e rejoignant *Cu1C2* après l'apex du clavus. Ailes plus courtes de moitié que les élytres. Abdomen brunâtre, rouge à l'apex. Plaque subgénitale de la ♀ noire, à bord externe anguleux. Tube anal rouge, genitalia noirs. Pattes jaunâtres. Genitalia ♂: voir addendum page 218 (fig. 536-538).

Envergure: 24 mm.

Distribution. — Nyassaland.

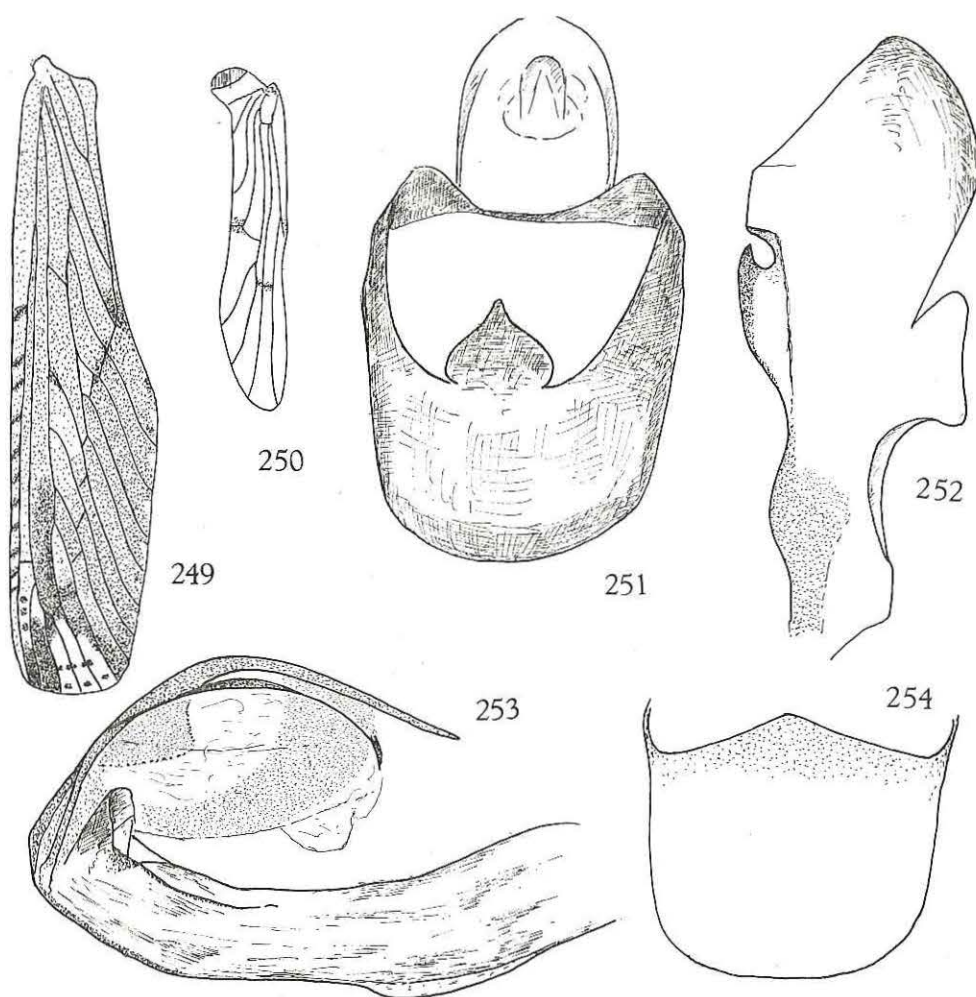
La description qui précède de même que la figure ont été exécutées d'après le type.

Cette espèce est très voisine de *bohemani* STÅL dont elle diffère par le 2^e article des antennes plus court, par la présence de 2 prolongements triangulaires bruns sur la 1/2 apicale des élytres et par la plaque subgénitale noire.

Une synonymie éventuelle des 2 espèces n'est pas à rejeter mais ne pourrait être établie qu'après comparaison des genitalia ♂. (Voir genitalia ♂, addendum à la figure 218)

12. — *Zoraida (Zoraida) bohemani* (WESTWOOD).

(Fig. 249-254.)

BOHEMAN, C. H., 1838, Handl. Svensk. Vet. Akad., 58, p. 226, pl. VII, fig. 3-7
Derbe nervosa.WESTWOOD, J. O., 1841, Trans. Linn. Soc. Lond., Zool., 19, p. 10 *Thracia*
bohemani.FIG. 249-254. — *Zoraida (Zoraida) bohemani* (WESTWOOD).

249 : Elytre; 250 : Aile; 251 : Pygophore, vue ventrale; 252 : Paramère; 253 : Edéage, vue latéro-ventrale droite; 254 : Plaque subgénitale de la ♀, vue ventrale.

Description d'après un exemplaire d'Afrique du Sud (Durban) appartenant au South African Museum :

Front ocre, linéaire, à bords étroitement soudés se prolongeant directement par ceux du vertex. Ce dernier est triangulaire, à base anguleusement échancrée. Clypéus convexe, rougeâtre, à carène médiane nette. Rostre ocre; dernier article très court, aussi long que large. Pronotum brunâtre, avec la $\frac{1}{2}$ inférieure des plaques pectorales jaunâtre. Scutellum gris brunâtre, avec 3 carènes dont les latérales, plus ou moins estompées, sont jaunâtres; angle postérieur jaune. Antennes brunes, parfois rougeâtres; 2^e article cylindrique, allongé, de 6 à 6,7 fois plus long que large chez le ♂ et de 4,5 à 5 fois chez la ♀; arista insérée dans une encoche avant l'apex. Elytres allongés, hyalins, brunâtres, marqués de taches brun foncé et blanchâtres; nervures *Sc*, *R* et *M* rougeâtres, les autres brunes. Sont blanchâtres, 1 grande tache plus ou moins triangulaire sur l'angle apical et de petites taches triangulaires le long du bord, entre les nervures longitudinales; sont brun foncé, presque noires, les nervures transversales de la cellule costale, 1 grande tache allongée sur l'angle apical, marquant l'apex de la cellule radiale jusqu'au niveau du 4^e secteur de *M* et les cellules apicales de *R* et *Sc*, 1 tache sur la jonction entre *Cu2* et le tronc commun *Cl1Cl2*, quelques petits points sur les nervures, dans la grande tache apicale claire; clavus ouvert; tronc commun des nervures clavales rejoignant la série de transversales; *Cu1* et *Cu2* simples, la seconde rejoignant également cette série de transversales; *M* avec 5 secteurs dont le 1^{er} est bifurqué et présente 3 branches atteignant le bord de l'élytre; bifurcation *Sc + R* peu après celle de *Cu* (fig. 249). Ailes, voir figure 250. Pattes jaunâtres; tibias postérieurs avec 2 très petites épines, dont 1 sous l'articulation fémoro-tibiale et 1 autre après le milieu. Genitalia ♂, voir figures 251-253 (d'après un exemplaire d'Elisabethville). Plaque subgénitale de la ♀ jaune, à bord externe anguleux (voir fig. 254).

Distribution. — Sierra Leone (Type); Afrique du Sud; Congo (Léo); Angola; *Lae Nyassa*.

Musée Royal de l'Afrique Centrale :

18 ex.: Katanga, Mwashila, 21.IV.1925, C. SEYDEL; Lulua, Sandoa, V.1932, G. F. OVERLAET; Elisabethville, 10.XII.1930, H. J. BRÉDO; Elisabethville (Lubumbashi), OVERLAET; Lulua, r. Gashila, 18.X.1925, G. F. OVERLAET; Katanga, Kafakumba, 16.V.1925, G. F. OVERLAET; Sankuru, M'Pemba (Gandajika), 22.IX.1958, don R. MARÉCHAL; Equateur, Bokuma, 1951, R. P. LOOTENS; Sankuru, Kondue, 1934, PUISSANT.

Institut royal des Sciences naturelles de Belgique :

53 ex.: Eshowe, Zululand, 15-18.III.1951, A. L. CAPENER, I.R.Sc.N.B., I.G. 23.285; Angola, Dundo, 11.III.1948, A. DE BARROS MACHADO (à la lumière); Afrique du Sud, Malvern (Natal), 21.II.1953, A. L. CAPENER, I.R.Sc.N.B., I.G. 23.285; Elisabethville, 1.I.1941, H. J. BRÉDO.

Tribu ZORAIDINI

Genre Zoraida KIRKALDY

KIRKALDY, G. W., 1900, Entomologist, 33, p. 242.

Zoraida nigeriensis n. sp.
(Fig. 53 à 58)

Front brun, clypéus rouge. Pronotum brun noir, à plaques pectorales ocre pâle. Antennes jaunes. Scutellum brun, à angle apical jaune, nettement tricaréné. Abdomen et genitalia rouges. Pattes jaunes. 2d article des antennes cylindrique, de 5 à 6 fois plus long que large (fig. 53). Elytres bruns, parsemés de petites taches hyalines blanchâtres, sauf le long de la moitié apicale du bord interne où ils sont uniformément bruns; moitié postérieure des cellules costale et sous-costale hyaline, blanchâtre avec dans la première, des stries longitudinales noirâtres correspondant aux petites cellules formées par les transversales; une tache hyaline, blanchâtre, entre les branches de R et le 5^{me} secteur de M, contenant 3 petites taches brunes situées contre le bord apical, entre les nervures; nervures ocre sauf Sc et R qui sont rouges; M avec 5 secteurs dont le premier est ramifié et présente 3 branches atteignant le bord de l'élytre; Cu 2 rejoignant le tronc commun Cl 1 Cl 2 après l'apex du clavus qui est ouvert (fig. 54). Tibias postérieurs armés d'une épine après le milieu.

Genitalia ♂, voir fig. 55 à 58. Bord postérieur du segment pré-génital de la ♀ légèrement saillant et convexe. Longueur totale: env. 12 mm. Envergure: env. 23 mm.

Holotype ♂. — Ile-Ife, W. State, Nigeria, VI-1973, J. T. MEDLER (Institut royal des Sciences naturelles de Belgique).

Paratypes. — 3 ♂♂, 4 ♀♀, même localité (Institut royal des Sciences naturelles de Belgique).

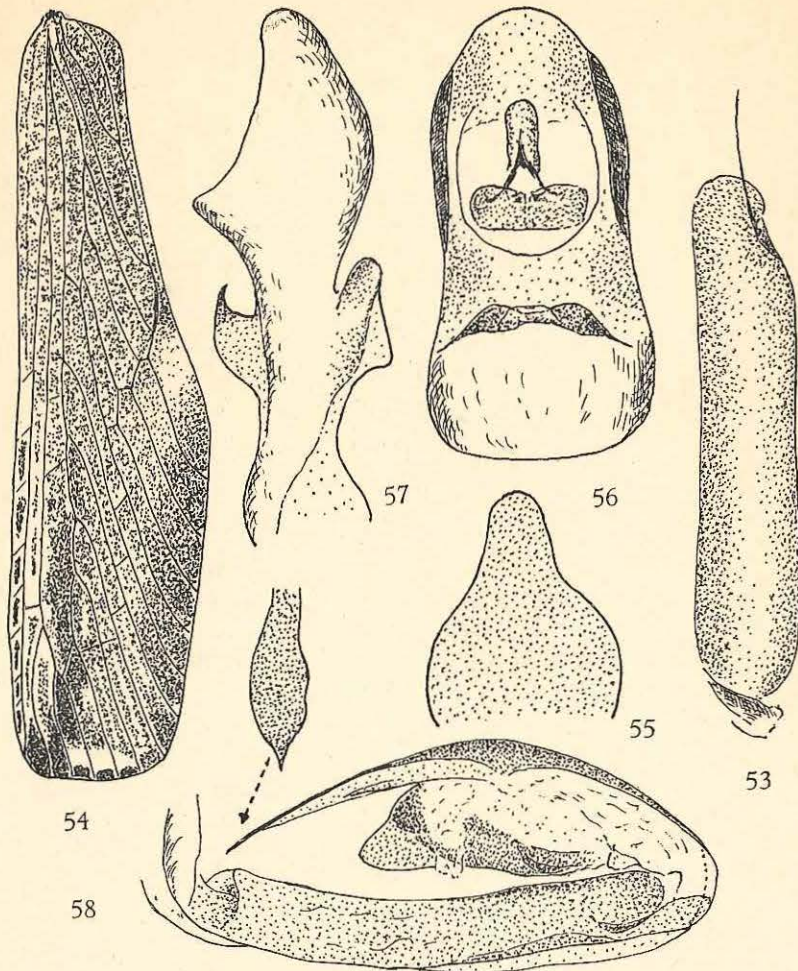


Fig. 53 à 58. — *Zoraida nigeriensis* n. sp.

53 : 2d article de l'antenne; 54 : élytre; 55 : processus medio-ventral du pygophore;
56 : tube anal, vue dorsale; 57 : paramère; 58 : édéage, vue latéro-ventrale droite.

13. — *Zoraida (Zoraida) fuligipennis* MUIR.*Incertae sedis.*

MUIR, F., 1928, Ann. Mag. Nat. Hist. (10), I, p. 520, fig. 30, 31.

Nous ne connaissons cette espèce, dont le type ♀ est très fortement endommagé et dont le paratype ♂ ne se trouve pas dans les collections du British Museum, que par la description originale dont nous donnons copie ci-dessous :

« Female : Length 3.8 mm, tegmen 9.4 mm, wing 5 mm.

» Antennae terete, longer than the frons. Wings slightly more than half the length of tegmen; basal median cell long and narrow, *M1* appearing as if belonging to *Cu*. The length of the basal portion of tegmen, the clavus, and *M* basal cell correspond, if they not be correlated, with the length of the wing. The pregenital plate fairly large, sides about half the length of the middle, posterior margin subangular from sides to middle, the apex blunt or rounded. Length of anal segment about 1.4 times the width, not reaching to the apex of ovopositor, broadest on basal half, then slightly narrowed, apex rounded.

» Reddish fuliginous; antennae, labium and legs yellow; carinae of head and thorax lighter, a number of small light dots on head and thorax, the abdominal tergites with small light dots slightly raised. Tegmina fuliginous; veins reddish, the median sector less so, the apices of the veins entering the hind margin with a light mark, those entering apex bordered with light for a short distance; over the basal half and in *C*, *Sc*, and *R* cells a few minute light marks. Wings fuliginous with darker veins.

» Male similar to female but a little smaller. Genitalia figured. The apex of the anal segment bluntly rounded.

» Hab. Sierra Leone : Njala (E. HARGREAVES, iv. 1925, v. 1926).

» Described from one female and one male ».

Tribu SIKAIANINI

Front fortement comprimé latéralement, lamellaire, peu saillant vers l'avant. Elytres avec clavus ouvert; cellule sous-costale absente ou très étroite. 2^e article des antennes fortement développé, de 3 à 5 fois plus long que large. Yeux fortement développés, atteignant ou presque, la base du clypéus. Ailes plus courtes que la $\frac{1}{2}$ de la longueur des élytres.

TABLE DES GENRES.

1. 2^e article des antennes environ 5 fois plus long que large, 4 fois plus long que le vertex *Muiria* KIRKALDY, p. 114.
- 2^e article des antennes environ 3 fois plus long que large, à peine 3 fois plus long que le vertex *Sikaiana* DISTANT, p. 112.

1. — Genre SIKAIANA DISTANT.

DISTANT, W. L., 1907, Ann. Mag. Nat. Hist. (7), 19, p. 398.

Front lamellaire; vu de profil, il est peu saillant. Vertex triangulaire, à bords relevés, légèrement saillant au-devant des yeux. Pas de processus sous-antennaires. Antennes développées, avec 1^{er} article court et large, 2^e article aplati, environ 3 fois plus long que le vertex. Elytres un peu plus de 3 fois plus longs que larges, à clavus ouvert; bifurcation *Sc + R* loin après le milieu et, de ce fait, cellule sous-costale très étroite et très courte; bifurcation de *Cu* vers le $\frac{1}{3}$ basal de l'élytre; *Cu2* rejoignant la prolongation de la suture clavale au-delà de l'apex du clavus. Longueur des ailes égale au $\frac{1}{3}$ de la longueur des élytres.

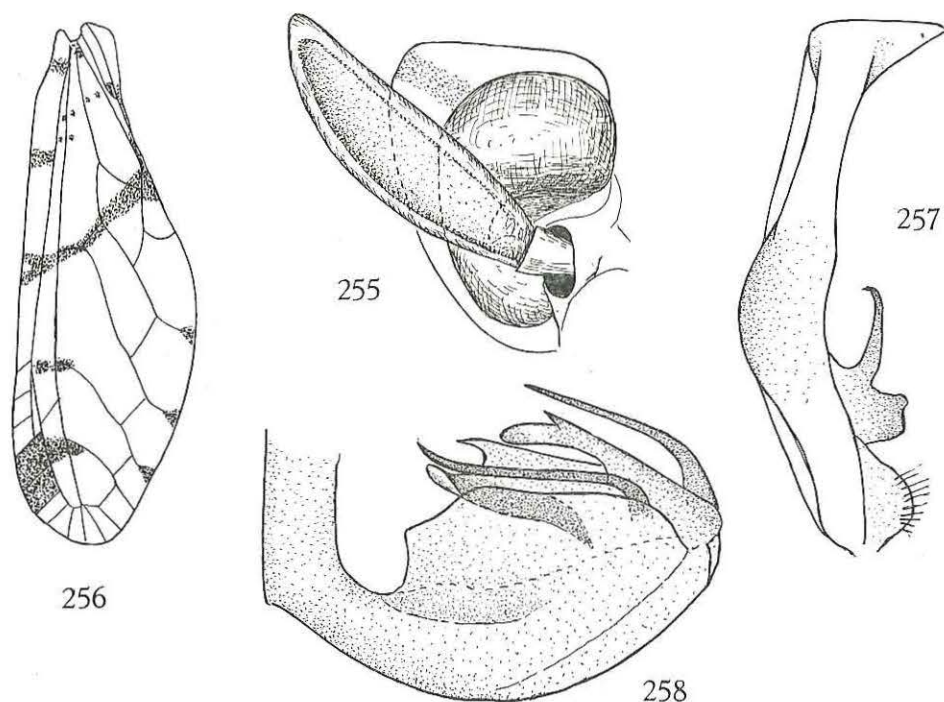
E s p è c e - t y p e : *Sikaiana hyalinata* DISTANT (Queensland).

***Sikaiana africana* MUIR.**

(Fig. 255-258.)

MUIR, F., 1926, Ann. Mag. Nat. Hist. (9), 18, p. 240.

Front absolument lamellaire; les 2 bords étroitement accolés sur toute leur longueur semblant ne former qu'un. Vu de profil, il dépasse très peu le bord antérieur des yeux, sauf à l'endroit où il forme un angle droit avec le vertex (fig. 255); ocre, avec bande transversale rouge peu après sa jonction avec le vertex. Clypéus volumineux, convexe. Antennes longues; 1^{er} article court, plus large que long; 2^e article environ 6 fois plus long que le 1^{er}, environ 3 fois plus

FIG. 255-258. — *Sikaiana africana* MUIR.

255 : Tête, vue de profil; 256 : Elytre; 257 : Paramère; 258 : Edéage, vue latéro-ventrale gauche.

long que large, se terminant en angle arrondi (fig. 255). Pas de processus sous-antennaires. Vertex triangulaire, à bords latéraux et postérieur fortement relevés et, de ce fait, disque fortement creusé; les bords sont minces, non épaissis et les latéraux se rejoignent vers l'avant pour se prolonger par le front; bord postérieur profondément concave. Pronotum blanc jaunâtre, très court, dépassant le bord antérieur des yeux d'environ $\frac{1}{3}$ de sa longueur, à bord postérieur largement échancré, avec forte carène médiane; 1 tache brune contre le bord externe des plaques pectorales. Scutellum ocre, plus ou moins recouvert d'une pruinosité blanchâtre; l'angle postérieur est tronqué et forme bourrelet. Elytres près de 3 fois plus longs que larges; bifurcation *Sc+R* loin après le milieu de l'élytre, *M* formant un très court tronc commun avec *Sc+R* et se poursuivant parallèlement à cette dernière jusqu'à l'apex; bifurcation de *Cu*, vers le $\frac{1}{3}$ basal de l'élytre, *Cu2* rejoignant la prolongation de la suture clavale qui rejoint les nervures transversales au-delà de l'apex du clavus; *M* avec 3 secteurs simples; blanchâtres, avec marques brunes dont une étroite bande transversale débutant sous l'apex du clavus et atteignant le bord costal vers le milieu; 1 petite tache à l'apex de chaque branche de la médiane et de *Cu1*; quelques très petites taches entre *Cl1Cl2* et le bord costal, 1 grande tache noire sur l'angle apical; quelques

tronçons rouges le long de la Costa et du bord sutural, à hauteur des marques brunes (fig. 256). Pattes ocre. Abdomen avec marque rouge au bord externe de chaque segment. Genitalia ♂, voir figures 257 et 258.

Longueur totale : env. 6 mm.

Distribution. — Côte d'Or (Type); Sierra Leone.

2. — Genre **MUIRIA** KIRKALDY.

KIRKALDY, F., 1907, Bull. Haw. Sugar Plant. Assoc., div. ent. 3, p. 175.

Outre l'espèce-type du genre, *Muiria stridula* KIRKALDY, originaire de Vitti Levu, 2 espèces ont été placées dans ce genre par MUIR. Ce sont *M. iridescens* MUIR, et *M. pulchra* MUIR, respectivement décrites des Philippines et de Sierra Leone.

Ce genre ne diffère pratiquement du précédent que par le 2^e article des antennes qui est extrêmement long. Chez *Sikaiana*, il n'est pas tout à fait 3 fois plus long que le vertex tandis qu'il l'est 4 fois chez *Muiria*. La morphologie de la tête et du thorax ainsi que la nervulation des élytres sont semblables à celles de *Sikaiana*. Les genitalia ♂ sont d'un type très différent comme le montrent les figures 257, 258, 262 et 263.

Front strictement lamellaire, à bords latéraux étroitement accolés sur toute leur longueur. Vu de profil, il est légèrement convexe, peu saillant au-devant des yeux et forme un angle droit avec le vertex. Les yeux, très développés, atteignent la base du clypéus. Vertex triangulaire, à bords relevés, non épaissis, sauf le postérieur. Antennes très longues et larges; le 1^{er} article petit et court, le 2^e environ 4 fois plus long que le vertex, fortement élargi, à peu près 5 fois plus long que large à sa largeur maximale, avec arista partant loin de l'apex, à l'endroit où le bord supérieur rentre brusquement, formant une encoche. Nervulation des élytres du même type que chez *Sikaiana*.

Espèce-type: *Muiria stridula* KIRKALDY.

Muiria pulchra MUIR.

(Fig. 259-263.)

MUIR, F., 1928, Ann. Mag. Nat. Hist. (10), I, p. 524, fig. 37, 37 a, 38, 38 a.

Front, vu de profil, très étroit, formant une bande de largeur constante au-devant des yeux (fig. 259). Antennes, clypéus, front, rostre, brunâtres. Elytres hyalins, blanchâtres, avec marques brunes réparties comme suit : 2 grosses taches médianes, rondes, de part et d'autre de la 2^e branche de *M*; 1 tache à l'apex du clavus, 1 grande tache contre le bord de l'angle apical; 2 petites près de la base, dont 1 entre *Sc+R* et *M* et l'autre sur *Cu*, peu avant la bifurcation; 1 tache peu

marquée à l'apex des nervures médiane et cubitale; de petits tronçons rouges le long des bords costal et sutural (fig. 260). Ailes atteignant à peine la moitié de l'élytre (fig. 261). Genitalia ♂, voir figures 262 et 263.

Longueur totale: env. 6 mm.

Distribution. — Sierra Leone, Togo

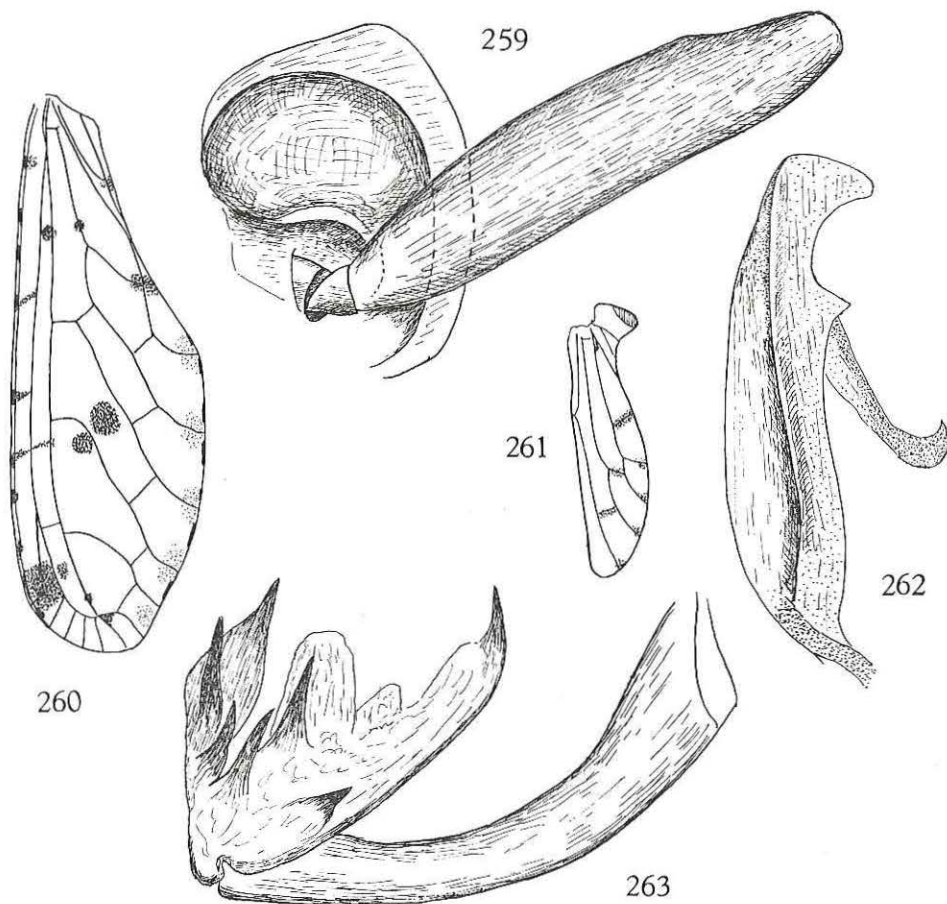


FIG. 259-263. — *Muiria pulchra* MUIR.

259: Tête, vue de profil; 260: Elytre; 261: Aile; 262: Paramère; 263: Edéage, vue latéro-ventrale droite.

Tribu CENCHREINI

Les *Cenchreini* sont parmi les moins spécialisés des *Derbidae* et également parmi ceux qui présentent la plus grande diversité de formes.

Les élytres peuvent être, soit allongés, à partie distale relativement longue (*Phenice*, *Paraphenice*) ou courte (*Patara*) par rapport à la proximale, soit assez larges par rapport à leur longueur (*Malenia*).

Le vertex peut être triangulaire, étroit (*Phenice*, *Paraphenice*, *Patara*) ou bien quadrangulaire, transverse, plus ou moins trapézoïdal (*Malenia*).

Certains genres présentent des processus sous-antennaires normalement développés (*Malenia*, *Paraphenice*), tandis que chez d'autres (*Patara*, *Phenice*) ils sont très petits et même absents. Le 2^e article des antennes peut être, soit très développé (*Phenice*, *Patara*, *Paraphenice*), soit très court (*Malenia*).

Les caractères principaux définissant la tribu sont les suivants :

Front assez allongé, à bords latéraux carénés et relevés, avec ou sans carène médiane longitudinale. Dans certains cas (*Phenice*, *Paraphenice*, *Patara*), il peut être fortement comprimé et même linéaire, à bords latéraux étroitement accolés.

Elytres à clavus fermé, atteignant au moins la moitié de l'élytre, le tronç commun des nervures clavales rejoignant le bord sutural ou la suture avant l'apex du clavus, *M* et *Cu* ne présentant pas plus de 8 branches atteignant le bord de l'élytre, *Cu* avec 2 branches pouvant toutes deux atteindre directement le bord de l'élytre (*Malenia*) ou bien dont l'externe rejoint le bord de l'élytre tandis que l'interne rejoint la ligne de transversales en formant un angle droit avec cette dernière (*Phenice*, *Paraphenice*) ou bien enfin, dont l'externe rejoint la série de transversales, peu avant l'apex, et dont l'interne rejoint le bord sutural (*Patara*).

TABLE DES GENRES.

1. Vertex transverse, trapézoïdal, à bords carénés mais non fortement relevés. Front allongé, à bords latéraux relevés, concaves entre la base et les processus sous-antennaires, ensuite droits et convergents vers le clypéus; carène médiane présente ou non. Processus sous-antennaires développés vers l'arrière, reliés aux bords latéraux du front par une carène qui dans certains cas semble être leur prolongation vers l'avant ... *Malenia* HAUPT, p. 117.
- Vertex triangulaire, à bords latéraux carénés et relevés. Front très long et étroit, à bords latéraux, très rapprochés, pouvant même être étroitement accolés. Processus sous-antennaires présents ou non 2

2. Partie distale des élytres, comprise entre l'apex du clavus et le bord apical, plus courte que la $\frac{1}{2}$ de la longueur totale. 2^e article des antennes fortement développé, souvent aplati. Processus sous-antennaires petits ou absents. Front linéaire, à bords latéraux étroitement accolés jusque peu avant l'apex.
Patara WESTWOOD, p. 148.
- Partie distale des élytres longue, dépassant la $\frac{1}{2}$ de la longueur totale ... 3
3. Processus sous-antennaires présents 4
- Processus sous-antennaires soit absents, soit très fortement réduits
Phenice WESTWOOD, p. 175.
4. Front à bords latéraux non accolés. Sur les élytres, cellule sous-costale très longue, débutant vers le $\frac{1}{4}$ basal; bifurcation des nervures clavales vers le milieu du clavus *Paraphenice* MUIR, p. 160.
- Front à bords latéraux accolés sur à peu près leur $\frac{1}{3}$ supérieur. Sur les élytres, cellule sous-costale plus courte, débutant après le $\frac{1}{3}$ basal; bifurcation des nervures clavales loin après le milieu du clavus
Amania gen. n., p. 159.

1. — Genre **MALENIA** HAUPT.

HAUPT, H., 1924, Mém. Soc. Ent. Ital., 3, p. 233.

Front et clypéus à peu près d'égale longueur. Front allongé, à bords latéraux carénés et relevés, avec ou sans carène médiane mais généralement sans (elle est présente chez *pondolandensis*, *eshowensis*, *lactea* et *dardanus*); la base est droite ou légèrement convexe, les bords latéraux sont plus ou moins concaves entre la base et le niveau des antennes, ensuite droits ou légèrement convexes et convergents vers le clypéus; la jonction entre les deux parties peut être soit convexe, soit anguleusement saillante. Vertex transverse, plus ou moins trapézoïdal, à bords postérieur et antérieur droits ou légèrement concaves. Antennes courtes, 2^e article environ 2 fois plus long que large. Processus sous-antennaires développés vers l'arrière à partir de la base de l'antenne, reliés au bord latéral du front par une carène qui très souvent semble les prolonger et leur être soudée. Pronotum lisse ou caréné au milieu; les carènes latérales, entre l'œil et la tegula, sont fortement relevées; bord inférieur des plaques pectorales plus ou moins fortement relevés. Scutellum tricaréné. Elytres de 2,5 à 3 fois plus longs que larges; clavus fermé, dépassant le milieu de l'élytre; *Sc*, *R* et *M* formant un tronc commun; *Sc* bifurquée après le stigma (sauf *lactea* MÉLICHAR); bifurcation *Sc+R* bien avant le milieu de l'élytre; *Cu* bifurquée au même niveau ou peu après *Sc+R*; 1^{er} secteur de *M* vers le milieu de l'élytre, bifurqué; bifurcation *C11C12* au milieu ou après le milieu du clavus, le tronc commun rejoignant le bord sutural avant l'apex.

Espèce-type: *Malenia bosnica* HORVÁTH.

Dans un travail consacré aux Homoptères Fulgoroïdes du Parc National de Niokolo-Koba (Mém. I.F.A.N., 1961, n° 62, fasc. II, p. 314), FENNAH transfère dans le genre *Malenia* toutes les espèces jusqu'alors décrites dans *Cedusa*.

En effet, chez ces dernières, la nervure sous-costale (*Sc*) de l'élytre est bifurquée après le stigma; elles présentent, en outre, une carène transversale oblique en travers de la joue, entre le bord du front et le processus sous-antennaire avec lequel elle est fréquemment confluyente (chez *Cedusa* cette carène est tout à fait distincte du processus et aussi longue que la largeur basale de ce dernier). Le genre *Eocenchrea*, voisin des précédents, en diffère principalement par le fait que le processus sous-antennaire part du bord latéral du front et non de la base de l'antenne (voir fig. 338).

Le matériel examiné consiste, outre les séries typiques des espèces précédemment décrites, en un grand nombre d'exemplaires provenant du Congo (Léo) et plus spécialement des Parcs Nationaux (Albert et de la Garamba).

Les 11 espèces décrites à ce jour présentent des caractères morphologiques et chromatiques qui permettent de les distinguer assez aisément (coloration générale ocre pâle ou brun plus ou moins foncé, présence ou non d'une carène médiane sur le front, dimensions relatives de ce dernier, etc.).

Par contre, il n'en est pas de même pour les différentes formes reconnues dans le matériel étudié, qui toutes sont nouvelles et ne présentent pas de caractères morphologiques stables permettant une caractérisation spécifique valable.

Les dimensions relatives du front (rapports longueur/largeur maximale, longueur/largeur basale, largeur basale/largeur maximale) sont assez variables et interférentes, les différences de nervulation des élytres sont mineures et également assez variables. Seuls les genitalia ♂, et plus spécialement l'édéage, permettent de les séparer.

Nous avons longuement hésité avant de décrire ces quelque 16 espèces nouvelles qu'à première vue rien ne permet de séparer et qui, de plus, ont pour la plupart été récoltées sur une aire restreinte.

L'étude des genitalia ♂ a montré qu'un même type de tube anal et de paramères peut être commun à plusieurs espèces mais que, par contre, l'édéage est toujours très nettement différent pour chacune d'entre elles. En outre, comme dans la plupart des cas un nombre plus ou moins important d'exemplaires présente le même édéage, l'hypothèse de la variabilité ne peut être retenue et nous devons conclure à l'existence de formes, très voisines peut-être, mais néanmoins distinctes. Nous n'avons, par contre, pu trouver des caractères valables pour les ♀ ♀ qui ne peuvent, provisoirement du moins, être rattachées avec certitude à l'une ou l'autre des espèces décrites.

1. — **Malenia fusca** (MUIR).

(Fig. 264-267.)

MUIR, F., 1928, Ann. Mag. Nat. Hist. (10), I, p. 500, fig. 3 *Cedusa*.

Front et clypéus bruns, à bords jaunes. Front sans carène médiane, moins de 2 fois plus long que large (45 : 27); bords latéraux subparallèles, fortement concaves depuis la base jusqu'au niveau des processus sous-antennaires, ensuite droits et brusquement convergents vers le clypéus. Clypéus tricaréné, à peu près de même longueur que le front. Processus sous-antennaires développés vers l'arrière à partir du milieu de la partie comprise entre le bord du front et la base de l'antenne; une carène oblique les relie aux bords du front (fig. 264). Vertex brun, à bords largement jaunâtres, de forme trapézoïdale, plus de 2 fois plus large à la base que long au milieu (23 : 10); base beaucoup plus large que l'apex (23 : 17). Pronotum avec 3 carènes nettes sur le disque; la carène entre l'œil et la tegula est fortement relevée; le bord inférieur des plaques pectorales est également relevé mais moins fortement; brun, à bords et carènes jaunâtres. Elytres bruns, à nervures plus foncées; bifurcation $Sc + R$ nettement avant la réunion des nervures clavales, vers le $\frac{1}{4}$ basal de l'élytre, M partant de la base de $Sc + R$ peu après la cellule basale et bifurquée peu après le milieu; bifurcation de Cu après le milieu du clavus, loin après $Sc + R$; réunion des nervures clavales peu après le milieu du clavus (voir fig. 265). Genitalia ♂, voir figures 266 et 267.

Distribution. — Afrique du Sud (Pondoland, Zululand).

Description d'après la série typique du British Museum.

2. — **Malenia natalensis** (MUIR).

(Fig. 268-270.)

MUIR, F., 1926, Ann. Mag. Nat. Hist. (9), 18, p. 227, fig. 1 *Cedusa*.

Front ocre orangé, environ $1\frac{1}{2}$ fois plus long que large (longueur : 40/largeur : 29), à bords latéraux carénés, légèrement relevés, légèrement concaves depuis la base jusqu'au niveau des processus sous-antennaires, ensuite convexes vers le clypéus; pas de carène médiane (fig. 268). Clypéus ocre orangé, à bords latéraux carénés, avec carène médiane nette. Processus sous-antennaires blanchâtres, nettement plus longs que larges, à bord externe convexe dépassant très nettement le bord de l'œil; ils sont reliés aux bords latéraux du front par une carène sinueuse (fig. 269). Vertex trapézoïdal, jaunâtre, à bord antérieur droit et bord postérieur légèrement concave, environ 2 fois plus large entre les angles postérieurs que long au milieu. Pronotum blanchâtre, à carènes latérales fortement relevées et foliacées sur les épaules. Scutellum brun pâle. Elytres hyalins, légèrement jaunâtres, à nervures plus pâles; bifurcation $Sc + R$ peu après celle de $Sc + R + M$, sur le $\frac{1}{4}$ basal de l'élytre; bifurcation de M peu après le milieu

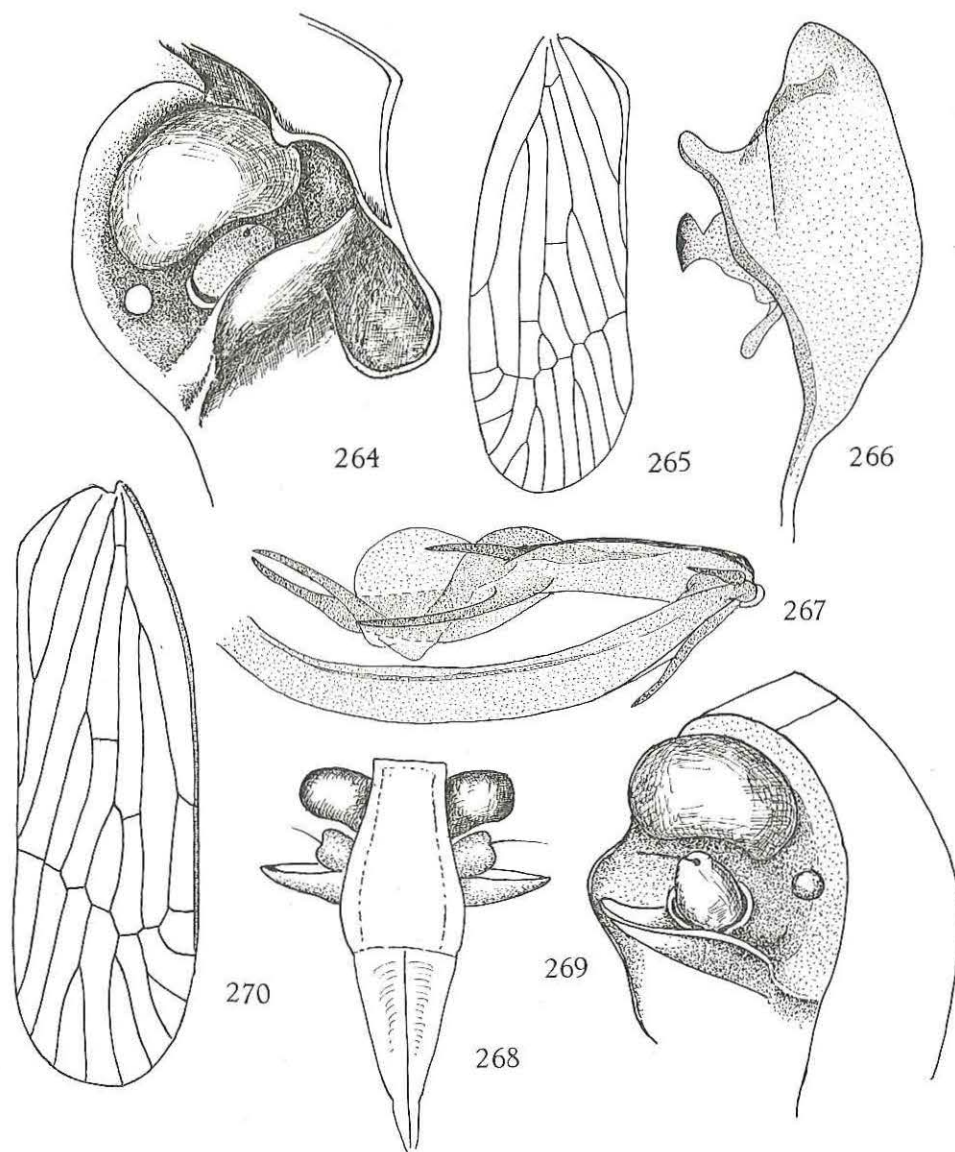


FIG. 264-267. — *Malenia fusca* (MUIR).

264 : Tête, vue de profil; 265 : Elytre; 266 : Paramère; 267 : Edéage, vue latéro-ventrale gauche.

FIG. 268-270. — *Malenia natalensis* (MUIR).

268 : Tête, vue de face; 269 : Tête, vue de profil; 270 : Elytre.

de l'élytre, celle de *Cu* peu après le milieu de la suture clavale et loin après celle de *Sc+R* (fig. 270). Pattes ocre, tarsi antérieurs et médians, de même que le dernier article des tarsi postérieurs, bruns. Abdomen brun foncé. Genitalia ♀ ocre; bord postérieur de la plaque subgénitale anguleusement saillante au milieu.

Longueur totale: env. 4,5 mm.

Distribution. — Afrique du Sud: Natal.

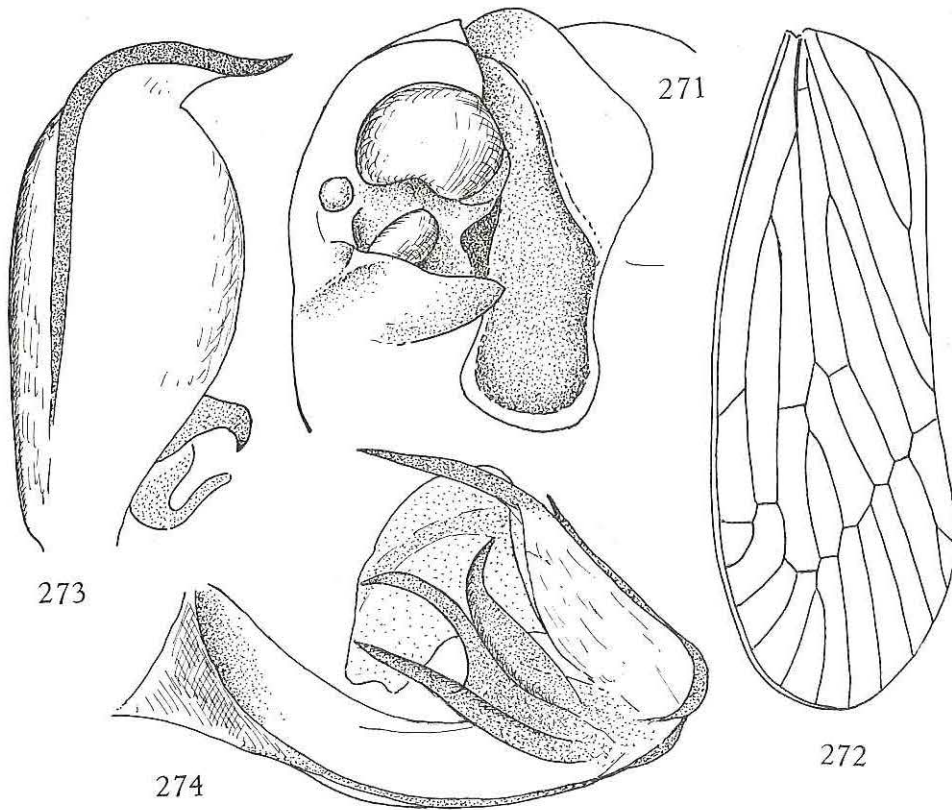


FIG. 271-274. — *Malenia pondolandensis* MUIR.

271: Tête, vue de profil; 272: Elytre; 273: Paramère; 274: Edéage, vue latéro-ventrale gauche.

3. — *Malenia pondolandensis* (MUIR).

(Fig. 271-274.)

MUIR, F., 1928, Ann. Mag. Nat. Hist. (10), I, p. 501, fig. 5 *Cedusa*.

Front brun clair, à bords et carène jaunâtres; environ 1 1/2 fois plus long que large à sa largeur maximale, avec carène longitudinale nette sur les 2/3 supérieurs; bords latéraux concaves jusqu'au niveau des processus sous-antennaires, ensuite

droits et convergents vers le clypéus. Clypéus jaunâtre, à bords carénés, avec carène médiane nette. Processus sous-antennaires, blanchâtres, développés vers l'arrière à partir de la base de l'antenne, reliés au bord latéral du front par une courte carène oblique (fig. 271). Vertex jaunâtre, trapézoïdal, environ $2\frac{1}{2}$ fois plus large à la base, que long au milieu. Pronotum blanc jaunâtre, avec carène médiane nette; plaques pectorales brunes; carènes latérales et bord inférieur des plaques pectorales légèrement relevés, blanchâtres. Scutellum brun, tricaréné. Elytres hyalins, blanc sale, à nervures concolores; bifurcation *Sc+R* vers le $\frac{1}{3}$ basal de l'élytre, au niveau de la réunion des nervures clavales et peu après celle de *Cu*; *M* bifurquée vers le milieu de l'élytre (fig. 272); *Cu* bifurquée loin avant le milieu de l'élytre (vers le $\frac{1}{4}$ basal); réunion des nervures clavales après le milieu du clavus. Pattes jaunâtres. Abdomen brun. Genitalia ♂, voir figures 273 et 274.

Longueur totale : env. 4,5 mm.

Distribution. — Afrique du Sud (Pondoland).

4. — *Malenia eshowensis* (MUIR).

(Fig. 275-281.)

MUIR, F., 1928, Ann. Mag. Nat. Hist. (10), I, p. 501, fig. 4 a-b *Cedusa*.

Front ocre, 2 fois plus long que large entre les angles latéraux; bords latéraux fortement relevés, légèrement concaves et divergents depuis la base jusqu'au niveau des processus sous-antennaires, ensuite droits et convergents vers le clypéus formant de ce fait, des angles latéraux légèrement saillants; bord supérieur (base) anguleusement convexe; carène médiane nette (fig. 275). Clypéus long et étroit, avec carène médiane nette et bords latéraux carénés. Processus sous-antennaires développés vers l'arrière, débutant entre la base de l'antenne et le bord latéral du front, reliés à ce dernier par une carène oblique (fig. 276). Pronotum blanchâtre, court, avec carène médiane nette, à bord postérieur très profondément échancré; plaques pectorales à bord externe caréné et bord inférieur relevé; carènes latérales saillantes entre l'œil et la tegula. Vertex ocre, plus de 2 fois plus large entre les yeux que long au milieu, à bords antérieur et postérieur concaves, et bords latéraux légèrement concaves et divergents vers l'arrière; disque plan, sans carène médiane (fig. 277). Scutellum brun marron, tricaréné, fortement convexe vers l'avant, déprimé avant l'angle postérieur. Elytres ocre, à nervures légèrement plus foncées; bifurcation *Sc+R* sur le $\frac{1}{4}$ basal; bifurcation *CU1C2* après le milieu du clavus; *M* partant du tronc commun *Sc+R* immédiatement après la cellule basale et bifurquée peu après le milieu de l'élytre; bifurcation *Sc+R* vers le $\frac{1}{4}$ basal de l'élytre et peu avant celle de *Cu*; cette dernière bifurquée peu avant le milieu du clavus (fig. 278). Pattes ocre, légèrement brunâtres; tibias postérieurs non armés. Genitalia ♂, voir figures 279-281.

Longueur totale : env. 5 mm.

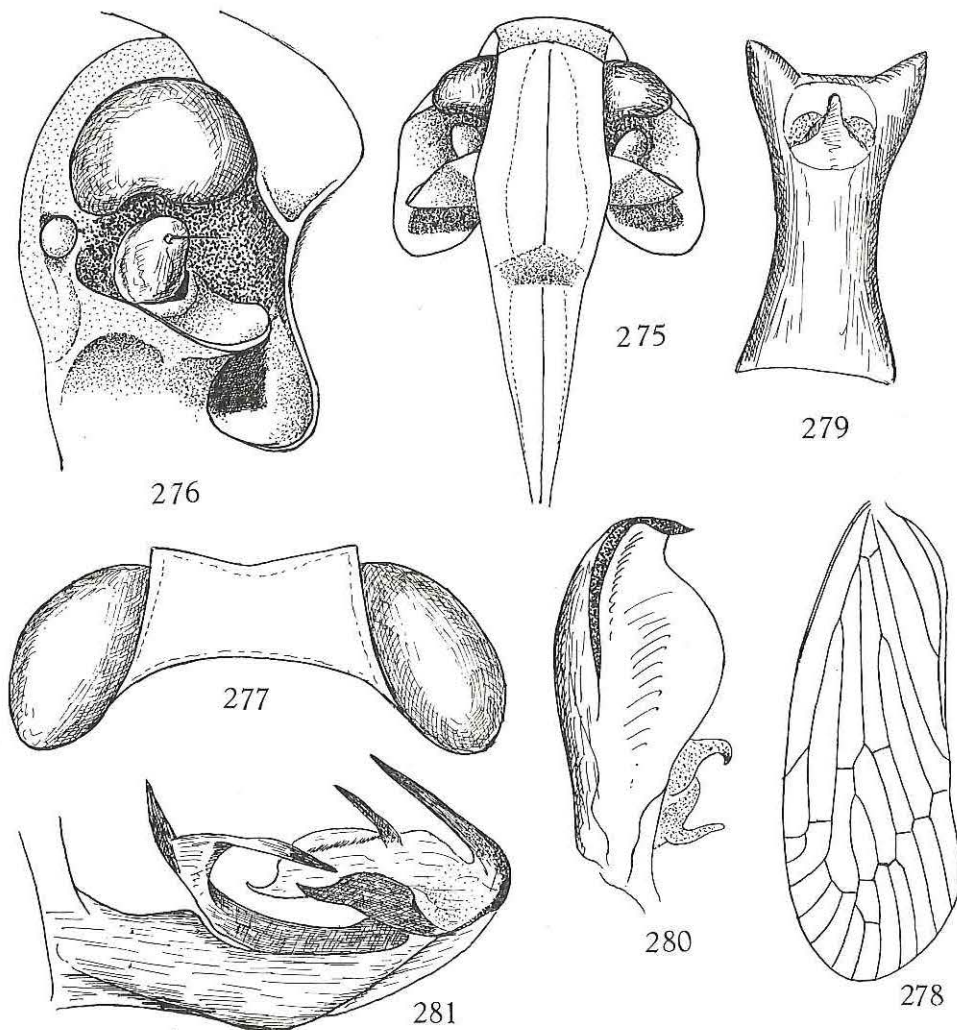


FIG. 275-281. — *Malenia eshowensis* (Muir).

275 : Tête, vue de face; 276 : Tête, vue de profil; 277 : Tête, vue de dessus; 278 : Elytre;
279 : Tube anal, vue dorsale; 280 : Paramère; 281 : Edéage, vue latéro-ventrale gauche.

Distribution. — Afrique du Sud.

Chez la ♀, le $\frac{1}{3}$ médian du bord postérieur de la plaque subgénitale est tronqué, les $\frac{2}{3}$ latéraux sont obliques.

5. — **Malenia nigripes** (MUIR).

(Fig. 282-287.)

MUIR, F., 1930, Ann. Mag. Nat. Hist. (10), 5, p. 81, fig. 1 *Cedusa*.

Nous avons eu en communication un Paratype ♂ de l'espèce ainsi que 2 exemplaires étiquetés « Holotypus ». Dans ce dernier cas, il s'agit manifestement d'une erreur d'étiquetage qui peut facilement être rectifiée du fait que, d'après la description originale, le type est ♂ et que d'autre part, un de ces 2 exemplaires est une ♀. L'Holotype est malheureusement fort mutilé. Il n'en reste pratiquement que la tête et le thorax. Les genitalia ♂, de même que l'élytre ont été figurés d'après le paratype ♂; la tête vue de profil et de face, d'après l'Holotype.

Front environ $2\frac{1}{2}$ fois plus long que large, à bords latéraux fortement relevés, d'abord concaves jusqu'au niveau des processus sous-antennaires, ensuite convexes vers le clypéus, ne formant pas d'angle saillant sous les antennes; pas de carène médiane; brun foncé, à bords jaunâtres (fig. 282). Clypéus ocre, à bords latéraux carénés, avec carène médiane. Rostre ocre, sauf le dernier article, très court, qui est brun-noir. Processus sous-antennaires développés vers l'arrière à partir de la base des antennes, réunis par une courte carène aux bords latéraux du front; carènes latérales du pronotum saillantes et relevées (fig. 283). Vertex ocre, trapézoïdal, à bord antérieur formant un compartiment transversal avec la carène arquée située sur la base du front; un peu moins de 2 fois plus large à la base que long au milieu (25 : 15); largeur basale supérieure à l'apicale dans le rapport de 25 à 20; disque légèrement déprimé. Pronotum ocre, avec carène médiane nette. Scutellum brunâtre, avec une seule carène médiane nette. Elytres légèrement brunâtres, à nervures plus foncées; bifurcation *Sc+R* peu après le $\frac{1}{4}$ basal, *M* partant de la base de *Sc+R* peu après la cellule basale et bifurquée au milieu de l'élytre; bifurcation de *Cu* peu avant l'apex du clavus, à peu près au même niveau que *Sc+R*; nervures clavales réunies au milieu du clavus (fig. 284). Pattes antérieures brun foncé; fémurs médians et postérieurs ainsi que les 2 premiers articles des tarsi postérieurs, jaunâtres, le reste brun. Bord postérieur de la plaque subgénitale de la ♀ formant une saillie médiane arrondie (voir fig. 287). Genitalia ♂, voir figures 285 et 286.

Longueur: env. 4 mm.

Distribution. — Sierra Leone.

6. — **Malenia pitho** (FENNAH).

(Fig. 288-291.)

FENNAH, R. G., 1957, Bull. I.F.A.N., t. XIX, A4, p. 1287, fig. f-j *Cedusa*.

Vertex trapézoïdal, environ 2 fois plus large à la base, que long au milieu; bord antérieur droit, bord postérieur très faiblement concave. Front brun foncé, à bords ocre; bords latéraux subparallèles, concaves entre la base et les processus

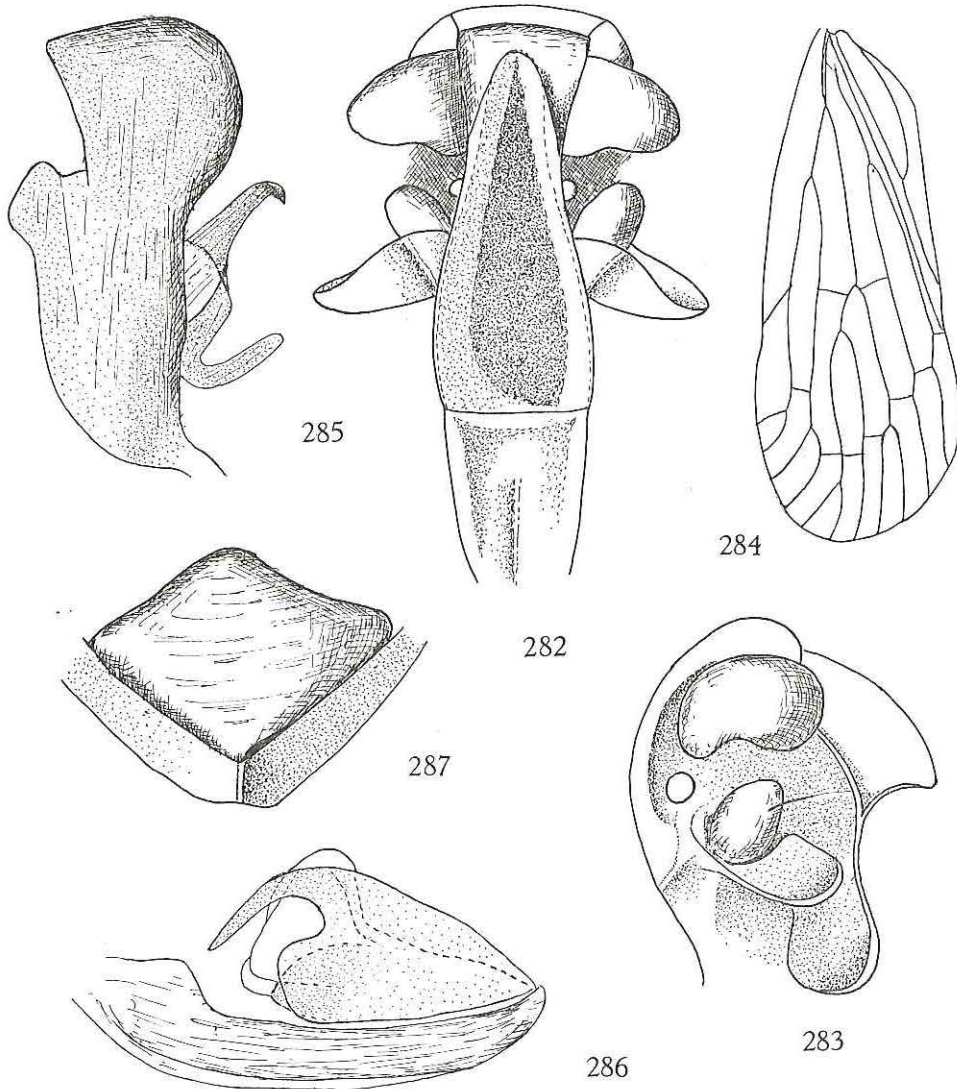


FIG. 282-287. — *Malenia nigripes* (MUIR).

282 : Tête, vue de face; 283 : Tête, vue de profil; 284 : Elytre; 285 : Paramère; 286 : Edéage, vue latéro-ventrale gauche; 287 : Plaque subgénitale de la ♀.

sous-antennaires, ensuite droits et légèrement convergents vers l'apex; largeur à la base, très légèrement supérieure à la largeur apicale (23 : 20); fortement relevés en leur partie concave, ils le sont nettement moins sur leur partie droite. Contrairement à chez *bendis*, il n'y a pas de forte dilatation au niveau des processus sous-antennaires et la largeur à cet endroit est à peu près la même qu'à la base; pas de carène longitudinale médiane (fig. 288). Les processus sous-antennaires, de même que chez *bendis*, partent de la base de l'antenne et sont reliés au front par une forte carène oblique (fig. 289). Pronotum ocre pâle, tricaréné, à bord postérieur profondément et anguleusement échancré; une carène saillante entre l'œil et la tegula; plaques pectorales à bord inférieur très légèrement relevé, non

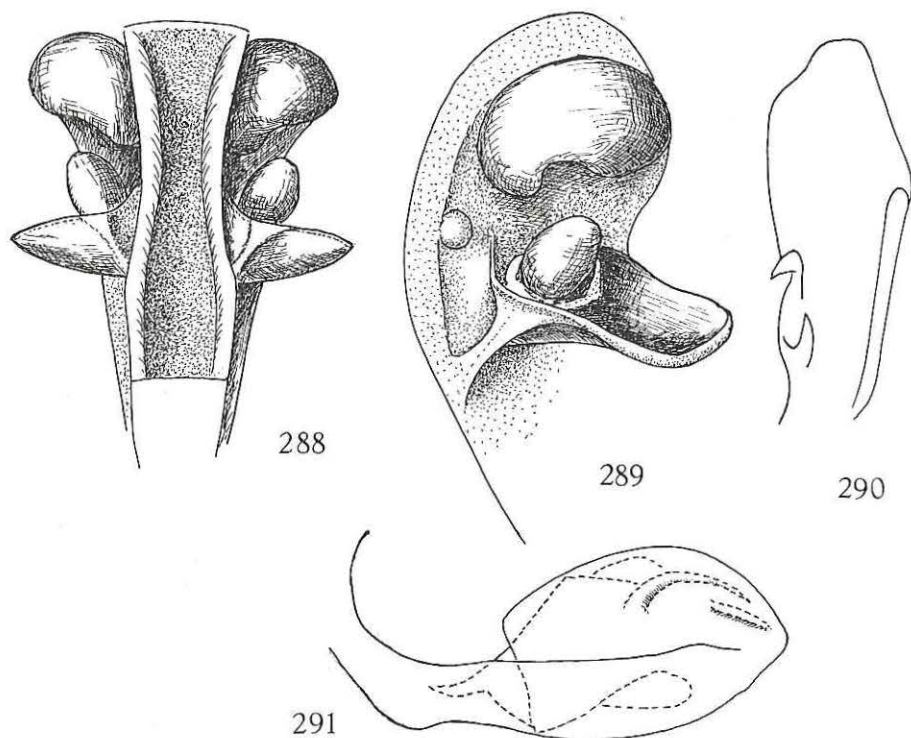


FIG. 288-291. — *Malenia pitho* (FENNAH).

288 : Tête, vue de face; 289 : Tête, vue de profil; 290 : Paramère (sec. FENNAH); 291 : Edéage, vue latéro-ventrale gauche (sec. FENNAH).

foliacées. Scutellum brun foncé. Elytres bruns, à nervures concolores; bifurcation *Sc + R* avant la réunion des nervures clavales qui se fait après le milieu du clavus; *Sc* bifurquée après le stigma, peu avant l'apex de l'élytre; *M* avec 1^{er} secteur bifurqué (sa branche externe également bifurquée peu avant l'apex), 2^e secteur

simple; *Cu* bifurquée peu après *Sc+R*, les 2 branches simples jusqu'à l'apex. Genitalia ♂ (sec. FENNAH): voir figures 290 et 291.

Longueur totale: env. 4,5 mm.

Distribution. — Cameroun.

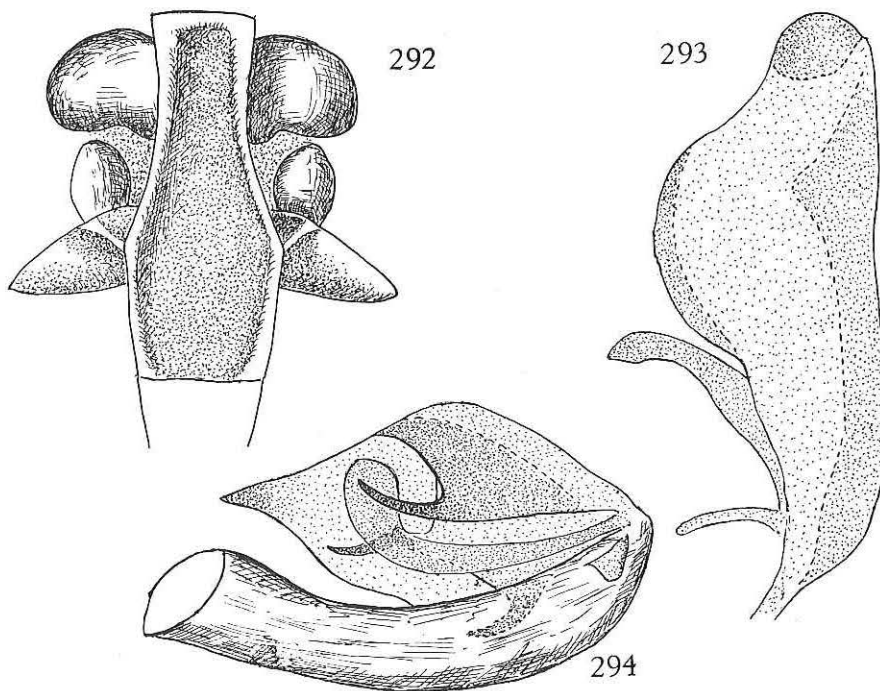
La description qui précède de même que les figures (sauf genitalia) ont été effectuées d'après le type. Les genitalia ♂ manquent dans la préparation attachée au type et sont figurés d'après l'illustration originale.

7. — **Malenia bendis** (FENNAH).

(Fig. 292-294.)

FENNAH, R. G., 1957, Bull. I.F.A.N., t. XIX, A 4, p. 1286, fig. 6 a-e *Cedusa*.

Vertex trapézoïdal, environ 2 fois plus large à la base, que long au milieu; bord antérieur droit, bord postérieur très faiblement concave; disque brun, bords ocre. Front brun foncé, à bords ocre jaune; étroit sur la moitié basale, s'élargissant au niveau des processus sous-antennaires (largeur maximale: 23/largeur à la base: 15); les bords latéraux sont concaves et divergents, fortement relevés, depuis la base jusqu'au niveau des antennes, droits, convergents et plus faiblement



292: Tête, vue de face; 293: Paramère; 294: Edéage, vue latéro-ventrale gauche.

FIG. 292-294. — *Malenia bendis* (FENNAH).

relevés sur la partie apicale; pas de carène médiane (fig. 292). Clypéus brun, avec carène médiane nette, écourtée vers la base. Processus sous-antennaires allongés vers l'arrière, débutant à la base des antennes, reliés au front par une forte carène oblique. Pronotum ocre jaune, tricaréné, à bord postérieur largement et profondément concave; une carène saillante entre l'œil et la tegula; plaques pectorales à bord inférieur très légèrement relevé, non foliacé. Elytres jaune paille, à nervures concolores; bifurcation *Sc+R* avant la réunion des nervures clavales, cette dernière se faisant peu après le milieu du clavus; *Sc* bifurquée après le stigma, peu avant l'apex de l'élytre; *M* avec 1^{er} secteur bifurqué après le stigma (la branche externe bifurquée peu avant l'apex), 2^e secteur simple; *Cu* bifurquée peu après *Sc+R*, les 2 branches simples jusqu'à l'apex; nervures clavales réunies peu après le milieu du clavus. Genitalia ♂, voir figures 293 et 294.

Longueur totale: env. 4 mm.

Distribution. — Cameroun.

La description qui précède et les illustrations ont été faites d'après le type conservé au Zoologisk Museum de Copenhague.

8. — *Malenia aburiensis* (MUIR).

(Fig. 295-300.)

MUIR, F., 1918, Entom. Monthl. Mag., p. 236 *Herpis*.

MUIR, F., 1926, Ann. Mag. Nat. Hist. (9), 18, p. 228 *Cedusa*.

Front ocre, environ 2 fois plus long que large, bords latéraux relevés, divergents et concaves jusqu'au niveau des processus sous-antennaires, ensuite droits et légèrement convergents vers l'apex, formant des angles latéraux peu saillants et légèrement arrondis; disque concave, sans carène médiane. 2^e article des antennes court, environ aussi long que large. Vertex ocre, rectangulaire, plus large que long dans le rapport de 1,7 à 1, à bords carénés mais non relevés et, de ce fait, disque à peine déprimé; bords latéraux et postérieur légèrement concaves, bord antérieur droit; pas de carène médiane. Pronotum ocre, court, à bord postérieur profondément et anguleusement échancré, avec carène médiane nette; carènes latérales fortement relevées, foliacées. Processus sous-antennaires débutant à la base des antennes, reliés au bord latéral du front par une carène oblique (fig. 295). Scutellum ocre, tricaréné. Elytres blanc jaunâtre, à nervures concolores; bifurcation *Sc+R* peu après le $\frac{1}{4}$ basal, *M* partant du tronc commun *Sc+R* à peu de distance de la base, bifurquée vers le milieu; bifurcation de *Cu* après le milieu du clavus et après *Sc+R* au niveau de la réunion des nervures clavales, ces dernières réunies nettement après le milieu du clavus et leur tronc commun rejoignant le bord sutural peu avant l'apex (fig. 296). Pattes ocre, tarsi antérieurs et médians bruns; tibias postérieurs non armés. Genitalia ♂, voir figures 297-300.

Longueur totale: env. 4,5 mm.

Distribution. — Côte d'Or. (*nu palmiti*)

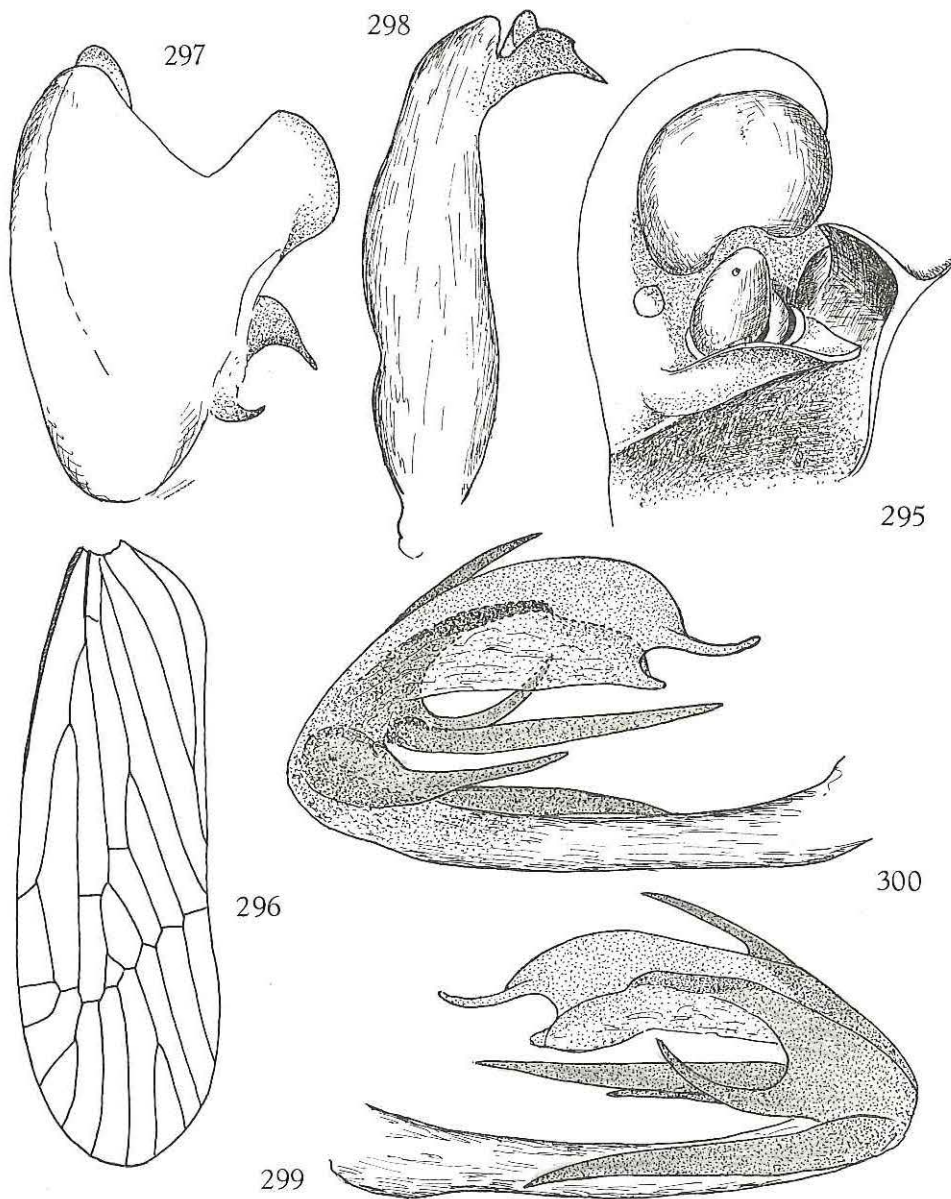


FIG. 295-300. — *Malenia aburiensis* (MUIR).

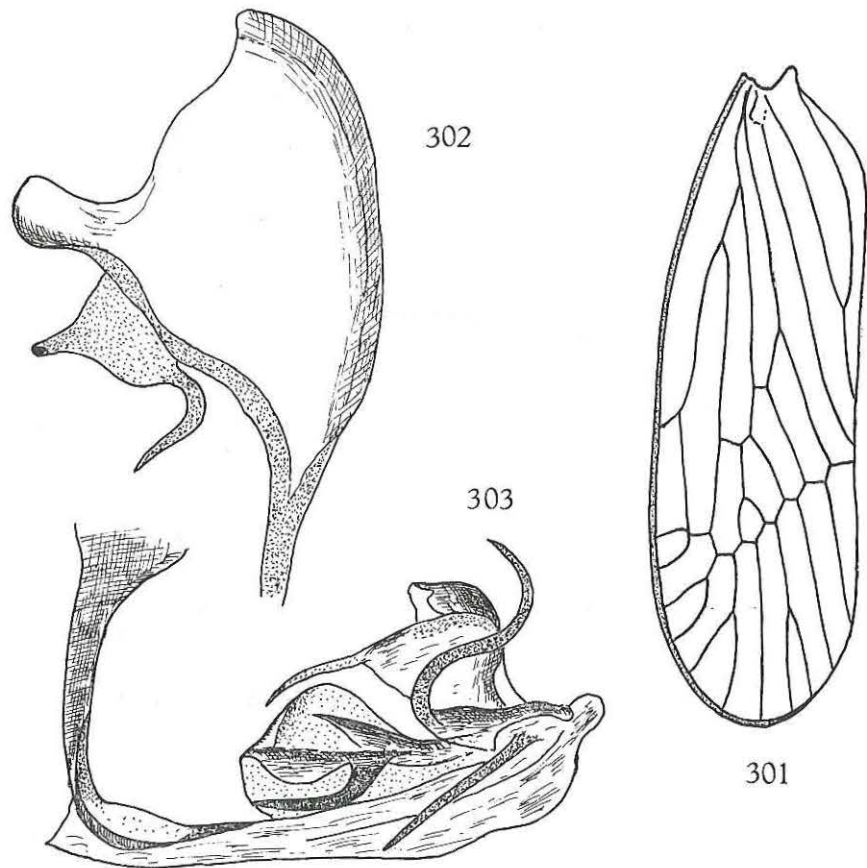
295 : Tête, vue de profil; 296 : Elytre; 297 : Paramère; 298 : Tube anal; 299 : Edéage, vue latéro-ventrale gauche; 300 : Edéage, vue latéro-ventrale droite.

9. — *Malenia medleri* SYNAVE.

(Fig. 301-303.)

SYNAVE, H., 1971, Bull. Inst. roy. Sci. nat. Belg., t. 47, fasc. 39, p. 12, fig. 22-24.

Front jaune orangé, de 1,4 à 1,6 fois plus long que large à sa largeur maximale et de 2,3 à 2,5 fois plus long que large à la base; largeur maximale de 1,5 à 1,7 fois supérieure à la largeur basale; bords latéraux carénés, relevés, divergents et légèrement concaves depuis la base jusqu'au niveau des processus sous-antennaires, ensuite droits et convergents vers le clypéus; pas de carène longitudinale. Clypéus jaune orangé, à bords latéraux carénés et carène médiane nette. Processus sous-antennaires reliés aux bords du front par une carène nette. Rostre jaune orangé sauf l'apex qui est noirâtre. Vertex jaune orangé, trapézoïdal,

FIG. 301-303. — *Malenia medleri* SYNAVE.

301 : Elytre; 302 : Paramère; 303 : Edéage, vue latéro-ventrale gauche.

à bords latéraux et postérieurs concaves; environ 2,6 fois plus large entre les angles postérieurs que long au milieu. Pronotum jaune orangé, très court, à bord postérieur très profondément concave. Scutellum jaune orangé, avec carène médiane nette. Elytres hyalins, jaunâtres, à nervures concolores; environ 3 fois plus longs que larges; nervures clavales réunies peu après le milieu du clavus, leur tronc commun rejoignant le bord sutural avant l'apex; bifurcation $Sc+R$ vers le $\frac{1}{4}$ basal de l'élytre; M partant du tronc commun $Sc+R$ entre le point de jonction de ces dernières et la base, bifurquée après le milieu; bifurcation de Cu avant le milieu de l'élytre, loin après celle de $Sc+R$ et très peu après la jonction des nervures clavales (fig. 301). Pattes ocre. Genitalia ♂ : voir figures 302 et 303.

Longueur totale : env. 4,5 mm.

Cette espèce, voisine d'*aburiensis* MUIR, s'en distingue principalement par le front et le vertex proportionnellement plus larges ainsi que par les genitalia ♂.

Distribution. — Nigeria (Type); Liberia.

Institut royal des Sciences naturelles de Belgique :

4 ex. : Nigeria, Ile-Ife, 1 Jul. 1970, Coll. J. T. MEDLER; idem, 15 Jul. 1970; 1 ex. : Liberia, Lenguatown nr. Kakata.

U. S. National Museum :

3 ex. : Liberia, Lenguatown, nr. Kakata.

10. — *Malenia saegeri* n. sp.

(Fig. 304-309.)

Front ocre orangé, à bords jaunâtres; de 1,4 à 1,5 fois plus long au milieu, que large à sa largeur maximale et de 2 à 2,5 fois plus long que large à la base; largeur maximale de 1,6 à 1,7 fois supérieure à la basale; bords latéraux carénés, relevés, concaves depuis la base jusqu'au niveau des processus sous-antennaires, ensuite légèrement convergents et plus ou moins convexes vers le clypéus; pas de carène longitudinale (fig. 304). Clypéus ocre orangé, à bords latéraux carénés, avec carène médiane nette. Processus sous-antennaires reliés aux bords latéraux du front par une carène oblique très nette. Rostre ocre, sauf le dernier article, très court, qui est noirâtre. Vertex ocre orangé, trapézoïdal, à bords latéraux légèrement concaves; environ 2 fois plus large, entre les angles postérieurs, que long au milieu (fig. 305). Pronotum jaunâtre, très court, à bord postérieur très profondément et anguleusement échancré; bords latéral et apical des plaques pectorales ainsi que les carènes latérales, assez fortement relevés, surtout les dernières. Scutellum ocre, orangé, avec carène médiane nette. Elytres blanc sale, parfois jaunâtres, environ $2\frac{1}{2}$ fois plus long que larges; nervures clavales réunies peu après le milieu du clavus, leur tronc commun rejoignant le bord sutural avant l'apex; bifurcation $Sc+R$ peu après la base de l'élytre, M partant du tronc commun $Sc+R$ entre le point de jonction de ces dernières et la base de l'élytre,

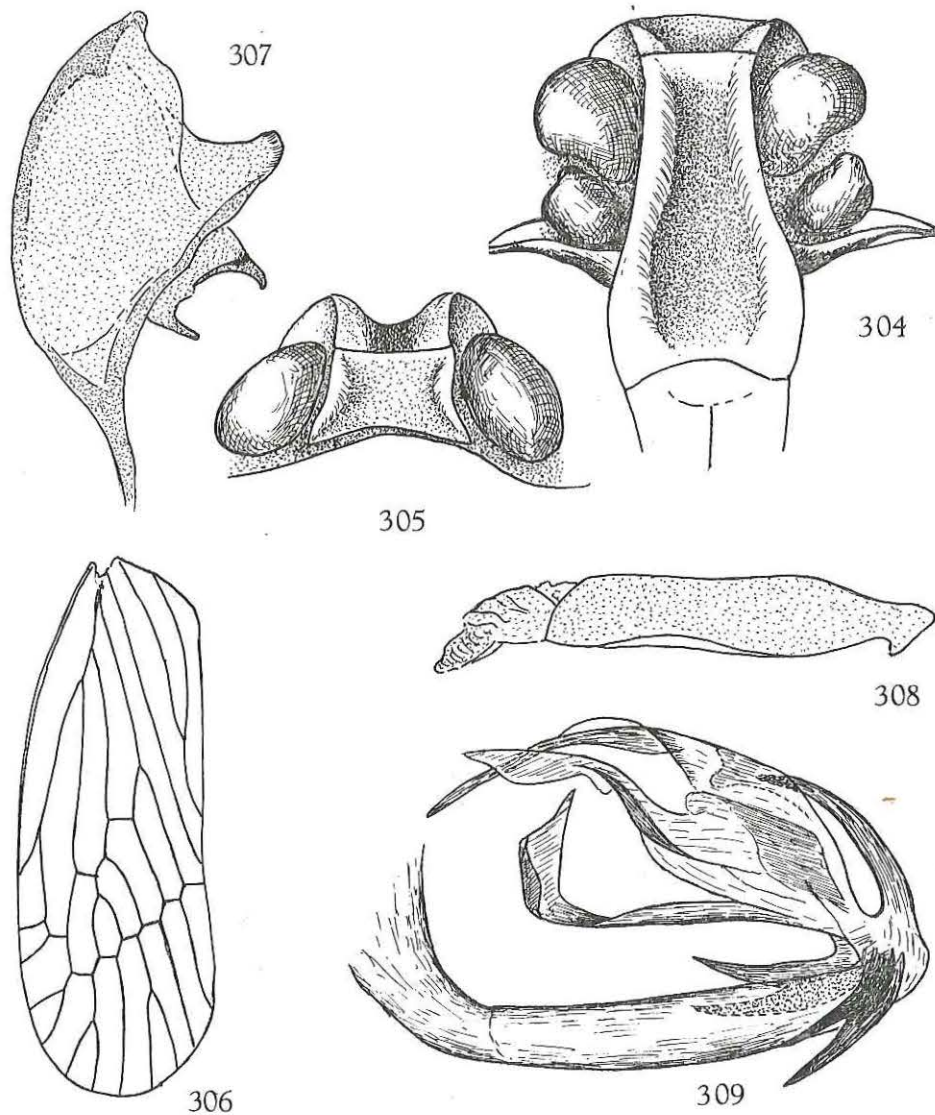


FIG. 304-309. — *Malenia saegeri* n. sp.

304 : Tête, vue de face; 305 : Tête, vue de dessus; 306 : Elytre; 307 : Paramère; 308 : Tube anal, vue latérale; 309 : Edéage, vue latéro-ventrale gauche.

bifurquée après le milieu; bifurcation de *Cu* peu avant le milieu de l'élytre et après la réunion des nervures clavales et loin après *Sc + R* (fig. 306). Pattes ocre. Genitalia ♂ : l'édéage est complexe et présente notamment une épine longue, forte, partant de l'apex et dirigée vers le haut et vers l'arrière ainsi que 4 épines, moins longues, situées 2 par 2 respectivement à droite et à gauche de l'apex,

dirigées vers l'arrière (voir fig. 309). Paramères, voir figure 307. Tube anal, voir figure 308.

Longueur totale : env. 3,5 mm.

Holotype ♂ : Congo Belge, P.N.G., Miss. H. DE SAEGER, II/fd/12, 5.VIII.1952, 3884.

29 Paratypes (♂♂) : Congo Belge, P.N.G., Miss. H. DE SAEGER, II/fd/12, 5.VIII.1952, 3884; II/fd/7", 5.V.1952, 3424; II/fd/15, 22.IX.1951, 2464; II/gc/7, 14.VIII.1952 3940; II/gc/13s, 21.XI.1951, 2774; II/gc/11, 13.XI.1951, 2757; PpK/55/d/8, 19.XI.1951, 2768; II/fd/17, 14.XI.1951, 2761; II/fd/18, 6.V.1952, 3429; II/id/8, 31.X.1951, 2708; II/gc/10, 4.VIII.1952, 3878; II/gd/4, 25.VIII.1951, 2315; II/fd/10, 20.XII.1951, 2935; II/gd/4, 25.VIII.1952, 3978; II/fe/7", 23.VIII.1951, 2291; II/fd/18, 6.X.1951, 2522; II/fd/10, 20.XII.1951, 2935; II/gd/10, 28.XII.1951, 2954; II/gc/11, 13.XI.1951, 2757.

11. — *Malenia garambaensis* n. sp.

(Fig. 310-313.)

Semblable à l'espèce précédente, mais le front est proportionnellement plus large à la base. Chez *saegeri*, la largeur maximale, au niveau des processus sous-antennaires, est de 1,6 à 1,7 fois supérieure à la largeur basale tandis que chez *garambaensis* elle ne l'est que 1,3 à 1,4 fois (fig. 310).

Les genitalia sont différents, du moins en ce qui concerne le tube anal et l'édéage. Le tube anal se termine par 1 épine dirigée vers le bas, ce qui n'est pas le cas chez *saegeri* (fig. 311). Les paramères sont semblables chez les 2 espèces. L'édéage présente, comme celui de *saegeri*, 1 épine apicale impaire dirigée vers le haut et vers l'arrière. Il en diffère cependant par la forme du processus partant de l'apex et dirigé vers l'intérieur ainsi que par les 2 paires d'épines apicales. Chez *saegeri*, ces dernières sont symétriques et à peu près d'égale importance alors que chez *garambaensis* les paires gauche et droite sont différentes, comme le montrent les figures 312 et 313. Genitalia ♂, voir figures 311-313.

Holotype ♂ : Congo Belge, P.N.G., Miss. H. DE SAEGER, II/gc/8, 10.VII.1952, H. DE SAEGER, 3765.

5 Paratypes (♂♂) : Congo Belge, P.N.G., Miss. H. DE SAEGER, II/fd/10, 11.IX.1951, H. DE SAEGER, 2419; II/gc/13s, 21.XI.1951, H. DE SAEGER, 2774; II/fd/17, 31.VIII.1951, H. DE SAEGER, 2341; II/gd/10, 8.VIII.1952, H. DE SAEGER, 3909.

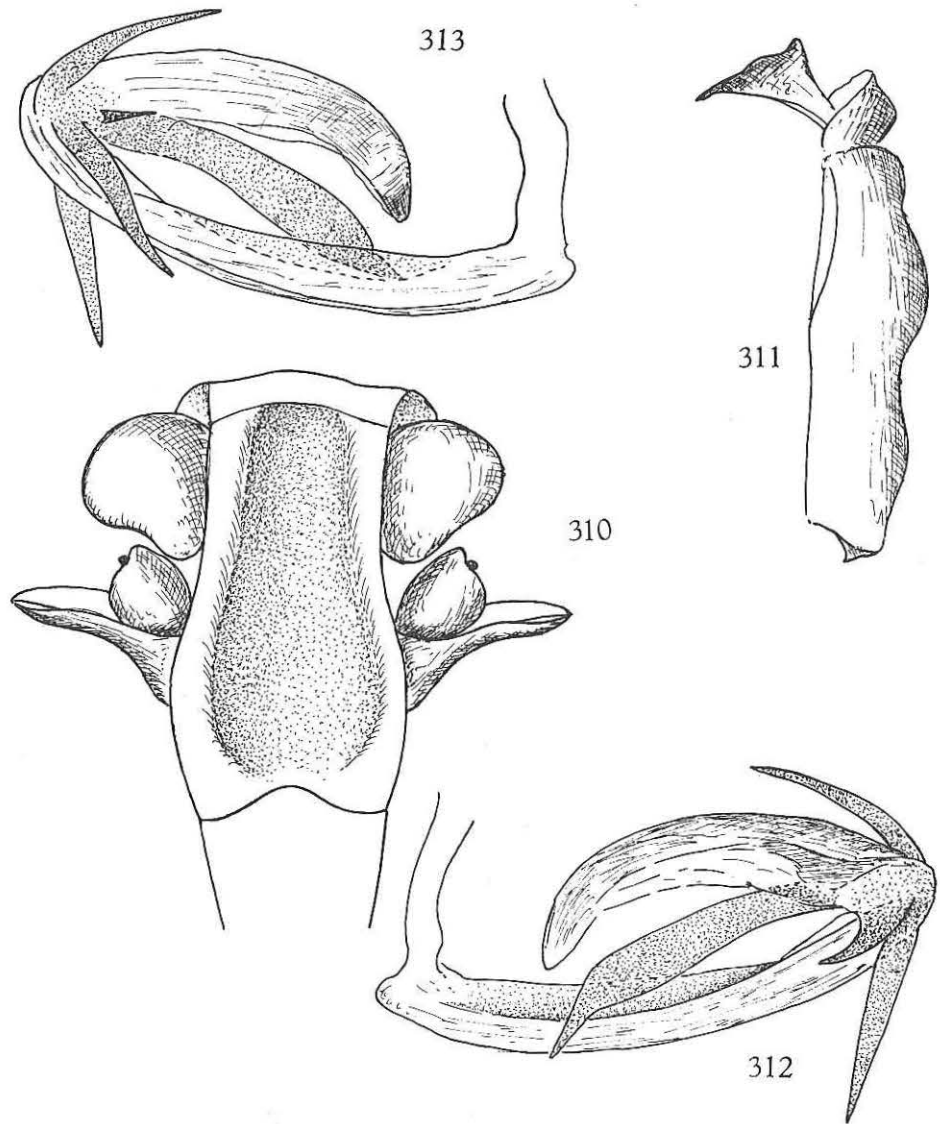


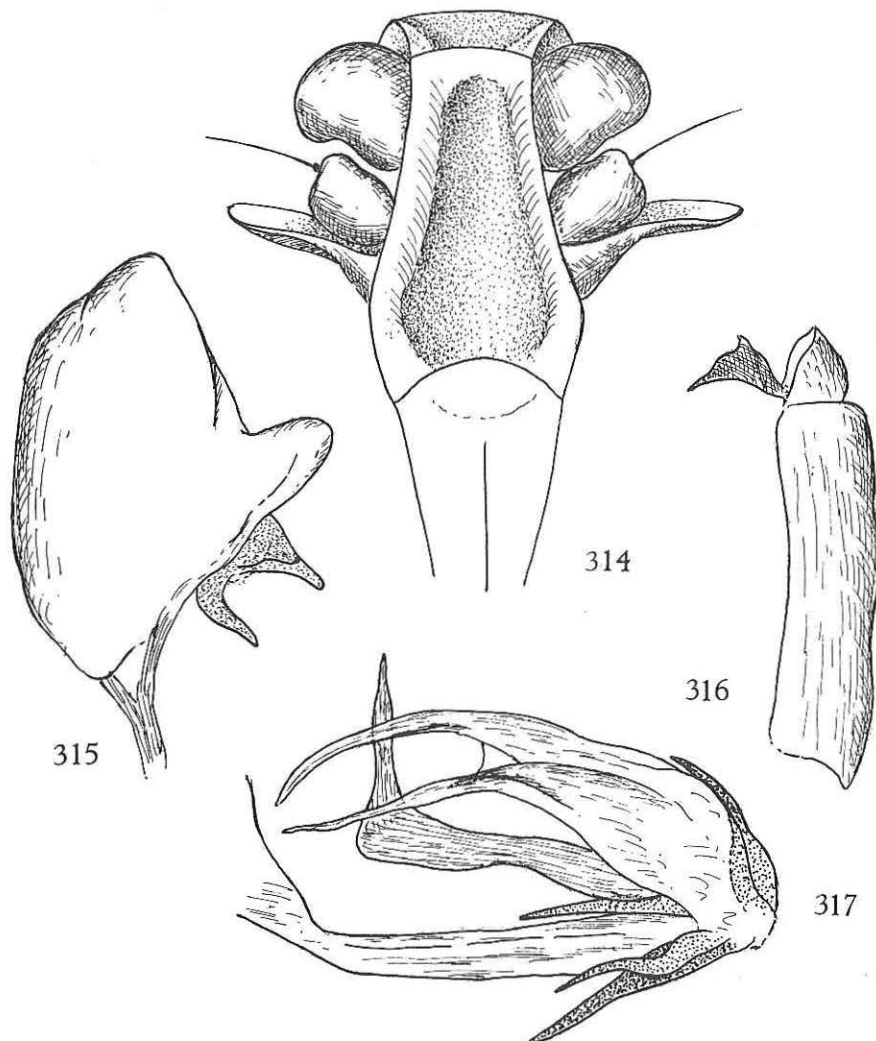
FIG. 310-313. — *Malenia garambaensis* n. sp.
 310: Tête, vue de face; 311: Tube anal, vue latérale; 312: Edéage, vue latéro-ventrale gauche; 313: Edéage, vue latéro-ventrale droite.

12. — *Malenia verschureni* n. sp.

(Fig. 314-317.)

Semblable aux précédentes. Front environ 1,5 fois plus long que large à sa largeur maximale; cette dernière est de 1,6 à 1,7 fois supérieure à la largeur basale (fig. 314).

Tube anal se terminant par une épine dirigée vers le bas comme chez *garambaensis* (fig. 316); paramères du même type que ceux de *saegeri* et *garamba-*

FIG. 314-317. — *Malenia verschureni* n. sp.

314: Tête, vue de face; 315: Paramère; 316: Tube anal, vue latérale; 317: Edéage, vue latéro-ventrale gauche.

ensis (fig. 315). Edéage avec le processus dirigé vers l'intérieur, coudé en angle droit à son extrémité et formant une longue pointe dirigée vers le haut; à l'apex, 4 épines dont 1 à droite, dirigée vers l'intérieur, 2 à gauche dont 1 plus forte, également dirigées vers l'intérieur et la 4^e, tout à fait apicale, dirigée vers le haut (voir figure 317).

Holotype ♂ : Congo Belge, P.N.G., Miss. H. DE SAEGER, II/hc/4, 1.VIII.1951, J. VERSCHUREN, 2174.

8 Paratypes (♂♂) : idem; Ndelele, 30.VII.1952, H. DE SAEGER, 3489; II/fc/6, 13.VI.1951, H. DE SAEGER, 1911; II/fc/14, 10.XII.1951, H. DE SAEGER, 2881; II/ec/4, 30.VII.1951, 2172; PFSK 7/3, 31.VII.1952, H. DE SAEGER, 3850; II/hc/11, 31.V.1951, H. DE SAEGER, 1846; II/gc/6, 9.VIII.1951, H. DE SAEGER, 2243.

13. — *Malenia similis* n. sp.

(Fig. 318.)

Semblable aux précédentes. La largeur maximale du front est de 1,6 à 1,7 fois (généralement 1,6) supérieure à sa largeur basale; longueur de 2 à 2,5 fois (généralement 2) supérieure à la largeur et 1,3 à 1,4 fois à la largeur maximale.

Tube anal et paramères comme chez *verschureni*. Edéage présentant, outre le processus dirigé vers l'intérieur et dont la forme est différente de celle rencontrée chez les espèces précédentes, 5 épines apicales dont 2 du côté gauche, l'inférieure étant plus longue et plus forte, et 3 (dont 2 petites) du côté droit (voir fig. 318).

Holotype ♂ : Congo Belge, P.N.G., Miss. H. DE SAEGER, II/gd/10, 8.VIII.1952, H. DE SAEGER 3909.

36 Paratypes (♂♂) : Congo Belge, P.N.G., Miss. H. DE SAEGER, PpK 9/g/9, 10.IX.1952, H. DE SAEGER, 4044; PpK/55/d/8, 19.XI.1951, H. DE SAEGER, 2768; Iso III, 26.IX.1952, H. DE SAEGER, 4100; II/gd/17, 30.VI.1952, H. DE SAEGER, 3719; II/gd/8, 13.XII.1951, H. DE SAEGER, 2901; II/fc/14, 10.XII.1951, H. DE SAEGER, 2881; II/gc/13s, 21.XI.1951, H. DE SAEGER, 2774; II/gc/6, 9.VIII.1951, H. DE SAEGER, 2243; II/fc/18, 24.XI.1951, H. DE SAEGER, 2806; II/gd/10, 8.VIII.1952, H. DE SAEGER 3909; II/gd/4, 22.VIII.1952, H. DE SAEGER, 3964; II/fc/5, 26.VIII.1952, H. DE SAEGER, 3982; II/fc/18, 12.X.1951, H. DE SAEGER, 2653; PpK 9/g/9, 10.IX.1952, 4044; II/fc/6, 20.VIII.1951, H. DE SAEGER, 2282; II/gd/9, 8.XI.1951, H. DE SAEGER, 2740; II/nf/4, 28.VIII.1952, H. DE SAEGER, 3988; II/fc/8, 8.XII.1951, H. DE SAEGER, 2876; II/fc/6, 9.VIII.1951, H. DE SAEGER, 2243; II/fd/7", 5.V.1952, H. DE SAEGER, 3424; II/gd/4, 30.XI.1951, H. DE SAEGER, 2812; II/fd/16, 28.XI.1951, H. DE SAEGER, 2814; II/gd/11, 4.IX.1952, H. DE SAEGER, 4036.

14. — *Malenia quinquespinosa* n. sp.

(Fig. 319.)

Semblable aux précédentes. La largeur maximale du front est environ 1,6 fois supérieure à la largeur basale; la longueur est de 2 à 2,3 fois supérieure à la largeur basale.

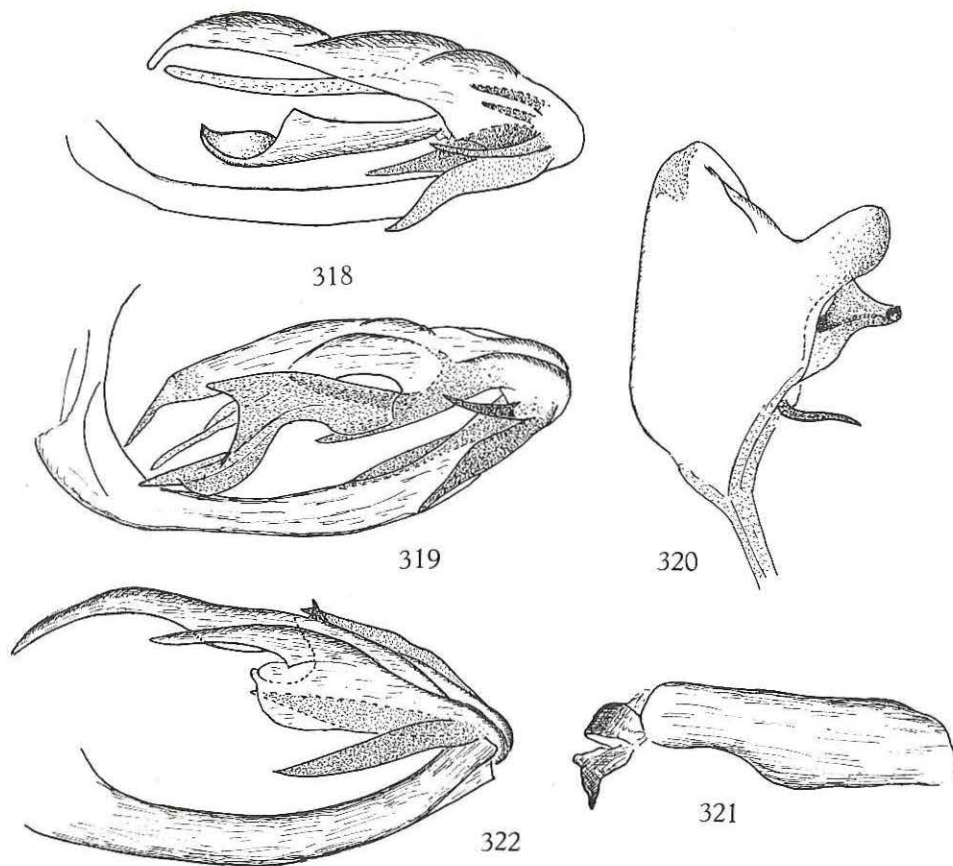


FIG. 318. — *Malenia similis* n. sp. : édéage, vue latéro-ventrale gauche.

FIG. 319. — *Malenia quinquespinosus* n. sp. : édéage, vue latéro-ventrale gauche.

FIG. 320-322. — *Malenia distincta* n. sp.

320 : Paramère; 321 : Tube anal, vue latérale; 322 : Édéage, vue latéro-ventrale gauche.

Tube anal et paramères comme chez l'espèce précédente. L'édéage présente, outre le processus dirigé vers l'intérieur qui se termine en croissant, 5 épines partant de l'apex et dirigées vers l'intérieur, 3 à droite, 2 à gauche; de ces 2 dernières, la supérieure est la plus petite (voir fig. 319).

Holotype ♂ : Congo Belge, P.N.G., Miss. H. DE SÆGER, II/gd/11, 4.IX.1952, H. DE SÆGER, 14036.

2 Paratypes (♂♂) : idem.

15. — *Malenia distincta* n. sp.

(Fig. 320-322.)

Semblable aux précédentes. La largeur maximale du front est de 1,6 à 1,7 fois supérieure à la largeur basale; la longueur est 2,3 fois supérieure à la largeur basale.

Tube anal terminé par une courte épine (voir fig. 321); paramères différents de ceux des espèces précédentes (voir fig. 320); édéage également très différent (voir fig. 322).

Holotype ♂ : Congo Belge, P.N.G., Miss. H. DE SAEGER, II/fd/18, 21.XII.1951, H. DE SAEGER, 2939.

2 Paratypes (♂♂) : idem.

1 ♀, de provenance identique, est rattachée à l'espèce.

16. — *Malenia tropicalis* n. sp.

(Fig. 323.)

Semblable aux précédentes. La largeur maximale du front est de 1,6 à 1,7 fois supérieure à la largeur basale; la longueur est de 2 à 2,3 fois supérieure à la largeur basale.

Tube anal et paramères semblables à ceux de *quinquespinosus*; édéage avec processus dirigé vers l'intérieur présentant une longue épine subapicale dirigée vers le haut; une courte épine apicale dirigée vers le haut; partant de l'apex et dirigée vers l'intérieur, 5 épines dont 2 à gauche et 3 à droite (de ces dernières, les 2 premières sont confluentes à la base) (fig. 323).

Holotype ♂ : Congo Belge, P.N.G., Miss. H. DE SAEGER, II/gd/6, 19.VIII.1952, H. DE SAEGER, 3952.

3 Paratypes (♂♂) : idem; II/fd/16, 29.X.1951, H. DE SAEGER, 2697.

9 ♀♀, de même provenance, sont rattachées à l'espèce.

17. — *Malenia africana* n. sp.

(Fig. 324-326.)

Semblable aux précédentes. La largeur maximale du front est de 1,6 à 1,7 fois supérieure à la largeur basale. Chez certains individus, cependant, elle peut ne l'être que 1,3 fois et chez d'autres, par contre, elle peut atteindre 1,9 fois. La longueur est environ 2,5 fois supérieure à la largeur basale; dans certains cas elle peut ne l'être que 2 fois et dans d'autres atteindre les 2,7 fois.

Le tube anal et les paramères sont semblables à ceux de *distincta* (fig. 324 et 325). L'édéage présente un processus dirigé vers l'arrière régulier, se terminant en pointe; 2 fortes épines, situées à l'apex, sont dirigées vers le haut et légèrement vers l'intérieur; de la gauche apicale part 1 longue épine dirigée vers l'intérieur

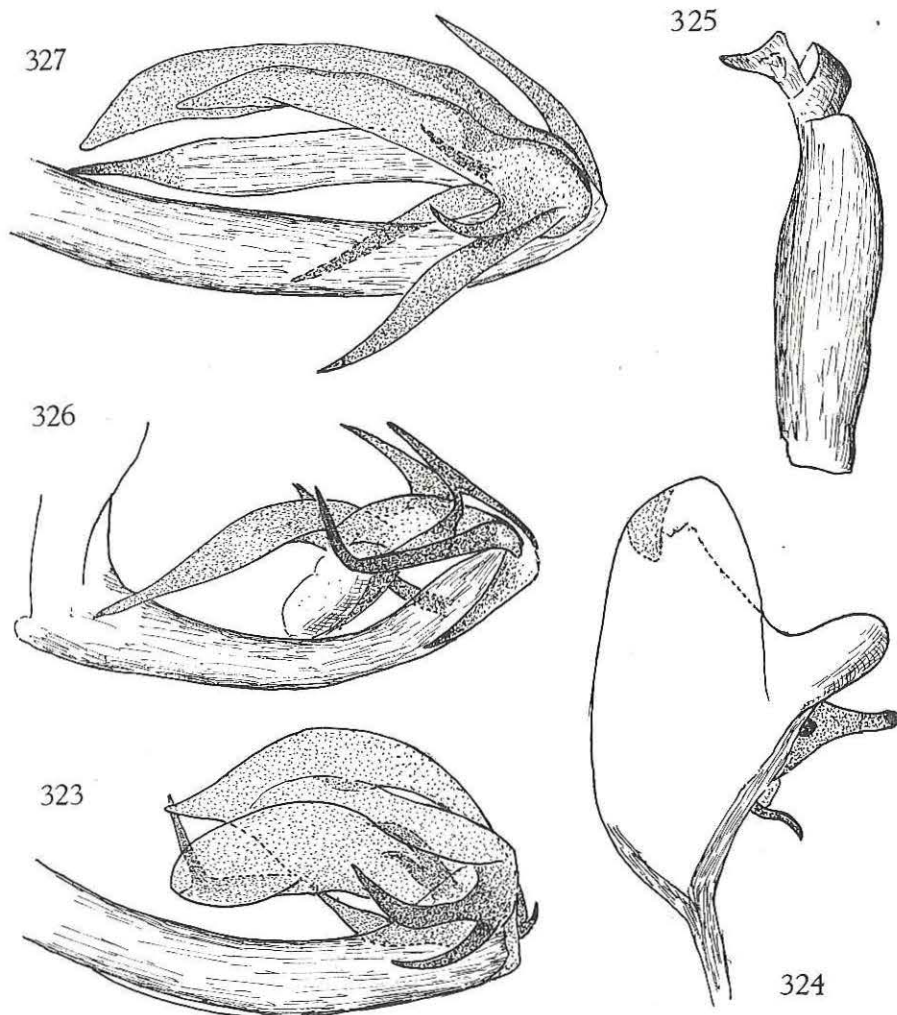


FIG. 323. — *Malenia tropicalis* n. sp.: édéage, vue latéro-ventrale gauche.

FIG. 324-326. — *Malenia africana* n. sp.

324: Paramère; 325: Tube anal, vue latérale; 326: Edéage, vue latéro-ventrale gauche.

FIG. 327. — *Malenia soluta* n. sp.: édéage, vue latéro-ventrale gauche.

et s'incurvant brusquement avant l'apex pour se diriger vers le haut; à droite, 1 longue épine, non recourbée, dirigée vers le haut et vers l'intérieur (fig. 326).

Holotype ♂: Congo Belge, P.N.G., Miss. H. DE SAEGER, II/gd/4, 30.VII.1951, H. DE SAEGER, 2134.

20 Paratypes: Congo Belge, P.N.G., Miss. H. DE SAEGER, II/gd/4, 5.VII.1952, H. DE SAEGER, 3743; idem; II/hc/8, 12.XII.1951, H. DE SAEGER, 2902; II/ec/4, 30.VII.1951

H. DE SAEGER, 2172; Ndelele K115, 3.XII.1951, H. DE SAEGER, 2842; II/gd/4, 8.V.1952, H. DE SAEGER, 3449; II/fd/4, 24.X.1951, H. DE SAEGER, 2668; II/fd/17, 31.VII.1951, H. DE SAEGER, 2182; Dedegwa, 17.V.1952, H. DE SAEGER, 3481; II/hd/4, 17.VII.1951, H. DE SAEGER, 2107; II/fd/5, 23.VII.1951, H. DE SAEGER, 2128; II/gd/11, 28.VII.1951, H. DE SAEGER, 2160; II/hc/4, 26.VII.1951, J. VERSCHUREN, 2161; II/gd/4, 20.VII.1951, H. DE SAEGER, 2134; II/fd/4, 24.X.1951, H. DE SAEGER, 2668; II/fc/18, 24.XI.1951, H. DE SAEGER, 2806.

18. — *Malenia soluta* n. sp.

(Fig. 327.)

Semblable aux précédentes. La largeur maximale du front est de 1,3 à 1,5 fois supérieure à la largeur basale. La longueur est de 2 à 2,5 fois (généralement 2,3 fois) supérieure à la largeur basale.

Tube anal et paramères du même type que chez *garambaensis*; édéage avec processus dirigé vers l'intérieur large, régulier, terminé en pointe aiguë; 1 grande épine apicale dirigée vers le haut et vers l'intérieur; partant également de l'apex, à gauche, 2 épines dont 1 longue dirigée vers le bas et vers l'intérieur et 1 beaucoup plus petite, recourbée vers le haut; à droite, également 2 épines dont 1 grande dirigée vers le bas et 1, droite, dirigée vers le haut et vers l'intérieur (fig. 327).

Holotype ♂ : Congo Belge, P.N.G., Miss. H. DE SAEGER, II/fc/8, 8.XII.1951, H. DE SAEGER, 2876.

21 Paratypes : Congo Belge, P.N.G., Miss. H. DE SAEGER, II/fe/6, 16.I.1952, J. VERSCHUREN, 3013; II/fd/18, 21.XII.1951, H. DE SAEGER, 2939; Ndelele K115, 3.XII.1951, H. DE SAEGER, 2842; II/gd/11, 4.IX.1952, 4036, H. DE SAEGER; II/ic/10, 7.IX.1951, H. DE SAEGER, 2391; II/hc/8, 12.XII.1951, H. DE SAEGER, 2902; II/gc/8, 9.IX.1952, H. DE SAEGER, 4042, II/gc/9, 28.IX.1951 H. DE SAEGER, 2481; PpK/60/d/8, 18.XII.1951, H. DE SAEGER, 2924; II/gd/10, 27.VI.1951, J. VERSCHUREN, 1988; II/fd/16, 28.XI.1951, H. DE SAEGER, 2814.

19. — *Malenia rorida* n. sp.

(Fig. 328.)

Semblable aux précédentes. La largeur maximale du front est 1,7 fois supérieure à la largeur basale; la longueur est 1,4 fois supérieure à la largeur maximale et 2,4 fois à la largeur basale.

Tube anal et paramères du même type que ceux de *distincta* (fig. 320 et 321).

La figure 328 illustre l'édéage qui, assez complexe, se prête mal à la description.

Holotype ♂ : Congo Belge, P.N.G., Miss. H. DE SAEGER, PpK 9/g/9, 10.IX.1952, H. DE SAEGER, 4044.

20. — *Malenia simplex* n. sp.

(Fig. 329.)

Semblable aux précédentes. La largeur maximale du front est de 1,7 à 1,9 fois supérieure à la largeur basale; la longueur est de 2 à 2,4 fois supérieure à la largeur basale et 1,3 fois à la largeur maximale.

Le tube anal et les paramères sont du type *garambaensis*; édéage avec le processus dirigé vers l'intérieur se terminant en une sorte de cuiller; outre ce dernier, 4 épines apicales dont l'inférieure de gauche est plus longue et sinueuse (fig. 329).

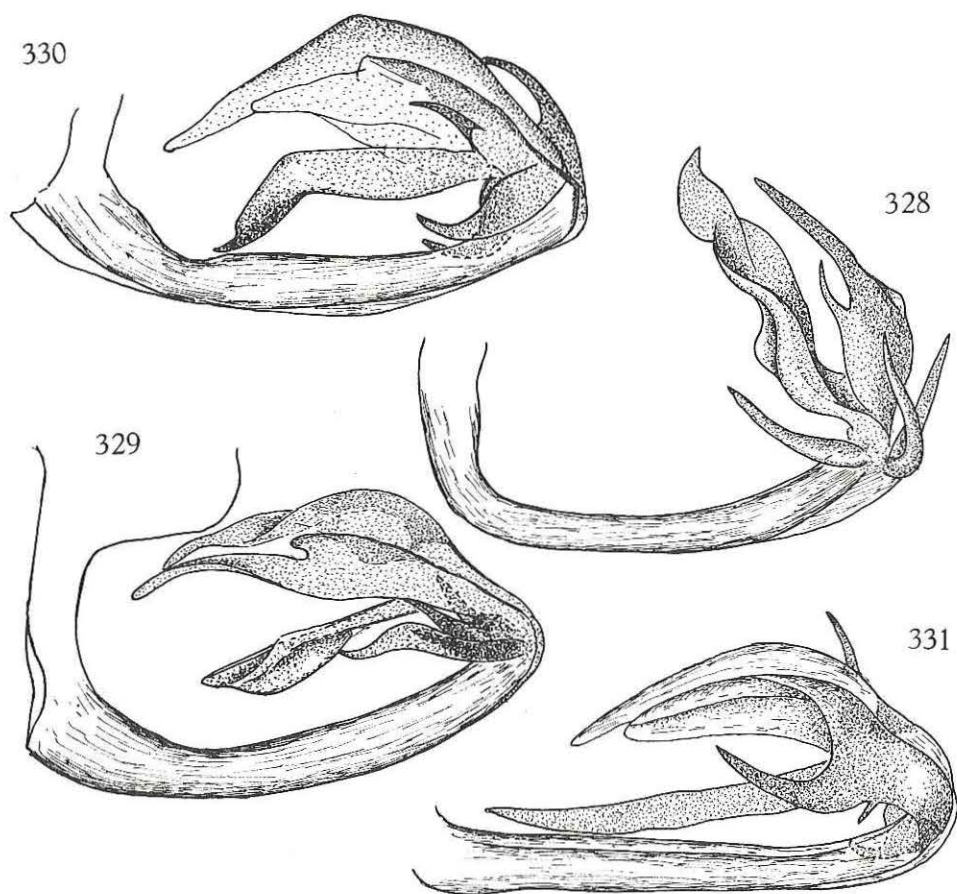


FIG. 328. — *Malenia rorida* n. sp. : édéage, vue latéro-ventrale gauche.
 FIG. 329. — *Malenia simplex* n. sp. : édéage, vue latéro-ventrale gauche.
 FIG. 330. — *Malenia proxima* n. sp. : édéage, vue latéro-ventrale gauche.
 FIG. 331. — *Malenia longispina* n. sp. : édéage, vue latéro-ventrale gauche.

Holotype ♂ : Congo Belge, P.N.G., Miss. H. DE SAEGER, II/hd/8, 26.XI.1951, H. DE SAEGER, 2808.

2 Paratypes (♂♂) : Congo Belge, P.N.G., Miss. H. DE SAEGER, II/hd/8, 26.XI.1951, H. DE SAEGER, 2808.

21. — *Malenia proxima* n. sp.

(Fig. 330.)

Semblable aux précédentes. La largeur maximale du front est de 1,6 à 1,7 fois supérieure à la largeur basale. La longueur est 2 fois supérieure à la largeur basale et de 1,3 à 1,4 fois à la largeur maximale.

Tube anal et paramères semblables à ceux de *garambaensis* (fig. 307 et 311) ⁽³⁾; édéage, avec processus dirigé vers l'intérieur brusquement coudé avant l'apex dirigé vers la droite, et terminé en pointe; 1 épine apicale dirigée vers le haut comme chez *saegeri*; partant de l'apex et dirigées vers l'intérieur, 3 épines dont 1 à droite et 2 à gauche; de ces 2 dernières, la supérieure est beaucoup plus courte et plus mince (fig. 330).

Holotype ♂ : Congo Belge, P.N.A., Miss. G.F. DE WITTE, 12.III.1953, P. VANSCHUYTBROECK et H. SYNAVE, 7703-04.

2 Paratypes (♂♂) : P.N.A., 28.III.1954, P. VANSCHUYTBROECK et H. SYNAVE, 7701-02; 20.IV.1955, P. VANSCHUYTBROECK et P. FONTEYN, 12.824-26.

6 Paratypes (♂♂) : I.R.S.A.C., Mus. Congo, Kivu : Kavimvira (Uvira) (à la lumière) II-III.1955 et XII.1954, G. MARLIER (Musée Royal de l'Afrique Centrale).

10 ♀♀, même localité, mêmes dates, sont rattachées à l'espèce (Musée Royal de l'Afrique Centrale).

22. — *Malenia longispina* n. sp.

(Fig. 331.)

Semblable aux précédentes. La largeur maximale du front est 1,7 fois supérieure à la largeur basale; la longueur est 2,5 fois supérieure à la largeur basale et 1,5 fois à la largeur maximale.

Tube anal et paramères du même type que ceux de *distincta* (fig. 320 et 321). Édéage avec le processus dirigé vers l'intérieur très long, relativement mince, en forme d'épine; pour le reste, voir figure 331.

Holotype ♂ : Congo Belge, P.N.G., Miss. H. DE SAEGER, II/gc/8, 10.VII.1952, H. DE SAEGER, 3765.

1 Paratype ♂ : Congo Belge, P.N.G., Miss. H. DE SAEGER, PpK 8/9, 15.VII.1952, H. DE SAEGER, 3792.

⁽³⁾ La figure 307 représente le paramère de *M. saegeri* qui est identique à celui de *garambaensis*.

23. — *Malenia ndelelensis* n. sp.

(Fig. 332.)

Semblable aux précédentes. La largeur maximale du front est 1,7 fois supérieure à la largeur basale; la longueur est 2,5 fois supérieure à la largeur basale et 1,5 fois à la largeur maximale.

Tube anal et paramères semblables à ceux de *distincta* (figures 320 et 322). Edéage se distinguant de tous les autres par la présence d'un long processus spiniforme partant de la base et dirigé vers l'extérieur; 3 fortes épines apicales dirigées vers le haut et vers l'intérieur dont 2 à droite et 1 seule à gauche (voir fig. 332).

Holotype ♂ : Congo Belge, P.N.G., Miss. H. DE SAEGER, Ndelele, K115, 3.XII.1951, H. DE SAEGER, 2842.

24. — *Malenia miserabilis* n. sp.

(Fig. 333 et 334.)

Semblable aux précédentes. La largeur maximale du front est 1,7 fois supérieure à la largeur basale. La longueur est 2 fois supérieure à la largeur basale et 1,5 fois à la largeur maximale.

Tube anal ne se terminant pas par une pointe plus ou moins longue comme c'est le cas pour les autres espèces sauf *saegeri* (voir fig. 333). Paramères semblables à ceux de *saegeri*. Edéage avec le processus dirigé vers l'intérieur présentant en son milieu un long appendice spiniforme dirigé vers le haut; l'apex présente à droite, 2 épines dirigées vers le bas et l'intérieur dont l'inférieure est forte et incurvée, la supérieure beaucoup plus mince, droite et dirigée vers l'intérieur; à gauche, 1 forte épine semblable à celle de droite; enfin, 1 petite épine apicale dirigée vers le haut (fig. 334).

Holotype ♂ : Congo Belge, P.N.G., Miss. H. DE SAEGER, II/hd/8, 26.XI.1951, H. DE SAEGER, 2808.

25. — *Malenia nigra* n. sp.

(Fig. 335.)

Morphologiquement semblable aux précédentes dont elle diffère cependant par les élytres entièrement noirs et le scutellum brun. La largeur maximale du front est de 1,4 à 1,6 fois (généralement 1,5 fois) supérieure à la largeur basale. La longueur est 2 fois supérieure à la largeur basale et 1,3 fois à la largeur maximale.

Tube anal et paramères semblables à ceux de *garambaensis* (voir fig. 211 et 317). Edéage avec processus dirigé vers l'intérieur court, d'abord très mince puis brusquement dilaté en une sorte de cuiller dont le bord droit est beaucoup plus haut que le gauche et qui se termine par un court appendice spiniforme; à l'apex, 4 épines dont 2 à gauche et 2 à droite (voir fig. 335).

Holotype ♂ : Congo Belge, P.N.A., 27.XI.1957, P. VAN SCHUYTBROECK, VS-240.

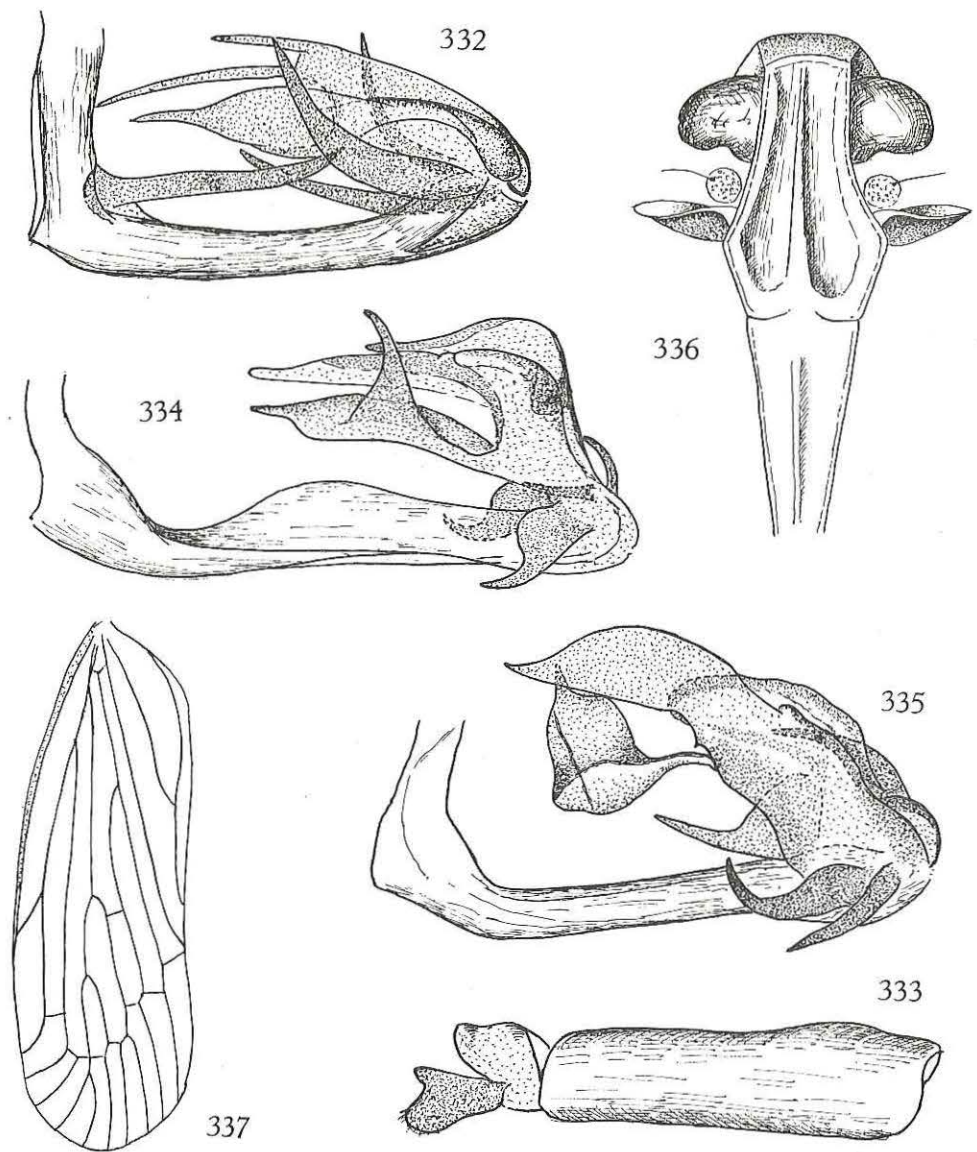


FIG. 332. — *Malenia ndelelensis* n. sp.: édéage, vue latéro-ventrale gauche.

FIG. 333 et 334. — *Malenia miserabilis* n. sp.

333: Tube anal, vue latérale; 334: Edéage, vue latéro-ventrale gauche.

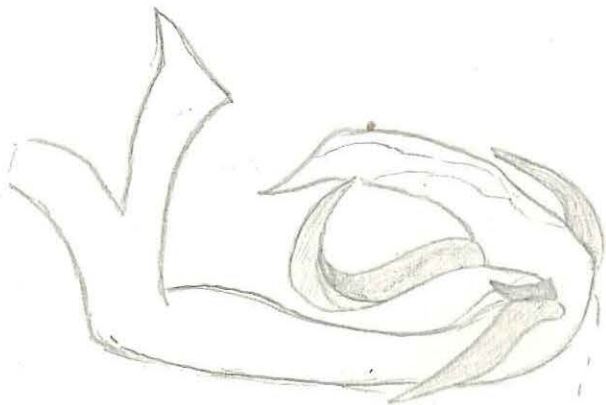
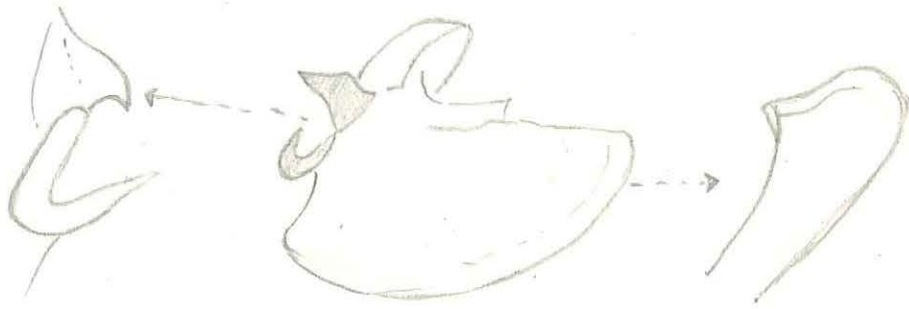
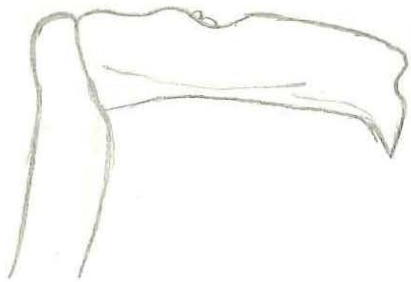
FIG. 335. — *Malenia nigra* n. sp.: édéage, vue latéro-ventrale gauche.

FIG. 336 et 337. — *Malenia lactea* MÉLICHAR.

336: Tête, vue de face; 337: Elytre.

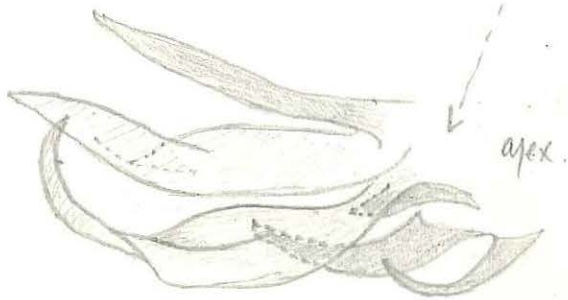
Malema cydippe Linnaeus

1973, Natural. Entom., LIII, p. 114, fig. 61 d-g.



Elytra brun. fuscata a
partie apicale basale fusc.

Voisin de
alunicensis Muls.



Soudan

Paratypes :

Parc National Albert : 5 ex., 29.VIII.1956, P. VAN SCHUYTBROECK, VS-488; 26.IX.1952, P. VAN SCHUYTBROECK et J. KEKENBOSCH, 1083; 9.VIII.1954, P. VAN SCHUYTBROECK et H. SYNAVE, 9952-55.

Parc National de la Garamba : 3 ex., 1/a/1, 17.VII.1950, G. DEMOULIN, 703; AKA/2, 19.V.1952, H. DE SAEGER, 3476; Dedegwa, 21.V.1952, H. DE SAEGER, 3499. 15 ♀♀ sont rapportées à l'espèce :

Parc National Albert : 8 ex., 9.VIII.1954, P. VAN SCHUYTBROECK et H. SYNAVE, 9952-55; 9.VII.1954, P. VAN SCHUYTBROECK et H. SYNAVE, 9769.

Parc National de la Garamba : 7 ex., PFSK 22/8, 10.VI.1952, H. DE SAEGER, 3608; 1/o/1, 17.V.1950, H. DE SAEGER, 527; Aka/2, 19.V.1952, H. DE SAEGER, 3476.

26. — *Malenia lactea* (MÉLICHAR).

(Fig. 336 et 337.)

MÉLICHAR, L., 1905, Wien. Ent. Zeit., 24, p. 284 *Lamenia*.

MUIR, F., 1926, Ann. Mag. Nat. Hist. (9), 18, p. 228 *Cedusa*.

Front moins de 2 fois plus long que large au niveau des processus sous-antennaires, à bords latéraux relevés et carénés, tout d'abord légèrement divergents et concaves jusqu'aux processus, ensuite brusquement convergents vers le clypéus; carène médiane nette; brun, à bords jaunâtres (fig. 336). Clypéus jaunâtre, tricaréné, aussi long que le front. Processus sous-antennaires développés, n'atteignant pas les bords latéraux du front, réunis à ces derniers par une courte carène oblique; bords des plaques pectorales du pronotum et carènes latérales, relevés. Vertex plus de 2 fois plus large que long (19 : 8), à bords latéraux légèrement divergents vers l'arrière; bords antérieur et postérieur concaves, l'antérieur légèrement. Pronotum et scutellum jaunâtres, plus ou moins ocre. Elytres blanchâtres; bifurcation *Sc+R* non loin de la base et un peu avant la bifurcation de *Cu* qui se situe très peu avant la réunion des nervures clavales; ces dernières se joignant peu après le milieu du clavus; bifurcation de *M* vers le milieu de l'élytre (fig. 337). Plaque subgénitale de la ♀ triangulairement saillante vers l'arrière. Fémurs antérieurs et médians ocre; tibias et tarses antérieurs et médians brunâtres; fémurs, tibias et tarses postérieurs blanc jaunâtre sauf le dernier article des tarses qui est brun foncé.

Longueur totale : env. 5 mm.

Distribution. — Tanganyka.

Description et figures d'après l'Holotype ♀ (Musée de Brno).

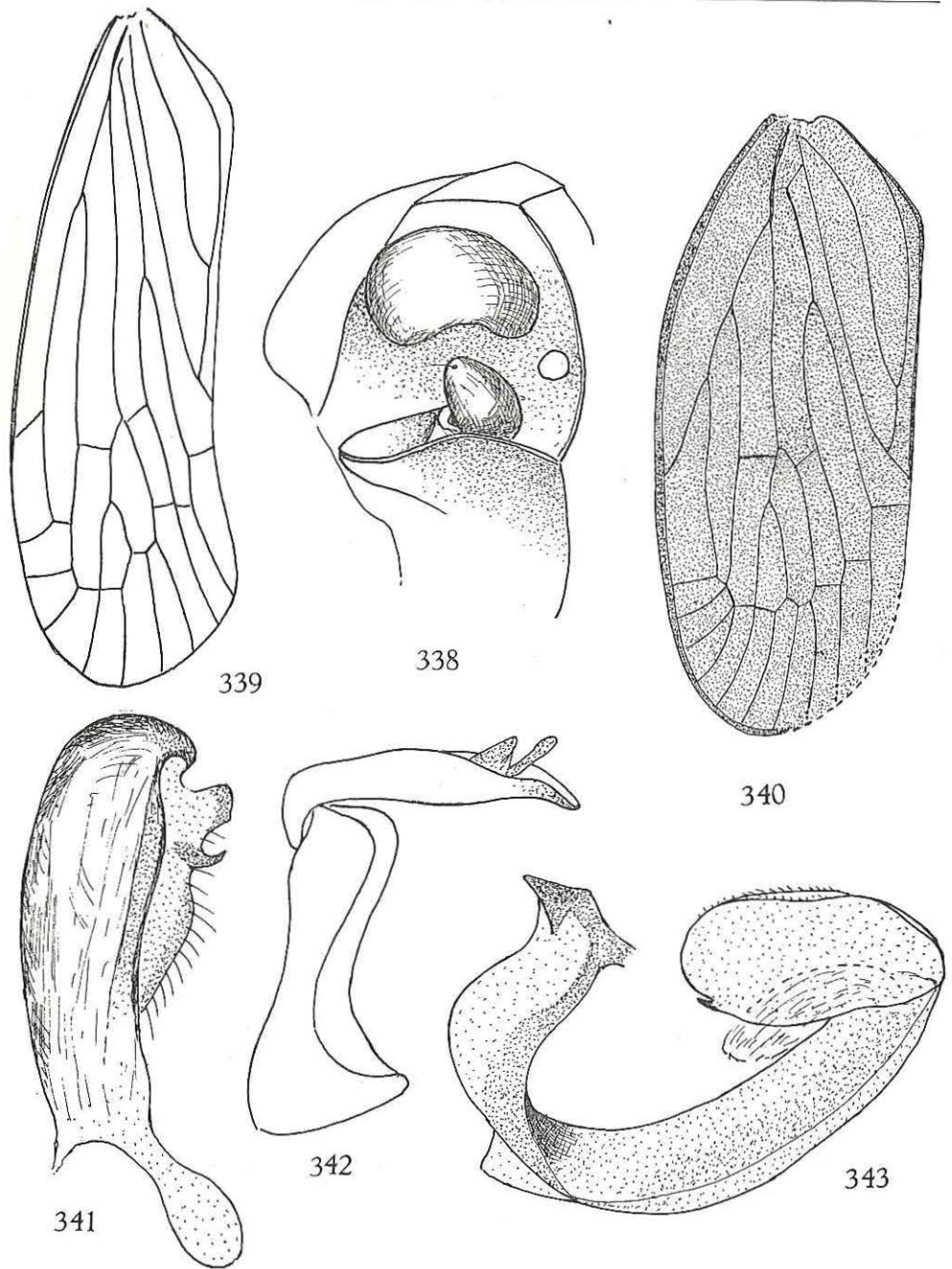


FIG. 338 et 339. — *Eocenchrea maorica* KIRKALDY.

338 : Tête, vue de profil; 339 : Elytre.

FIG. 340-343. — *Malenia dardanus* (FENNAH).

340 : Elytre; 341 : Paramère; 342 : Pygophore et tube anal, vue latérale; 343 : Edéage, vue latéro-ventrale gauche.

27. — *Malenia dardanus* (FENNAH).

(Fig. 340-343.)

FENNAH, R. J., 1958, Bull. I.F.A.N., t. 20, 2, p. 499, fig. 11 *Eocenchrea*.

L'auteur de cette espèce ⁽⁴⁾ l'a décrite avec un certain doute dans le genre *Eocenchrea*. Nous l'avons comparée à un exemplaire d'*Eocenchrea maorica* KIRKALDY et avons trouvé des différences telles qu'elles nous paraissent suffisantes pour estimer que *dardanus* FENNAH ne peut être rattachée au genre *Eocenchrea*. Mentionnons notamment le fait que chez *Eocenchrea*, les processus sous-antennaires partent du bord latéral du front et non de la base de l'antenne (fig. 338), que les élytres sont environ 3,5 fois plus longs que larges (fig. 339) alors que chez *dardanus* ils ne le sont que 2,5 fois, que la cellule costale est très longue et étroite alors qu'elle est proportionnellement beaucoup plus large chez *dardanus* (fig. 340). Nous croyons préférable de la placer, du moins provisoirement, dans le genre *Malenia*.

Front noir, à bords latéraux ocre, carénés, mais seulement légèrement relevés; ils sont concaves jusqu'au niveau des antennes, ensuite brusquement convergents vers la suture clypéale, formant de ce fait des angles saillants au niveau des processus sous-antennaires; il est plus long au milieu, que large entre les angles latéraux dans le rapport de 42 à 36; la largeur apicale est supérieure à la largeur basale dans le rapport de 25 à 17; carène médiane nette, se prolongeant sur le clypéus. Ce dernier est également noir, à bords ocre. Processus sous-antennaires formant cupule avec les carènes latérales du pronotum qui sont relevées. Vertex noir, à bords ocre; trapézoïdal, environ 1 1/2 fois plus large à la base, que long au milieu, bord antérieur anguleux, bord postérieur largement et peu profondément concave, bords latéraux légèrement concaves. Pronotum ocre, à bord postérieur largement échancré, sans carène médiane. Tegulae ocre. Scutellum brun-noir, antérieurement convexe, déprimé sur l'angle postérieur avec 3 carènes subparallèles écourtées vers l'arrière. Elytres brunâtres; cellule costale large; bifurcation *Sc+R* et de *Cu* au même niveau ⁽⁵⁾; *M* partant du tronc commun *Sc+R* à peu de distance de la base et bifurquant au niveau du stigma; clavus fermé, nervures clavales réunies non loin de l'apex du clavus, leur tronc commun très court, rejoignant la suture clavale peu avant l'apex (fig. 340). Ailes développées, légèrement fumées. Genitalia ♂ ⁽⁶⁾, voir figures 341-343.

Longueur: 2,6 mm; élytres: 3,2 mm.

Distribution. — Côte d'Ivoire; R.C.A. (Afr. Equ.Fr.); Nigeria

⁽⁴⁾ Nous avons pu examiner le type (Muséum de Paris) mais les genitalia, qui ont été disséqués par l'auteur de l'espèce, ne nous ont pas été communiqués et semblent être perdus.

⁽⁵⁾ Sur un exemplaire ♂ de Boukoko, la bifurcation *Sc+R* se fait plus apicalement que celle de *Cu*.

⁽⁶⁾ Les genitalia de l'espèce sont figurés d'après un ♂ de Boukoko.

Alysiidae. *P. trispinosa* Synave, *P. hyalina* Syn., *P. radiata* Syn., *P. cristalis* Syn.,
P. muricosa Synave

2. — Genre **PATARA** WESTWOOD.

WESTWOOD, J. O., 1841, Trans. Lin. Soc. Lond., 19, p. 13.

Front linéaire, à bords latéraux étroitement accolés jusque peu avant l'apex; vu de profil, il est régulièrement convexe, légèrement saillant au-devant des yeux et prolonge directement le vertex en une courbe régulière. Vertex court, triangulaire, à bords latéraux et carène médiane saillants. 2^e article des antennes très développé, souvent aplati et élargi, dépassant l'apex de la tête. Processus sous-antennaires petits ou absents. Pronotum à bord postérieur très profondément et anguleusement échancré, à carènes latérales et bords latéro-ventraux non foliacés. Scutellum tricaréné. Elytres longs et étroits; nervures clavales réunies vers le milieu du clavus; ce dernier est fermé et sa longueur atteint au moins la 1/2 de celle de l'élytre; *M* bifurqué au niveau de l'apex du clavus ou après; *Cu* bifurquée après l'apex du clavus ou à peu près au même niveau; *CII* granulée.

Espèce-type: *Patara guttata* WESTWOOD.

TABLE DES ESPECES.

1. Elytres brun foncé, brunâtres ou ocre devenant plus ou moins brunâtres à l'apex 4
- Elytres pâles, légèrement jaunâtres, avec ou sans marques brunes 2
2. Elytres hyalins, légèrement teintés de jaune, à nervures et bords ocre jaune, avec 1 tache noire dans la cellule apicale médiane, près du bord apical. 2^e article des antennes ovalaire, un peu plus de 2 fois plus long que large, se terminant en pointe. Processus sous-antennaires présents mais peu développés *P. apicemaculata* SYNAVE, p. 149.
- Pas de tache apicale noire sur les élytres 3
3. Elytres jaunâtres, avec une bande longitudinale brune, irrégulière, depuis la base jusqu'à l'apex; nervures concolores, transversales brunes, ennuagées de brun foncé. 2^e article des antennes près de 2 fois plus long que large, s'élargissant progressivement vers l'apex. Pas de processus sous-antennaires. *P. nigeriensis* SYNAVE, p. 150.
- Pas de bande longitudinale brune sur les élytres qui sont jaunâtres avec faibles marques brunâtres; nervures transversales brun foncé, ennuagées de brun. 2^e article des antennes très développé, ovalaire, fortement aplati, environ 3 fois plus long que large, se terminant en pointe mousse. Pas de processus sous-antennaires *P. lootensi* n. sp., p. 152.

Tribu CENCHREINI

1. — Genre Patara WESTWOOD

WESTWOOD, J. O., Trans. Lin. Soc. Lond, 19, p. 13.

Table des espèces

- 1. — Elytres foncés, brun à brun noir; bords costal, apical et sutural pouvant être rouges 2
- Elytres clairs, blanchâtres, jaunâtres, ocre ou très légèrement brunâtres 7
- 2. — Elytres brun foncé, bords costal et sutural rouges 3
- Elytres brunâtres à brun, bords costal et sutural non soulignés de rouge 4
- 3. — Second article des antennes hypertrophié, consistant en une sorte de boudin qui, vu de face, forme une ovale presque complet ouvert vers le haut et l'intérieur (voir fig. 59, 60). Elytres brun foncé, à bords costal et sutural rouges . . . *P. monstruosa* n. sp. 10/5
- Second article des antennes cylindriques, se terminant en pointe, environ 3 fois plus long que large. Elytres brun foncé; nervures brun rouge foncé, devenant rougeâtres sur le tiers apical; bord costal rouge vif à partir du stigma; bords apical et sutural rouges *P. hargreavesi* MUIR 10
- 4. — Elytres uniformément bruns 5
- Elytres bruns, avec taches blanches 6
- 5. — Sur les élytres, la branche externe de *Cu* rejoint la ligne de nervures transversales apicales. Elytres hyalins, brunâtres, à fortes nervures brun foncé, légèrement plus pâles à l'apex, à nervure costale brune devenant rouge à partir du milieu *P. eloeidis* MUIR
- Branche externe de *Cu* ne rejoignant pas les nervures transversales apicales. Elytres hyalins, bruns, à nervures concolores sauf à la base et à l'apex où elles sont concolores . . . *P. kivuensis* SYNAVE 10/5 plus foncés
- 6. — Elytres brunâtres, avec taches blanchâtres, se répartissant comme suit : une grande tache costale triangulaire vers le milieu, une petite tache triangulaire à l'extrémité des nervures longitudinales et de petites taches punctiformes sur *Cu* et les secteurs de *M* (visibles sur exemplaires conservés en alcool ou sur élytres montés en préparation microscopique), une tache à l'apex du clavus, une seconde 10/5

peu après et une troisième vers le milieu du bord interne, limitée vers l'avant et vers l'arrière par un tronçon brun foncé

. *P. costalis* n. sp.

— Elytres brun foncé, sauf les cellules apicales qui sont blanches avec, au milieu, une strie longitudinale brune; 2 petites taches blanches sur la moitié postérieure de la cellule costale et une tache brun foncé dans l'angle sutural, sur les transversales internes *P. radiata* n. sp.

7. — Sur les élytres, la branche externe de *Cu* rejoint la ligne de transversales apicales 8

— *Cu* ne rejoignant pas les transversales apicales 11

8. — Une bande transversale brune, oblique, entre la jonction *Cl 1 Cl 2* et la bifurcation *Sc + R* ainsi qu'une étroite bande longitudinale brune le long du quart basal du bord costal. Une strie transversale brun foncé sur les faces latérales de la tête, se prolongeant sur la poitrine *P. hyalina* n. sp.

— Pas de bande transversale foncée sur les élytres ni de strie brune sur les faces latérales de la tête 9

9. — Second article des antennes allongé, de 3 à 5 fois plus long que large 10

— Second article des antennes grand, large, aplati, étranglé au milieu. Elytres ocre, brunâtres sur le 1/3 basal de la cellule costale et sur leur 1/3 apical *P. pattersoni* MUIR

10. — Elytres jaunâtres, devenant plus foncés à partir du milieu; *M* bifurquée nettement après le milieu *P. quadrispinosa* n. sp.

— Elytres légèrement jaunâtres à nervures brunâtres; *M* bifurquée vers le milieu *P. trispinosa* n. sp.

11. — Sur les élytres ocre, une large bande médiane longitudinale, irrégulière, brune, de la base à l'apex qui est plus foncé *P. nigeriensis* SYNAVE

— Pas de bande longitudinale foncée sur les élytres qui sont très légèrement brunâtres avec quelques faibles marques plus foncées, notamment entre les nervures clavales, à l'apex du clavus et sur certaines cellules apicales; nervures transversales brunes, ennuagées de brun *P. lootensi* SYNAVE

et nervures ocre jaune, avec 1 tache noire dans la cellule apicale médiane, non loin du bord apical; bifurcation *Sc + R* vers le 1/3 basal; *M* partant du tronc commun *Sc + R* peu après la base; bifurcation de *Cu* après le milieu de l'élytre, loin après celle de *Sc + R*; clavus long, dépassant nettement le milieu de l'élytre;

4. 2^e article des antennes cylindrique, se terminant en pointe, environ 3 fois plus long que large. Faibles processus sous-antennaires présents. Elytres brun foncé, nervures épaisses, brun-rouge foncé, devenant rougeâtres sur le $\frac{1}{3}$ apical; bord costal rouge vif à partir du stigma; bords apical et sutural rouges; parfois 1 petite tache hyaline, blanchâtre, sur l'apex des nervures *P. hargreavesi* MUIR, p. 153.
- 2^e article des antennes aplati, s'élargissant ou s'amincissant vers l'apex, avec ou sans étranglement médian 5
5. 2^e article des antennes grand, large, aplati et étranglé au milieu. Pas de processus sous-antennaires. Elytres ocre, brunâtres sur le $\frac{1}{3}$ basal de la cellule costale et sur leur $\frac{1}{3}$ apical; nervures brunes sur les parties foncées, blanches à l'apex du clavus et des nervures longitudinales; bord costal brun à la base, jaunâtre au milieu et rouge vif depuis peu avant l'angle apical jusqu'au milieu du bord apical *P. pattersoni* MUIR, p. 156.
- 2^e article des antennes sans étranglement médian 6
6. 2^e article des antennes triangulaire, large à la base, se terminant en pointe. Elytres bruns, à nervures plus foncées sauf à la base et à l'apex où elles sont concolores *P. kivuensis* n. sp., p. 156.
- 2^e article des antennes aplati, s'élargissant vers l'apex qui est tronqué, 1,5 fois plus long que large. Elytres brunâtres, à fortes nervures brun foncé, légèrement plus pâles à l'apex; nervure costale brune, devenant rouge à partir du milieu *P. eloeidis* MUIR, p. 157.

1. — *Patara apicemaculata* SYNAVE.

(Fig. 344-347.)

SYNAVE, H., 1971, Bull. Inst. roy. Sci. Nat. Belg., t. 47, fasc. 39, p. 14, fig. 25-28.

Front ocre, lamellaire, à bords latéraux étroitement accolés jusque peu avant le clypéus où ils divergent; vu de profil, il est légèrement saillant, arrondi au-devant des yeux et prolonge directement le vertex en une courbe régulière. Antennes ocre; 2^e article ovalaire, un peu plus de 2 fois plus long que large, terminé en pointe. Processus sous-antennaires présents mais peu développés; leur longueur dépasse de peu la $\frac{1}{2}$ de celle du 2^e article antennaire. Vertex court, triangulaire; ses bords latéraux se soudent à l'avant et prolongent ceux du front. Pronotum jaunâtre; bord postérieur caréné, largement et anguleusement échancré; carène médiane saillante de même que les latérales sur les épaules; plaques pectorales relevées. Scutellum ocre, convexe, tricaréné. Elytres hyalins jaunâtre, à bords et nervures ocre jaune, avec 1 tache noire dans la cellule apicale médiane, non loin du bord apical; bifurcation *Sc+R* vers le $\frac{1}{3}$ basal; *M* partant du tronc commun *Sc+R* peu après la base; bifurcation de *Cu* après le milieu de l'élytre, loin après celle de *Sc+R*; clavus long, dépassant nettement le milieu de l'élytre;

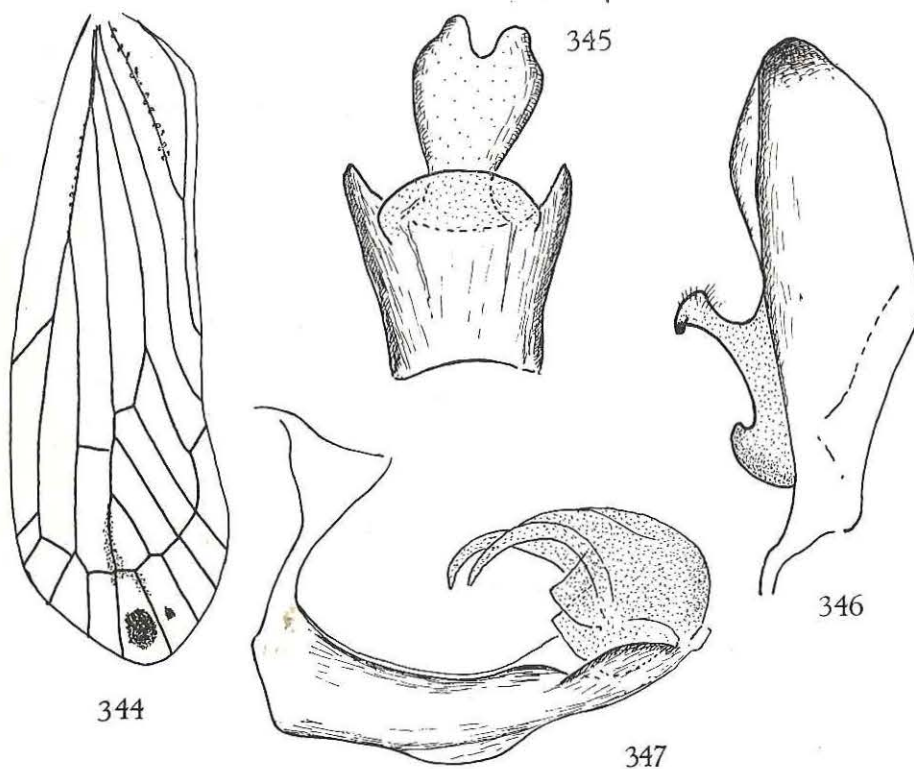


FIG. 344-347. — *Patara apicemaculata* SYNAVE.
 344: Elytre; 345: Tube anal; 346: Paramère; 347: Edéage, vue latéro-ventrale gauche.

nervures clavales réunies vers le milieu du clavus, leur tronc commun rejoignant le bord sutural avant l'apex; *CII* granulée; *M* bifurquée peu après l'apex du clavus (fig. 344). Pattes ocre. Genitalia ♂, voir figures 345-347.

Longueur totale: env. 4,5 mm.

Distribution. — Nigeria.

Institut royal des Sciences naturelles de Belgique:

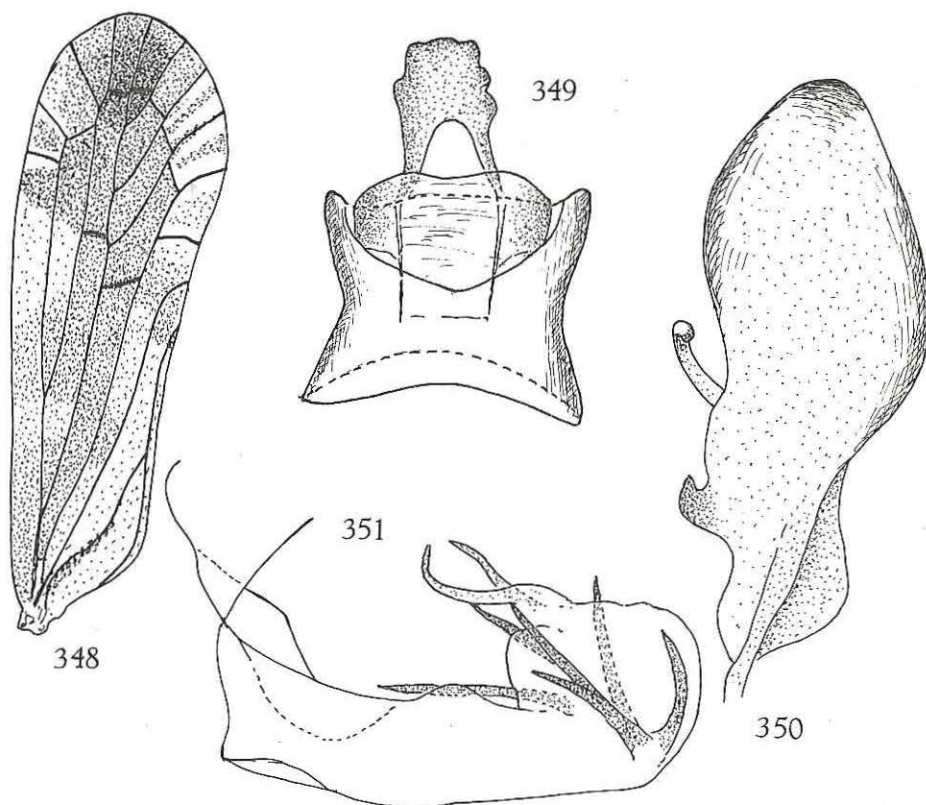
2 ex.: Nigeria, Idanre, W. State, 2 May 1970 (Type et Paratype).

2. — *Patara nigeriensis* SYNAVE.

(Fig. 348-351.)

SYNAVE, H., 1971, Bull. Inst. roy. Sci. Nat. Belg., t. 47, fasc. 39, p. 15, fig. 29-32

Front ocre, lamellaire, à bords latéraux étroitement accolés jusque peu avant la suture clypéo-frontale où ils divergent; vu de profil, il est convexe et moyennement saillant au-devant des yeux. 2^e article des antennes jaune ou brunâtre, près de 2 fois plus long que large, s'élargissant progressivement sur l'apex; pas de processus sous-antennaire. Vertex blanchâtre; court, à bords latéraux conver-

FIG. 348-351. — *Patara nigeriensis* SYNAVE.

348 : Elytre; 349 : Tube anal; 350 : Paramère; 351 : Edéage, vue latéro-ventrale gauche.

gents vers l'avant où ils se rejoignent et prolongent directement ceux du front. Pronotum brun, à carène médiane saillante. Scutellum brun, sauf l'angle apical qui est jaune; convexe, tricaréné. Elytres hyalins jaunâtres, environ 3 fois plus longs que larges, avec une bande longitudinale brune, irrégulière depuis la base

jusqu'à l'apex (fig. 348); nervures concolores; transversales brunes ennuagées de brun foncé; bifurcation *Sc+R* vers le $\frac{1}{3}$ basal; *M* partant du tronc commun *Sc+R* non loin de la cellule basale; bifurcation de *Cu* vers le $\frac{1}{3}$ apical; bifurcation de *M* peu après l'apex du clavus; clavus long, dépassant nettement le milieu de l'élytre; nervures clavales réunies vers le milieu du clavus, leur tronc commun rejoignant le bord sutural avant l'apex; *CII* granulée (fig. 348). Pattes blanc jaunâtre. Genitalia ♂, voir figures 349-351.

Longueur totale: env. 4 mm.

Distribution. — Nigeria.

Institut royal des Sciences naturelles de Belgique:

2 ex.: Nigeria, Ile-Ife, 4 Nov. 1968 (Type et Paratype).

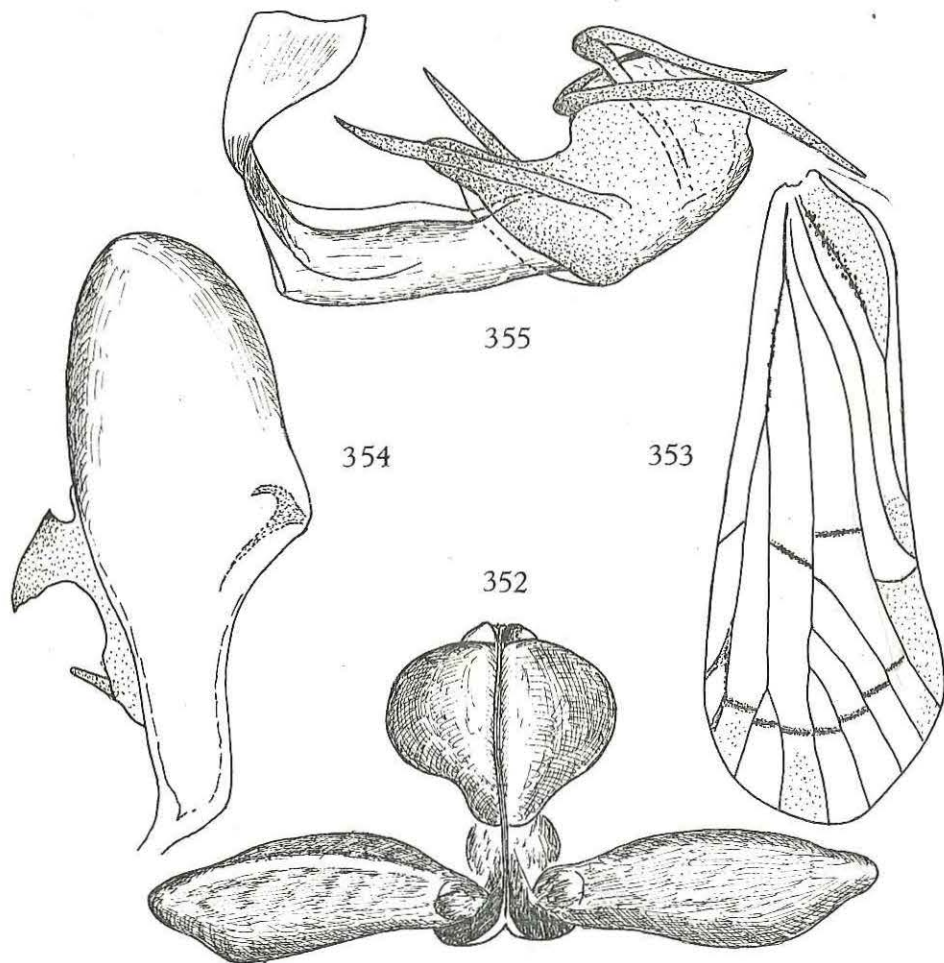
3. — *Patara lootensi* n. sp.

(Fig. 352-355.)

Front linéaire, à bords latéraux étroitement accolés entre les yeux (fig. 352), vu de profil, il est convexe et à peine saillant au-devant des yeux; passage vers le vertex en courbe régulière. Vertex triangulaire, brun, à bords et carène médiane jaunâtres; bord postérieur anguleusement échancré. Pronotum ocre, à bord postérieur largement échancré et carène médiane nette. Scutellum brun foncé, tricaréné. Antennes brunes; très longues et, vues de dessus, dépassant de chaque côté l'insertion des élytres; 2^e article très développé, ovalaire, fortement aplati, environ 3 fois plus long que large, se terminant en pointe arrondie. Pas de processus sous-antennaires. Tegulae ocre. Elytres plus de 2,5 fois plus longs que larges, hyalins, très légèrement brunâtres, avec quelques faibles marques plus foncées, notamment entre les nervures clavales, après l'apex du clavus et sur certaines cellules apicales; nervures concolores sauf les transversales qui sont brunes, ennuagées de brun; bifurcation *Sc+R* vers le $\frac{1}{3}$ basal de l'élytre, leur tronc commun avec quelques granules; bifurcation de *M* et *Cu* à peu près au niveau de l'apex du clavus; *M* avec 3 secteurs donc 4 branches atteignant le bord de l'élytre; branche externe de *Cu* atteignant le bord apical; nervures clavales réunies à peu près au milieu du clavus; *CII* fortement granulée (fig. 353). Pattes ocre brunâtre. Genitalia ♂, voir figures 354 et 355.

Longueur de l'élytre: 3,5 mm.

Holotype ♂: Tschuapa: Ikela, 1965, R.P. LOOTENS (Musée Royal de l'Afrique Centrale).

FIG. 352-355. — *Patara lootensi* n. sp.

352 : Tête, vue de face; 353 : Elytre; 354 : Paramère; 355 : Edéage, vue latéro-ventrale gauche.

4. — *Patara hargreavesi* MUIR.

(Fig. 356-360.)

MUIR, F., 1930, Ann. Mag. Nat. Hist. (10), 5, p. 82, fig. 4, 5.

Front brun foncé, linéaire, à bords latéraux étroitement accolés jusque peu avant l'apex où ils divergent. Clypéus jaune. 2^e article des antennes cylindrique se terminant en pointe, environ 3 fois plus long que large; dirigé vers le haut, il atteint presque le bord inférieur de l'œil (fig. 356); faible processus sous-antennaire présent. Rostre jaune. Yeux allongés, à bord inférieur très profondément et largement échancré. Vertex brun foncé, triangulaire, à bords latéraux

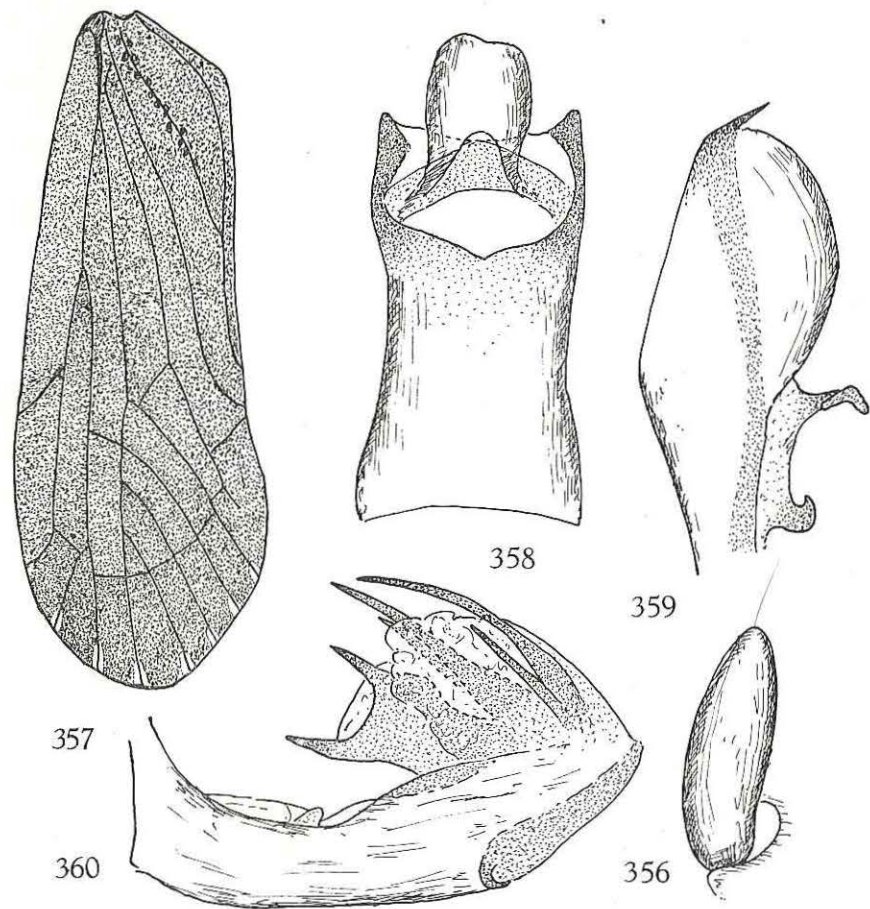


FIG. 356-360. — *Patara hargreavesi* MUIR.

356 : Antenne; 357 : Elytre; 358 : Tube anal, vue dorsale; 359 : Paramère; 360 : Edéage, vue latéro-ventrale gauche.

convergens vers l'avant où ils se prolongent directement par ceux du front; carène médiane longitudinale très nette. Pronotum brun foncé, à bord postérieur anguleusement échancré, à carènes saillantes. Scutellum brun foncé, avec 3 carènes dont les latérales sont convergentes vers l'arrière. Elytres brun foncé; nervures épaisses, brun-rouge foncé, devenant rougeâtres sur le $\frac{1}{3}$ apical; bord costal rouge vif à partir du stigma; bords apical et sutural rouges; 1 petite tache hyaline, blanchâtre, sur l'apex des nervures (n'existent pas sur les paratypes ♀); bifurcation *Sc+R* peu après le $\frac{1}{3}$ basal de l'élytre, *M* avec 3 ou 4 secteurs (¹); *Cu* avec 2 branches dont l'interne rejoint la ligne apicale de nervures transversales;

(¹) Sur le type, l'élytre gauche en présente 3; l'élytre droit, 4.

C11 et *C12* réunies vers le milieu du clavus, leur tronc commun rejoint le bord sutural peu avant l'apex du clavus (fig. 357). Ailes hyalines, brunes, plus foncées à l'apex et sur le lobe anal; bords et nervures rougeâtres. Pattes jaunâtres, teintées de rouge. Genitalia ♂, voir figures 358-360. Plaque subgénitale de la ♀ plus ou moins triangulaire, les 2 côtés latéraux légèrement sinués.

Longueur: env. 11 mm.

Distribution. — Sierra Leone (Type). Congo (Léop.).

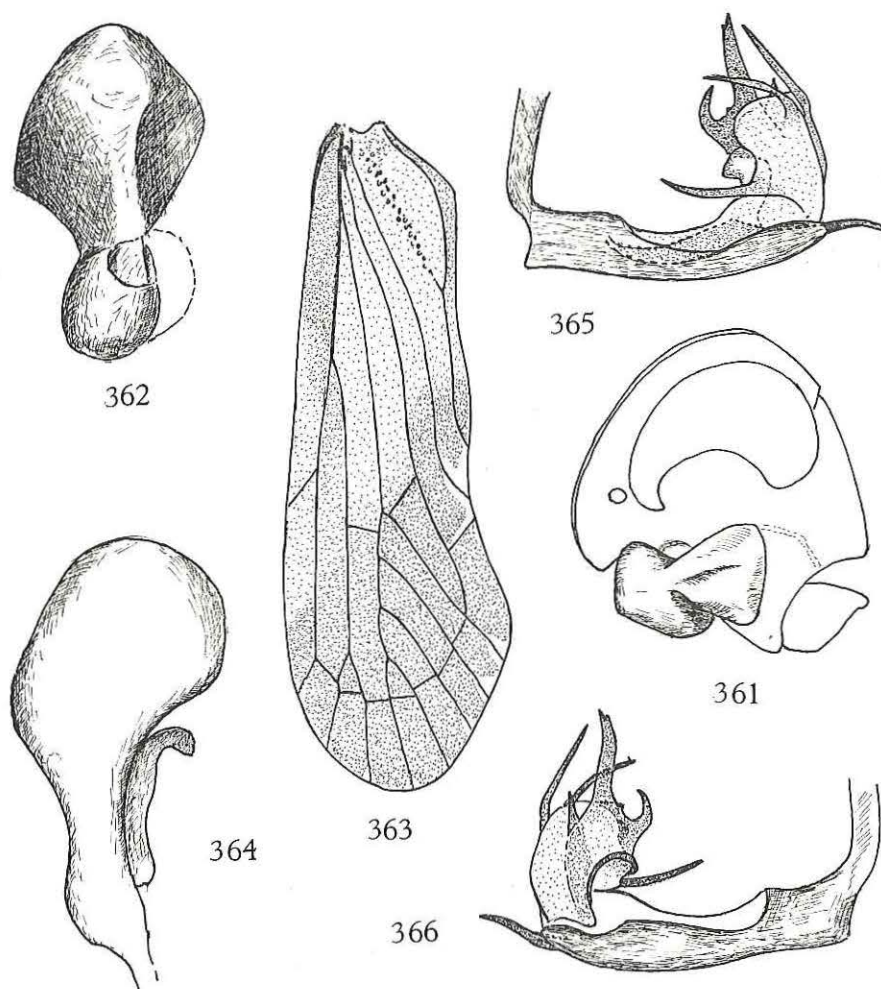


FIG. 361-366. — *Patara pattersoni* MUIR.

361: Tête, vue de profil; 362: Antenne; 363: Elytre; 364: Paramère; 365: Edéage, vue latéro-ventrale gauche; 366: Idem, vue latéro-ventrale droite.

5. — *Patara pattersoni* MUIR.

(Fig. 361-366.)

MUIR, F., 1918, Entom. Monthl. Mag., 54, p. 233.

Front brun, linéaire, à bords latéraux étroitement accolés sur toute leur longueur; vu de profil, il est convexe, légèrement saillant au-devant des yeux; le passage vers le vertex se fait en une courbe régulière (fig. 361). Vertex ocre, triangulaire, à bords latéraux fortement relevés, convergents vers l'apex où ils se rejoignent, s'accolent et prolongent directement ceux du front; apex dépassant à peine la $\frac{1}{2}$ de la longueur des yeux; bord postérieur anguleusement échancré; carène médiane nette, saillante. Pronotum brun, à carène médiane et bord postérieur jaunâtres. Scutellum brun, tricaréné; jaunâtre au milieu, entre les carènes. 2^e article des antennes brun foncé, grand, large, aplati et étranglé au milieu (voir fig. 362). Pas de processus sous-antennaires. Clypéus jaune. Tergites abdominaux brunâtres, sternites jaunâtres. Elytres hyalins, ocre, brunâtres sur le $\frac{1}{3}$ basal de la cellule costale et sur leur $\frac{1}{3}$ apical; nervures brunes sur les parties foncées, blanches à l'apex du clavus et des nervures longitudinales; bord costal brun à la base, jaunâtre au milieu et rouge vif depuis peu avant l'angle apical jusqu'au milieu du bord apical; bifurcation *Sc + R* vers le $\frac{1}{3}$ basal, *M* et *Cu* bifurqués peu après l'apex du clavus, *M* avec 4 secteurs, donc 5 branches atteignant le bord de l'élytre, *Cu* avec 2 branches dont l'externe rejoint la ligne de transverses apicales (fig. 363). Pattes jaunes. Genitalia ♂, voir figures 364-366.

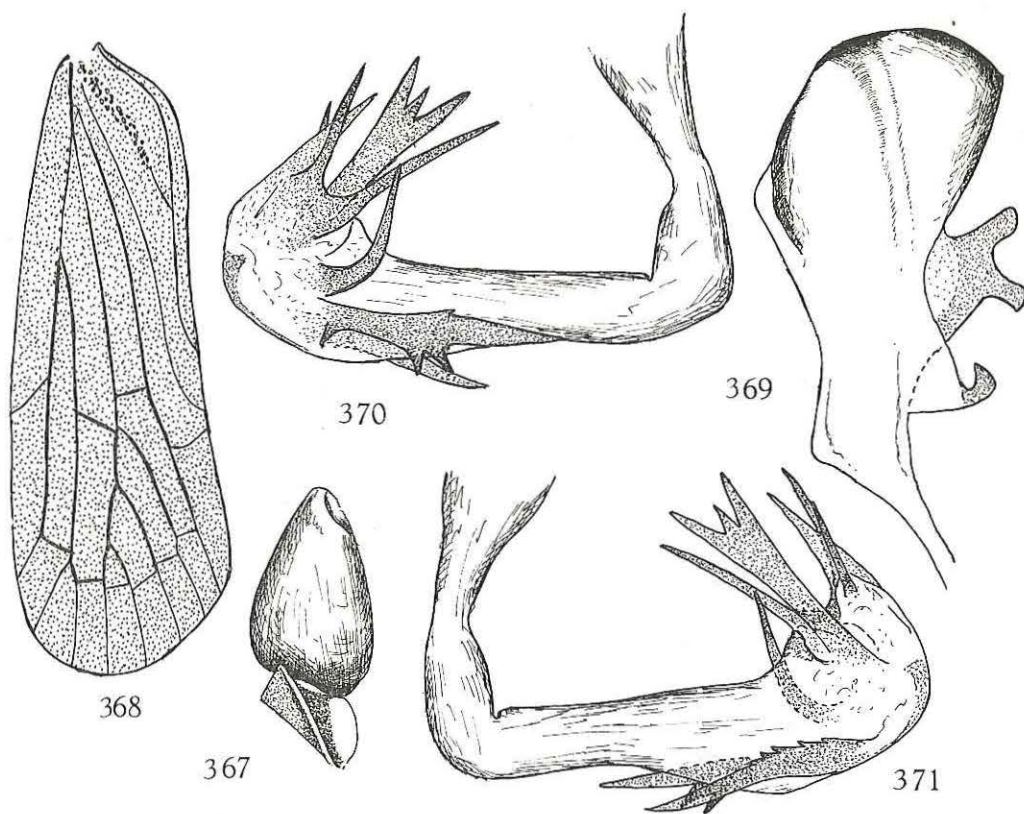
Longueur totale: env. 4 mm.

Distribution. — Côte d'Or.

6. — *Patara kivuensis* n. sp.

(Fig. 367-371.)

Front linéaire, brun, à bords latéraux étroitement accolés jusque peu avant l'apex; vu de profil, il est légèrement saillant au-devant des yeux et prolonge le vertex en une courbe régulière. Antennes brunes; 2^e article dépassant le front, large, aplati; de forme plus ou moins triangulaire, il est large à la base et se termine en pointe (fig. 367). Processus sous-antennaires présents mais peu développés. Vertex brun, triangulaire, à bords latéraux relevés se rejoignant vers l'avant où ils se prolongent directement par ceux du front; bord postérieur anguleusement échancré; carène médiane nette. Pronotum brun foncé, à carènes nettes. Scutellum brun foncé, nettement tricaréné. Elytres hyalins, bruns, à nervures plus foncées sauf à la base et à l'apex où elles sont concolores; bifurcation *Sc + R* vers le $\frac{1}{3}$ basal de l'élytre, bifurcations de *M* et de *Cu* après l'apex du clavus, nervures clavales réunies avant le milieu du clavus, leur tronc commun rejoignant le bord commisural avant l'apex; *M* avec 3 secteurs simples, donc 4 branches atteignant le bord de l'élytre; *Cu* avec 2 branches dont l'externe est droite et

FIG. 367-371. — *Patara kivuensis* MUIR. n. sp.

367: Antenne; 368: Elytre; 369: Paramère; 370: Edéage, vue latéro-ventrale droite;
371: Idem, vue latéro-ventrale gauche.

atteint le bord apical (fig. 368). Ailes presque aussi longues que les élytres. Pattes et rostre jaunâtres. Genitalia ♂, voir figures 369-371.

Longueur: env. 5 mm.

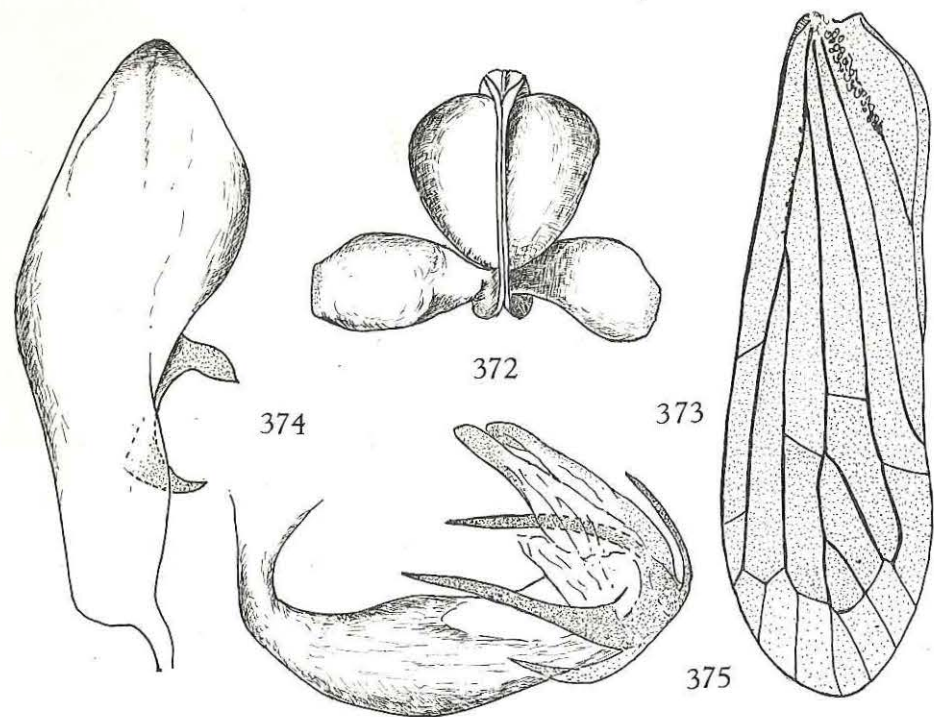
Holotype ♂: Congo Belge: Kivu, près de Rumangabo, 5.X.1953, J. VERBEKE, KEA (Institut royal des Sciences naturelles de Belgique).

7. — *Patara elocidis* MUIR.

(Fig. 372-375.)

MUIR, F., 1930, Ann. Mag. Nat. Hist. (10), 5, p. 83, fig. 6.

Front ocre, à bords latéraux étroitement accolés jusque peu avant l'apex; vu de profil, il est régulièrement convexe et légèrement saillant au-devant des yeux. 2^e article des antennes jaunâtre, très développé, aplati, environ 1 1/2 fois plus

FIG. 372-375. — *Patara eloeidis* MUIR.

372 : Tête, vue de face; 373 : Elytre; 374 : Paramère; 375 : Édéage, vue latéro-ventrale gauche.

long que large (voir fig. 372). Vertex ocre, triangulaire, à bords latéraux relevés convergents vers l'apex où ils se rejoignent et prolongent ceux du front en une courbe régulière; carène nette. Pronotum blanc jaunâtre, plus foncé en arrière, à bord postérieur très profondément et anguleusement échancré. Scutellum tricaréné, brun, plus clair au milieu entre les carènes. Elytres hyalins, brunâtres, à fortes nervures brun foncé, légèrement plus pâles à l'apex; nervure costale brune, devenant rouge à partir du milieu; nervures clavales réunies vers le milieu du clavus qui est fermé; bifurcation *Sc + R* vers le $\frac{1}{3}$ basal, celle de *Cu* après l'apex du clavus; *M* avec 3 secteurs, donc 4 branches atteignant le bord de l'élytre; *Cu* avec 2 branches dont l'externe rejoint la ligne apicale des nervures transversales (fig. 373). Ailes légèrement fumées, presque aussi longues que les élytres. Face inférieure du thorax jaune, avec 1 petite tache ronde, noire, contre les hanches postérieures. Pattes antérieures brunes, postérieures jaunes. Abdomen rougeâtre, genitalia brun foncé. Genitalia ♂, voir figures 374 et 375.

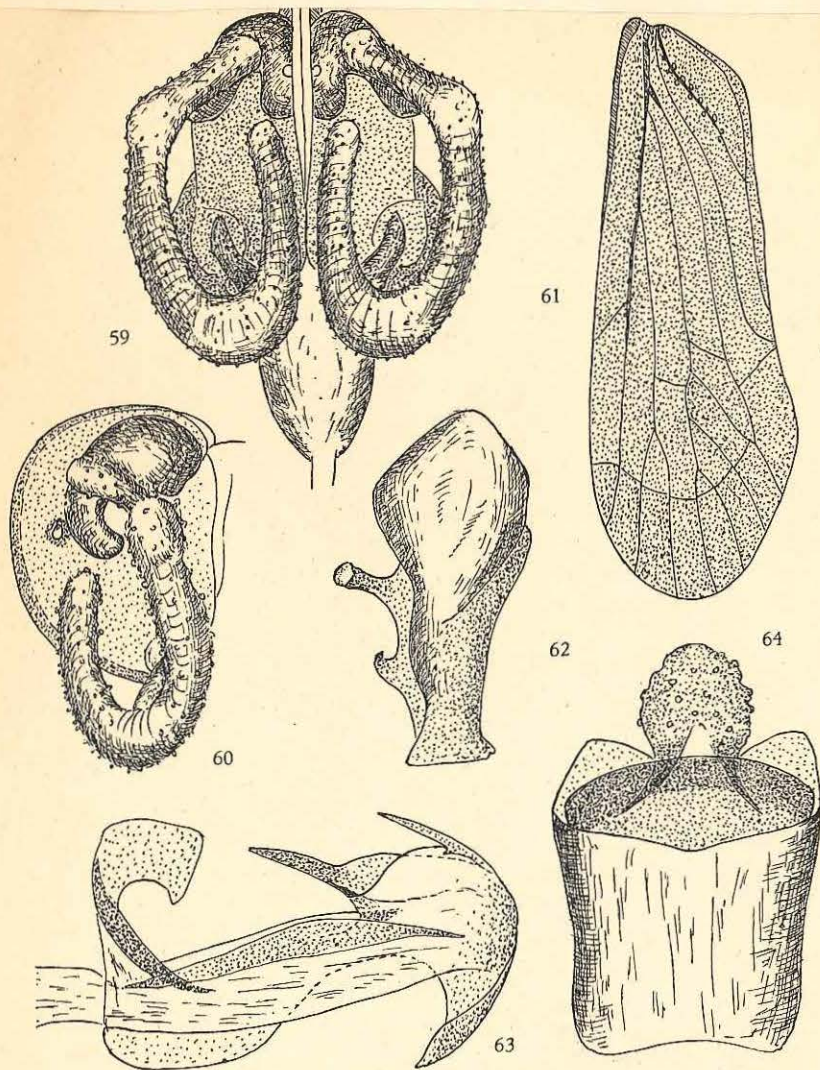
Longueur totale : env. 3,5 mm.

Distribution. — Sierra Leone.

Patara monstruosa n. sp.

(Fig. 59 à 64)

Vertex, pronotum et scutellum, brun foncé. Faces latérales et ventrale du thorax ainsi que l'insertion des ailes et des élytres, rouges. Abdomen brun noir; bord externe des sternites et connexivum, rouges. Antennes

Fig. 59 à 64. — *Patara monstruosa* n. sp.

59 : tête, vue de face; 60 : idem, vue de profil; 61 : élytre; 62 : paramère; 63 : édéage, vue latéro-ventrale gauche; 64 : tube anal, vue dorsale.

brunes, 2d article hypertrophié, consistant en une sorte de boudin formant, vu de face, un ovale presque complet, ouvert vers le haut et l'intérieur (voir fig 59, 60). Clypeus brun. Rostre blanc jaunâtre. Pattes blanc jaunâtre; dernier article des tarsi teinté de rouge. Elytres brun foncé, bords costal et sutural rouges; bifurcation $Sc + R$ vers le $\frac{1}{3}$ basal de

l'élytre; bifurcation de *M* peu après l'apex du clavus; branche externe de *Cu* rejoignant les transversales apicales (fig. 61).

Genitalia ♂, voir fig. 62 à 64. Longueur totale : env. 4 mm.

Cette espèce se distingue nettement des autres par la forme et les dimensions des antennes.

Holotype ♂. — Nigeria, Ile-Ife, W. State, VI-1973, J. T. MEDLER (Institut royal des Sciences naturelles de Belgique).

Paratypes 2 ♂♂. — Même localité (Institut royal des Sciences naturelles de Belgique).

2. — *Patara quadrispinosa* n. sp.
(Fig. 65 à 68)

Vertex, pronotum et scutellum blanc jaunâtre à ocre. Pattes blanches sauf les tibias antérieurs qui sont bruns. 2d article des antennes environ 3 fois plus long que large, cylindrique. Elytres hyalins, clairs, devenant brunâtres à partir du milieu; les nervures, concolores, sont peu nettes sauf sur la partie apicale où elles sont soulignées de brun; bifurcation *Sc + R* vers le milieu de l'élytre, *M* bifurquée peu avant le 1/3 apical; branche externe de *Cu* rejoignant la série apicale de nervures transversales (fig. 65).

Genitalia ♂, voir fig. 66 à 68. L'édéage présente 4 épines dont trois apicales dirigées vers le haut et une quatrième, également dirigée vers le haut et située vers le milieu de la face latéro-ventrale gauche. Longueur totale : env. 3,5 mm.

Holotype ♂. — Nigeria, Ile-Ife, W. State, VI-1973, J. T. MEDLER (Institut royal des Sciences naturelles de Belgique).

Paratypes 1 ♂, 1 ♀. — Même localité (Institut royal des Sciences naturelles de Belgique).

Patara costalis n. sp.
(Fig. 69 à 72)

Vertex, clypéus et rostre, blancs. Front, antennes et pronotum, bruns. Scutellum ocre brunâtre. Face ventrale de l'abdomen blanchâtre, genitalia bruns. Pattes blanches. 2d article des antennes cylindrique, environ 2,5 fois plus longs que larges. Elytres bruns, à nervures plus foncées, avec marques blanchâtres se répartissant comme suit : une grande tache costale triangulaire après la bifurcation *Sc + R*, une petite tache à l'apex des nervures longitudinales, une tache entre le tronc commun *Cl 1 Cl 2* et le milieu du bord sutural, une petite tache à l'apex du clavus; la tache

10/8

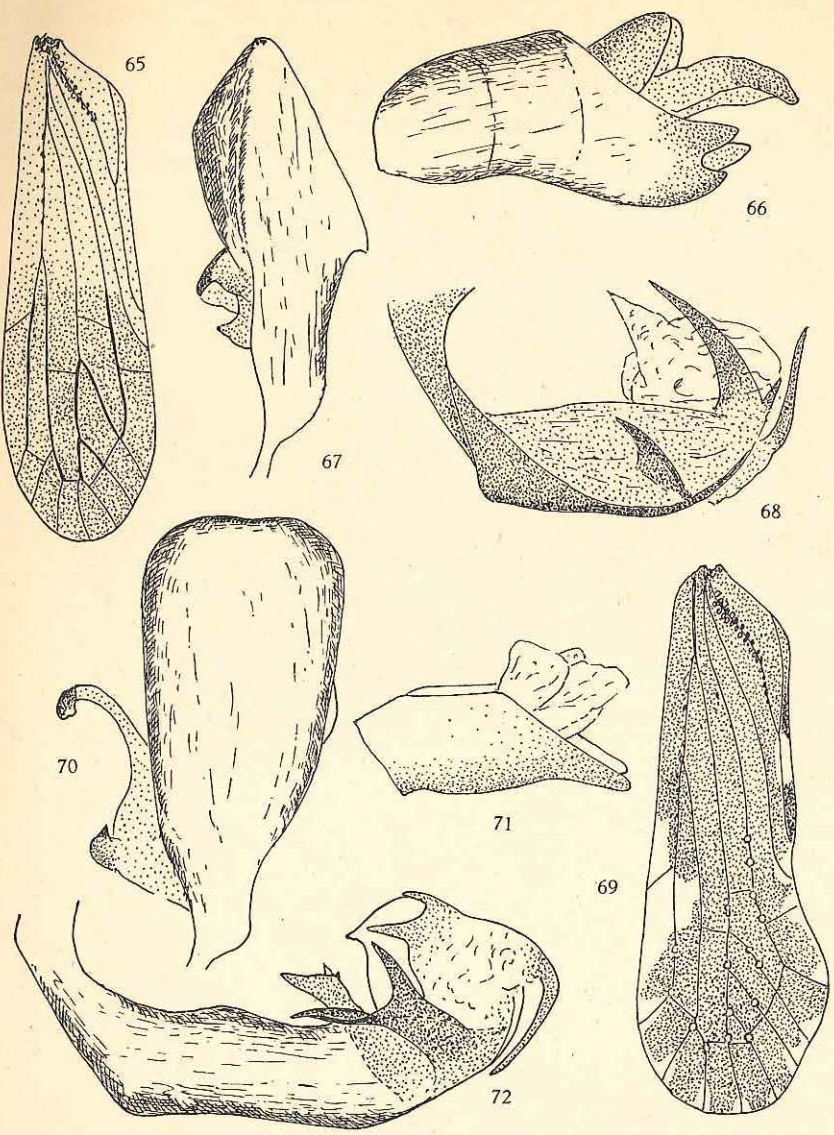


Fig. 65 à 68. — *Patara quadrispinosa* n. sp.

65 : élytre; 66 : tube anal, vue latéro-ventrale gauche; 67 : paramère; 68 : édéage, vue latéro-ventrale gauche.

Fig. 69 à 72. — *Patara costalis* n. sp.

69 : élytre; 70 : paramère; 71 : tube anal, vue latéro-ventrale gauche; 72 : édéage, vue latéro-ventrale gauche.

ka

94

blanche du bord sutural est limitée vers l'extérieur et l'intérieur par une tache brun foncé; bifurcation *Sc + R* sur le $\frac{1}{3}$ basal de l'élytre, nervures clavales réunies vers le milieu du clavus; branche externe de *Cu* rejoignant le bord apical (fig. 69).

Genitalia ♂, voir fig. 70 à 72. Longueur totale: env. 4 mm.

La grande tache costale blanchâtre des élytres caractérise cette espèce. Caractéristiques sont également de petites taches punctiformes claires sur *Cu* et les secteurs de *M* mais elles ne s'observent que difficilement sauf par transparence; elles sont nettement visibles sur les exemplaires conservés en alcool ou sur les élytres montés en préparation microscopique.

Holotype ♂. — Nigeria, Ile-Ife, W. State, VI-1973, J. T. MEDLER (Institut royal des Sciences naturelles de Belgique).

Paratypes 18 ♂♂ et ♀♀. — Même localité (Institut royal des Sciences naturelles de Belgique).

4. — *Patara radiata* n. sp.

(Fig. 73 à 76)

Vertex, pronotum et scutellum blanchâtres. Plaques pectorales du pronotum brun foncé, à bord inférieur blanc. Antennes jaunâtres, 2d article environ 2 fois plus long que large. Elytres brun foncé sauf les cellules apicales qui sont blanches avec une strie longitudinale brune sur leur milieu; 2 taches blanches dans la cellule costale et une petite tache brun foncé dans l'angle sutural au niveau des nervures transversales; bifurcation *Sc + R* vers le $\frac{1}{3}$ basal de l'élytre, *M* avec 4 secteurs dont le 1^{er} n'atteint pas le bord apical et, de même que la branche externe de *Cu*, rejoint la série apicale de nervures transversales (fig. 73). Pattes blanches.

Genitalia ♂, voir fig. 74 à 76. Longueur totale: env. 3,5 mm.

Le dessin pigmentaire des élytres caractérise cette espèce.

Holotype ♂. — Nigeria, Ile-Ife, W. State, VI-1973, J. T. MEDLER (Institut royal des Sciences naturelles de Belgique).

1 Paratype ♂. — Même localité (Institut royal des Sciences naturelles de Belgique).

5. — *Patara hyalina* n. sp.

(Fig. 77 à 81)

Coloration générale blanc jaunâtre. Une strie transversale brun foncé sur les faces latérales de la tête, se prolongeant sur la poitrine. Pattes blanchâtres. 2d article des antennes pyriforme, élargi vers l'apex, environ 1,5 fois plus long que large (voir fig. 78). Une étroite bande brune sur les

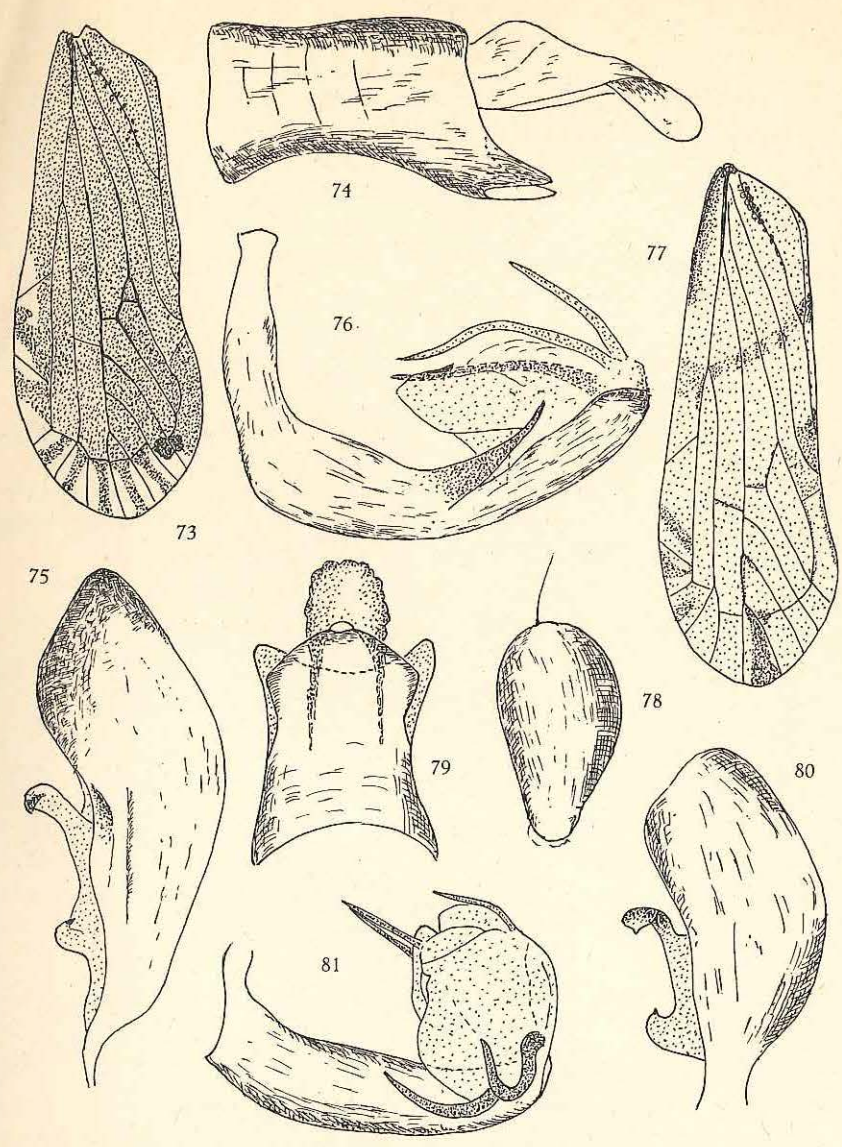


Fig. 73 à 76. — *Patara radiata* n. sp.

73 : élytre; 74 : tube anal, vue latéro-ventrale gauche; 75 : paramère; 76 : édéage, vue latéro-ventrale gauche.

Fig. 77 à 81. — *Patara hyalina* n. sp.

77 : élytre; 78 : antenne; 79 : tube anal, vue dorsale; 80 : paramère; 81 : édéage, vue latéro-ventrale gauche.

épaules, entre l'œil et la tegula qu'elle recouvre; elle se prolonge sur le 1/4 basal du bord costal de l'élytre. Elytres hyaline, blanchâtres, avec quelques marques brunes se répartissant comme suit : outre le tronçon basal le long du bord costal, une étroite bande transversale oblique, plus ou moins nette, entre la réunion des nervures clavales et la bifurcation $Sc + R$, la pointe du clavus, 4 taches triangulaires apicales dont 3 à l'apex des cellules costale et sous-costale et 1 plus foncée sur la 1^{re} cellule apicale délimitée par les branches de M ; bifurcation $Sc + R$ peu avant le milieu de l'élytre, $Cl 1$ et $Cl 2$ réunies peu après le milieu du clavus, branche externe de Cu rejoignant la série de transversales apicales (fig. 77).

Genitalia ♂, voir fig. 79 à 81. Longueur totale : env. 4 mm.

Espèce caractérisée par la strie brune sur les faces latérales de la tête ainsi que par la bande brune sur les épaules.

Holotype ♂. — Nigeria, Ile-Ife, W. State, VI-1973, J. T. MEDLER (Institut royal des Sciences naturelles de Belgique).

Paratypes 2 ♂♂, 1 ♀. — Même localité (Institut royal des Sciences naturelles de Belgique).

6. — *Patara trispinosa* n. sp.

(Fig. 82 à 86)

Coloration générale ocre à brun; bord postérieur des segments abdominaux et connexivum, rouges. Antennes longues, dépassant fortement le bord antérieur des yeux, 2^d article environ 5 fois plus long que large (fig. 83) (les déformations causées par la dessiccation rendent ce rapport variable). Elytres hyalins, légèrement jaunâtres, nervures brunâtres; bifurcation $Sc + R$ vers le 1/3 basal de l'élytre, celle de M vers le milieu; branche externe de Cu rejoignant la série apicale de nervures transversales (fig. 82).

Genitalia ♂, voir fig. 84 à 86. L'édéage présente 3 épines apicales dont deux, situées côte à côte et dirigées vers le haut, et une troisième, plus mince, dirigée vers l'arrière. Longueur totale : env. 3,5 mm.

L'espèce est caractérisée par la longueur relative des antennes, la coloration uniformément pâle des élytres et surtout par les genitalia ♂.

Holotype ♂. — Nigeria, Ile-Ife, W. State, VI-1973, J. T. MEDLER (Institut royal des Sciences naturelles de Belgique).

Paratypes 50 ♂♂ et ♀♀. — Même localité (Institut royal des Sciences naturelles de Belgique).

3. — AMANIA gen. n.

27

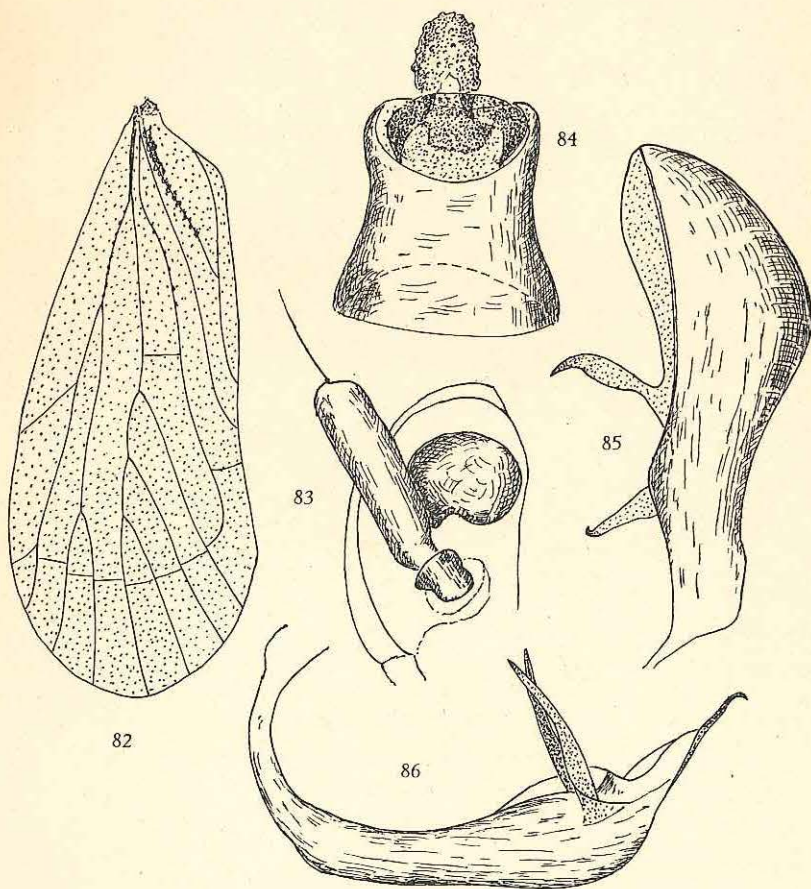


Fig. 82 à 86. — *Patara trispinosa* n. sp.

82 : élytre; 83 : tête, vue de profil; 84 : tube anal, vue dorsale; 85 : paramère; 86 :
édéage, vue latéro-ventrale gauche.

(*) Ann. Mag. Nat. Hist., 1926, (9), 18, p. 228.

(*) Trans. Roy. Ent. Soc. Lond., 1952, pl. 103, p. 4, p. 127.

3. — *AMANIA* gen. n.

Front non caréné au milieu, à bords latéraux relevés, étroitement accolés depuis la base jusqu'au bord inférieur des yeux, ensuite fortement divergents vers l'apex (fig. 376). Processus sous-antennaires présents. 2^e article des antennes court, à peine plus long que large. Vertex triangulaire, à bords latéraux relevés se rejoignant à l'avant et se prolongeant directement par ceux du front. Pronotum environ 5 fois plus large entre les épaules, que long au milieu; carènes médiane et latérale nettes, saillantes. Scutellum avec 3 carènes nettes. Elytres environ 2,5 fois plus longs que larges; clavus fermé; nervures clavales se réunissant après le milieu du clavus, leur tronc commun rejoignant l'apex; cellule costale large, environ 2 fois plus large que la sous-costale, avec 3 nervures transversales entre *Sc* et le bord costal, dont la 1^{re} se trouve peu après la bifurcation *Sc + R*; cellule sous-costale longue et étroite; bifurcations de *Cu* et *Sc + R* à peu près au même niveau, et peu après la réunion des nervures clavales; *M* bifurquée nettement après les précédentes, avec 4 secteurs atteignant le bord de l'élytre; *Cu* avec 2 branches atteignant le bord sutural.

E s p è c e - t y p e : *Lamenia angustifrons* MÉLICHAR.

Amania angustifrons (MÉLICHAR) Comb. nov.

(Fig. 376 et 377.)

MÉLICHAR, L., 1905, Wien. Ent. Zeit., 24, p. 285 *Lamenia*.

MUIR, F., 1926, Ann. Mag. Nat. Hist. (9), 18, p. 228 *Cedusa*.

Décrite dans le genre *Lamenia* par MÉLICHAR et placée ensuite dans le genre *Cedusa* par MUIR, cette espèce ne peut appartenir à aucun des genres précités. La nervulation des élytres est tout à fait différente, de même que la morphologie de la tête et du front. En ce qui concerne ce dernier, MUIR (8) écrit qu'il est muni d'une carène longitudinale. Or, le seul syntype dont la tête n'a pas disparu, ne présente pas de carène frontale (fig. 376).

La table dichotomique établie par FENNAH (9) conduit à *Dawnarioides* DOZIER ou à *Paraphenice* MUIR suivant que l'on considère le front comme ayant des carènes contiguës ou non. Mais encore une fois, les caractères morphologiques et surtout élytraux ne permettent pas de placer *angustifrons* dans aucun des 2 genres précités. En conséquence, nous croyons devoir établir pour cette espèce un genre nouveau, dont les caractères principaux sont énoncés plus haut.

Tête, pronotum, scutellum, abdomen et pattes ocre jaune sale. Elytres et ailes blanchâtres à nervures incolores; sur les premiers, une très faible bande transversale brunâtre, à peine visible, rejoint obliquement l'apex du clavus à la 3^e transversale de la cellule costale en passant par la bifurcation de *M* (tellement

(8) Ann. Mag. Nat. Hist., 1926, (9), 18, p. 228.

(9) Trans. Roy. Ent. Soc. Lond., 1952, pl. 103, p. 4, p. 127.

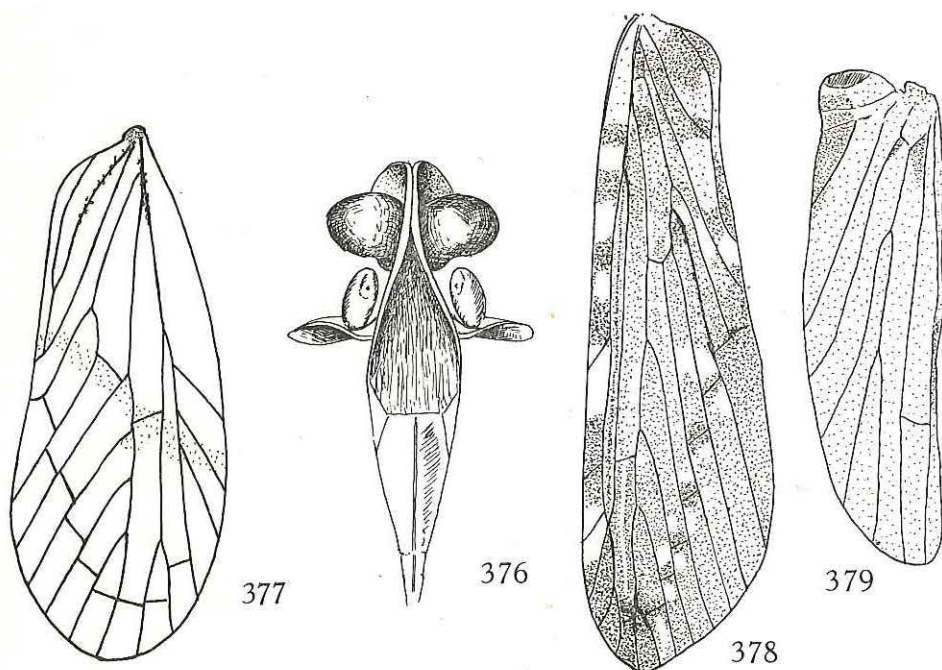


FIG. 376 et 377. — *Amania angustifrons* (MÉLICHAR).
376 : Tête, vue de face; 377 : Elytre.

FIG. 378 et 379. — *Paraphenice squamifer* (HESSE).
- 378 : Elytre; 379 : Aile.

peu nette qu'elle n'est pas mentionnée dans la description originale) (fig. 377).
Longueur totale : 5 à 6 mm.

La série typique qui nous a été communiquée par le Musée de Brno, comprend 3 Syntypes portant l'étiquette de localité « Amani, Bomole » et « Amani, Monga ». Nous désignons comme Lectotype, un exemplaire de Bomole qui est le seul d'entre eux dont la tête soit présente et dont les élytres soient utilisables. Les 2 autres spécimens sont en mauvais état et l'un d'eux (probablement ♂) n'a plus d'abdomen.

4. — Genre **PARAPHENICE** MUIR.

MUIR, F., 1924, Proc. Ent. Soc. Washingt., 26, p. 18.

Ce genre, proche de *Phenice* WESTWOOD, s'en distingue principalement par la présence de processus sous-antennaires développés et des antennes proportionnellement plus courtes. Les caractères principaux en sont les suivants :

Vertex triangulaire, étroit, à base profondément échancrée, plus long que large à la base. Front beaucoup plus long que large, à bords latéraux non accolés,

ajoute : ~~*P. matthei* (Syntype)~~ *P. nigricornis* Sympson
~~*P. sp.*~~

sans carène médiane. Antennes relativement courtes et épaisses; 2^e article globuleux, environ 1 1/2 fois plus long que large (et non 2 fois comme l'écrit DISTANT dans sa description originale). Processus sous-antennaires développés. Pronotum beaucoup plus court, au milieu, que latéralement; plaques pectorales non relevées et carènes non dilatées, ne formant pas de coupelle avec le processus sous-antennaire. Sur les élytres, *Cu* avec 2 branches dont l'interne se termine à la nervure transversale située après l'apex du clavus et n'atteint donc pas le bord apical; cellules sous-costale et radiale longues et étroites; bifurcation *Sc+R* non loin de la base; *M* avec 5 secteurs dont le 1^{er} est bifurqué très près de sa base et semble faire partie de *Cu*; réunion des nervures clavales vers le milieu du clavus. Ailes presque aussi longues que les élytres.

E s p è c e - t y p e : *Paraphenice neavei* MUIR (Nyassaland).

1. — **Paraphenice squamifer** (HESSE).

(Fig. 378 et 379.)

HESSE, A. J., 1925, Ann. South Afric. Mus., 23, p. 156, pl. VIII, fig. 1, 1 a *Imbalara*.

Front allongé, étroit, à bords latéraux relevés très proches l'un de l'autre mais non soudés, se rapprochant plus fortement à la base où ils prolongent ceux du vertex; suture clypéale droite; brun, à bords jaunes. Clypéus jaunâtre, tricaréné. 2^e article des antennes court, à peine plus long que large. Processus sous-antennaires lamellaires, bien développés. Vues de dessus, les antennes dépassent à peine le bord latéral des yeux (chez *hargreavesi*, elles sont presque entièrement visibles). Vertex ocre, à bords jaunes; triangulaire, à bords latéraux épaissis, fortement convergents vers l'avant où ils se prolongent directement par ceux du front; base anguleusement échancrée. Pronotum ocre, avec tache brune derrière les yeux; carène médiane et latérales nettes. Scutellum ocre brun, avec 3 carènes nettes. Elytres environ 3,5 fois plus longs que larges; clavus fermé; bifurcation *Sc+R* peu avant celle de *Cu*, cette dernière peu après le milieu du clavus; *Cu* avec 2 branches dont l'externe atteint directement le bord apical, l'interne rejoignant le bord sutural, peu après l'apex du clavus, en formant un angle droit; *M* avec 7 branches atteignant le bord apical; hyalins, fortement marqués de brun, notamment quelques grosses taches sur la cellule costale (5 à 6) et 1 très grande sur la base du clavus; nervures brunes, rougeâtres à l'apex, surtout dans l'angle apical; 1 tache noirâtre à l'apex, sur la bifurcation du dernier secteur de *M* (fig. 378). Ailes grisâtres, développées, dépassant le milieu des élytres (voir fig. 379). Pattes jaunâtres, tibias postérieurs non armés.

Longueur totale : env. 9 mm.

Distribution. — Damaraland; Transvaal; Natal.

U. S. National Museum :

3 ex. : Natal, Mtubatuba, III.24 et 25.1968, P. J. SPANGLES.

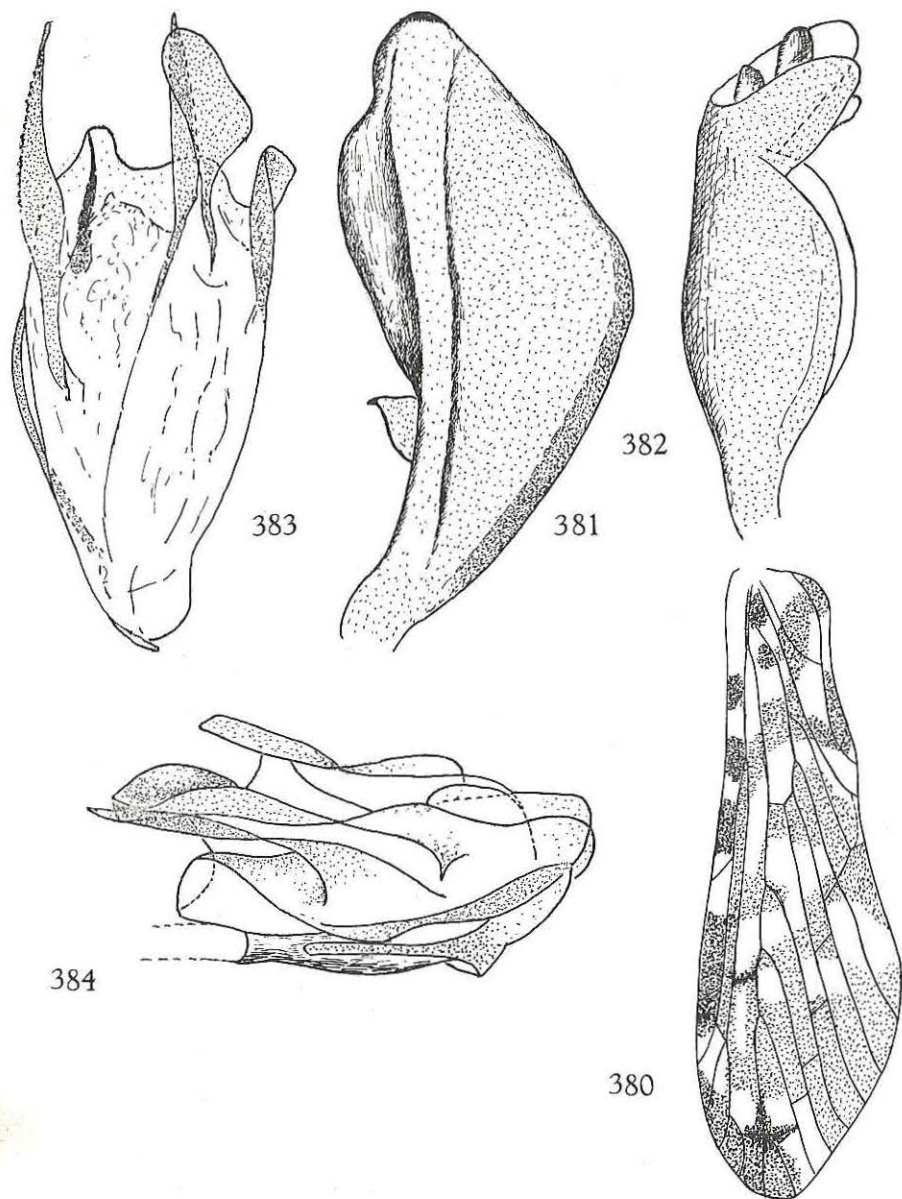


FIG. 380-384. — *Paraphenice hargreavesi* MUIR.
 380 : Elytre; 381 : Paramère; 382 : Tube anal, vue latérale; 383 : Edéage, vue dorsale;
 384 : Edéage, vue latéro-ventrale gauche.

2. — *Paraphenice hargreavesi* MUIR.

(Fig. 380-384.)

MUIR, F., 1928, Ann. Mag. Nat. Hist. (10), I, p. 503, fig. 6, 7.

Front ocre, long et étroit, à bords relevés, subparallèles jusque peu avant le clypéus puis légèrement divergents vers ce dernier. Clypéus brun, aussi long que le front, avec carène médiane nette et bords latéraux carénés. Thorax et face inférieure de l'abdomen, jaunes; 1 tache rouge contre l'articulation des hanches intermédiaires et postérieures; de même, les sternites abdominaux sont bordés de rouge. 2^e article des antennes globuleux, brun; processus sous-antennaires développés, en forme de cupule. Vertex ocre, à bords latéraux relevés et épaissis, convergents vers l'apex; bord postérieur anguleusement échancré; une carène transversale droite le séparant du front. Pronotum brun, sauf les plaques pectorales, les carènes et le bord postérieur, qui sont blanc jaunâtre; les carènes latérales atteignent le bord externe des plaques pectorales. Scutellum brun, avec 3 carènes plus claires et 1 petite tache rouge sur l'extrémité des angles scutellaires. Elytres hyalins, fortement marqués de brun suivant la figure 380; *Cu* avec 2 branches dont l'externe rejoint le bord de l'élytre tandis que l'interne, beaucoup plus court, rejoint la ligne de nervures transversales; *M* avec 5 secteurs dont le 1^{er} est bifurqué et semble faire partie de *Cu*. Pattes jaunâtres. Genitalia ♂, voir figures 381-384. Chez la ♀, les angles du 9^e tergite abdominal sont arrondis; le tube anal les dépasse à peine.

Longueur totale: de 7 à 8 mm.

Distribution. — Sierra Leone.

3. — *Paraphenice neavei* MUIR.

(Fig. 385-388.)

MUIR, F., 1918, Entom. Monthl. Mag., p. 235.

Front très étroit, en gouttière; les bords latéraux, parallèles, sont très proches l'un de l'autre mais pas accolés et divergents peu avant la suture clypéale. Clypéus très long et étroit, tricaréné. Yeux développés vers le bas mais n'atteignant pas la suture clypéale. 2^e article des antennes à peu près 1 1/2 fois plus long que large. Processus sous-antennaires présents, légèrement relevés à l'apex. Coloration générale blanc sale à ocre brunâtre; scutellum brun clair, avec 3 carènes nettes, plus pâles. Elytres hyalins, blanchâtres, très fortement marqués de brun (voir fig. 385); les marques brunes sont quasi noires dans la cellule costale et dans l'angle apical; bifurcation *Sc+R* vers le 1/3 basal; *M* partant du tronc commun *Sc+R* peu après la base et présentant 5 secteurs dont le 1^{er} est bifurqué et accolé à *Cu*, de telle sorte que la branche externe de cette dernière semble être bifurquée. Genitalia ♂, voir figures 386-388.

Longueur totale: env. 8 mm.

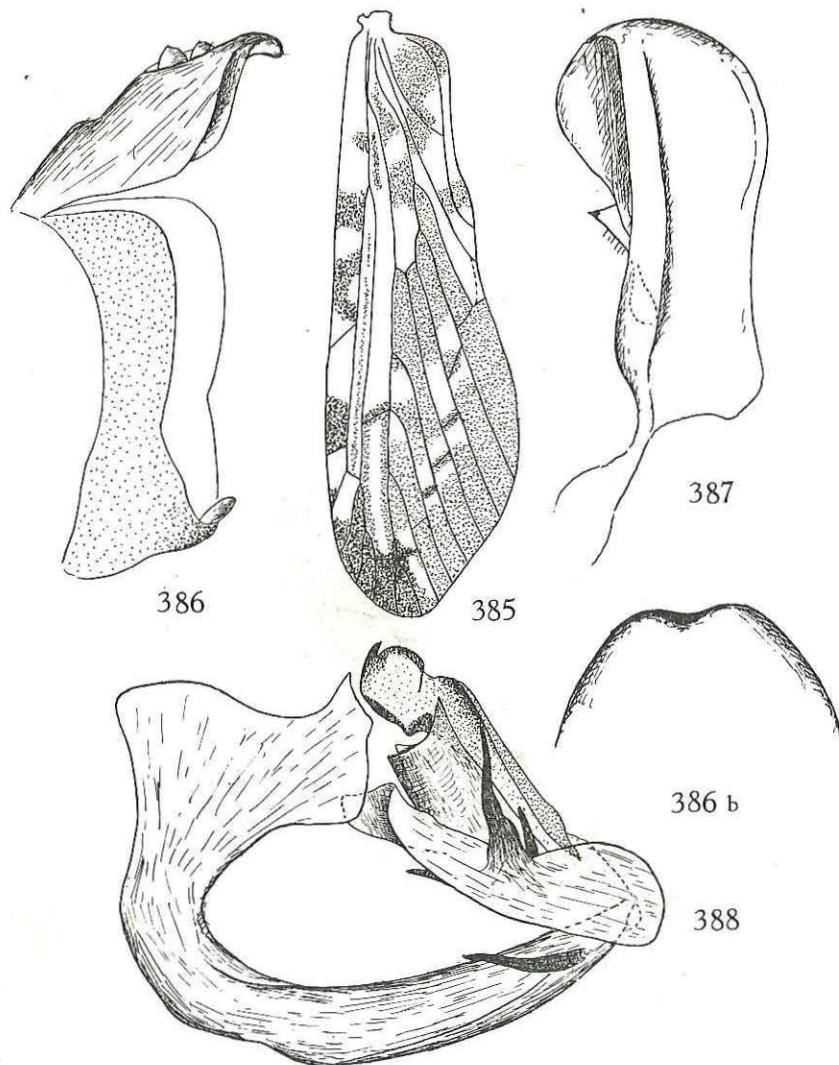


FIG. 385-388. — *Paraphenice neavei* MUIR.

385 : Elytre; 386 : Pygophore et tube anal, vue latérale; 386b : Apex du tube anal, vue dorsale; 387 : Paramère; 388 : Edéage, vue latéro-ventrale gauche.

Distribution. — Nyassaland (Type); Sierra Leone; Congo (Léo); *Nigeria*.

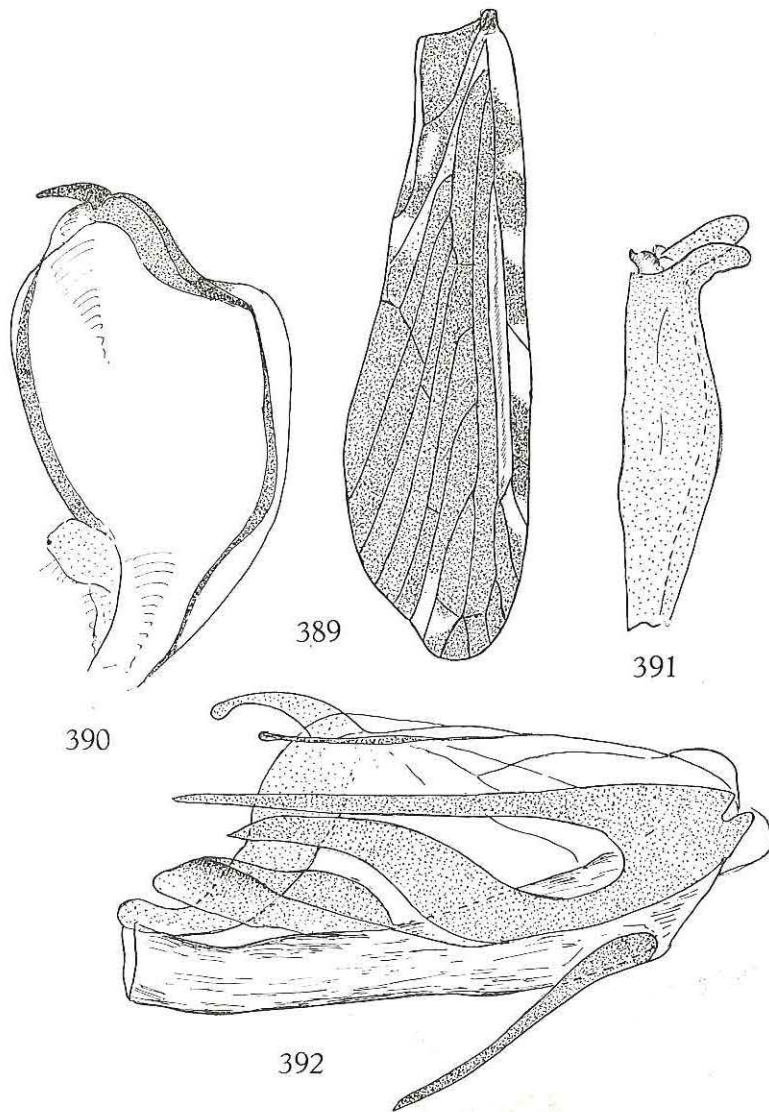
Institut des Parcs Nationaux du Congo :

Parc National de la Garamba : 1 ♂, II/fd/17, 31.VII.1951, J. VERSCHUREN, 2182.

4. — *Paraphenice arebiensis* n. sp.

(Fig. 389-392.)

Front brun, à bords latéraux jaunes, relevés et épaissis, parallèles jusqu'au bord inférieur des yeux, ensuite divergents vers le clypéus. Clypéus brun, avec carènes médiane et latérales nettes. Rostre ocre, sauf l'article terminal qui est

FIG. 389-392. — *Paraphenice arebiensis* n. sp.

389 : Elytre; 390 : Paramère; 391 : Tube anal, vue latérale; 392 : Edéage, vue latéro-ventrale gauche.

noir. Yeux rougeâtres. 2^e article des antennes ocre, globuleux. Processus sous-antennaires bien développés. Vertex brun, sauf les bords latéraux, la carène transversale antérieure et une large bande médiane, qui sont jaunâtres; bords latéraux relevés et fortement épaissis, convergents vers l'avant; bord postérieur anguleusement échancré. Pronotum brun foncé sauf les bords, les carènes médiane et latérales, qui sont jaunâtres. Scutellum brun-noir, avec 3 carènes dont la médiane est ocre. Abdomen brun, avec quelques points jaunâtres. Elytres brun foncé, avec quelques marques hyalines, pâles, notamment dans le clavus, la cellule sous-costale et contre le bord apical, entre les 3^e et 5^e secteurs de *M*; nervures concolores sauf l'apex et le 5^e secteur de la médiane qui sont rouges; *Cu* avec 2 branches, *M* avec 5 secteurs dont le 1^{er} est bifurqué (fig. 389). Pattes jaunâtres. Genitalia ♂, voir figures 390-392.

Longueur totale : env. 8 mm.

Holotype ♂ : Arebi (Bondo Mabé), 24.VII.1925, Dr. H. SCHOUTEDEN (Musée Royal de l'Afrique Centrale).

5. — *Paraphenice decellei* SYNAVE.

(Fig. 393-397.)

SYNAVE, H., 1968, Ann. Mus. Roy. Afr. Centr., in-8°, n° 165, p. 451, fig. 9-12.

Front long et étroit, environ 4 fois plus long que large entre les yeux; bords latéraux épaissis, fortement relevés, subparallèles jusque peu avant l'apex où ils divergent légèrement et de ce fait, l'apex du front est légèrement plus large que sa base; brun foncé, bords latéraux ocre. Clypéus triangulaire, tricaréné, presque aussi long que le front; disque ocre, faces latérales ocre rougeâtre. Rostre ocre; dernier article très petit, noirâtre. Antennes dépassant légèrement les bords latéraux de la tête; 2^e article brunâtre, globuleux, environ 1 1/2 fois plus long que large. Processus sous-antennaires présents. Yeux très grands; leur bord postérieur, arrivant presque au niveau de la suture clypéale, est très largement et très profondément échancré, permettant à l'antenne de s'y loger. Vertex brun rougeâtre, à bords latéraux ocre; court, triangulaire, à bord postérieur anguleusement échancré, à bords latéraux épaissis convergents vers l'avant où ils prolongent directement ceux du front; pas de carène transversale entre front et vertex. Pronotum rouge brunâtre, très court, à bord postérieur très profondément et anguleusement échancré, avec une carène médiane nette et, de chaque côté, une carène entre l'œil et la tegula. Scutellum rouge brunâtre, à angle postérieur rouge vif, avec 3 carènes nettes dont les latérales sont d'abord convexes puis brusquement concaves vers l'angle postérieur. Elytres très foncés, brun grisâtre, sauf les cellules costale et sous-costale qui sont presque noires; 5 ou 6 taches blanchâtres dans la cellule costale et quelques nuages clairs sur le disque; nervures brunes, sauf les costale, sous-costale, radiale et le tronc principal des médiane et cubitale qui sont rouge vif; *M* avec 5 secteurs dont le 1^{er} est bifurqué peu après son origine, paraissant faire partie de la cubitale et, de ce fait, 7 branches atteignent le bord postérieur (en comptant la partie apicale du tronc principal); *Cu* avec

2 branches dont la 1^{re} atteint directement le bord postérieur et la 2^e rejoint les nervures transversales en formant avec elle un angle presque droit; clavus fermé; nervures clavales réunies vers le milieu du clavus, leur tronc commun rejoignant le bord sutural peu avant l'apex du clavus (fig. 393). Ailes brunes. Hanches et pattes, ocre; fémurs postérieurs plus foncés. Tergites abdominaux rouges, plus ou moins marqués de noir; sternites bruns à brun rougeâtre, à bord postérieur ocre.

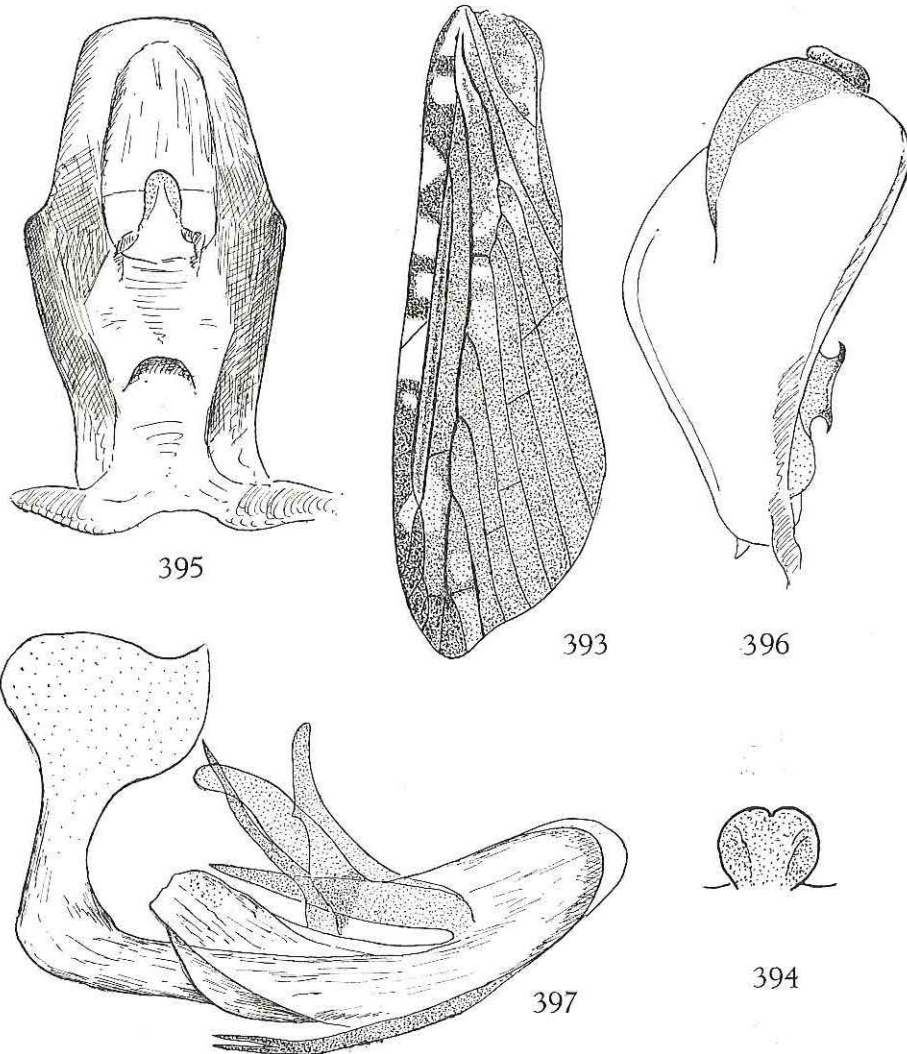


FIG. 393-397. — *Paraphenice decellei* SYNAVE.

393 : Elytre; 394 : Appendice médio-ventral du pygophore; 395 : Tube anal, vue dorsale;
396 : Paramère; 397 : Edéage, vue latéro-ventrale gauche.

Genitalia ♀ brun-noir sauf le tube anal qui est rouge vif; genitalia ♂ rouge vif (voir fig. 394-397).

Longueur totale: de 6 à 8 mm.

Distribution. — Côte d'Ivoire (Type); Cameroun; Afrique-Equatoriale française (R.C.A.); Nigeria.

Musée Royal de l'Afrique Centrale:

6 ex., Côte d'Ivoire, Bingerville, II.1963, I.1963, J. DECELLE.

Muséum National d'Histoire Naturelle (Paris):

8 ex., Cameroun, Nkolbisson, 7.VII.1966, B. DE MIRE; Rép. Centrafric., Mbale, 8.I.1970, M. BOULARD; R.C.A., Boukoko, 7.II.1970, Michel BOULARD.

Institut royal des Sciences naturelles de Belgique:

2 ex., Mbale, Rép. Centrafric., 10.I.1970, 12.I.1970, Michel BOULARD; Ile-Ife, W. State, sept. 1971, Col. J. T. MEDLER.

6. — *Paraphenice dissimilis* n. sp.

(Fig. 398-402.)

Front ocre, long et étroit (environ 6 fois plus long que large), à bords latéraux relevés, épaissis, subparallèles jusqu'au niveau des yeux, ensuite légèrement divergents vers le clypéus; 1 tache rouge sous le bord inférieur des yeux. Clypéus jaunâtre, avec carène médiane nette. 2^e article des antennes globuleux, environ 1 1/2 fois plus long que large; processus sous-antennaires présents. Vertex ocre, triangulaire, à bords latéraux fortement relevés et épaissis, divergents vers l'arrière. Pronotum ocre, avec tache rouge sur les plaques pectorales, sous la carène entre l'œil et la tegula. Scutellum ocre, bombé, avec 1 tache rouge à l'extrémité postérieure de la carène médiane et 1 autre sur chaque angle scapulaire. Elytres hyalins, avec marques brunes réparties suivant figure 398; les nervures sont jaunâtres sauf dans les taches foncées où elles sont concolores avec ces dernières; dans la tache noire située sur l'angle apical, elles sont rouges; clavus fermé, les nervures clavales se rejoignent avant le milieu et leur tronc commun rejoint le bord sutural avant l'apex; bifurcation *Sc + R* vers le 1/4 basal de l'élytre; *M* avec 5 secteurs dont le 1^{er} est bifurqué et semble faire partie de *Cu*; *Cu* avec 2 branches dont l'interne rejoint la transversale située après le clavus et n'atteint donc pas le bord de l'élytre; la branche externe, normalement simple, est dédoublée sur l'élytre droit (voir fig. 398). Pattes ocre. Genitalia ♂, voir figures 399-402.

Longueur totale: env. 10 mm.

Holotype: Sudan, Equatoria, Yambio, 17-25.IV.1963, LINNAVUORI (Coll. LINNAVUORI); Nigeria

1 **Paratype** ♂: Mongati, à l'Est de Kinshasa, 26.X.1968, P. M. ELSÉN (Musée Royal de l'Afrique Centrale).

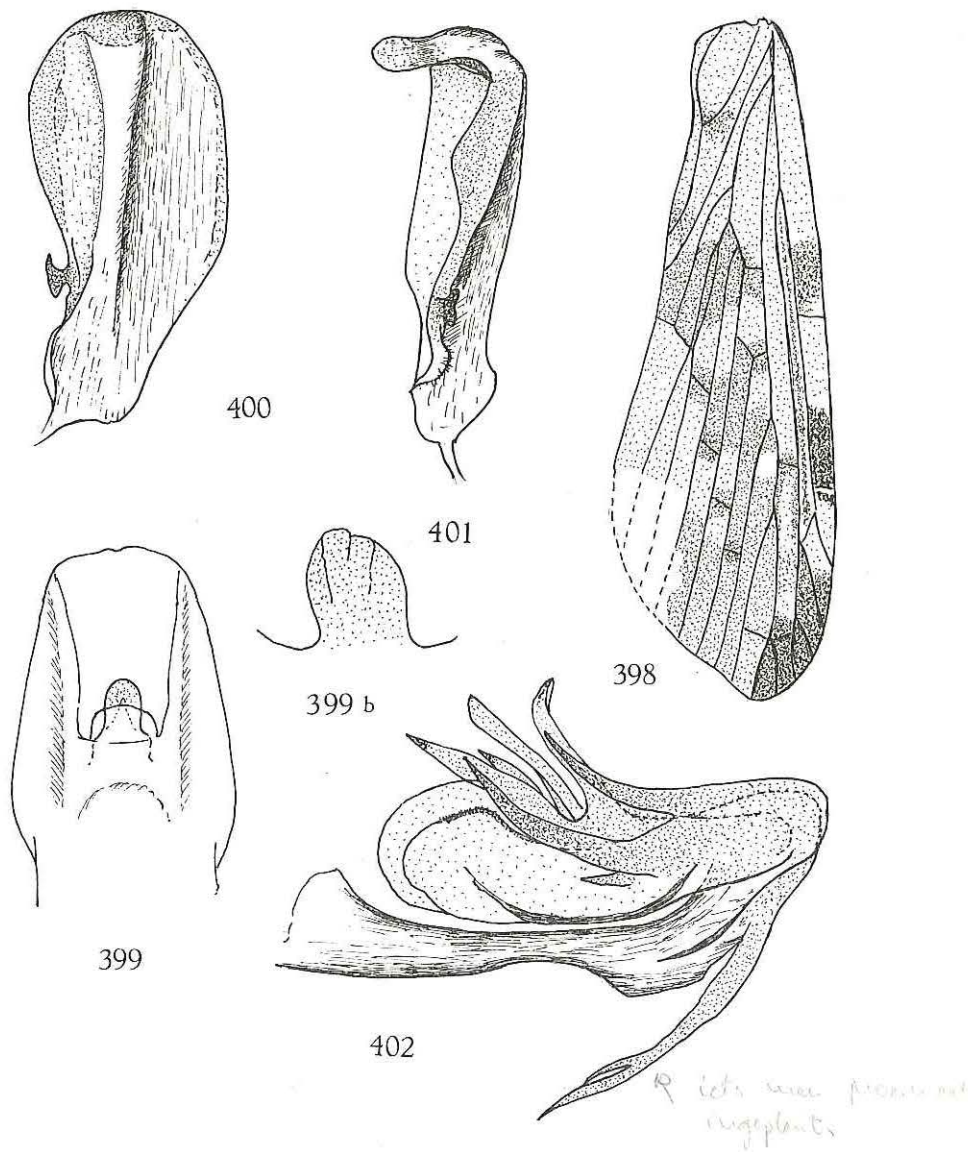


FIG. 398-402. — *Paraphenice dissimilis* n. sp.

398 : Elytre; 399 : Tube anal, vue dorsale; 399b : Appendice médio-ventral du pygophore;
 400 : Paramère; 401 : Idem, sous un angle différent; 402 : Edéage, vue latéro-ventrale gauche.

7. — *Paraphenice sierraleonensis* MUIR.

(Fig. 403-406.)

MUIR, F., 1926, Ann. Mag. Nat. Hist. (9), 18, p. 228, fig. 2, 3.

La description suivante est basée sur un exemplaire ♂ du Congo (Léo), Kunungu (Mus. Roy. Afr. Centr.). Ce spécimen correspond à la description originale et le paramère concorde avec la figure donnée par MUIR.

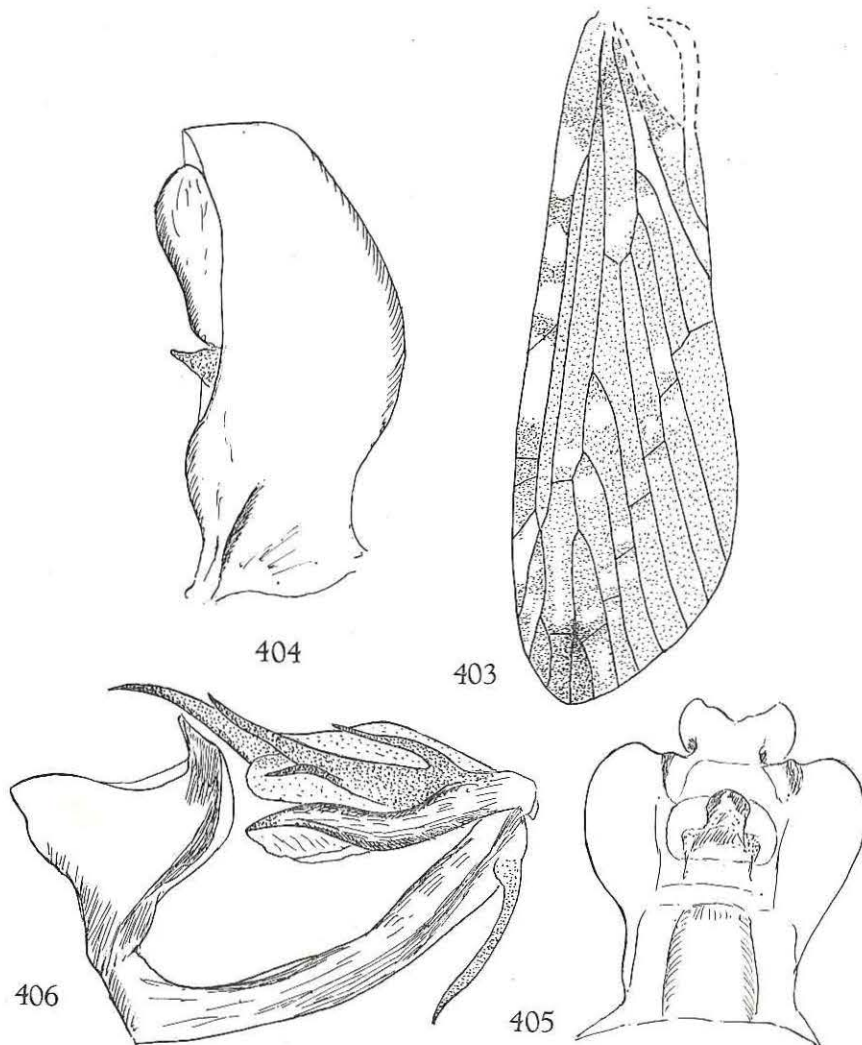


FIG. 403-406. — *Paraphenice sierraleonensis* MUIR.
403 : Elytre; 404 : Paramère; 405 : Tube anal, vue dorsale; 406 : Edéage, vue latéro-ventrale gauche.

Front jaune; bords latéraux étroitement accolés sur toute leur longueur, à peine divergents immédiatement avant la suture clypéale; vu de profil, il est relativement peu saillant au-devant des yeux et régulièrement convexe. Processus sous-antennaires développés, minces. 2^e article des antennes environ 1,5 fois plus long que large. Pronotum blanchâtre, avec grande tache brun foncé derrière les yeux; carène médiane nette, carènes latérales fortement relevées. Scutellum brun foncé, avec carènes ocre. Pattes jaunes. Elytres brunâtres, avec marques et taches hyalines (voir fig. 403); bifurcation *Sc + R* avant le $\frac{1}{3}$ basal; *M* avec 5 secteurs dont le 1^{er} est bifurqué, semblant faire partie de *Cu*; bifurcation de *Cu* vers le milieu du clavus. Genitalia ♂, voir figures 404-406.

Longueur totale: env. 8 mm.

Distribution. — Sierra Leone (Type); Congo (Léo); Liberia.

Musée Royal de l'Afrique Centrale :

4 ex. : Kunungu, 5.IV.1921, M. SCHOUTEDEN.

U. S. National Museum :

1 ex. : Siberia, Mt. Coffee, IV.1897, Mrs. SHARPE.

8. — *Paraphenice carpentieri* MUIR.

(Fig. 407-409.)

MUIR, F., 1934, Ann. Mag. Nat. Hist. (10), 14, p. 566, fig. 4, 5.

Cette espèce a été décrite d'après 2 ♀ ♀ provenant du Congo (Léo).

Ce sont ces exemplaires typiques qui ont servi de base aux observations suivantes. *P. carpentieri* est très voisine de *hargreavesi* et *neavei*, notamment par la nervulation et la coloration des élytres (fig. 407). Elle s'en distingue par le front qui est proportionnellement plus large, à bords latéraux nettement moins rapprochés, s'élargissant progressivement à partir du bord inférieur des yeux. Les processus sous-antennaires sont un peu plus développés. Les genitalia ♀ fournissent un caractère qui distingue l'espèce des autres. Il s'agit du processus spini-forme qui prolonge, de chaque côté, le 7^e segment abdominal (voir fig. 408).

Dans le matériel du Musée Royal de l'Afrique Centrale, nous avons trouvé 2 ♀ ♀ provenant également du Congo (Léo) et dans celui de l'Institut royal des Sciences naturelles de Belgique, 1 ♀ et 1 ♂. Les genitalia de ce dernier sont fortement endommagés et n'ont pu être figurés. Genitalia ♀, voir figures 408 et 409.

Distribution. — Congo (Léo); Cameroun

Musée Royal de l'Afrique Centrale :

2 ♀ ♀ : Haut Uélé, Abimwa, 1925, L. BURGEON; Mongbwalu, 1939, M. SCHEITZ.

Institut royal des Sciences naturelles de Belgique :

1 ♂, 1 ♀ : Titule, Uélé, 17.I.1950, J. VERBEKE.

→ Comparés à ceux de *M. balcanis* Sym., ils leur sont identiques. et cette esp. est presque certainement synonyme de *carpentieri* Muir.

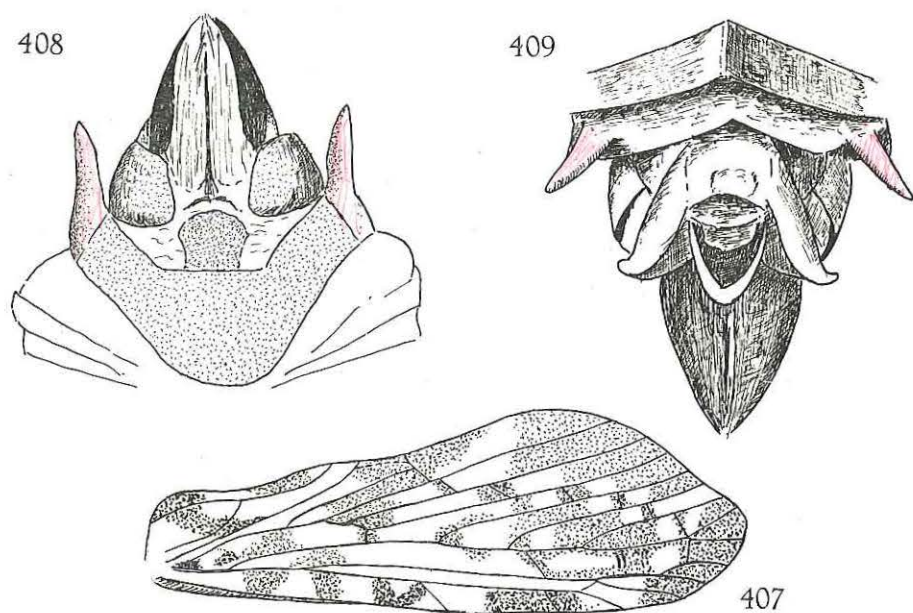
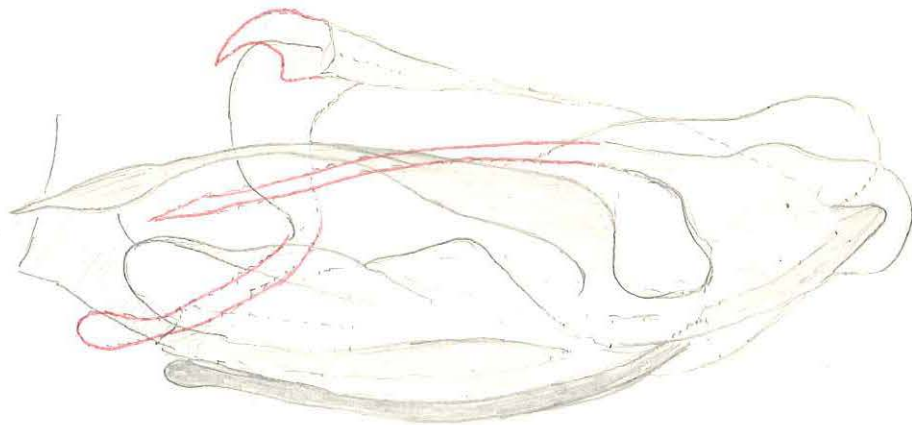


FIG. 407-409. — *Paraphenice carpentieri* MUIR.
407 : Elytre; 408 : Genitalia ♀, vue ventrale; 409 : Idem, vue dorsale.

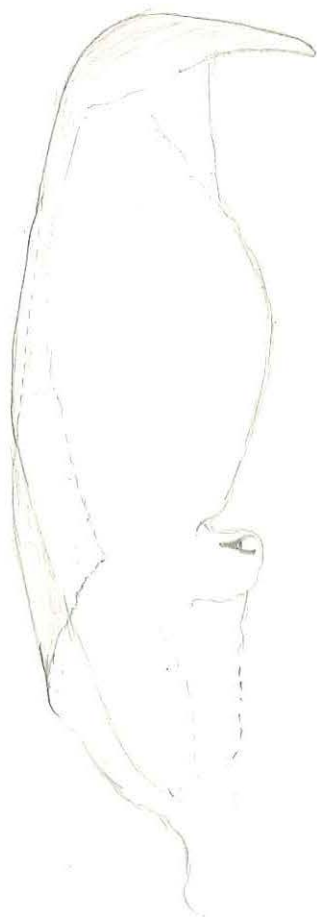
9. — *Paraphenice mbaleensis* n. sp. = *carpentieri* Muir
(Fig. 410-413.)

Front long et étroit, environ 5 fois plus long que large au milieu, à bords latéraux fortement relevés, subparallèles, légèrement divergents peu avant l'apex; brun à bords latéraux ocre jaune. Clypéus jaunâtre, à bords latéraux carénés, avec carène médiane nette. Rostre jaunâtre, dépassant les hanches postérieures; article terminal globuleux, noirâtre. Vertex jaune, triangulaire, à bords latéraux fortement relevés et épaissis, convergents vers l'avant. 2^e article des antennes globuleux, brunâtre; processus sous-antennaires développés, blanchâtres. Pronotum jaunâtre sauf 1 très grande tache brune en arrière des yeux; carène médiane saillante; bord postérieur profondément échancré. Scutellum brun foncé, sauf les angles latéraux et postérieur qui sont jaunes (parfois uniformément ocre brunâtre); 3 carènes jaunes dont les latérales sont écourtées après le milieu. Elytres brunâtres, avec de nombreuses marques brun foncé et hyalines blanchâtres réparties suivant la figure 410 et angle apical noir; le nombre et la disposition des taches sont sujets à variation; nervures brunes, sauf l'apex des longitudinales qui, dans la tache apicale noire, sont rouge vif de même que le bord apical; clavus fermé; tronc commun des nervures clavales rejoignant le bord sutural avant l'apex du clavus; *Cu* avec 2 branches dont l'interne n'atteint pas le bord de l'élytre mais rejoint la transversale située après l'apex du clavus; *M* avec 5 secteurs dont le



Exemplaire de l'I.R.S. N.B. dont quelques dents de dents et identifiées
 comme caquetin Mui. Les gombales sont les mêmes que ceux de malaleensis Syn.
 La ♀, caractéristique, a été récoltée au même endroit et le même jour. Il semble donc
 bien que les deux exemplaires sont des caquetin et que conséquemment, malaleensis Syn.
 en est synonyme. (16.10.77)

En rouge, les parties manquantes et reconstituées à partir de la dentype ♂
 de malaleensis Syn.



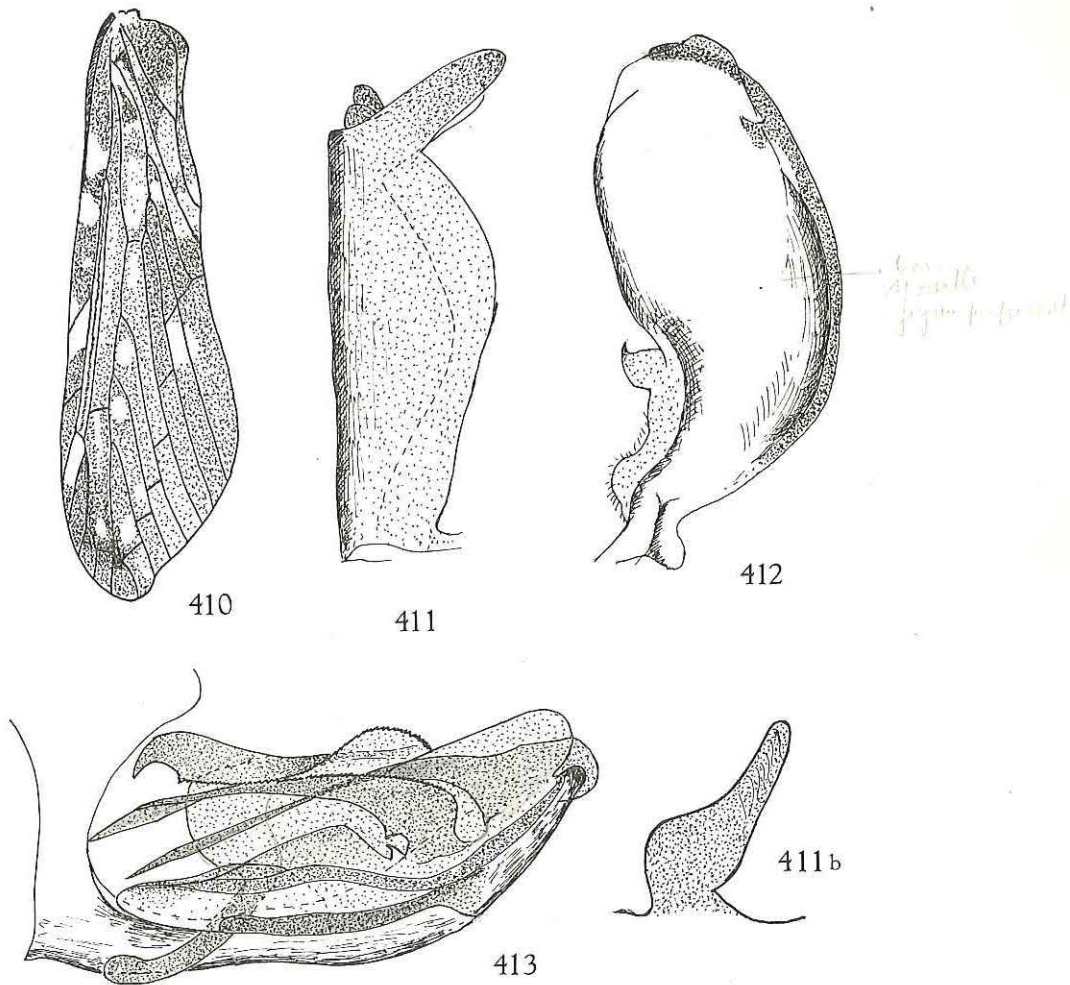


FIG. 410-413. — *Paraphenice mbaleensis* n. sp.

410 : Elytre; 411 : Tube anal, vue latérale; 411 b : Appendice médio-ventral du pygophore;
412 : Paramère; 413 : Édéage, vue latéro-ventrale gauche.

1^{er} est bifurqué et semble faire partie de *Cu*. Pattes jaunâtres; tibias postérieurs armés d'une petite épine située après le milieu. Genitalia ♂, voir figures 411-413.

Longueur totale : env. 9 mm.

Holotype ♂ : Mbalé, Rép. Centrafricaine, P.L., 26.II.1970, Michel BOULARD (Muséum National d'Histoire Naturelle).

2 Paratypes : Boukoko, Michel BOULARD; Toukoulou, 16.VII.1965, M. BOULARD, sur cacaoyer (Muséum National d'Histoire Naturelle et Institut royal des Sciences naturelles de Belgique).

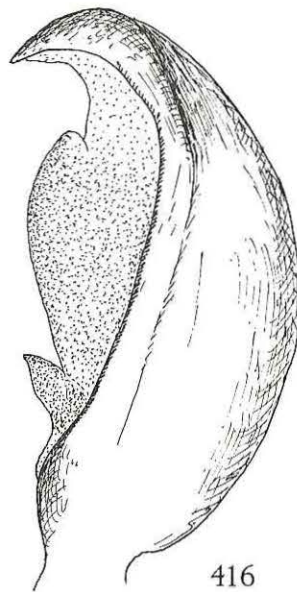
10. — *Paraphenice seydeli* n. sp.

(Fig. 414-417.)

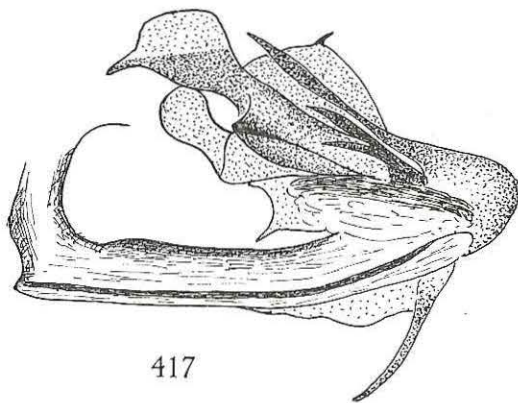
Front jaune, long et étroit, environ 5 fois plus long que large, à bords latéraux subparallèles, légèrement divergents peu avant l'apex. Clypéus jaune, à bords latéraux carénés, avec carène médiane saillante. Rostre jaune, dépassant les



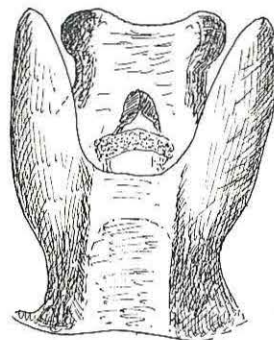
414



416



417



415

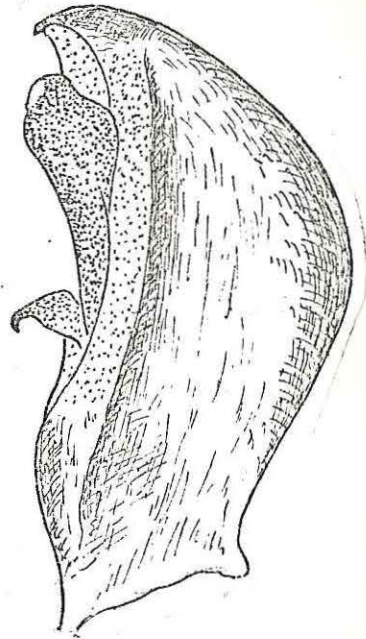
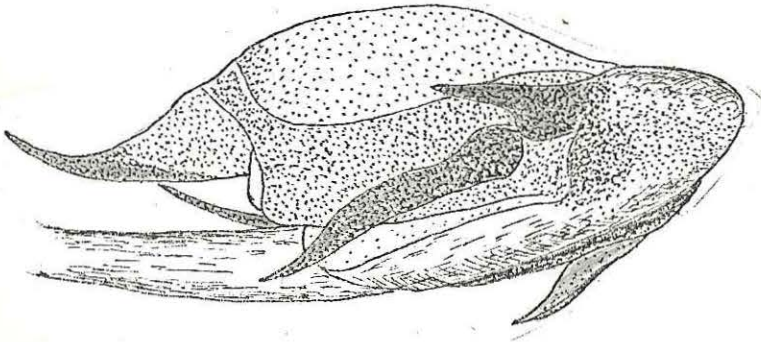
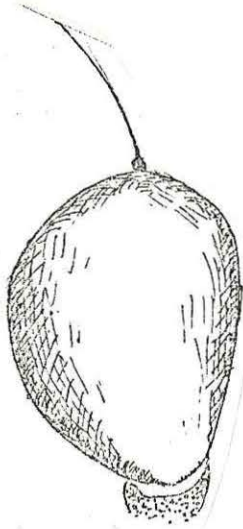
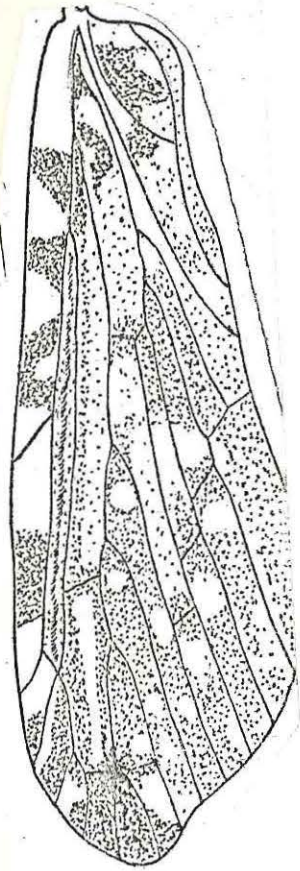
FIG. 414-417. — *Paraphenice seydeli* n. sp.

414: Elytre; 415: Tube anal, vue dorsale; 416: Paramère; 417: Edéage, vue latéro-ventrale gauche.

Paraphemice nigeriensis Synon

Bull. IRSNB, 1979, T. 51, n. 6.

(Figs 1-4)



hanches postérieures; article terminal globuleux, noirâtre. Vertex et pronotum jaunes. Scutellum brun, tricaréné. 2^e article des antennes globuleux, brunâtre; processus sous-antennaires développés, blanchâtres. Elytres blanc jaunâtre sale, fortement marqués de brun plus ou moins foncé suivant la figure 414; 1 assez grande tache noire dans l'angle apical; nervures ocre à brun, sauf l'apex des longitudinales qui, dans la tache apicale noire, est rouge vif de même que le bord apical; *Cu* avec 2 branches dont l'interne n'atteint pas le bord de l'élytre; *M* avec 5 secteurs dont le 1^{er} est bifurqué et semble faire partie de *Cu*. Pattes jaunâtres; tibias postérieurs armés de 1 très petite épine après le milieu. Genitalia ♂, voir figures 415-417.

Longueur totale: env. 9 mm.

Holotype ♂: Elisabethville, 28.III.1935, Ch. SEYDEL (Musée Royal de l'Afrique Centrale).

6 Paratypes: Elisabethville (à la lumière), 1-1952, II.1950, Ch. SEYDEL (Musée Royal de l'Afrique Centrale).

1 Paratype: Elisabethville, 9.III.1939, H. J. BRÉDO (Institut royal des Sciences naturelles de Belgique).

5. — Genre PHENICE WESTWOOD.

WESTWOOD, J. O., 1840, Proc. Linn. Soc. Lond., I, p. 84 (subg. nov.).

WESTWOOD, J. O., 1841, Trans. Linn. Soc. Lond., Zool., 19, p. 10.

Tête comprimée latéralement. Front très étroit, à bords latéraux subparallèles ne divergeant que peu avant le clypéus; vu de profil, il est convexe. Vertex triangulaire, séparé du front par une carène transversale apicale. Antennes ne dépassant pas le bord supérieur de la tête; 2^e article 2 à 4 fois plus long que large; pas de processus sous-antennaires ou bien de très petits. Elytres au moins 2,5 fois plus longs que larges; clavus fermé, les nervures clavales réunies peu après le milieu; bifurcation de *Cu* peu avant celle de *M*; *M* avec 5 secteurs, dont le 1^{er} est bifurqué, ce qui donne 7 branches atteignant le bord postérieur (y compris la partie apicale du tronc principal); cellules sous-costale et radiale, longues et étroites.

Ce genre est proche de *Dawnaria* dont il diffère principalement par la disposition pectinée des branches de la médiane, par la bifurcation *Sc+R* au même niveau que la réunion des nervures clavales (après, chez *Dawnaria*) et par des antennes plus longues.

Espèce-type: *Phenice fasciolata* BOHEMAN (Sierra Leone).

D'après MUIR, le clavus est étroitement ouvert et le tronc commun *Cl1Cl2* rejoint la branche interne de *Cu*. C'est une erreur. Ce que MUIR a pris pour un prolongement de *Cl1Cl2* n'est en réalité qu'un repli dépigmenté de l'élytre.

ajouts: *P. ifeana* Syman (n. sp.)
P. medleni Syman (n. sp.)

TABLE DES ESPECES.

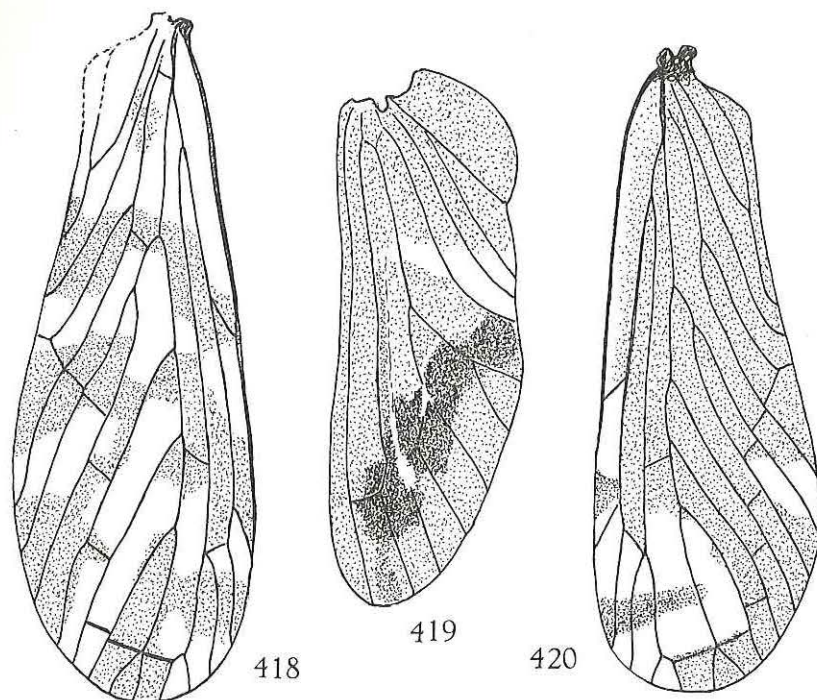
1. Ailes avec 4 grosses taches noires en rangée transversale
P. quadrimaculata MUIR, p. 176.
- Ailes sans taches noires 2
2. 2^e article des antennes environ 4 fois plus long que large, aplati; article basal prolongé vers l'extérieur par un long processus aplati
P. bicornis MUIR, p. 177.
- Article basal des antennes non prolongé vers l'extérieur 3
3. Elytres bruns, avec des petites taches rondes, blanches dans la cellule radiale et entre les secteurs de *M*; nervure costale rouge sang, les autres brun-rouge avec un point terminal blanc *P. stellulata* BOHEMAN, p. 179.
- Elytres blanchâtres avec bandes transversales brunes 4
4. 2^e article des antennes un peu moins de 4 fois plus long que large; des ébauches de processus sous-antennaires constituées par un étroit rebord lamellaire autour de la base de l'antenne. Longueur: 9 mm
P. fasciolata BOHEMAN, p. 180.
- 2^e article des antennes 2 fois plus long que large; aucune trace de processus sous-antennaires. Longueur: 12 mm
P. grandis MUIR, p. 182.

1. — *Phenice quadrimaculata* MUIR.

(Fig. 419 et 420.)

MUIR, F., 1928, Ann. Mag. Nat. Hist. (10), 1, p. 499.

Front ocre, long et étroit, environ 3 fois plus long que large à l'apex, à bords latéraux relevés et épaissis, convergents vers l'apex; la largeur apicale est 1 1/2 fois supérieure à la largeur basale. Clypéus brunâtre, tricaréné. 2^e article des antennes brun, un peu moins de 2 fois plus long que large. Pas de processus sous-antennaires. Vertex ocre, à bords latéraux fortement relevés et épaissis, convergents vers l'apex; carène transversale antérieure nette. Pronotum blanc jaunâtre; carènes latérales atteignant le bord externe des plaques pectorales. Elytres brunâtres, à nervures ocre; *Sc*, *R* et *M* rougeâtres; couvrant l'angle apical, une grande plage transparente claire partagée par une courte bande transversale triangulaire brune; 1 tache triangulaire transparente, plus petite que la précédente, au bord interne, entre l'apex du clavus et celui de l'élytre (voir fig. 420); bifurcation *Sc+R* peu après la base; *M* avec 5 secteurs dont le 1^{er} est bifurqué; *Cu* avec 2 branches dont l'interne rejoint le bord sutural peu après l'apex du clavus tandis que l'externe rejoint le bord apical; nervures clavales

FIG. 418. — *Phenice grandis* MUIR : Elytre.FIG. 419 et 420. — *Phenice quadrimaculata* MUIR.

419 : Aile; 420 : Elytre.

réunies peu après le milieu du clavus. Ailes hyalines, brunâtres, plus pâles vers la base, à nervures pâles; une rangée transversale apicale de 4 grosses taches noires avec 1 petite tache blanche entre la 1^{re} et la 2^e (fig. 419). Pattes ocre.

Distribution. — Côte d'Or; Côte d'Ivoire (Coll. Simons.)

Cette espèce est nettement caractérisée par le dessin des élytres de même que par la présence sur les ailes de 4 grandes taches rondes, noires, disposées en une rangée transversale apicale.

2. — *Phenice bicornis* MUIR.

(Fig. 421-425.)

MUIR, F., 1930, Ann. Mag. Nat. Hist. (10), 5, p. 81, fig. 2, 3.

Front ocre, très étroit, à bords latéraux fortement relevés, parallèles jusque peu avant le clypéus, puis divergents vers ce dernier. Clypéus jaunâtre, long et étroit, un peu plus court que le front, tricaréné. Rostre jaune, atteignant les

hanches postérieures. 2^e article des antennes environ 4 fois plus long que large, aplati; article basal prolongé vers l'extérieur par un processus long et aplati (voir fig. 421). Pas de processus sous-antennaires. Vertex à bords latéraux fortement relevés, épaissis, convergents vers l'apex; une carène nette, transversale,

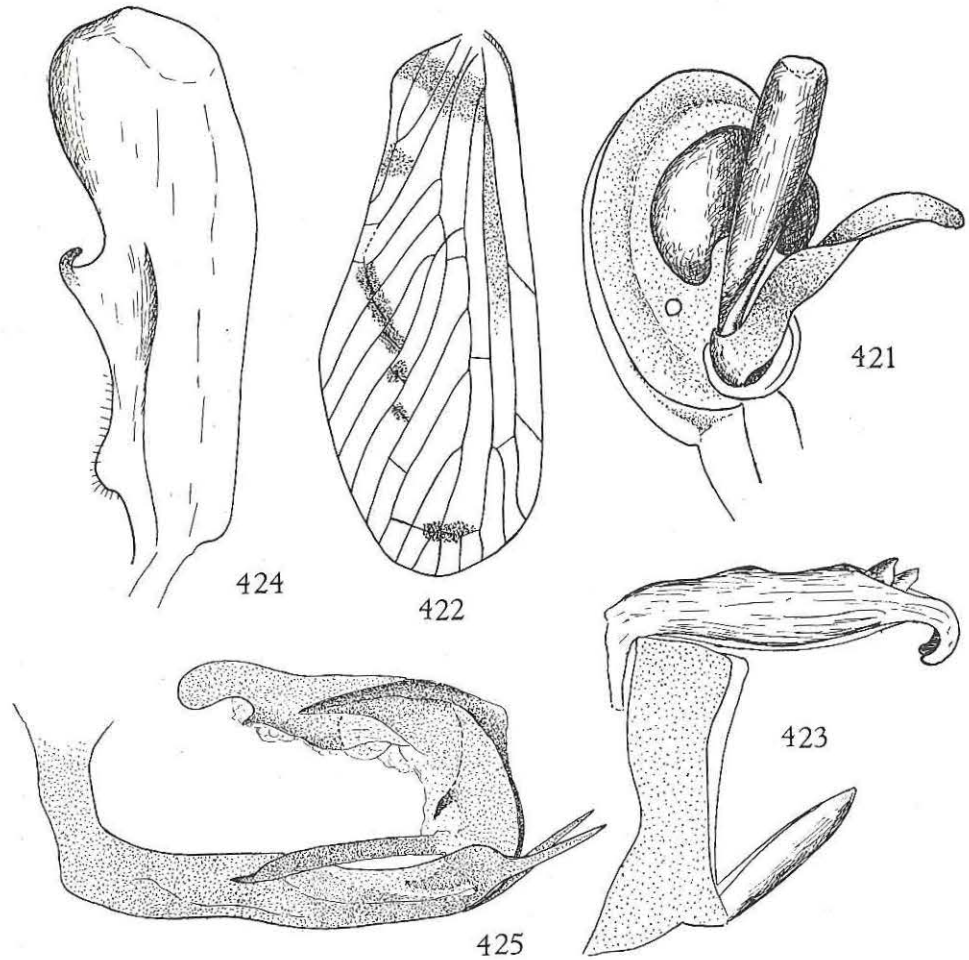


FIG. 421-425. — *Phenice bicornis* MUIR.

421 : Tête, vue de profil; 422 : Elytre; 423 : Pygophore et tube anal, vue latérale; 424 : Paramère; 425 : Edéage, vue latéro-ventrale gauche.

le sépare du front et son bord postérieur, légèrement relevé, est anguleusement échancré. Pronotum jaunâtre, recouvert d'une pruinosité blanche, à bord postérieur très profondément et anguleusement échancré. Tegulae jaunâtres. Scutellum ocre brun, près de 2 fois plus long que vertex et pronotum réunis, convexe sauf vers l'angle postérieur où il est brusquement déprimé; carène médiane nette.

Elytres environ 2 fois plus longs que larges, hyalins, avec quelques marques foncées dont une bande transversale sur la base, depuis le milieu du bord sutural jusqu'à *Sc*, 1 tache sur les transversales apicales, 1 tache sur le tronc commun *CU1C2* juste après leur jonction, une série oblique de taches sur les nervures transversales des secteurs de *Cu* et des 2 premiers secteurs de *M*, une marque recouvrant la $\frac{1}{2}$ basale de la cellule sous-costale; clavus fermé, nervures clavales réunies vers le milieu, leur tronc commun rejoignant le bord sutural avant l'apex; *Cu* avec 2 branches, *M* avec 5 secteurs dont le 1^{er} est bifurqué et présente 3 branches (fig. 422). Pattes jaunâtres. Genitalia ♂ (paratype), voir figures 423-425.

Longueur des élytres: env. 5,5 mm.

Chez la ♀, les antennes et leur processus basal sont plus courts que chez le ♂. La plaque subgénitale a le bord postérieur anguleusement saillant au milieu.

Distribution. — Sierra Leone; Nigeria, Liberia; Côte d'Ivoire.

3. — *Phenice stellulata* BOHEMAN.

(Fig. 426-429.)

BOHEMAN, C. H., 1838, Handl. Svensk. Vet Akad., 58, p. 228, pl. VII, fig. 12, 16.

Au sujet de cette espèce, MUIR (Proc. Ent. Soc. Washingt., 1924, 26, p. 17) écrit qu'elle est typique du genre. Les seuls caractères utilisables énoncés dans la description originale sont fournis par les élytres qui sont bruns, ponctués de blanc, à nervure costale rouge sang, les autres nervures brun-rouge, se terminant par 1 point blanc apical.

D'après un exemplaire de Côte d'Or, appartenant au British Museum, voici une description plus complète de l'espèce.

Vus de profil, front et vertex sont convexes. Le front est très étroit, en gouttière, à bords latéraux fortement relevés et épaissis, subparallèles jusqu'au bord inférieur des yeux, à partir duquel ils divergent vers le clypéus. Vertex à bord antérieur droit, bords latéraux fortement épaissis, concaves et divergents vers l'arrière; bord postérieur profondément et anguleusement échancré. Pas de processus sous-antennaires. 2^e article des antennes étroit à la base, s'élargissant progressivement vers l'apex où il est $\frac{1}{2}$ fois aussi large que long. Pronotum brun foncé, à carène médiane blanchâtre, de même qu'une carène entre l'œil et la tegula et le bord postérieur des plaques pectorales. Elytres environ 3 fois plus longs que larges; réunion des nervures clavales avant le milieu du clavus; *M* avec 5 secteurs dont le 1^{er} est bifurqué peu après sa base; bifurcation *Sc*+*R* non loin de la base de l'élytre; cellules sous-costale et radiale, longues et étroites; bruns, à nervures brun-rouge sauf *Sc*, *R* et *M* qui sont rouge sang; des taches blanches irrégulières dans la cellule costale et de petites taches blanches, rondes, sur le disque de l'élytre et notamment une série longitudinale d'environ 7 dans

la cellule radiale (voir fig. 426). Ailes atteignant les $\frac{2}{3}$ de la longueur des élytres. Genitalia ♂, voir figures 427-429.

Longueur totale : env. 7 mm.

Distribution. — Sierra Leone (Type); Guinée; Somalie; Côte d'Or; Afrique-Equatoriale française (R.C.A.).

Muséum National d'Histoire Naturelle (Paris) :

4 ex. : Boukoko, Rép. Centrafric., 14.II.1969, 5.I.1968, 10.IV.1970, M. BOULARD.

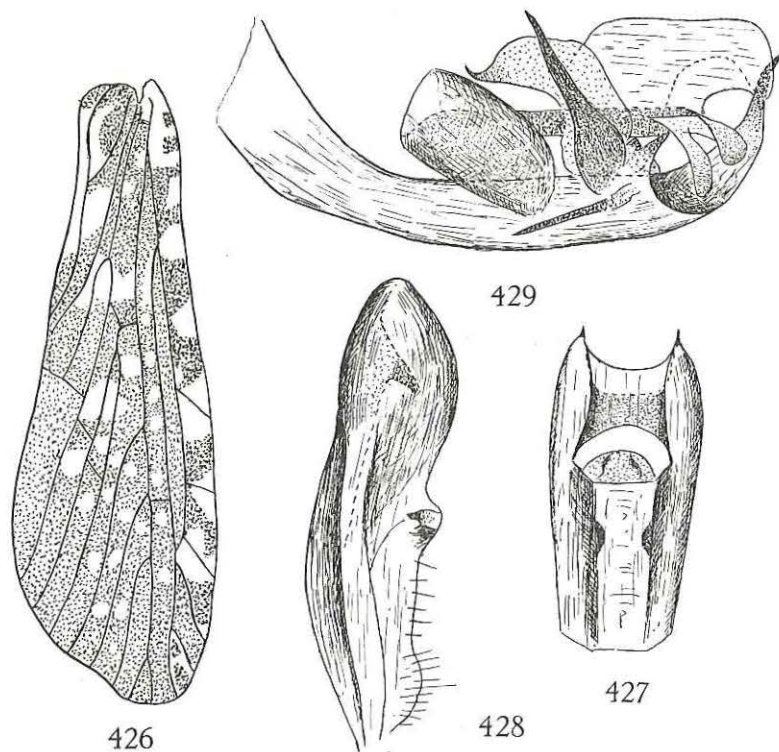


FIG. 426-429. — *Phenice stellulata* BOHEMAN.
426 : Elytre; 427 : Tube anal, vue dorsale; 428 : Paramère; 429 : Edéage, vue latéro-ventrale gauche.

4. — *Phenice fasciolata* BOHEMAN.

(Fig. 430-434.)

BOHEMAN, C. H., 1838, Handl. Svensk. Vet. Akad., 58, p. 228, pl. VII, fig. 10, 11.

Coloration générale, ocre. Front à bords fortement relevés, subparallèles, divergents peu avant le clypéus; vu de profil, il est régulièrement convexe. Clypéus tricaréné. Article apical du rostre très court, subglobuleux. Antennes ne dépassant

pas le bord supérieur des yeux; 2^e article un peu moins de 4 fois plus long que large. Des ébauches de processus sous-antennaires constituées par un étroit rebord lamellaire autour de la base de l'antenne. Vertex séparé du front par une carène transversale; triangulaire, à bords latéraux épaissis, fortement relevés à bord postérieur largement échancré. Pronotum avec carène médiane saillante, carènes latérales assez faibles, convexes, atteignant le bord postérieur; ce dernier

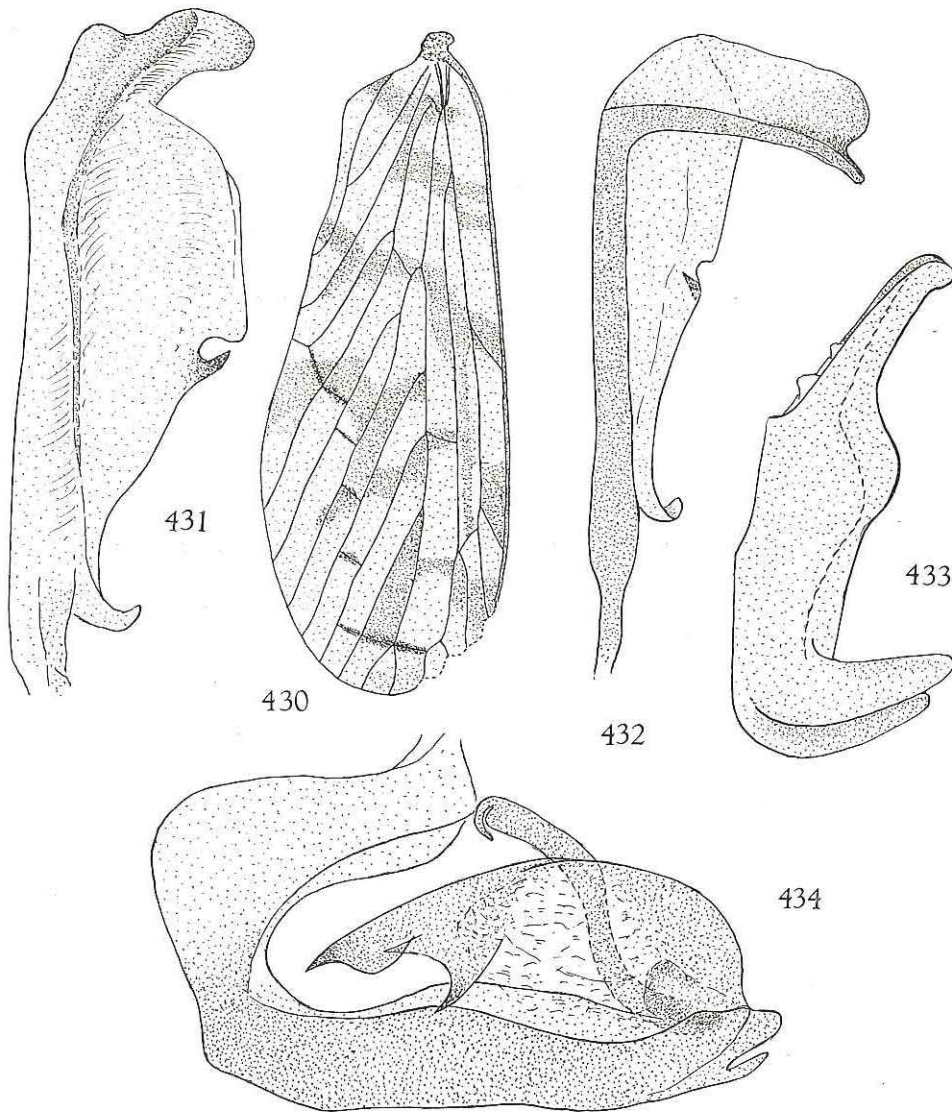


FIG. 430-434. — *Phenice fasciolata* BOHEMAN.

430 : Elytre; 431 : Paramère; 432 : Paramère, sous un angle différent; 433 : Tube anal, vue latérale; 434 : Edéage, vue latéro-ventrale gauche.

profondément et anguleusement échancré. Scutellum (endommagé chez le type), avec 3 carènes. Tegulae non carénées. Elytres environ 2,5 fois plus longs que larges; blanchâtres, avec 4 bandes transversales brunâtres obliques, irrégulières, dont une sur la base, une seconde peu après, au niveau de *Sc+R*, une 3^e au niveau des bifurcations de *M* et de *Cu*, une 4^e après l'apex du clavus; clavus fermé; les nervures clavales réunies peu après son milieu; *Cu* bifurquée après la réunion des clavales, avec 2 branches dont l'externe rejoint directement le bord postérieur, l'interne rejoint le bord sutural, peu après l'apex du clavus, en formant un angle droit; *M* avec 5 secteurs dont le 1^{er} est bifurqué, ce qui donne 7 branches atteignant le bord postérieur (y compris la partie apicale du tronc principal de *M*); bifurcation *Sc+R* peu après la base; les 2 nervures sont subparallèles et délimitent une cellule sous-costale longue et étroite (fig. 430). Ailes postérieures dépassant le milieu des élytres. Genitalia ♂, voir figures 431-434.

Longueur totale: 9 mm.

Distribution. — Sierra Leone (Type); Guinée; Cameroun; Congo (Léo).

5. — *Phenice grandis* MUIR.

(Fig. 418.)

MUIR, F., 1934, Ann. Mag. Nat. Hist. (10), 14, p. 565.

Front ocre, long et étroit, environ 5 fois plus long que large, à bords latéraux subparallèles; vu de profil, il est régulièrement arrondi. Clypéus brun clair, plus court que le front, avec 3 carènes peu saillantes. Antennes brunes; 2^e article environ 2 fois plus long que large. Pas de processus sous-antennaires. Vertex ocre, à bords latéraux fortement relevés et épaissis, convergents vers l'apex; bord postérieur profondément concave; une carène transversale marque la séparation avec le front. Pronotum jaunâtre. Scutellum brun, tricaréné. Tegulae jaunâtres. Elytres hyalins, avec marques brun pâle réparties suivant la figure 418; nervures pâles sauf les transversales qui sont brunes et dont les 3 dernières (apicales) sont noirâtres; bifurcation *Sc+R* non loin de la base; *M* avec 5 secteurs dont le 1^{er} est bifurqué, ce qui donne donc 7 branches atteignant le bord de l'élytre; *Cu* bifurquée après la réunion des nervures clavales; sa branche externe rejoint le bord postérieur et l'interne, le bord sutural peu après l'apex du clavus; nervures clavales se rejoignant vers le milieu du clavus. Ailes postérieures blanchâtres, avec tache brun pâle au bord interne, peu après l'aire anale. Pattes ocre. Sternite pré-génital avec légère saillie médiane arrondie.

Longueur totale: env. 12 mm.

Distribution. — Uganda (Type); Congo (Léo).

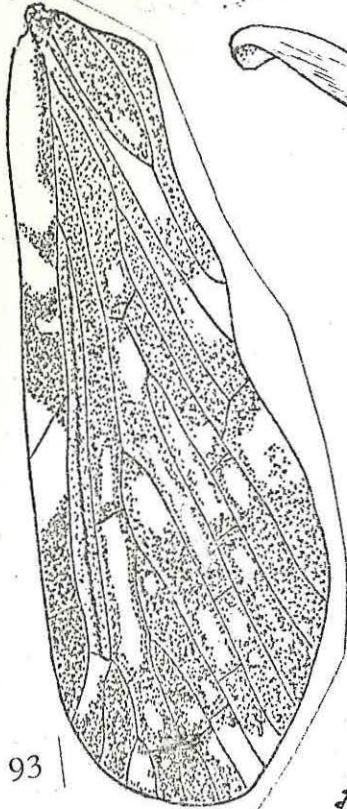
Musée Royal de l'Afrique Centrale:

1 ex.: Kivu, riv. Tshinganda Bumakiri; 30.III.1950. G. MARLIER.

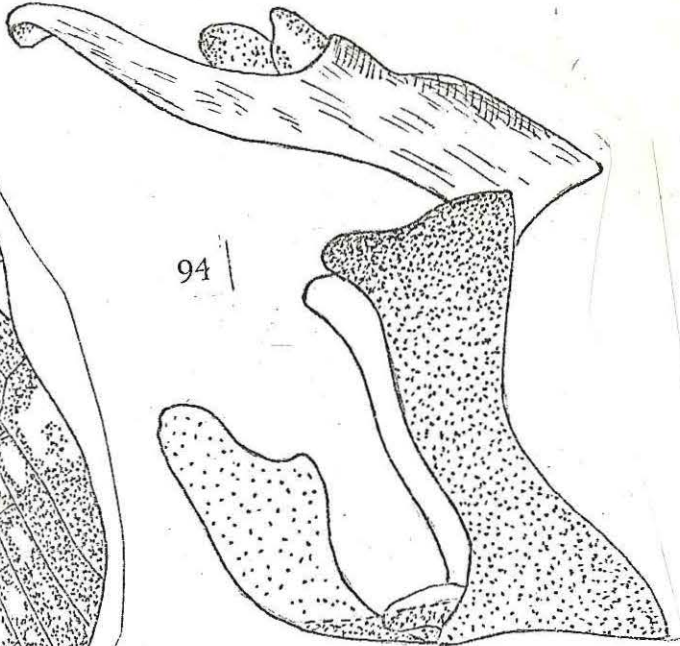
Pemice ifeana Synave

1979, Bull. I.R.S.N.B., T. 51, n. 6.

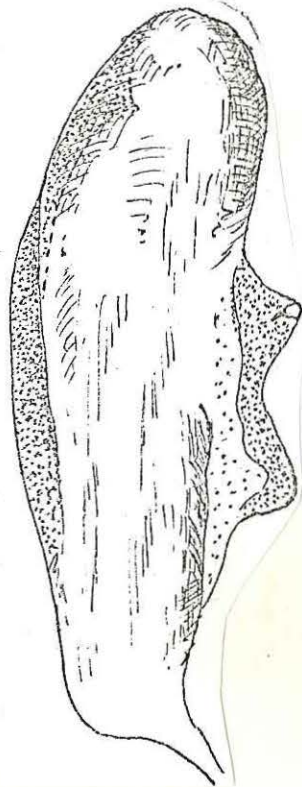
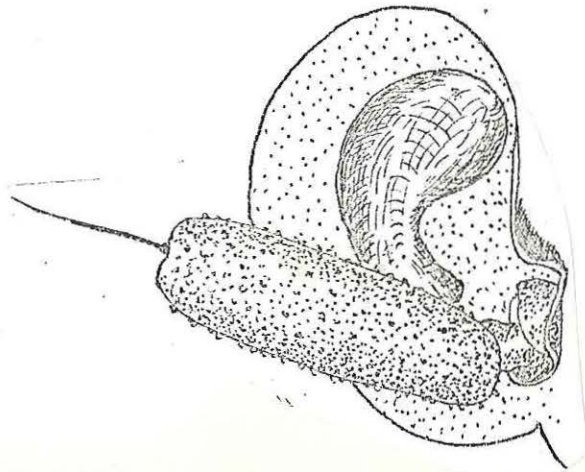
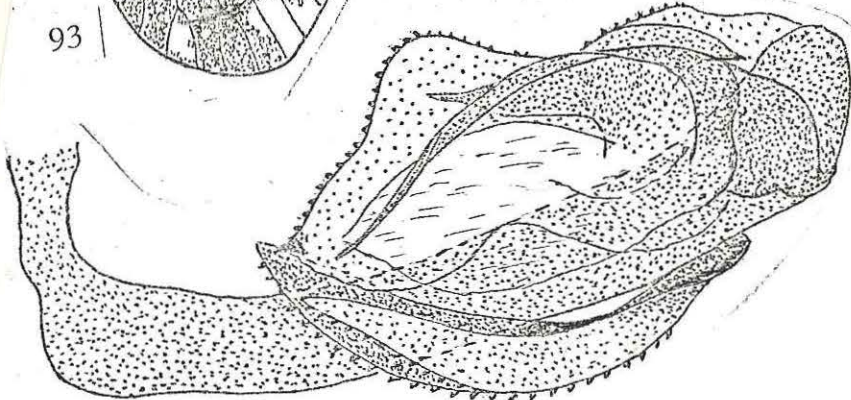
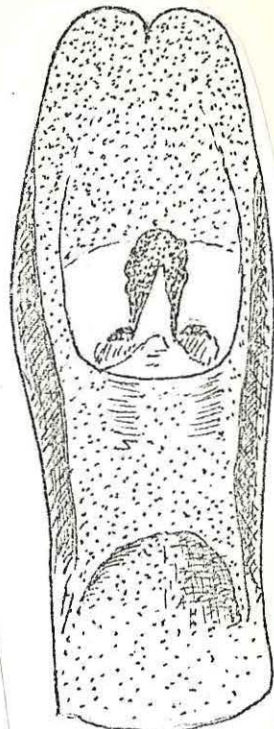
~~(I.R.S.N.B.)~~



93



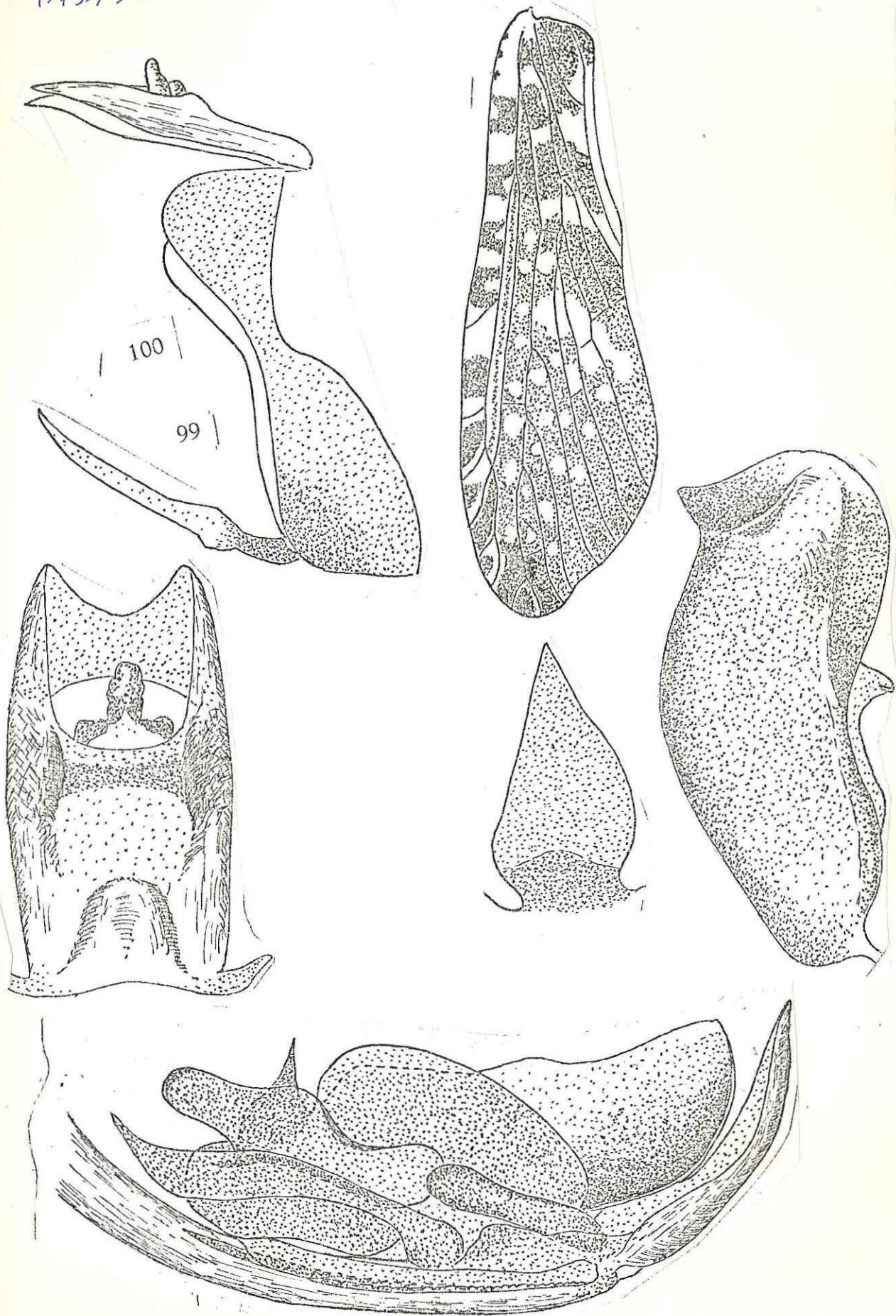
94



Phemice medleri Synave

1973, Bull. IRSNB., T. 51, n. 6.

(Plate)



Cette espèce, très voisine de *fasciolata* BOHEMAN, s'en distingue principalement par le 2^e article des antennes qui, chez *fasciolata*, est un peu moins de 4 fois plus long que large tandis qu'il ne l'est que 2 fois chez *grandis*.

Il y a, en outre, chez *fasciolata* des ébauches de processus sous-antennaires constituées par un étroit rebord lamellaire autour de la base de l'antenne. Chez *grandis* il n'y a aucune trace de processus sous-antennaires. Le dessin des élytres est très semblable chez les 2 espèces.

Tribu OTIOCERINI

Tête étroite; front lamellaire, à bords latéraux fortement relevés, souvent plus ou moins accolés. Elytres plus de 2,5 fois plus longs que larges; clavus généralement ouvert, le tronc commun des nervures clavales dépassant l'apex du clavus et rejoignant généralement *Cu2* ou le bord de l'élytre (chez *Kamendaka*, le clavus est fermé et le tronc commun des nervures clavales en rejoint l'apex); cellules apicales (au moins celles de *M*) courtes; généralement la 2^e cubitale et parfois la 1^{re} (*Robigus*) ne rejoignant pas le bord de l'élytre. Ailes postérieures développées, dépassant la $\frac{1}{2}$ de la longueur des élytres.

TABLE DES GENRES.

1. Sur les élytres, *M* partant de *R* après la bifurcation *Sc + R*. Processus sous-antennaires présents *Mysidioides* MATSUMURA, p. 187.
- *M* ne partant pas de *R* ou partant avant la bifurcation *Sc + R* 2
2. Secteurs de *M* confinés au $\frac{1}{3}$ apical de l'élytre. Antennes cylindriques
Robigus DISTANT, p. 185.
- Secteur basal de *M* avant le $\frac{1}{3}$ apical de l'élytre 3
3. Bifurcation *Sc + R* avant le milieu de l'élytre; cellule sous-costale longue et étroite. Vertex triangulaire, peu saillant au-devant des yeux. 2^e article des antennes beaucoup plus long que large
Pyrrhoneura KIRKALDY, p. 183.
- Bifurcation *Sc + R* au milieu de l'élytre ou après; cellule sous-costale courte. Antennes courtes; 2^e article à peine plus long que large
Kamendaka DISTANT, p. 192.

1. — Genre PYRRHONEURA KIRKALDY.

KIRKALDY, F., 1906, Bull. Haw. Sug. Plant. Assoc., Div. Ent. I (9), p. 434.

Front étroit, à bords latéraux lamellaires; vu de profil, il est soit régulièrement convexe, soit subconique. Vertex peu saillant au-devant des yeux, triangulaire, à

bords latéraux épaissis, convergents vers l'apex où ils se prolongent par ceux du front. 2^e article des antennes s'élargissant vers l'apex, environ 5 fois plus long que large à la base. Sur les élytres, s'élargissant fortement vers l'apex, *M* part du tronc commun *Sc+R* non loin de la cellule basale; bifurcation *Sc+R* avant le milieu de l'élytre; cellule sous-costale longue et étroite; clavus ouvert, le tronc commun des nervures clavales rejoignant la série de transversales au-delà de l'apex du clavus.

Es pèce - type: *P. saccharicida* KIRKALDY (I. Fidji).

***Pyrrhoneura mlanjensis* MUIR.**

(Fig. 435-436.)

MUIR, F., 1918, Entom. Monthl. Mag., 54, p. 239.

Front lamellaire, à bords latéraux étroitement accolés jusque peu avant l'apex où ils s'écartent l'un de l'autre; vu de profil, il est régulièrement convexe et se joint au vertex en formant un angle de 90°. 1^{er} article des antennes très court;

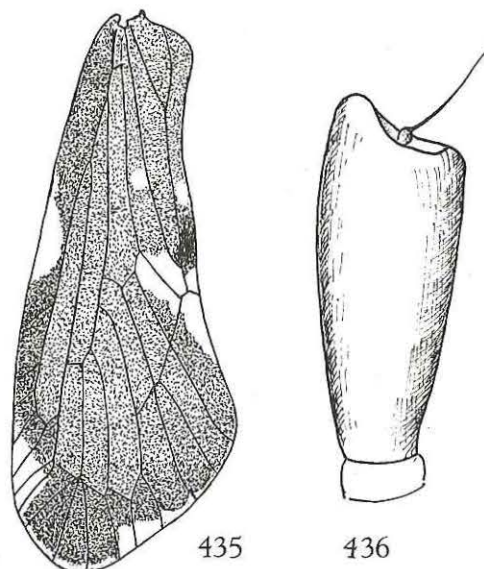


FIG. 435 et 436. — *Pyrrhoneura mlanjensis* MUIR.

435 : Elytre; 436 : Antenne.

2^e article comprimé, environ 5 fois plus long que large à la base, s'élargissant progressivement vers l'apex où il est environ 2 fois plus large (fig. 436). Tête, avec les yeux, plus étroite que le pronotum. Vertex triangulaire, à bords latéraux épaissis, convergents vers l'apex où ils se prolongent par les bords latéraux du front. La tête est jaune à ocre jaune avec des yeux rougeâtres et 1 tache rouge

sur chaque face latérale, entre l'œil et le bord externe. Pronotum brun, à bords et carène jaunâtres, avec tache diffuse rouge sur les plaques pectorales et sur le milieu; très court au milieu, à base très profondément et anguleusement échancrée; 1 carène médiane nette et 1 autre sur les plaques pectorales. Elytres environ $2\frac{1}{2}$ fois plus longs que larges; *M* partant de la base de *Sc+R*, formant un court tronc commun; bifurcation *Sc+R* avant le $\frac{1}{3}$ basal; *Cu2* rejoignant la série de transversales et n'atteignant pas le bord; bruns, à nervures rouges; 1 tache marginale blanche vers le milieu de la cellule costale; 1 autre, plus petite, peu avant l'angle apical; 1 troisième au bord apical; 1 très grande contre le milieu du bord sutural recouvrant l'apex du clavus et atteignant la bifurcation de *Cu*; enfin, 2 très petites situées respectivement au milieu de la cellule cubitale basale et après le milieu de la cellule comprise entre le bord sutural et le tronc commun *Cl1Cl2* (fig. 435). Face ventrale du thorax ocre sauf latéralement où elle est rouge. Pattes jaunâtres. Abdomen ocre à brun foncé, avec bord postérieur des segments rouge.

Longueur totale: env. 6 mm.

Distribution. — Nyassaland.

2. — Genre **ROBIGUS** DISTANT.

DISTANT, W. L., 1911, Ann. Mag. Nat. Hist. (9), 8, p. 641.

Front à bords latéraux étroitement accolés; vu de profil, il est fortement saillant et rejoint le vertex en formant un angle. Vertex dépassant très fortement le bord antérieur des yeux, à bords latéraux lamellaires fortement relevés. 1^{er} article des antennes court et large, 2^e article environ 4 fois plus long que large. Pas de processus sous-antennaires. Pronotum avec carène médiane nette; plaques pectorales lamellaires, dilatées et redressées. Elytres allongés, de largeur à peu près constante; *M* partant de la base du tronc commun *Sc+R* et, de toute façon, avant la bifurcation *Sc+R*; secteurs médians confinés au $\frac{1}{3}$ apical; clavus ouvert, le tronc commun *Cl1Cl2* rejoignant *Cu2* après l'apex du clavus. Ailes non réduites, aussi longues que les élytres.

Espèce-type: *R. sanguineus* DISTANT (Ceylan).

4. — **Robigus tortrinotatus** MUIR.

(Fig. 437-442.)

MUIR, F., 1926, Ann. Mag. Nat. Hist. (9), 18, p. 231.

La description, de même que les figures, ont été établies d'après un spécimen du British Museum comparé au type et provenant de la localité typique.

Front lamellaire, à bords latéraux étroitement accolés sur toute leur longueur; vu de profil il est fortement convexe et saillant vers l'avant, et se joint au vertex

en formant un angle de 90° (fig. 437). Clypéus non caréné, 1^{er} article des antennes court et large, jaune; le 2^e, rouge vif, est plus de 4 fois plus long que large. Pas de processus sous-antennaires. Front et clypéus, jaune citron; le premier avec une bande rouge entre l'œil et le bord antérieur ainsi qu'avec une tache

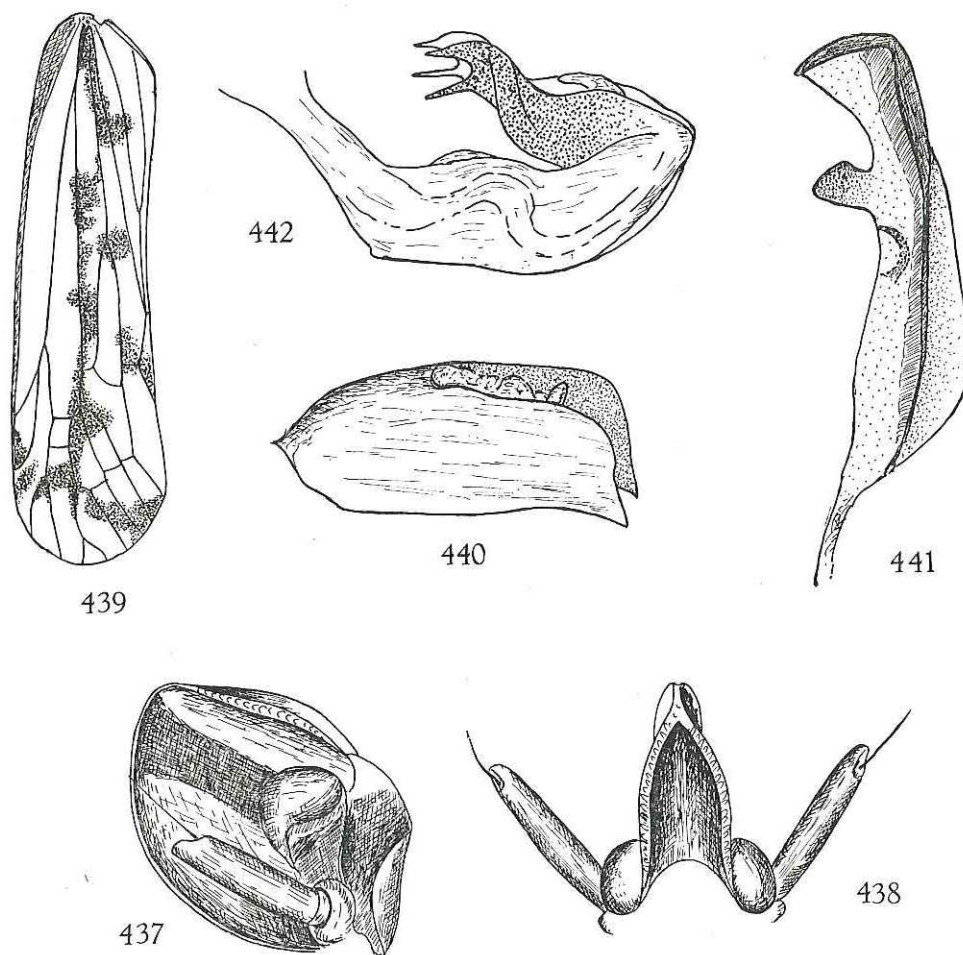


FIG. 437-442. — *Robigus tortrinotatus* MUIR.

437 : Tête, vue de profil; 438 : Tête, vue de dessus; 439 : Elytre; 440 : Tube anal, vue latérale; 441 : Paramère; 442 : Edéage, vue latéro-ventrale gauche.

de même couleur entre l'œil et l'antenne; le 2^e, avec 2 bandes transversales rouges, dont 1 à l'apex et la 2^e à la base. Vertex fortement saillant vers l'avant, à bords latéraux lamellaires fortement relevés et, de ce fait, disque profondément creusé; les bords latéraux, légèrement convexes, se rejoignent vers l'avant en formant un angle aigu; base profondément échancrée; jaune, avec tache rouge

2. Robigus pattersoni Muir

1918, Ent. Monthl. Mag. 54, p. 241
Côte d'Ivoire.



d'après 1 ♂ dont les algues sont détrempés. Ivory Coast, Maracou, 12-13-X-73, Gannacoussi

7
t
s
-
s
-
e
-
s
-
s
-
à
s
-
n
-
R
-
a

dans le fond de la concavité (fig. 438). Pronotum à bord postérieur anguleusement et profondément échancré, à carène médiane très nette; les plaques pectorales sont lamellaires, dilatées et redressées. Pronotum et scutellum jaunes, avec 2 bandes longitudinales rouges depuis le bord postérieur des yeux jusqu'aux bords latéro-postérieurs du scutellum. Pattes jaunes; fémurs antérieurs et médians, rouge vif. Elytres jaune citron, avec dessin rouge vif (voir fig. 439); bifurcation *Sc + R* peu avant le $\frac{1}{3}$ apical et encore avant celle de *M*; *Cu1* rejoignant *M* avant la bifurcation de cette dernière; *Cu2* atteignant le bord postérieur. Ailes aussi longues que les élytres, blanchâtres. Pattes blanc jaunâtre; tibias postérieurs non armés. Genitalia ♂, voir figures 440-442.

Longueur totale: env. 8 mm.

Distribution. — Nyassaland (Type); Afrique du Sud (Swaziland); Congo (Léo); Afrique-Equatoriale française (R.C.A.).

Musée Royal de l'Afrique Centrale:

4 ex.: Swaziland, Eranchi, XII.1954-I.1955, A. L. CAPENER; Eala, VIII.1936, J. GHES-
QUIÈRE; Mayumbe, Banga, 28.VI.1924, A. COLLART.

Muséum National d'Histoire Naturelle (Paris):

Toukoulou, s. cacao, M. BOULARD.

R. matsumurae Mun a été oubliée! (voir note ci-dessus).

3. — Genre **MYSIDIOIDES** MATSUMURA.

MATSUMURA, S., 1905, 1000 Insects of Japan, 2, p. 60.

Front à bords latéraux lamellaires, étroitement accolés en leur milieu, divergents vers la base ainsi que peu avant l'apex. Clypéus fortement convexe, non caréné. Vertex triangulaire, légèrement saillant au devant des yeux, à bords latéraux fortement épaissis et convergents vers l'avant. Antennes courtes, le 2^e article environ 2 fois plus long que large. Processus sous-antennaires développés, partant de la base de l'antenne et dirigés vers l'arrière. Pronotum très court, à bord postérieur très profondément et anguleusement échancré; les plaques pectorales, de même que les carènes latérales sont foliacées et forment avec le processus, une cupule entourant l'antenne. Scutellum tricaréné. Elytres de 2 à 3 fois plus longs que larges, étroits à la base, s'élargissant progressivement puis se rétrécissant vers l'apex; *Sc*, *R* et *M* formant un tronc commun; bifurcation *Sc + R* peu après la cellule basale; *M* formant un long tronc commun avec *R* dont elle se sépare loin après *Sc + R*. Ailes non réduites, dépassant la $\frac{1}{2}$ de la longueur des élytres.

Espèce-type: *M. sapporoensis* MATSUMURA (Japon).

TABLE DES ESPECES (♀ ♀).

1. Elytres environ 2 fois plus longs que leur largeur maximale, avec une bande oblique, brune, entre l'apex du clavus et l'angle apical. Segment pré-génital de la ♀ avec bord postérieur concave de part et d'autre du milieu qui est anguleusement saillant vers l'arrière *M. ampliata* n. sp., p. 188.
- Elytres près de 3 fois plus longs que leur largeur maximale; pas de bande oblique, brune, entre l'apex du clavus et l'angle apical 2
2. Segment pré-génital de la ♀ à bord postérieur presque droit, avec faible saillie médiane convexe *M. africana* MUIR, p. 190.
- Segment pré-génital de la ♀ avec saillie médiane anguleuse, bilobée
M. gillardini n. sp., p. 190.

1. — *Mysidioides ampliata* n. sp. ♀

(Fig. 443 et 444.)

Front à bords latéraux lamellaires, étroitement accolés, parallèles entre les yeux, divergents vers la base et peu avant l'apex; brun foncé sauf la partie basale qui est jaune. Clypéus ocre, convexe, non caréné. Antennes ocre, sauf la face interne du 2^e article qui est brune; 2^e article environ 2 fois plus long que large. Processus sous-antennaires développés. Vertex jaune, à bords latéraux fortement relevés, épaissis, légèrement convergents vers l'avant. Pronotum jaune au milieu, brun latéralement; carènes latérales et plaques pectorales fortement relevées, formant cupule. Scutellum tricaréné, brun, avec une large bande longitudinale médiane jaune. Elytres un peu plus de 2 fois plus longs que leur largeur maximale, s'élargissant progressivement depuis la base jusqu'après le milieu où ils atteignent leur largeur maximale, se rétrécissant ensuite progressivement vers l'apex; hyalins, avec marques brunes (notamment une bande transversale oblique sur le milieu) ou noirâtres (notamment après l'apex du clavus et sur les transversales apicales) (voir fig. 443), clavus ouvert, le tronc commun des nervures clavales rejoignant les transversales; *Sc*, *R* et *M* formant un tronc commun à la base; *Sc* et *R + M* se séparent peu après la cellule basale, *R* et *M* se séparent vers le $\frac{1}{3}$ basal. *M* avec 5 secteurs dont le 1^{er} et le 2^e sont bifurqués non loin du bord de l'élytre. Bord postérieur de la plaque subgénitale concave de chaque côté d'une saillie médiane anguleuse (voir fig. 444).

Longueur totale: env. 11 mm.

Cette espèce se distingue des 2 autres par les élytres plus fortement dilatés après le milieu et de ce fait à peine un peu plus de 2 fois plus longs que larges, par la présence d'une bande oblique brune entre l'apex du clavus et l'angle apical et par la plaque subgénitale de la ♀.

H o l o t y p e ♀: République Centrafricaine, Michel BOULARD (Muséum national d'Histoire naturelle, Paris).

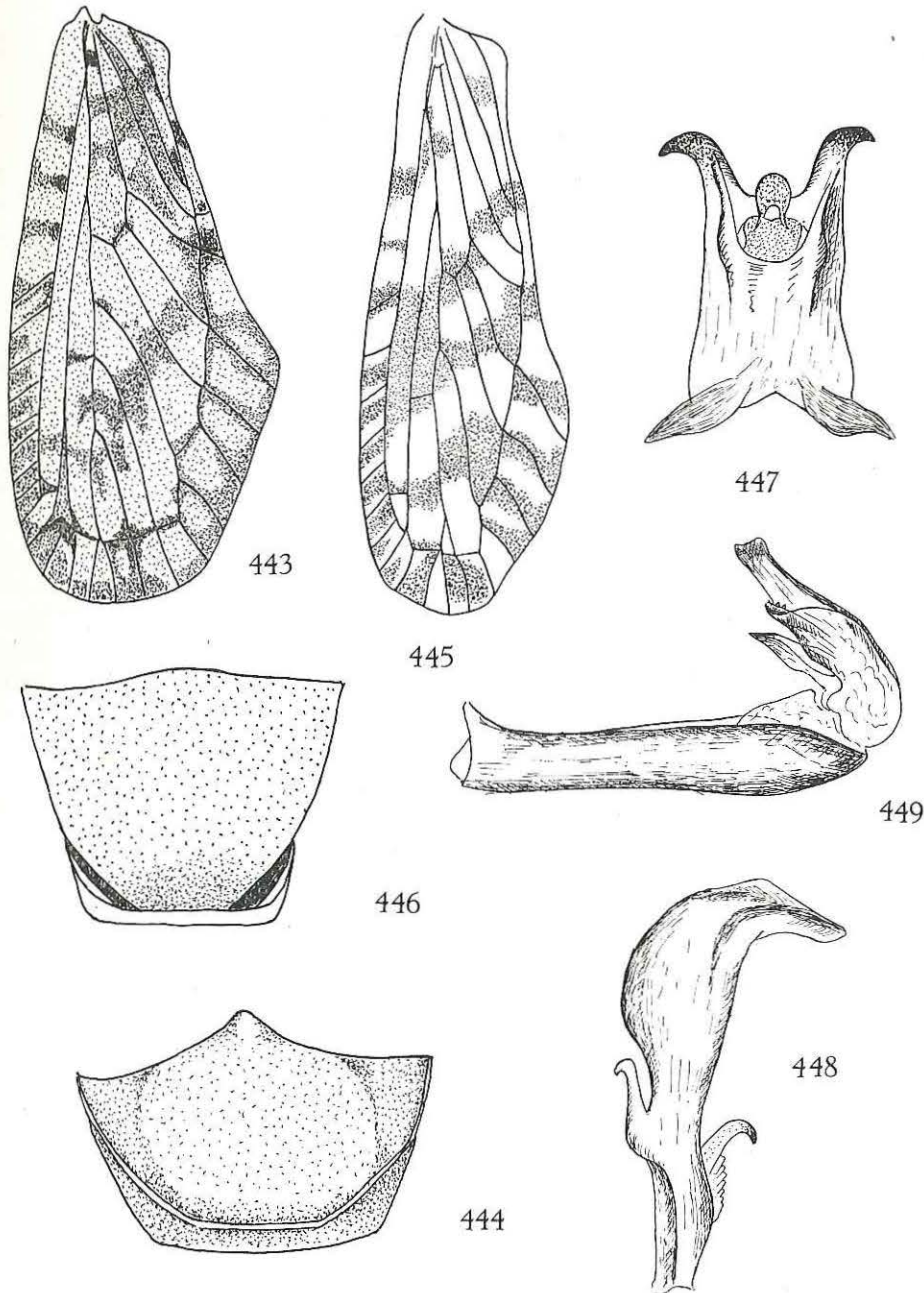


FIG. 443 et 444. — *Mysidioides ampliata* n. sp.
443 : Elytre; 444 : Plaque subgénitale de la ♀.

FIG. 445-449. — *Mysidioides africana* MUIR.
445 : Elytre; 446 : Plaque subgénitale de la ♀; 447 : Tube anal, vue dorsale; 448 : Paramère;
449 : Edéage, vue latéro-ventrale gauche.

2. — *Mysidioides africana* MUIR.

(Fig. 445-449.)

MUIR, F., 1923, Ann. Mag. Nat. Hist. (9), II, p. 560.

Front lamellaire, à bords latéraux étroitement accolés, concaves et divergents peu avant le clypéus, divergents également vers la base. Clypéus fortement convexe, non caréné. Vu de profil, le front est peu saillant vers l'avant, droit, mais devient convexe peu avant sa jonction avec le vertex. 2^e article des antennes environ 3 fois plus long que large, s'élargissant vers l'apex. Processus sous-antennaires développés, arrondis vers l'arrière, formant cupule avec les plaques pectorales et les carènes latérales du pronotum qui sont très dilatées et relevées. Coloration ocre à ocre jaune, le clypéus brunâtre. Vertex ocre, légèrement saillant au devant des yeux, se prolongeant vers l'avant et délimitant une aire triangulaire; bord postérieur concave. Pronotum très court au milieu, à bord postérieur très profondément et anguleusement échancré; les plaques pectorales, de même que les carènes latérales, forment une cupule qui se complète vers l'avant par le processus sous-antennaire. Scutellum près de 2 fois plus long que vertex et pronotum réunis (32 : 17). Pronotum et scutellum jaunâtres, recouverts d'une pruinosité blanche. Pattes antérieures et médianes brunes, à arêtes blanchâtres; pattes postérieures jaunâtres sauf l'apex des tibias et des tarsi qui est brun. Elytres environ 3 fois plus longs que leur largeur maximale; bifurcation $Sc+R$ à une très courte distance de la base et loin avant celle de $R+M$ qui se fait vers l'apex du clavus. Tronc commun des nervures clavales prolongé au-delà de l'apex ouvert et rejoignant la série de transversales; hyalins, blanchâtres, avec taches brunes réparties suivant la figure 445. Bord postérieur du segment pré-génital de la ♀ presque droit, avec faible saillie médiane convexe (voir fig. 446). Genitalia ♂, voir figures 447-449).

Distribution. — Nigeria (Type); Sierra Leone; Afrique-Equatoriale française (R.C.A.); Côte d'Ivoire (Sud-Occidentale); Côte d'Ivoire.

Remarque. — La description et les figures ont été établies d'après 2 exemplaires du British Museum comparés au type et provenant tous deux de Njala (Sierra Leone).

Musée Royal de l'Afrique Centrale :

1 ex. : Ubangi, Yakoma, XI.1949, P. VAN ACHTER.

3. — *Mysidioides gillardini* n. sp.

(Fig. 450-456.)

Front brun au milieu, ocre à la base et à l'apex; long et étroit, à bords latéraux étroitement accolés entre les yeux, divergents à l'apex et à la base; vu de profil, il est légèrement convexe et saillant au-devant des yeux. Clypéus ocre, convexe, plus long que le front. Antennes brunes; 2^e article pyriforme, un peu plus long que large, étroit à la base, s'élargissant fortement et progressivement vers l'apex

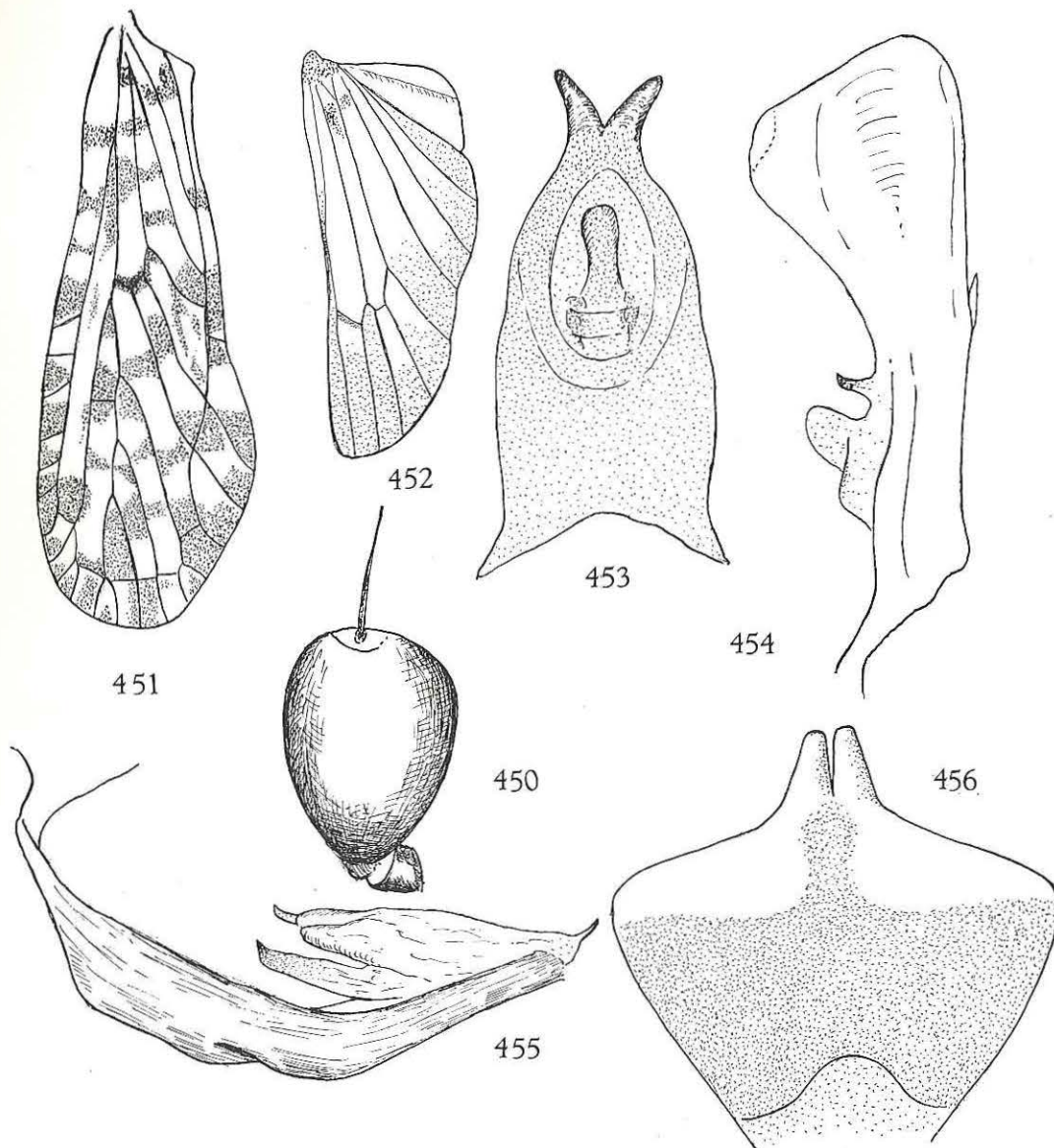


FIG. 450-456. — *Mysidioides gillardini* n. sp.

450 : Antenne; 451 : Elytre; 452 : Aile; 453 : Tube anal, vue dorsale; 454 : Paramère;
455 : Edéage, vue latéro-ventrale gauche; 456 : Plaque subgénitale de la ♀.

(fig. 450). Yeux noir brillant, environ 2 fois plus longs que larges, à bord inférieur fortement concave. Processus sous-antennaires développés vers l'arrière à partir de la base de l'antenne. Vertex brun, à bords latéraux ocre, épaissis, convergents vers l'apex où ils se rejoignent et prolongent ceux du front. Pronotum jaunâtre, à bord postérieur profondément et anguleusement échancré; carène médiane nette, carènes latérales et plaques pectorales relevées, foliacées, formant une cupule avec le processus sous-antennaire. Scutellum brun, maculé d'ocre plus ou moins foncé. Elytres environ 3 fois plus longs que leur largeur maximale; hyalins, avec nombreuses marques brunes réparties suivant la figure 451; bifurcation *Sc+R* non loin de la cellule basale; *R* formant un tronc commun avec *M* et s'en séparant peu après le 1^{er} secteur de *M*; *Cu* avec 2 branches dont l'externe atteint le bord de l'élytre et dont l'interne est rejointe par le tronc commun *CUIC2*; *M* avec 5 secteurs dont le 1^{er} et le 2^e sont bifurqués non loin du bord de l'élytre; clavus ouvert, nervures clavales réunies après le milieu, formant un tronc commun qui rejoint *Cu2* et la série de transversales, au-delà de l'apex du clavus. Ailes, voir figure 452. Pattes jaunâtres; apex des tibias et tarses (sauf la $\frac{1}{2}$ basale du 1^{er} article), bruns. Genitalia ♂, voir figures 453-455. Plaque subgénitale de la ♀ avec saillie médiane anguleuse, bilobée (voir fig. 456).

Longueur totale: env. 9 mm.

Chez l'allotype ♀, le vertex, le pronotum et le scutellum sont blanc jaunâtre; le vertex présente 2 petites taches apicales brunes, le pronotum 1 grosse tache derrière les yeux, le scutellum est plus ou moins maculé de brun, surtout sur les angles latéraux.

Holotype ♂: Port-Francqui, X.1937, M^{me} GILLARDIN (Musée Royal de l'Afrique Centrale).

Allotype ♀: Aruwimi, Panga, 1-10.IV.1925, H. SCHOUTEDEN (idem).

4. — Genre **KAMENDAKA** DISTANT

DISTANT, W. L., 1906, Fauna Brit. India, III, p. 310.

Front plus étroit à la base qu'à l'apex; en vue latérale, il est saillant au-devant des yeux, plus ou moins fortement convexe, rejoint le vertex en formant un angle variable (de 45° à 90°) et présente, ou non, une encoche plus ou moins marquée, à l'endroit de la jonction. Vertex à bords latéraux fortement relevés et épaissis, convergents vers l'avant. Antennes courtes; 2^e article à peine plus long que large; processus sous-antennaires absents ou très petits. Carènes latérales du pronotum non fortement saillantes. Elytres environ 3 fois plus longs que larges, s'élargissant progressivement vers l'apex; clavus fermé, le tronc commun des nervures clavales rejoignant l'apex du clavus; *M* partant du tronc commun *Sc+R* avant la bifurcation qui se situe vers le milieu de l'élytre; cellule sous-costale courte et étroite, située sur la $\frac{1}{2}$ apicale de l'élytre; *M* avec 4 secteurs, dont le 1^{er} avant le $\frac{1}{3}$ apical de l'élytre. Ailes développées, dépassant la $\frac{1}{2}$ de la longueur des élytres.

E s p è c e - t y p e : *Kamendaka spectra* DISTANT (Ceylan).

TABLE DES ESPECES.

1. Vu de profil, le vertex est fortement saillant au-delà du front. Elytres blancs, marqués de brun pâle, avec 3 petites taches noires sur les cellules médianes apicales *K. ugandanensis* MUIR, p. 194.
- Vertex non fortement saillant au-devant du front. Elytres ne présentant pas de points noirs sur l'apex 2
2. En vue latérale, il y a une encoche, parfois peu marquée, marquant la jonction entre front et vertex 3
- Pas d'encoche marquant la séparation entre front et vertex, les deux se rencontrant en formant un angle 7
3. Encoche marquant la jonction entre front et vertex très nette, anguleuse. Front fortement convexe, en demi-cercle. Apex du tube anal présentant 2 fortes épines latérales; pygophore à bords latéraux présentant une saillie médiane arrondie, à processus médio-ventral quadrangulaire
K. straminea MUIR, p. 196.
- Encoche marquant la jonction entre front et vertex faible, concave 4
4. En vue latérale, front fortement saillant vers l'avant; distance entre le bord externe de l'œil et le point le plus éloigné du bord latéral du front, très supérieure à celle qui sépare le bord inférieur de l'œil de celui du front. 5
- Front nettement moins saillant vers l'avant; distance entre le bord externe de l'œil et le bord latéral du front, inférieure à celle qui sépare le bord inférieur de l'œil de celui du front 6
5. Front régulièrement convexe, semi-circulaire. Pygophore à bords latéraux anguleusement saillants au milieu. Elytres blancs, fortement marqués de brun *K. similis* n. sp., p. 197.
- Front anguleusement saillant au-devant des yeux; distance entre le bord externe de l'œil et la pointe de l'angle, 1,6 fois supérieure à celle qui sépare le bord inférieur de l'œil de celui du front. Bords latéraux du pygophore non anguleusement saillants au milieu. Elytres blancs, avec quelques marques brunes ou noires *K. nigeriana* SYNAVE, p. 200.
6. Elytres presque entièrement brun-noir, avec quelques petites taches blanches éparses; nervures rougeâtres à rouge vif *K. ifeana* SYNAVE, p. 202.
- Elytres brun clair avec très nombreuses taches blanches surtout sur le clavus et la cellule costale; nervures pâles sauf *Sc*, *R* et *M* qui sont rouges ...
K. izzardii n. sp., p. 202.
7. Elytres bruns, plus ou moins foncés, marqués de blanc 11
- Elytres blancs, avec quelques marques brunes 8
8. Faces latérales de la tête avec 3 traits horizontaux noirs, dont 1 sous le bord du vertex, 1 au niveau de l'œil et 1 à l'apex, se prolongeant sur la base

- du clypéus. Egalement, 2 traits noirs sur les faces latérales du pronotum, entre l'œil et la tegula *K. kordofana* n. sp., p. 205.
- Pas de traits horizontaux noirs sur la tête et le pronotum 9
9. Bord apical du processus médio-ventral du pygophore largement arrondi ou droit (fig. 505 et 513) 10
- Processus médio-ventral du pygophore apicalement acuminé (fig. 500). Apex du tube anal avec encoche médiane concave, peu profonde (fig. 501)
K. hargreavesi MUIR, p. 207.
10. Bord apical du processus médio-ventral du pygophore avec encoche médiane concave (fig. 505). Tube anal avec encoche apicale anguleuse, assez profonde (fig. 506) *K. minor* MUIR, p. 208.
- Bord apical du processus médio-ventral du pygophore très légèrement convexe, presque droit, sans encoche (fig. 513)
K. hyalina n. sp., p. 209.
11. Bords latéraux du pygophore anguleusement saillants au milieu
K. albomaculata MUIR, p. 212.
- Bords latéraux du pygophore non anguleusement saillants mais leur $\frac{1}{2}$ supérieure anguleusement saillante 12
12. Elytres fortement marqués de blanc (fig. 520). Edéage, voir figure 525
K. soyeræ CHINA, p. 212.
- Elytres bruns, avec petites taches blanches (fig. 527). Edéage, voir figure 529.
K. pseudalbomaculata MUIR, p. 215.

1. — **Kamendaka ugandensis** MUIR.

(Fig. 457-461.)

MUIR, F., 1928, Ann. Mag. Nat. Hist. (10), 1, p. 506, fig. 10 a-b, 11.

Espèce très caractéristique, facilement reconnaissable par le vertex fortement saillant vers l'avant, au-delà du front et par les élytres blancs, à peine marqués de brun très pâle, avec 3 points noirs sur les cellules apicales médianes.

Front lamellaire, à bords latéraux accolés, ou presque, sur les $\frac{2}{3}$ supérieurs. Vu de profil, il est convexe et sa jonction avec le vertex se fait un peu en arrière de l'apex de ce dernier et il y a, de ce fait, une encoche très nette (fig. 457). Vertex fortement saillant vers l'avant, à bords latéraux convexes, fortement relevés et épaissis, se rejoignant en arc vers l'avant. Coloration générale blanc jaunâtre. Elytres blancs, avec léger dessin brun clair (voir fig. 458) et 3 petits points noirs sur les cellules apicales médianes; bifurcation *Sc+R* peu après le milieu de l'élytre; *M* partant du tronc commun *Sc+R* non loin de la base. Ailes, voir figure 459. Genitalia ♂, voir figures 460 et 461.

Longueur totale : env. 7 mm.

Distribution. — Uganda : Kampala (Type); Congo (Léo); Kenia, Nigeria; Sudan; Cameroun.

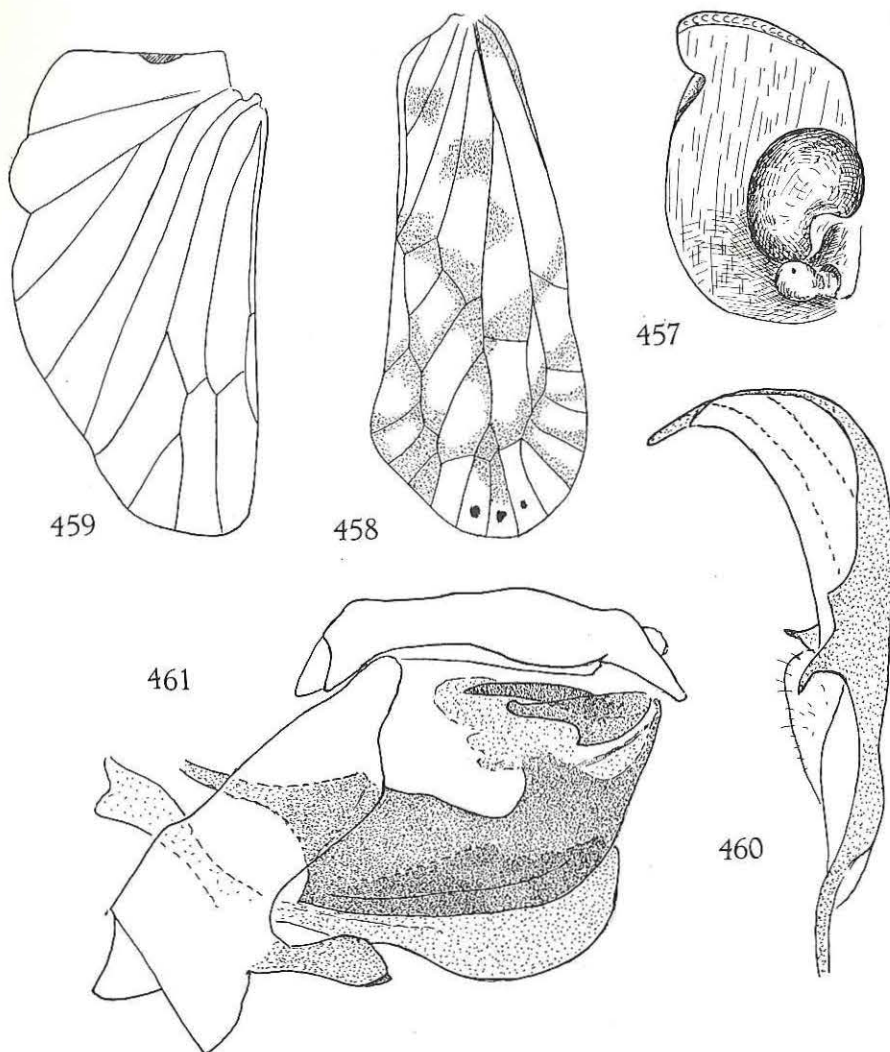


FIG. 457-461. — *Kamendaka ugandensis* MUIR.

457: Tête, vue de profil; 458: Elytre; 459: Aile; 460: Paramère; 461: Genitalia ♂, vue latéro-ventrale gauche (paramère gauche omis).

Institut royal des Sciences naturelles de Belgique :

1 ex. : Univ. Centralafric., Exp. 46-47, Rumangabo, Kongo, 6.XII.1946.

Musée Royal de l'Afrique Centrale :

13 ex. : Elisabethville (à la lumière), 11.IV.1949, Ch. SEYDEL; envir. Mission Rugari (Lulenga), 1933, Dr. DE WULF; Kunungu, 2.IV.1921, Dr. H. SCHOUTEDEN; Kivu : Burunga, 5.XII.1925, Dr. H. SCHOUTEDEN; terr. Rutshuru, 30.VII.1937, Miss. Prophylactique; Rutshuru,

XI.1937, J. GHESQUIÈRE; Kibati (1900), 18-19.I.1934, G. F. DE WITTE; N. Kivu: Lulenga, XII.1927, Ch. SEYDEL.

Institut des Parcs Nationaux du Congo :

Parc National Albert : 47 ex. : Kalondo (lac Ndaraga, Mokoto), 1.750 m, 22-27.III.1934, G. F. DE WITTE, 325; P.N.A., 15.X.1952 P.Vs. et J.K., 2138; 7-15.X.1952, P.Vs. et J.K., 1275-84; 10.IV.1953; P.Vs. et J.K., 2862-63; 29.VII.1954, P.Vs. 9283; 13.X.1952, P.Vs. et J.K., 1279; 26.IX.1955, P.Vs. 1404; 7-15.VII.1955, P.Vs., 13274-309; Kibati, 1.900 m, 10-12.I.1934, G. F. DE WITTE, 161; Rutshuru, 1.285 m, 1-6.VI.1935, G. F. DE WITTE, 1401; 4.VII.1935, 1623; Kiseguro, riv. Rwindi, 8.IV.1945, G. F. DE WITTE, 25; Ngesho, 2.000 m, 3-6.IV.1934, G. F. DE WITTE, 334; Escarpem. de Kabasha, 1.500 m, 12.XII.1934, G. F. DE WITTE, 902; P.N.A., 22.X.1952, P.Vs. et J.K., 1377; 15.X.1952, P.Vs. et J.K., 1315, 1314, 1314-19; P.N.A., 8.I.1954, H. SYNAVE, 7026-31; P.N.A., 13.X.1952, P.Vs. et J.K., 1279; 7-15.VII.1955, P.Vs.

Parc National de l'Upemba : 1 ex. : Kenia, affl. dr. Lusinga, 1.585 m, 8.V.1949, Miss. G. F. DE WITTE, 2638 a.

Parc national de la Garamba : 56 ex. : II/gd/4, 30.XI.1951, H. DE SAEGER, 2831; II/fd/7", 5.V.1952, H. DE SAEGER, 3424; Iso/II/11, 16.VI.1952, H. DE SAEGER, 3642; II/gd/4, 31.VII.1952, H. DE SAEGER, 3859; II/fd/17, 27.VIII.1952, H. DE SAEGER, 3983; II/gd/9, 8.XI.1951, H. DE SAEGER, 2740; 11/hd/8, 26.IX.1951, H. DE SAEGER, 2475; II/gc/6, 10.VII.1951, H. DE SAEGER, 2057; II/cf/6, 3.X.1951, H. DE SAEGER, 2512; II/gd/8, 24.IX.1952, H. DE SAEGER, 4085; II/gd/4, 18.IX.1952, H. DE SAEGER, 4077; II/gd/4, 22.VIII.1952, H. DE SAEGER, 3964; II/gd/8, 13.XII.1951, H. DE SAEGER, 2901; II/gd/11, 4.IX.1952, H. DE SAEGER, 4036; II/fd/17, 25.VI.1951, J. VERSCHUREN, 1970; II/fc/17, 25.IX.1951, H. DE SAEGER, 2471; II/fd/17, 14.XII.1951, H. DE SAEGER, 2910; II/hd/4, 6.XII.1951, H. DE SAEGER, 2861; II/fd/17, 31.VIII.1951, H. DE SAEGER, 2341; Dedegwa, 17.V.1952, H. DE SAEGER, 3481; II/hb/4, 3.VII.1951, J. VERSCHUREN, 2040; II/gd/11, 4.IX.1952, H. DE SAEGER, 4036; Ndelele/R, 24.IX.1952, H. DE SAEGER, 4075; II/fd/17, 3.IV.1952, H. DE SAEGER, 3728; II/gc/7, 14.VIII.1952, H. DE SAEGER, 2814.

U. S. National Museum :

1 ex. : Kakamega, Kenia, Déc. 1956, R. CARCASSON.

2. — *Kamendaka straminea* MUIR.

(Fig. 462-465.)

MUIR, F., 1928, Ann. Mag. Nat. Hist. (10), 1, p. 508, fig. 15 a, b, 16.

Le type de l'espèce ne se trouve pas dans les collections du British Museum et est fort probablement perdu.

D'après la description originale elle peut être caractérisée comme suit :

En vue latérale, une encoche anguleuse marque la jonction entre front et vertex; ce dernier est fortement convexe et forme un demi-cercle (fig. 462).

Sur les élytres, la cellule sous-costale est courte, *M* part du tronc commun *Sc+R* près de la base et présente 4 secteurs.

Tête, thorax, pattes, segment anal et paramères, jaunâtres; une bande jaunâtre plus foncée, à bord supérieur brun, sur les joues, en face des yeux.

Elytres jaunâtre pâle, avec taches hyalines réparties comme suit : 2 ou 3 dans la cellule costale, 2 dans le clavus, 3 rapprochées l'une de l'autre sur la $\frac{1}{2}$ basale entre *M*, *Cu* et la suture clavale, des plages plus étendues entre la bifurcation de *Cu*, entre *Cu* et *Ms1*, entre *Ms1* et *Ms2*, 1 sur la moitié basale de la cellule

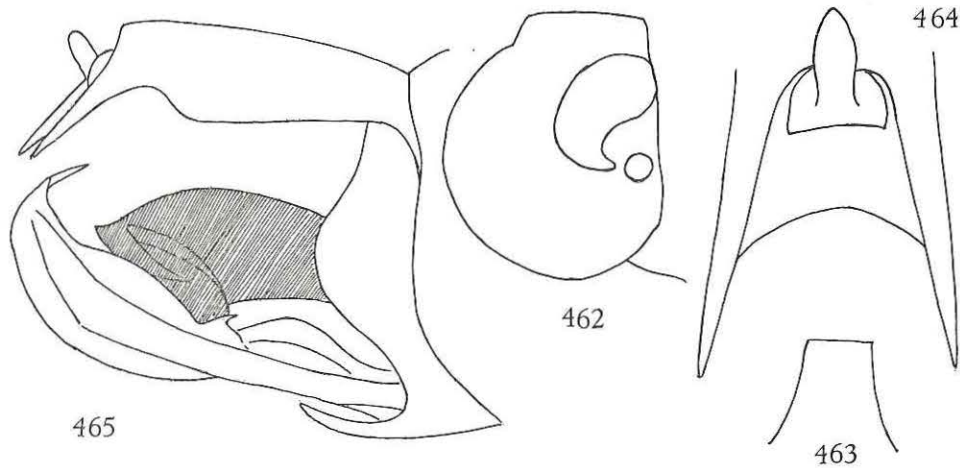


FIG. 462-465. — *Kamendaka straminea* MUIR.

462 : Tête, vue de profil (sec. MUIR); 463 : Appendice médio-ventral du pygophore (sec. MUIR); 464 : Tube anal, vue de dessus (sec. MUIR); 465 : Genitalia ♂, vue latéro-ventrale droite (sec. MUIR).

costale, quelques marques irrégulières sur les cellules apicales; nervures jaune pâle. Ailes blanches, à nervures pâles. Genitalia ♂ (fig. 463-465) : l'apex du tube anal présente 2 fortes épines; bords latéraux du pygophore convexes; processus médio-ventral quadrangulaire; apex des paramères en pointe aiguë, recourbée vers l'intérieur.

Longueur ♂ : 3 mm; élytre : 5 mm.

Distribution. — Uganda.

3. — *Kamendaka similis* n. sp.

(Fig. 466-471.)

Front rejoignant le vertex en formant un angle nettement supérieur à 90°; l'endroit de la jonction est marqué par une concavité assez nette; la distance entre le bord externe de l'œil et le point le plus éloigné du bord latéral est très supérieure à celle qui sépare le bord inférieur de l'œil de celui du front; ocre, avec bande brune entre le bord latéral et l'œil (voir fig. 466). Antennes jaunâtres; 2^e article un peu plus long que large, s'élargissant progressivement vers l'apex.

Vertex jaunâtre, à bords latéraux fortement épaissis présentant des petites dépressions. Pronotum jaune. Scutellum brun clair, avec carènes pâles. Elytres bruns, avec de nombreuses taches blanches réparties suivant la figure 467 (cette réparti-

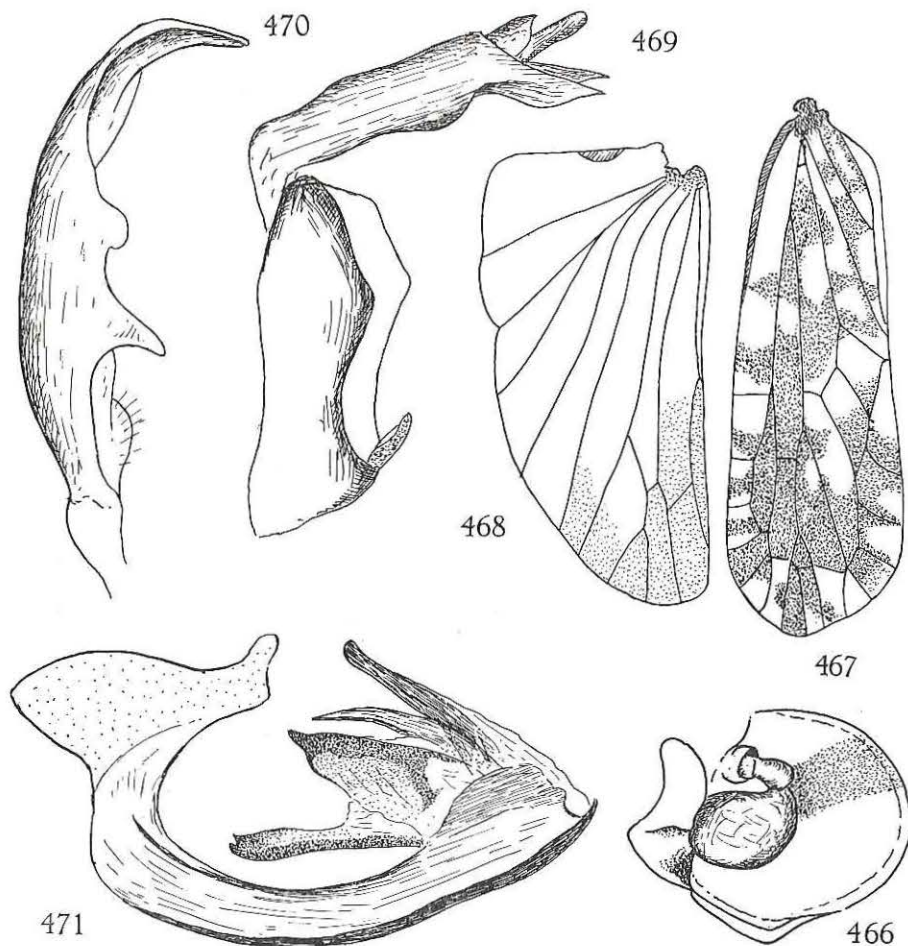


FIG. 466-471. — *Kamendaka similis* n. sp.

466 : Tête, vue de profil; 467 : Elytre; 468 : Aile; 469 : Pygophore et tube anal, vue latérale; 470 : Paramère; 471 : Édéage, vue latéro-ventrale gauche.

tion est variable); nervures pâles sauf *Sc*, *R* et *M* qui sont rouges. Ailes, voir figure 468. Pattes jaunâtres. Genitalia ♂ : bords latéraux du pygophore anguleusement saillants vers le milieu; tube anal terminé par 2 longues pointes (fig. 469); paramères et édéage, voir figures 470 et 471.

Longueur totale : env. 11 mm.

Distribution. — Congo (Léo); Afrique Orientale : Ngoka.

Holotype ♂ : Parc National de la Garamba, Miss. H. DE SAEGER, II/fd/12, 5.VIII.1952, 3884.

Institut des Parcs Nationaux du Congo :

Parc National de la Garamba : 186 Paratypes : II/gc/9, 28.IX.1951, H. DE SAEGER, 2481; II/gc/9, 20.X.1951, H. DE SAEGER, 2651; II/gc/11, 13.XI.1951, H. DE SAEGER, 2757; II/fd/15, 22.IX.1951, H. DE SAEGER, 2464; Mabanga 9", 19.II.1952, H. DE SAEGER, 3134; II/fc/8, 8.XII.1951, H. DE SAEGER, 2876; II/me/10, 12.XI.1951, H. DE SAEGER, 2744; II/fc/11, 25.VI.1952, H. DE SAEGER, 3700; II/ge/7, 16.IX.1952, H. DE SAEGER, 4057; II/g, 25.I.1951, J. VERSCHUREN, 1148; Mabanga 9", 19.II.1952, H. DE SAEGER, 3134; II/gd/10, 25.I.1951, J. VERSCHUREN, 1157; II/gc/11, 5.X.1951,

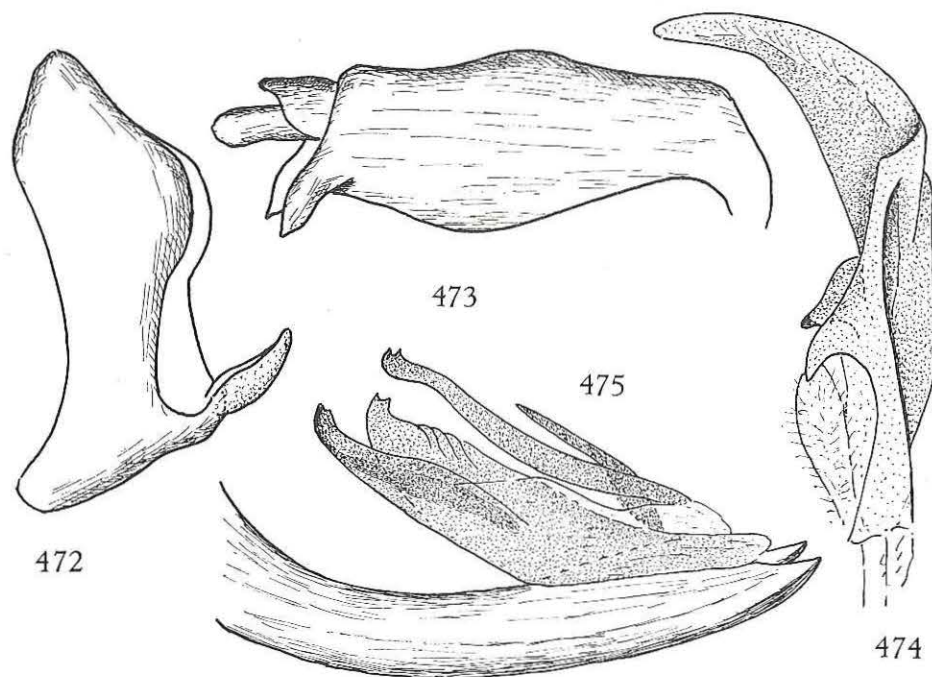


FIG. 472-475. — *Kamendaka ifeana* SYNAVE.

472 : Pygophore, vue latérale; 473 : Tube anal, vue latérale; 474 : Paramère; 475 : Edéage, vue latéro-ventrale gauche.

H. DE SAEGER, 2521; II/gd/4, 8.VIII.1952, H. DE SAEGER, 3923; II/hc/8, 17.VIII.1951, J. VERSCHUREN, 2265; II/gd/4, 26.VI.1952, H. DE SAEGER, 3706; II/hc/8, 9.II.1952, H. DE SAEGER, 3116; II/gc/9, 20.X.1951, H. DE SAEGER, 2651; II/ge/9, 12.III.1951, H. DE SAEGER, 1361; Ndelele K/117/11, 19.III.1952, H. DE SAEGER, 3196; II/jd/11, 1.IX.1952, H. DE SAEGER, 4008; II/gd/10, 8.VIII.1952, H. DE SAEGER, 3909.

Parc National de l'Upemba : 2 Paratypes : Kaziba, 1.140 m, 11-15.II.1948, G. F. DE WITTE, 1287 a; Mukana, 1.810 m, 14.IV.1947, G. F. DE WITTE, 275 a.

South African Museum : 2 Paratypes : Nyaka, P.E.Afr., R. F. LAWRENCE.

4. — *Kamendaka nigeriana* SYNAVE.

(Fig. 478-485.)

SYNAVE, H., 1971, Bull. Inst. roy. Sci. Nat. Belg., t. 47, fasc. 39, p. 18, fig. 39-46.

Front blanc; vu de profil, il est fortement et anguleusement saillant vers l'avant; ses bords sont étroitement accolés depuis la base jusqu'à l'endroit où il se coude brusquement, puis divergents vers le clypéus; une bande transversale brune entre l'œil et l'angle formé par le bord latéral; une très légère dépression avant sa jonction avec le vertex (fig. 479). 2^e article des antennes brunâtre, aussi large que long; pas de processus sous-antennaire. Vertex blanc, à bords latéraux fortement épaissis, convexes, convergents vers le bord antérieur qui est échancré; base également profondément échancrée. Pronotum blanc avec, de chaque côté, une fine strie brune entre l'œil et le bord postérieur. Scutellum fortement convexe, brusquement déprimé avant l'angle postérieur; blanc jaunâtre, avec une tache brunâtre sur l'angle postérieur. Elytres hyalins, blancs, à nervures concolores; quelques marques brunes ou brun-noir réparties comme suit: 2 petites taches noirâtres dans le clavus dont l'une dans la fourche formée par les nervures clavales et l'autre peu avant l'apex; 1 grande tache contre l'apex du clavus, entre la suture clavo-coriale et *Cu*; 1 petite tache à la base, entre *Sc+R+M* et *Cu*; 3 taches au bord costal dont 1 avant le milieu et les 2 autres après; 1 grande tache irrégulière sur l'angle apical; 1 petite tache au milieu de l'apex, entre les secteurs de *M*; bifurcation *Sc+R* peu après le milieu de l'élytre; *M* partant du tronc commun *Sc+R* vers le $\frac{1}{6}$ basal de l'élytre (fig. 478). Pattes ocre; face supérieure des fémurs et tibias antérieurs, noire; fémurs médians avec une strie longitudinale brun foncé sur la face inférieure; 1 tache brun foncé à la base de la face inférieure des fémurs postérieurs; 1 petite tache brune sur les genoux médians et postérieurs. Genitalia ♂, voir figures 480-485.

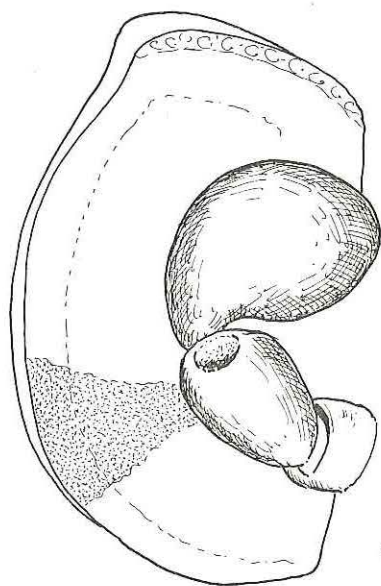
Longueur totale: env. 5 mm.

Cette espèce se distingue des autres par le front fortement et anguleusement saillant vers l'avant, par la coloration des élytres et par les genitalia ♂.

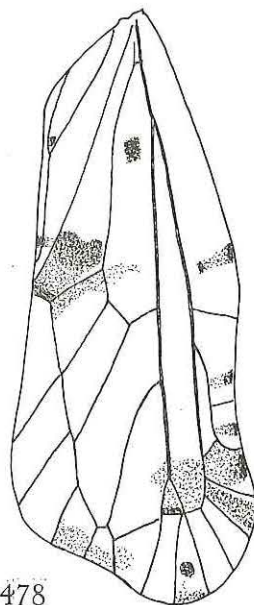
Distribution. — Nigeria.

Institut royal des Sciences naturelles de Belgique:

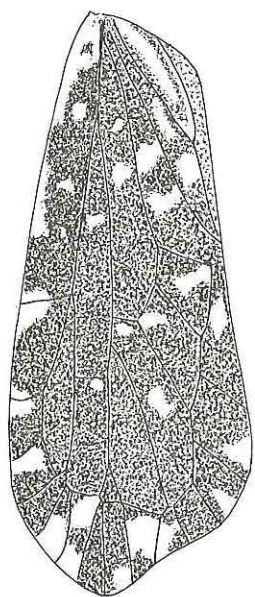
Nigeria, Erin-Odo, W. State, 20 Feb. 1970, Coll. J. T. MEDLER; Nigeria, Owena, W. State, 15 Feb. 1970, Coll. J. T. MEDLER; Ile-Ife, W. State, Sept. 1971, Coll. J. T. MEDLER.



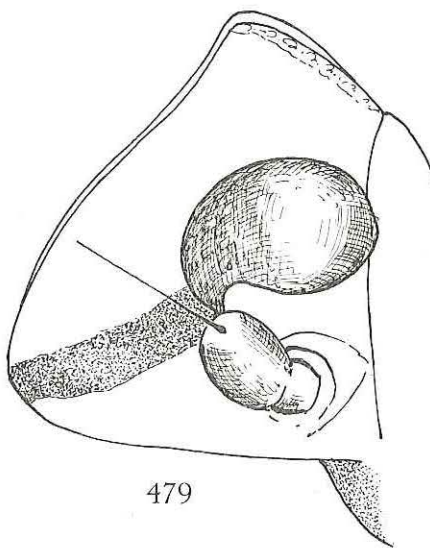
477



478



476



479

FIG. 476 et 477. — *Kamendaka ifeana* SYNAVE.
476 : Elytre; 477 : Tête, vue de profil.

FIG. 478 et 479. — *Kamendaka nigeriana* SYNAVE.
478 : Elytre; 479 : Tête, vue de profil.

5. — *Kamendaka ifeana* SYNAVE.

(Fig. 472-477.)

SYNAVE, H., 1971, Bull. Inst. roy. Sci. Nat. Belg., t. 47, fasc. 39, p. 16, fig. 33-38.

Cette nouvelle espèce ressemble à *albomaculata* MUIR et *pseudalbomaculata* MUIR par les élytres foncés, brun noirâtre, avec quelques marques blanches. Elle en diffère nettement par le fait que le front, vu de profil, présente une faible encoche concave marquant la jonction avec le vertex et surtout par les genitalia ♂.

Front ocre, lamellaire, à bords latéraux étroitement accolés sur les $\frac{2}{3}$ supérieurs. Vu de profil, il présente une légère encoche marquant sa jonction avec le vertex; ocre jaune, avec bande brune entre l'œil et le bord externe (fig. 477). Antennes jaunes; 2^e article environ 1 $\frac{1}{2}$ fois plus long que large. Vertex jaunâtre, à bords latéraux épaissis, convexes, convergents vers l'avant. Pronotum ocre, avec 1 tache brune derrière les yeux et 1 autre sur l'apex des plaques pectorales. Scutellum brun, avec bande longitudinale médiane plus foncée sur laquelle se détache la carène médiane jaune; carènes latérales peu marquées (sur un paratype ♀, le scutellum est noir avec carènes blanchâtres). Elytres presque entièrement brun noirâtre, avec quelques taches blanches éparses (fig. 476); nervures rouge noirâtre, devenant rouge vif à l'apex; bifurcation *Sc+R* au milieu de l'élytre, celle de *Cu* au niveau de l'apex du clavus, peu avant *Sc+R*. Genitalia ♂, voir figures 472-475.

Longueur totale: env. 7 mm.

Distribution. — Nigeria.

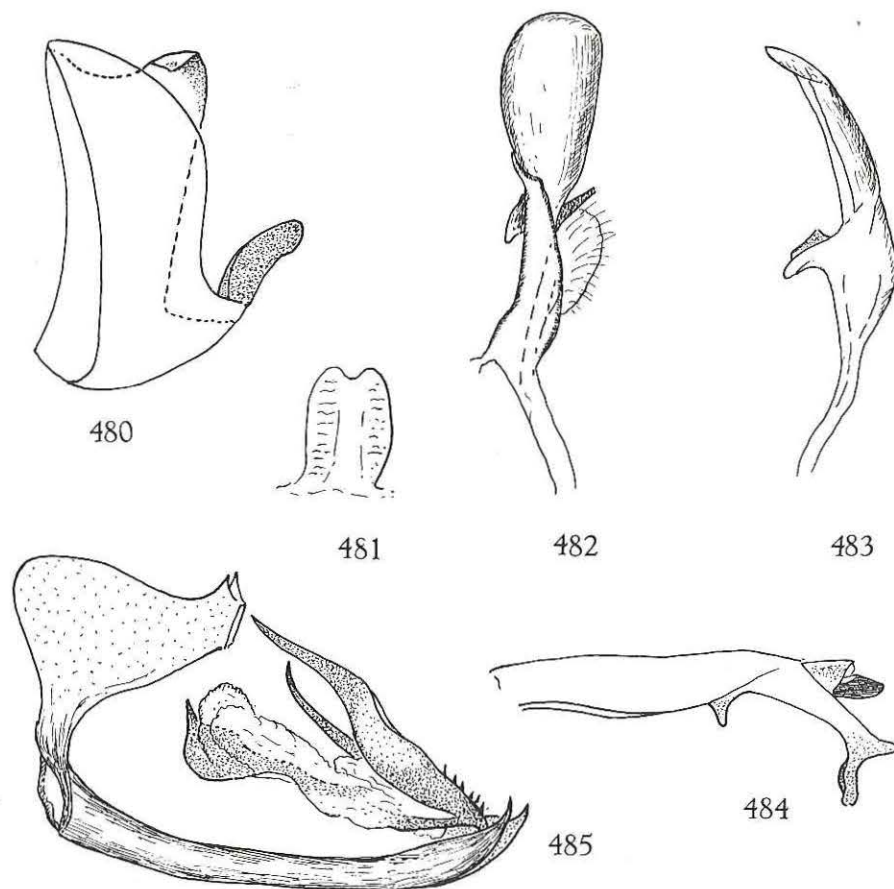
Institut royal des Sciences naturelles de Belgique:

Ile-Ife, Nigeria, 15 Jan. 1970, 26 Nov. 1969, Coll. J. T. MEDLER; Nigeria, Idanre, W. State, 2 May 1970, J. T. MEDLER (Type et Paratypes).

6. — *Kamendaka izzardii* n. sp.

(Fig. 486-491.)

En vue latérale, une légère concavité marque la jonction entre le front et le vertex qui se réunissent en formant un angle légèrement supérieur à 90°; la distance entre le bord latéral et le bord externe de l'œil est inférieure à celle qui sépare le bord inférieur de l'œil de celui du front (voir fig. 486); ocre, avec une bande brune entre la partie inférieure du bord latéral et le bord externe de l'œil. Vertex et pronotum ocre. Scutellum brun clair, avec 3 carènes pâles soulignées de brun foncé. Elytres bruns, avec nombreuses taches blanches réparties suivant la figure 487 (ces taches sont variables en nombre et en importance); nervures pâles sauf *Sc*, *R* et *M* qui sont rouges; *M* partant de la base de *Sc+R* peu avant l'union des nervures clavales; ces dernières s'unissent vers le milieu du

FIG. 480-485. — *Kamendaka nigeriana* SYNAVE.

480 : Pygophore, vue latérale; 481 : Appendice médio-ventral du pygophore; 482 : Paramère, vue de face; 483 : Idem, vue latérale; 484 : Tube anal, vue latérale; 485 : Édéage, vue latéro-ventrale gauche.

clavus. Ailes, voir figure 488. Genitalia ♂ : bords supérieur et postérieur du pygophore formant un angle de 90°; bord postérieur très légèrement sinué, non anguleusement saillant (fig. 489). Tube anal terminé à l'apex par 2 processus spiniformes (fig. 489). Paramères et édéage, voir figures 490 et 491.

Longueur totale : env. 6 mm.

Distribution. — Congo (Léo).

Holotype ♂ : Parc National de la Garamba, Miss. H. DE SAEGER, II/gc/6, 29.VI.1951, H. DE SAEGER, 2015.

Institut des Parcs Nationaux du Congo :

Parc National de la Garamba : 144 Paratypes : idem; II/hd/4, 2.X.1951, H. DE SAEGER, 2496; II/fd/10, 20.XII.1951, H. DE SAEGER, 2935; II/gd/6, 19.VIII.1952, H. DE SAEGER, 3952; II/gd/17, 30.VI.1952, H. DE SAEGER, 3719; II/gd/4, 30.VI.1951, H. DE SAEGER, 2024; II/fe/7", 23.VIII.1951, H. DE SAEGER, 2291; II/gd/4, 5.VII.1951, H. DE SAEGER, 2052; II/gc/6, 5.IV.1952, H. DE SAEGER, 3287; II/fd/15, 7.VIII.1951, H. DE SAEGER, 2225; II/fc/6, 3.X.1951, H. DE SAEGER, 2512; II/gc/13s, 3.IX.1951, H. DE SAEGER, 2361; II/gc/6, 21.VIII.1952, H. DE SAEGER, 3963; II/gd/7,

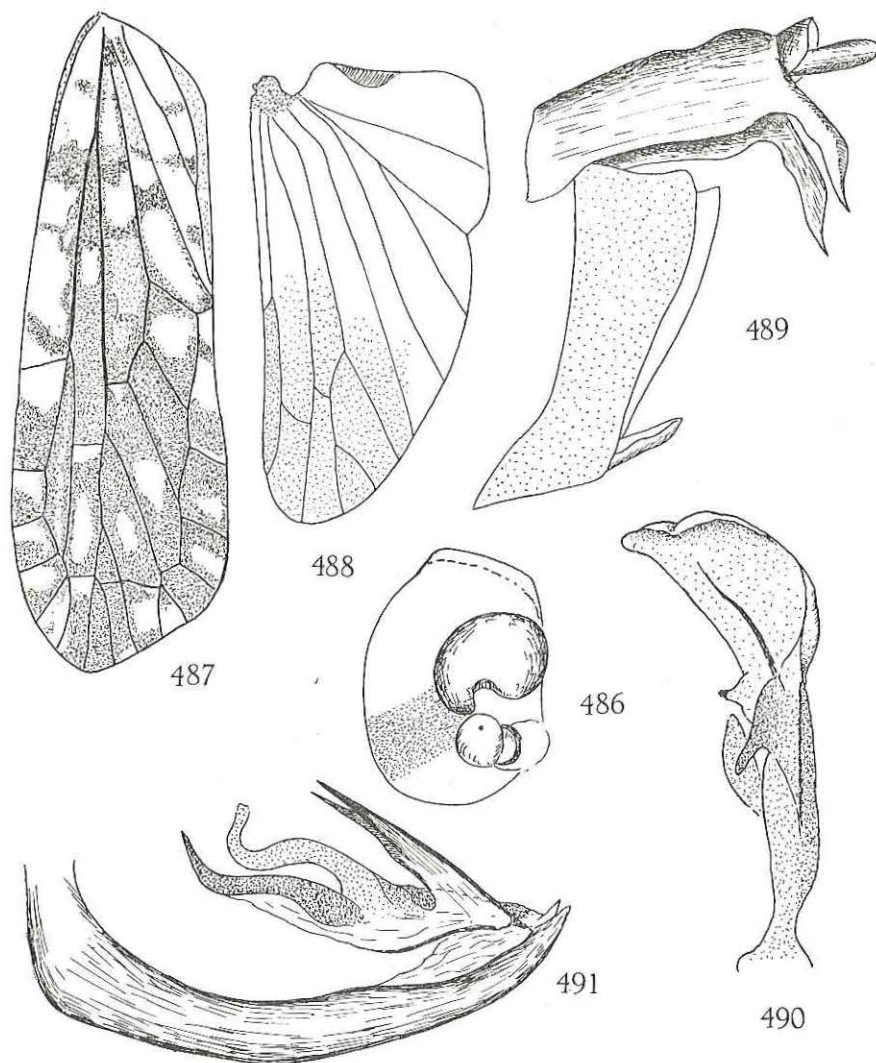


FIG. 486-491. — *Kamendaka izzardii* n. sp.

486 : Tête, vue de profil; 487 : Elytre; 488 : Aile; 489 : Pygophore et tube anal, vue latérale;
490 : Paramère; 491 : Edeage, vue latéro-ventrale gauche.

8.VI.1951, H. DE SAEGER, 1887; II/gd/14, 25.VII.1952, H. DE SAEGER, 3863; II/gc/7, 14.VIII.1952, H. DE SAEGER, 3940; Nagero, 10.V.1952, H. DE SAEGER, 3500; II/fd/4, 16.VIII.1951, H. DE SAEGER, 2264; II/ec/4, 30.VII.1951, H. DE SAEGER, 2172; II/fd/7", 5.V.1952, H. DE SAEGER, 3424; II/gc/7, 4.VIII.1952, H. DE SAEGER, 3940; II/fe/7, 4.VII.1952, H. DE SAEGER, 3729; II/hb/10, 3.VII.1951, J. VERSCHUREN, 2041; II/gd/14, 30.VI.1951, H. DE SAEGER, 2024; II/gd/4, 20.VII.1951, H. DE SAEGER, 2134; II/fd/16, 29.X.1951, H. DE SAEGER, 2697; II/fc/18, 12.X.1951, H. DE SAEGER, 2653; II/fd/18, 6.X.1951, H. DE SAEGER, 2522; II/hc/4, 31.V.1951, J. VERSCHUREN, 1848; II/fc/11, 25.VI.1952, H. DE SAEGER, 3700; II/gd/4, 5.VII.1951, H. DE SAEGER, 2052; II/gc/6, 9.VIII.1951, H. DE SAEGER, 2243; II/gd/10, 27.VI.1951, H. DE SAEGER, 1988; II/fc/6, 20.VIII.1951, H. DE SAEGER, 2282; II/gc/6, 9.VIII.1951, H. DE SAEGER, 2243; II/fd/10, 20.XII.1951, H. DE SAEGER, 2935; II/gc/13s, 3.IX.1951, H. DE SAEGER, 2361; II/fd/18, 6.X.1951, H. DE SAEGER, 2522; II/gd/11, 4.IX.1952, H. DE SAEGER, 4036; II/fd/18, 29.X.1951, H. DE SAEGER, 2697; II/gd/4, 6.VII.1951, H. DE SAEGER, 2055; II/fd/6, 23.VIII.1951, H. DE SAEGER, 2290; II/gd/4, 8.VIII.1952, H. DE SAEGER, 3923; II/fd/17, 6.VIII.1951, H. DE SAEGER, 2224.

Institut royal des Sciences naturelles de Belgique :

2 Paratypes : Congo Belge, Ngowa, 10.IV.1939, R.P. J. MERTENS, J.G. 12.537.

7. — *Kamendaka kordofana* n. sp.

(Fig. 492-497.)

Cette espèce se distingue par la présence de 3 bandes transversales noires sur les faces latérales du front et de 2 latérales sur le pronotum.

Front ocre jaune, avec 1 petite tache noire sur le milieu de la base et 1 trait noir, de chaque côté, peu avant le milieu; base droite; bords latéraux fortement relevés, foliacés, fortement divergents jusqu'au niveau des antennes, ensuite convexes et convergents vers le clypéus; la largeur maximale est plus de 2 fois supérieure à la largeur basale et la longueur totale est près de 2 fois supérieure à la largeur maximale; vu de profil, il est légèrement convexe et saillant au-devant des yeux (voir fig. 492) et présente 3 traits horizontaux noirs dont 1 sous le bord du vertex, 1 deuxième au niveau de l'œil et 1 troisième à l'apex, se prolongeant sur la base du clypéus qui est blanc jaunâtre. Antennes ocre jaune; 2^e article un rien plus long que large. Vertex ocre, avec une bande longitudinale noire, s'élargissant vers l'arrière, le long des bords latéraux; ces derniers sont fortement relevés et épaissis, divergents vers l'arrière. Pronotum ocre, avec bande longitudinale noirâtre, de chaque côté, entre l'œil et la tegula. Scutellum ocre, avec 3 carènes dont les latérales sont écourtées vers l'avant et vers l'arrière. Elytres hyalins, à nervures blanchâtres, avec quelques marques brunes réparties suivant la figure 493; clavus fermé, nervures clavales réunies après le milieu, leur tronc commun rejoignant l'apex; *Sc*, *R* et *M* formant un tronc commun à la base; bifurcation *Sc*+*R* vers le milieu de l'élytre (un rien après) et au niveau du 1^{er} secteur de *M*; *Cu* bifurquée au niveau de l'apex du clavus. Abdomen ocre; les segments ventraux présentent 1 tache brunâtre à chaque extrémité latérale dont

l'ensemble forme 2 bandes latérales brunes. Pattes jaunâtres. Genitalia ♂, voir figures 494-497.

Longueur totale : env. 5 mm.

Holotype ♂ : Sudan, Kordofan, Umm. Shuheita-Jebel Shivai, 6-7.II.1963, LINNAVUORI (Coll. R. LINNAVUORI).

3 Paratypes (2♀♀, 1 ♂) : idem (Coll. R. LINNAVUORI et Institut royal des Sciences naturelles de Belgique).

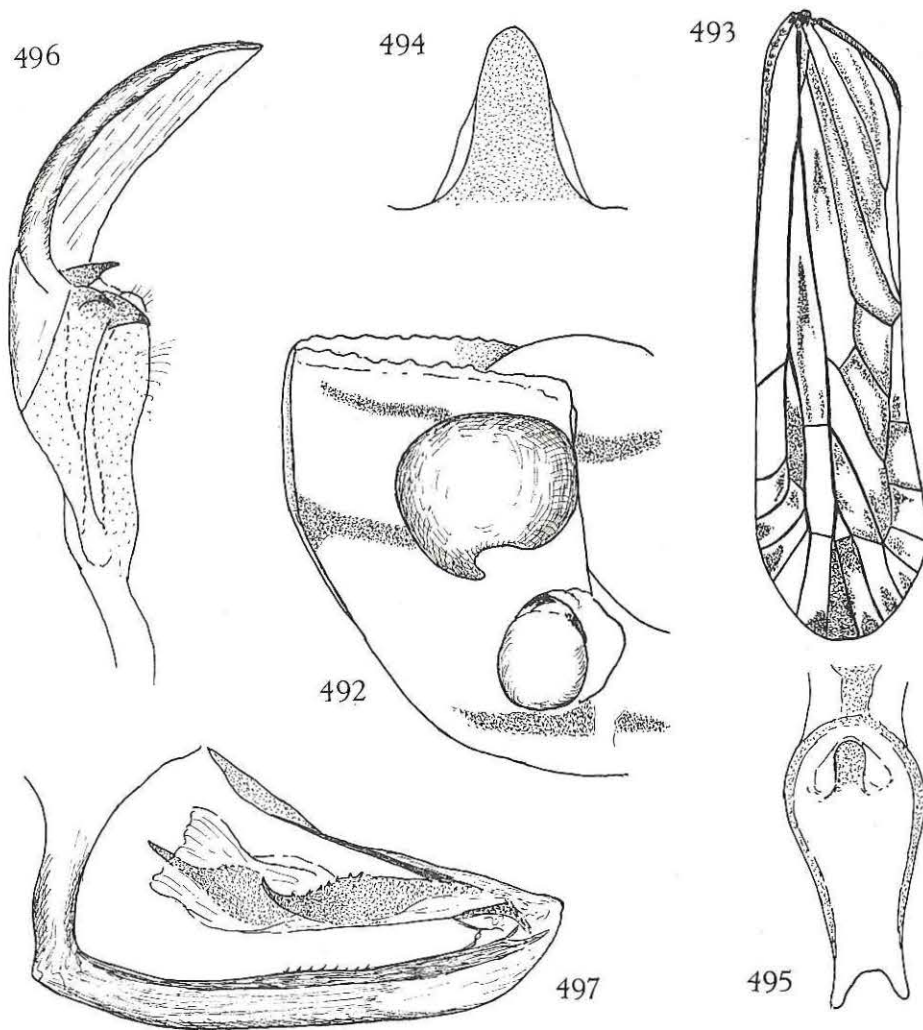


FIG. 492-497. — *Kamendaka kordofana* n. sp.

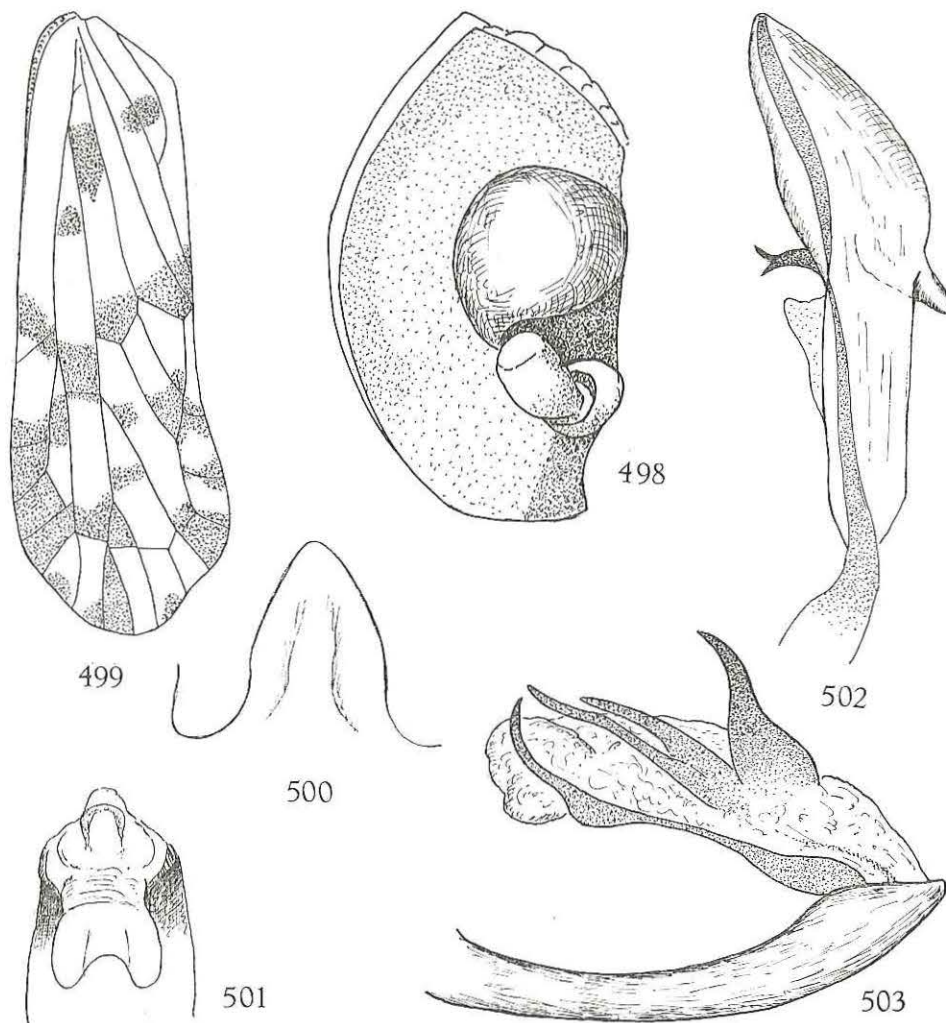
492 : Tête, vue de profil; 493 : Elytre; 494 : Appendice médio-ventral du pygophore; 495 : Tube anal, vue de dessus; 496 : Paramère; 497 : Edéage, vue latéro-ventrale gauche.

8. — *Kamendaka hargreavesi* MUIR.

(Fig. 498-503.)

MUIR, F., 1928, Ann. Mag. Nat. Hist. (10), I, p. 507, fig. 12 a, b, 13.

Nous avons pu examiner un paratype ♀ de l'espèce, d'après lequel l'élytre a été figuré. Les genitalia ♂ sont représentés d'après un ♂ originaire du Congo (Léo). Vu de profil, le front est convexe et rejoint le vertex en formant avec ce dernier un angle d'environ 90°; il est jaunâtre avec une bande brun pâle entre

FIG. 498-503. — *Kamendaka hargreavesi* MUIR.

498 : Tête, vue de profil; 499 : Elytre; 500 : Appendice médio-ventral du pygophore; 501 : Tube anal, vu de dessus; 502 : Paramère; 503 : Edéage, vue latéro-ventrale gauche.

l'œil et le bord externe (fig. 498). Vertex à bords latéraux fortement relevés et épaissis, légèrement convexes et convergents vers la carène qui le sépare du front. Pronotum et scutellum ocre à brun très clair. Elytres blancs, marqués de brun suivant la figure 499; bifurcation *Sc + R* peu après le milieu de l'élytre; *M* formant un tronc commun avec *Sc + R* qu'elle quitte non loin de la base; *CII* et *CI2* réunies vers le milieu du clavus; bifurcation de *Cu* à peu près au niveau de l'apex du clavus. Genitalia ♂, voir figures 500-503.

Longueur totale: env. 7 mm.

Distribution. — Sierra Leone: Njala (Type); Congo (Léo).

Musée Royal de l'Afrique Centrale:

1 ex. ♂: Eala, X.1936, J. GHESQUIÈRE.

Institut des Parcs Nationaux du Congo:

Parc National de la Garamba: 1 ex.: Miss. H. DE SAEGER, II/fd/17, 3.I.1952, H. DE SAEGER, 2991.

9. — *Kamendaka minor* MUIR.

(Fig. 504-508.)

MUIR, F., 1928, Ann. Mag. Nat. Hist. (10), I, p. 508, fig. 14 a, b.

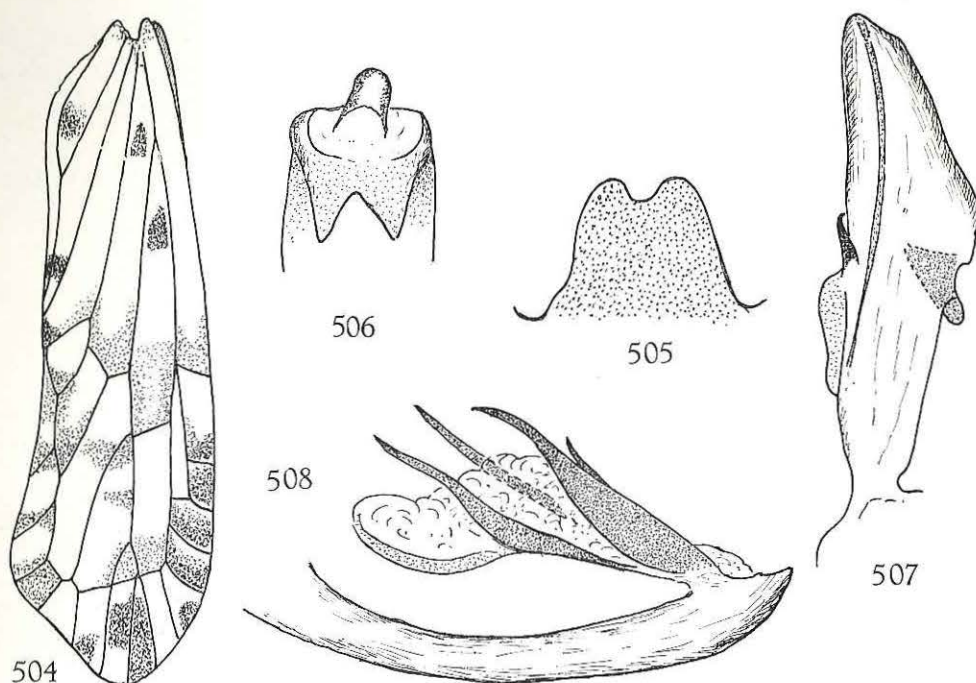
Le type est fortement endommagé. La tête et l'élytre gauche manquent. L'élytre restant a été figuré de même que les genitalia. Très voisine de *hargreavesi* MUIR par la morphologie de la tête (*sec.* MUIR) et la coloration des élytres. Ces derniers présentent chez les 2 espèces un dessin fort semblable (voir fig. 499 et 504) caractérisé notamment par la présence de 4 taches noirâtres sur la $\frac{1}{2}$ basale, dont 1 entre *CII* et *CI2*, 1 autre à peu près au même niveau, entre *Cu* et *M*, 1 troisième, plus apicale, entre *M* et *Sc + R* et 1 quatrième sur l'apex du clavus. *K. minor* diffère également et surtout de *hargreavesi* par les genitalia ♂. Chez *hargreavesi*, le processus médio-ventral de pygophore est triangulaire, se terminant en pointe; l'apex du tube anal présente 2 petits lobes latéraux; la petite épine des paramères est bifide. Chez *minor*, le processus médio-ventral du pygophore est trapézoïdal, à bord externe convexe, avec encoche médiane (fig. 505); l'apex du tube anal est anguleusement incisé au milieu et présente de ce fait 2 saillies latérales anguleuses (fig. 506); l'épine des paramères est simple (fig. 507). L'édéage est également différent comme le montrent les figures 503 et 508. Genitalia ♂, voir figures 505-508.

Longueur: 2,2 mm; élytre: 3,7 mm.

Distribution. — Sierra Leone.

U. S. National Museum:

1 ♂: Lenguatowa, nr. Kakata, Liberia.

FIG. 504-508. — *Kamendaka minor* MUIR.

504 : Elytre; 505 : Appendice médio-ventral du pygophore; 506 : Tube anal, vu de dessus; 507 : Paramère; 508 : Edéage, vue latéro-ventrale gauche.

10. — *Kamendaka hyalina* n. sp.

(Fig. 509-514.)

Se distingue des autres espèces par des élytres blanchâtres, avec quelques très faibles marques brunâtres (à peine perceptibles). Les paramères et le processus médio-ventral du pygophore sont d'un type différent de celui des autres espèces.

Front long et étroit à bords latéraux relevés et épaissis, d'abord convergents jusqu'au milieu où ils se touchent, ensuite divergents vers le clypéus; vu de profil, il est peu saillant au-devant des yeux et convexe; la jonction avec le vertex se fait sans encoche nette (fig. 509). Antennes claires, courtes; 2^e article à peu près aussi large que long; pas de processus sous-antennaires. Vertex ocre, à bords latéraux très fortement relevés et épaissis, convexes et divergents vers l'arrière. Pronotum jaunâtre, très court au milieu, à bord postérieur très profondément et anguleusement échancré. Scutellum ocre brunâtre. Elytres environ 3 fois aussi longs que larges à leur largeur maximale; hyalins blanchâtres, avec quelques rares suffusions brun pâle à peine perceptibles; clavus fermé, nervures clavales réunies

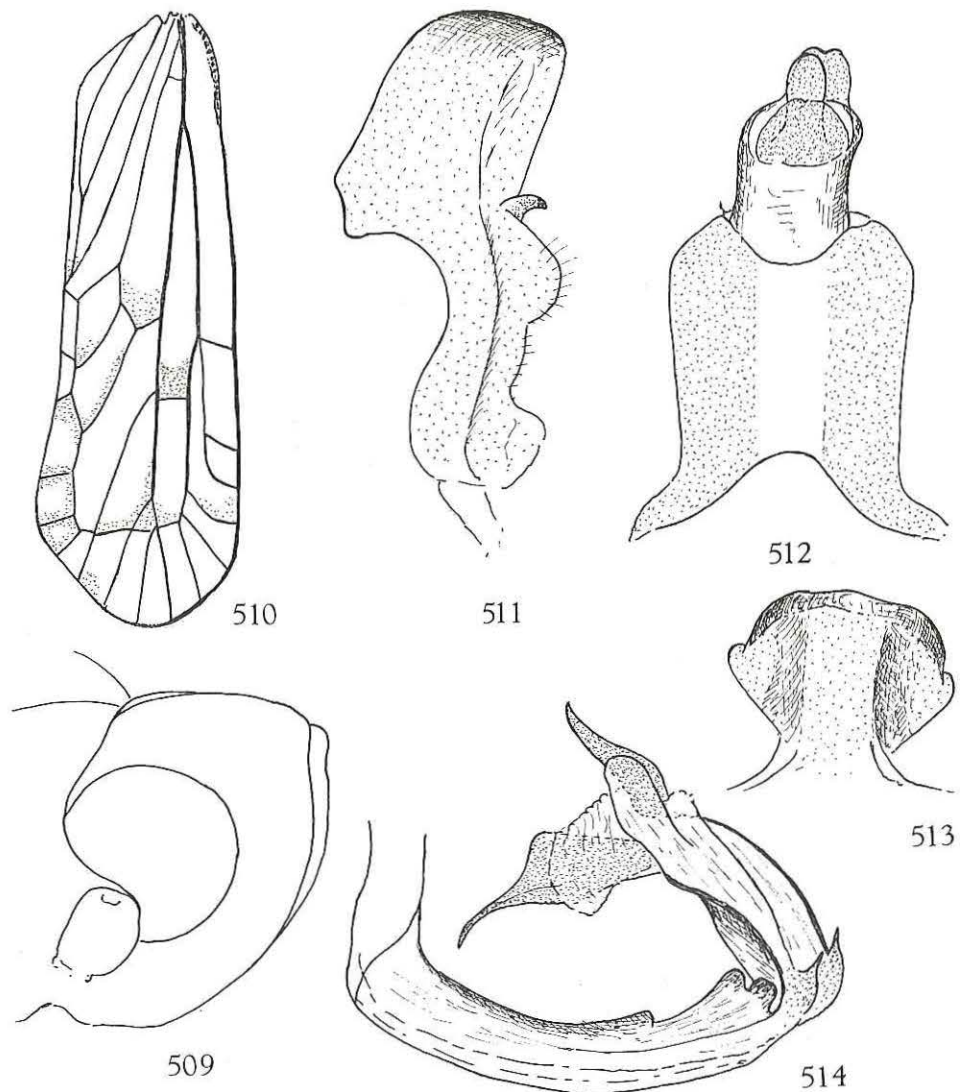


FIG. 509-514. — *Kamendaka hyalina* n. sp.

509: Tête, vue de profil; 510: Elytre; 511: Paramère; 512: Tube anal, vue dorsale; 513: Appendice médio-ventral du pygophore; 514: Edéage, vue latéro-ventrale gauche.

nettement après le milieu, leur tronc commun rejoignant l'apex; *Sc*, *R* et *M* formant un tronc commun à la base; bifurcation *Sc*+*R* vers le milieu de l'élytre; bifurcation de *Cu* peu avant l'apex du clavus (fig. 510). Pattes ocre. Abdomen brunâtre. Genitalia ♂ : les paramères, de même que l'appendice medio-ventral

du pygophore sont d'un type particulier (voir fig. 511 et 513). Tube anal et édéage, voir figures 512 et 514.

Longueur totale : env. 5 mm.

Holotype ♂ : Sudan, Equatoria, Maridi-Ibba, 16.IV.1963, R. LINNAVUORI (Coll. R. LINNAVUORI). — Nigeria (Linn).

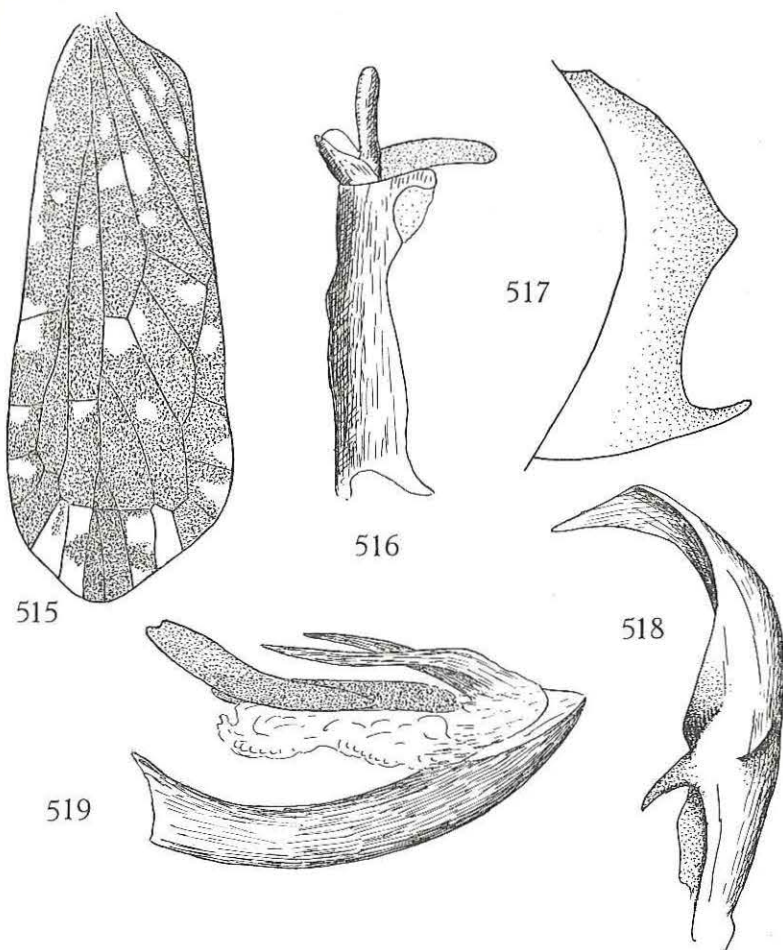


FIG. 515-519. — *Kamendaka albomaculata* MUIR.

515 : Elytre; 516 : Tube anal, vue latérale; 517 : Pygophore, vue latérale; 518 : Paramère; 519 : Edéage, vue latéro-ventrale gauche.

11. — *Kamendaka albomaculata* MUIR.

(Fig. 515-519.)

MUIR, F., 1926, Ann. Mag. Nat. Hist., 9^e sér., 104, p. 230, fig. 4, 5, 6.

Tête et pronotum jaunâtre à brun pâle. Scutellum brun plus foncé à carènes pâles. Front formant un angle légèrement obtus (env. 100°) avec le vertex; vu de profil, il n'est pas fortement convexe. Elytres brun foncé, avec taches blanches réparties suivant la figure 515; nervures rouges pour la plupart, surtout *Sc*, *R* et *M*; *M* partant de la base de *Sc+R* non loin de la base; bifurcation *Sc+R* au milieu de l'élytre; *M* avec 4 secteurs; union des nervures clavales après le milieu du clavus; bords latéraux du pygophore anguleusement saillants au milieu; genitalia ♂ (fig. 516-519); tube anal avec angles apicaux saillants et dirigés vers le bas, le droit plus long que le gauche; paramères larges, minces, à face externe convexe et face interne concave, à apex aigu tourné vers l'intérieur; édéage, voir figure 519.

Longueur totale: env. 7 mm.

La description qui précède, de même que les figures ont été effectuées d'après un paratype ♂.

Distribution. — Sierra Leone (Type); Liberia; Soudan; Côte d'Ivoire; Sénégal.

Institut royal des Sciences naturelles de Belgique:
2 ex.: Senguatown, nr. Kakata, Liberia, 12.VIII.1935, I.G. 23.642.

12. — *Kamendaka soyeræ* CHINA.

(Fig. 520-525.)

CHINA, W. E., 1944, Proc. Zool. Soc. Lond., vol. III, part 3, p. 294, fig. 1 a-d; 2 a-e.

Front lamellaire, à bords latéraux étroitement accolés sur les $\frac{2}{3}$ supérieurs; vu de profil, il forme un angle droit avec le vertex. Vertex à bords latéraux légèrement convexes, convergents vers l'avant où ils sont séparés du front par une carène transversale; ils sont fortement épaissis et présentent des pores cérigènes. Pronotum blanchâtre, avec 1 grande tache brun foncé derrière les yeux. Scutellum brun clair, avec 3 carènes; les angles scapulaires et le milieu des bords latéro-postérieurs sont blancs. Elytres blancs, fortement marqués de brun foncé (voir fig. 520); nervures jaunâtres ou blanchâtres sauf *Sc+R* et *M* qui sont rouge vif; *Sc*, *R* et *M* formant un tronc commun; *M* partant immédiatement après la base tandis que *R* se sépare de *Sc* peu après le milieu de l'élytre; *Cu*

bifurquant peu avant l'apex du clavus. Ailes, voir figure 521. Genitalia ♂, voir figures 522-525.

Longueur totale: env. 7 mm.

Distribution. — Uganda: Kampala (Type); Congo (Léo): Bandajika.

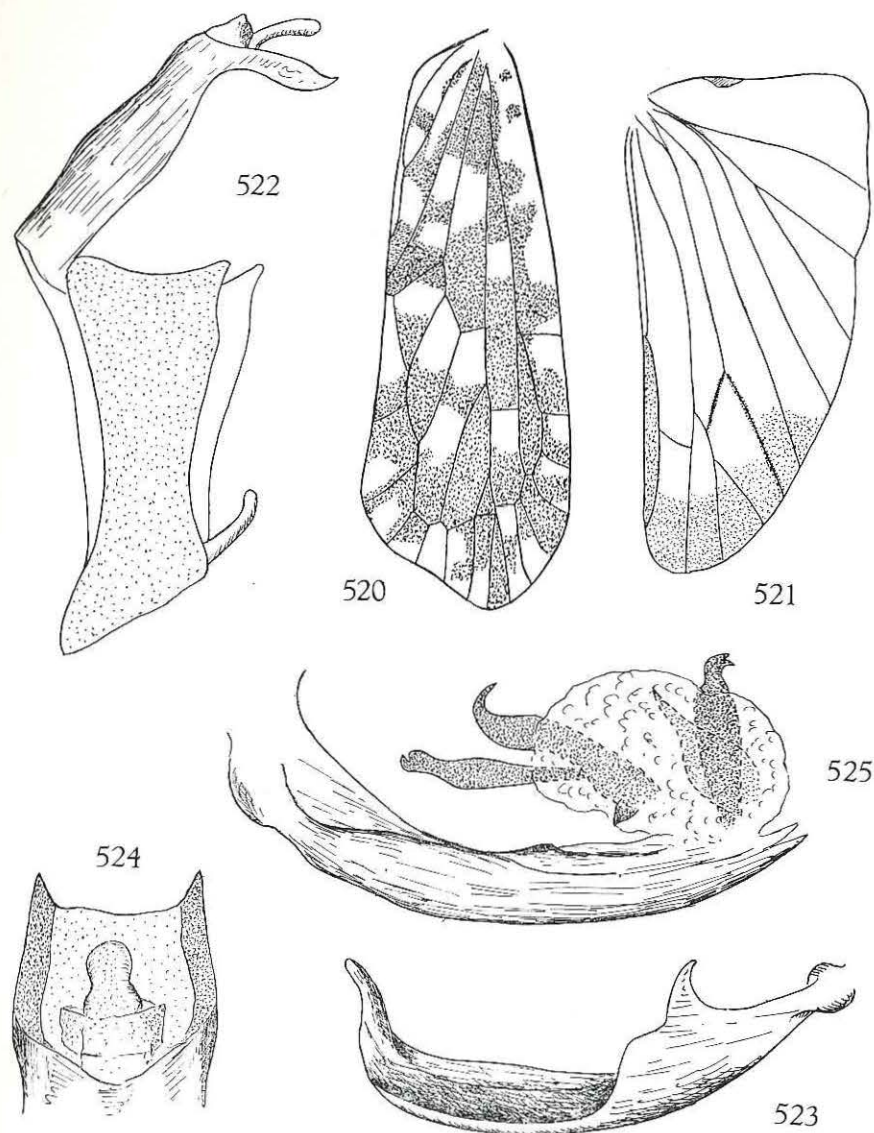


FIG. 520-525. — *Kamendaka soyerae* CHINA.

520: Elytre; 521: Aile; 522: Pygophore et tube anal, vue latérale; 523: Paramère; 524: Apex du tube anal, vue dorsale; 525: Edéage, vue latéro-ventrale gauche.

Remarques :

1. Le type et les 2 paratypes provenant d'Uganda ont été recueillis sur *Vernonia*.

2. La description qui précède a été faite d'après un paratype ♀ de Kampala. Les genitalia ♂ ont été figurés d'après le spécimen provenant du Parc National de la Garamba.

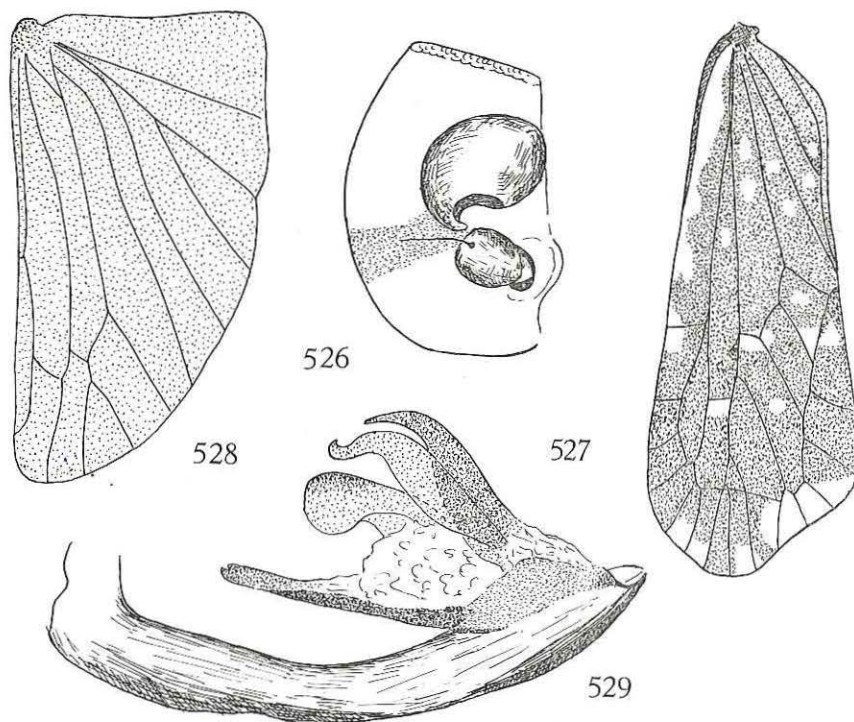


FIG. 526-529. — *Kamendaka pseudalbomaculata* MUIR.

526 : Tête, vue latérale; 527 : Elytre; 528 : Aile; 529 : Edéage, vue latéro-ventrale gauche.

Institut des Parcs Nationaux du Congo :

Parc National Albert : 1 ex. : Mbulikerere, affl. dr. Talia N, 2.720 m, 26-28.VIII.1953, P.Vs. et V.H., 4999-5005.

Parc National de la Garamba : 1 ex. : I/a/1, 17.VIII.1950, G. DEMOULIN, 703.

Musée Royal de l'Afrique Centrale :

20 ex. : Eala, IV.1921, Lt. GHESQUIÈRE; Mongende, 16.IV.1921, Dr. H. SCHOUTEDEN; Aruwimi : Panga, début IX.1925, Dr. H. SCHOUTEDEN; Barumbi, I.1926, L. GHESQUIÈRE; Basongo, 15-16.VII.1921, Dr. H. SCHOUTEDEN; Escarp. Kabasha, Chambi, X.1933, Dr. DE WULF; Kasai, Makumbi, 18.X.1921, Dr. H. SCHOUTEDEN; Mongwalu, 1939, M. SCHEITZ; Benza Mazola, 13-15.VI.1911, R. MAYNÉ.

13. — *Kamendaka pseudalbomaculata* MUIR.

(Fig. 526-529.)

MUIR, F., 1928, Ann. Mag. Nat. Hist. (10), 1, p. 505, fig. 9, 9 b.

Front lamellaire, à bords latéraux étroitement accolés sur les $\frac{2}{3}$ supérieurs. Vu de profil, il forme un angle droit avec le vertex; jaunâtre, avec une bande brune entre l'œil et le bord externe (fig. 526). Vertex blanc jaunâtre, à bords latéraux convexes convergents vers l'avant mais ne se rejoignant pas, car le bord antérieur est net. Pronotum blanchâtre, sauf une grande tache brun foncé derrière les yeux. Scutellum brun foncé, avec une large bande médiane longitudinale blanc jaunâtre couvrant les 3 carènes et limitée par les externes. Elytres presque entièrement brun foncé, avec quelques petites taches rondes, blanches, réparties suivant la figure 527; une grande tache blanche et quelques plus petites au bord apical; $\frac{1}{2}$ basale de la cellule costale également blanche; nervures rouge vif; union des nervures clavales peu après le milieu du clavus; *M* partant de *Sc+R* non loin de la base; bifurcation *Sc+R* au milieu de l'élytre; bifurcation de *Cu* vers l'apex du clavus. Ailes, voir figure 529. Genitalia ♂, voir figure 529.

Longueur totale: env. 7 mm.

Distribution. — Sierra Leone (Type); Congo (Léo); *Nigeria*

Institut des Parcs Nationaux du Congo:

Parc National de l'Upemba: 2 ex.: Kanonga, 675 m, 17-22.II.1949, G. F. DE WITTE.

Parc National de la Garamba: 18 ex.: II/fd/17, 3.I.1952, H. DE SAEGER, 2991; II/fe/3, 16.VII.1951, H. DE SAEGER, 2102, II/fd/17, 3.IV.1952, H. DE SAEGER, 3279; II/fd/5, 25.X.1951, H. DE SAEGER, 2678; II/fd/17, 9.VII.1952, H. DE SAEGER, 3763; II/fd/17, 31.VII.1951, J. VERSCHUREN, 2182; II/fd/5, 10.IX.1951, H. DE SAEGER, 2396; II/fd/17, 18.VIII.1951, H. DE SAEGER, 2281; II/fd/17, 7.V.1952, H. DE SAEGER, 3431; II/fc/4, 30.VIII.1952, H. DE SAEGER, 3997; I/o/1, 19.VIII.1950, G. DEMOULIN, 764; II/fd/17, 13.II.1952, H. DE SAEGER, 3123; *ibid.*, 3125; II/fd/17, galerie forestière, 2.VI.1951, H. DE SAEGER, 2032; II/fd/17, 27.VIII.1952, H. DE SAEGER, 3983.

Tribu RHOTANINI

Les membres de cette tribu sont caractérisés par des ailes développées, larges, dépassant la $\frac{1}{2}$ de la longueur des élytres. Ces derniers sont moins de $2\frac{1}{2}$ fois plus longs que larges; le clavus peut être soit fermé, soit légèrement ouvert, et dans ce cas le tronc commun des nervures clavales ne dépasse pas la 2^e nervure cubitale; *Cu1* relié à la 1^{re} branche de la médiane, formant une cellule triangulaire.

Genre *LEVU* KIRKALDY.

KIRKALDY, F., 1906, Bull. Haw. Sug. Plant. Assoc., Div. Ent. I, p. 434.

L'espèce-type du genre *Levu vitiensis* KIRKALDY, originaire des îles Fiji (Viti Levu), m'est inconnu en nature. Outre celui-ci, 17 espèces ont été décrites, dont une seule d'Afrique, *Levu africanum* MUIR, dont j'ai pu examiner un

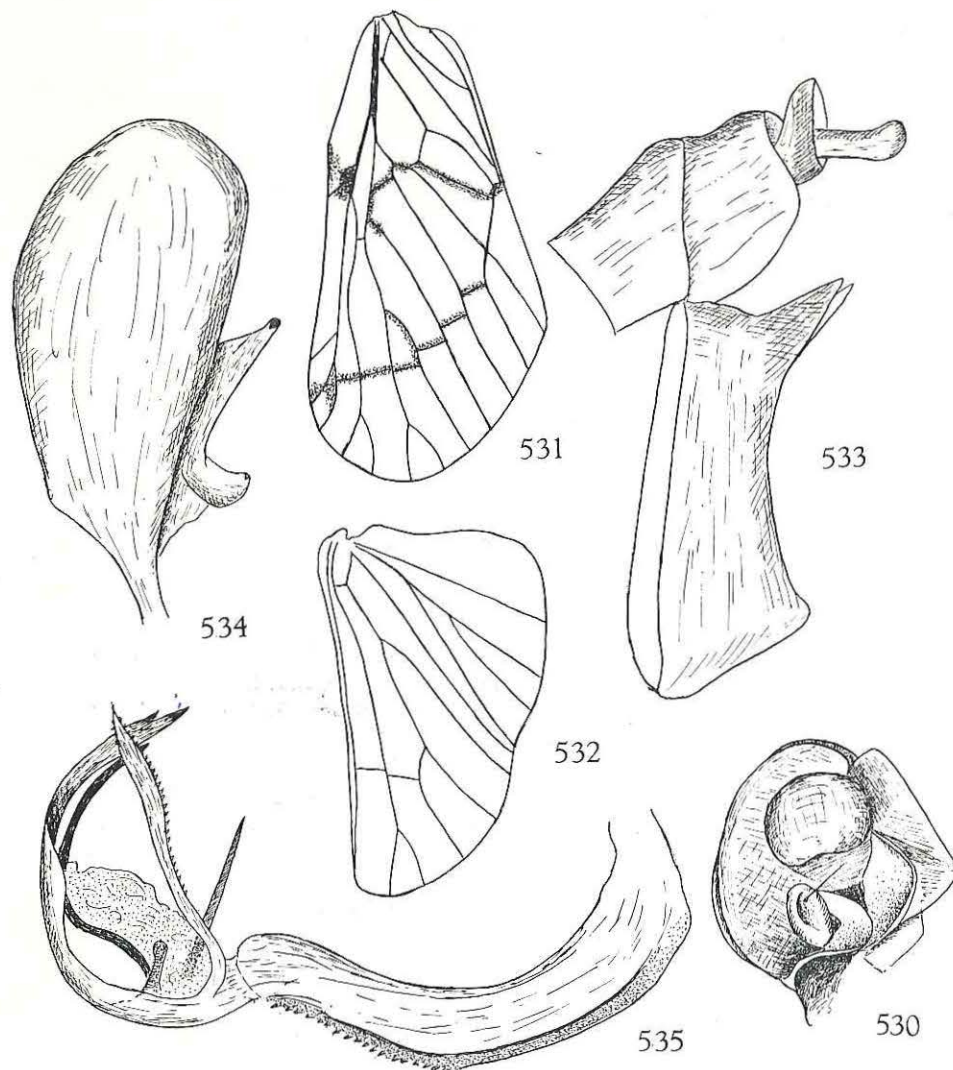


FIG. 530-535. — *Levu africanum* MUIR.

530 : Tête, vue de profil; 531 : Elytre; 532 : Aile; 533 : Pygophore et tube anal, vue latérale;
534 : Paramère; 535 : Edéage, vue latéro-ventrale droite.

exemplaire comparé au type et d'après lequel les observations suivantes ont été faites :

Le genre *Levu* est caractérisé par la présence, sur les élytres, d'une cellule triangulaire adossée à la 1^{re} branche de *M* et formée par *Cul* qui se joint à *M*. Les bords latéraux du front sont étroitement accolés sur la $\frac{1}{2}$ supérieure et divergent ensuite fortement vers le clypéus. Sur le pronotum, les carènes latérales de même que les plaques pectorales, sont fortement relevées et forment avec de larges processus sous-antennaires, une sorte de coupe entourant les antennes (fig. 530). 2^e article des antennes globuleux, très court et large. Vertex formant un petit triangle; ses bords latéraux se joignent et s'accolent avant le bord antérieur des yeux, pour se prolonger directement par ceux du front. Scutellum tricaréné, fortement bombé vers l'avant, déprimé vers l'arrière, avec angle postérieur pointu.

E s p è c e - t y p e : *Levu vitiensis* KIRKALDY (île Fiji : Viti Levu).

***Levu africanum* MUIR.**

(Fig. 530-535.)

MUIR, F., 1926, Ann. Mag. Nat. Hist. (9), 18, p. 233.

Les caractères morphologiques sont ceux du genre. Les élytres (voir fig. 531) sont hyalins, opalescents, à nervures concolores, sauf certains tronçons qui sont plus foncés et ennuagés de brun, notamment l'apex du clavus *Cul*, la base des branches de la médiane et les transversales apicales. Ailes, voir figure 532. Genitalia ♂, voir figures 533-535.

Longueur totale : env. 6 mm.

Distribution. — Sierra Leone (Type); République de Guinée; Afrique-Equatoriale française (R.C.A.); Congo (Léo); Nigeria; Cameroun; Côte d'Ivoire (au Gabon)

Institut des Parcs Nationaux du Congo :

1 ex. : P.N.G., Dedegwa, 21.V.1952, H. DE SAEGER, 3499.

Musée Royal de l'Afrique Centrale :

1 ex. : Elisabethville (à la lumière), II.1950, C. SEYDEL.

Muséum National d'Histoire Naturelle (Paris) :

2 ex. : Toukoulou, 16.VIII.1965, s. cacao, M. BOULARD.

ADDENDUM

Alors que le manuscrit était déjà sous presse, nous avons reçu pour étude un important matériel du Musée zoologique de l'Humboldt Universität (D.D.R.) parmi lequel nous avons trouvé un exemplaire ♂ dont tous les caractères correspondent à ceux de *Zoraida picturata* DISTANT et que nous avons déterminé comme tel. Cet exemplaire, tout comme le type, a été récolté dans la région du lac Nyassa.

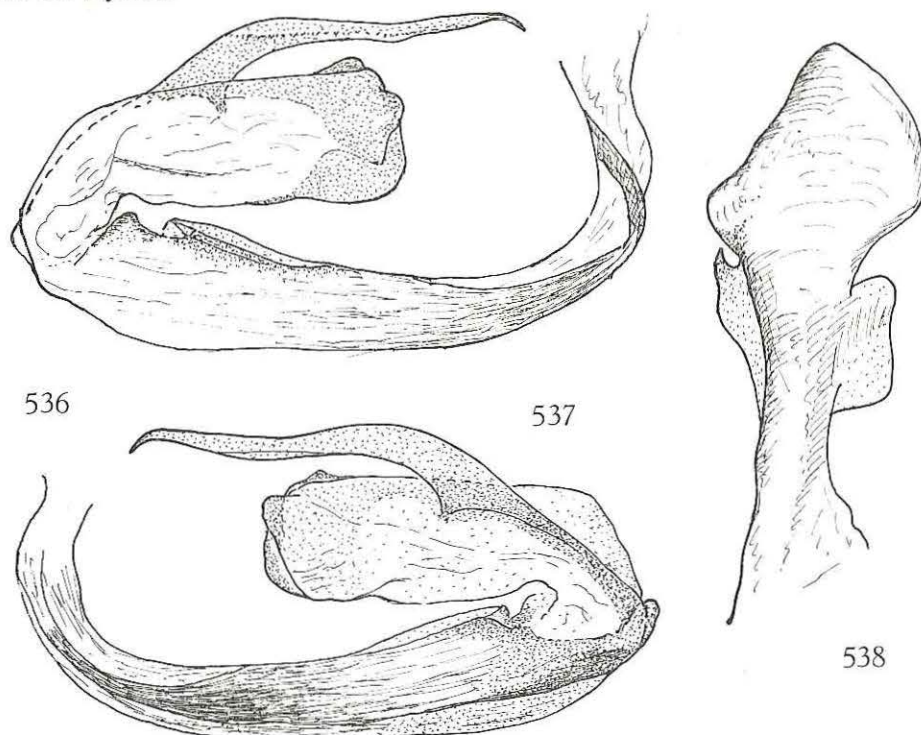


FIG. 536-538. — *Zoraida picturata* DISTANT.

536: Edéage, vue latéro-ventrale droite; 537: Idem, vue latéro-ventrale gauche; 538: Paramère.

Ce matériel nous a permis, après dissection, de figurer les genitalia ♂ de l'espèce sous les figures 536 à 538.

Il faut donc ajouter à la distribution, la localité suivante :

Zoolog. Museum Humboldt Universität :

1 ♂; Nyassa-See, Langenburg, 17.IV.1899, Fulleborn S.

INDEX BIBLIOGRAPHIQUE

- BOHEMAN, C. H., 1837, Observaciones in *Derbe* Genus, una cum, specierum quinque novarum descriptionibus (*Handl. Svenska Vet. Akad.*, 58, pp. 223-230).
- CHINA, W. E., 1944, A new African species of the Genus *Kamendaka* DIST. (*Hemiptera-Homoptera*, Family *Derbidae*, Subfamily *Otiocerinae*) (*Proc. Zool. Soc. Lond.*, vol. 114).
- DISTANT, W. L., 1906, Fauna Brit. India, vol. 3, pp. 293 à 296.
- 1907, Rhynchotal Notes XLII [*Ann. Mag. Nat. Hist.* (7), 19, pp. 395-414].
- 1907, Insecta Transvaaliensa, vol. 8, pp. 195-197.
- 1911, Descriptions of new genera and species of Oriental *Homoptera* [*Ann. Mag. Nat. Hist.* (8), 8, pp. 639-649].
- 1914, Some Additions to the Genera and Species in the Homopterous Family *Fulgoroidea* (*Ann. Mag. Nat. Hist.*, 8, 13, pp. 413-420).
- 1917, The Percy Sladen Trust Expedition to the Indian Ocean in 1905 (*Trans. Linn. Soc. Lond.*, vol. XVII, pt. 3, pp. 273-322).
- FENNAH, R. J., 1952, On the generic classification of *Derbidae* (*Fulgoroidea*), with descriptions of new neotropical species (*Trans. Roy. Entom. Soc. Lond.*, vol. 103, pt. 4, pp. 109-170).
- 1957, *Fulgoroidea* from the Belgian Congo (*Hemiptera-Homoptera*) (*Ann. Mus. Roy. Congo Belge*, sér. in-8°, vol. 59, pp. 1283-1288).
- 1958, *Fulgoroidea* from West Africa (*Bull. I.F.A.N.*, t. XX, sér. A, n° 2, pp. 496-501).
- 1961, *Mém. I.F.A.N.*, n° 62, fasc. II, p. 314.
- HAGLUND, C. J. E., 1899, Beiträge zur Kenntnis der Insektenfauna von Kamerun. 4: Verzeichniss der von Yngve Sjöstedt im nordwestlichen Kamerungebiete eingesammelten Hemipteren (*Öfv. Svenska Vet. Akad. Förh.*, 56, pp. 64, 65).
- HAUPT, H., 1924, Zur Kenntniss der Homopteren-Fauna Siciliens (*Mem. Soc. Entom. Ital.*, vol. 3, pp. 233-235).
- HESSE, A. J., 1925, Contributions to a knowledge of the fauna of South-West Afrika. IV: A list of the Heteropterous and Homopterous *Hemiptera* of South-West Africa (*Ann. South Afric. Mus.*, 23, pp. 155-157).
- JACOBI, A., 1917, Die Zikadenfauna Madagascars und der Comoren (*Voeltzkow Reise in Ostafrika*, 1903-1905, Bd. III, pp. 531, 532).
- KERSHAW and MUIR, F., 1922, The genitalia of the auchenorrhynchous *Homoptera* (*Ann. Ent. Soc. America*, 15, 3, pp. 201-211).
- KIRKALDY, F., 1900, Bibliographical and nomenclatorial notes on the *Rhynchota*, n° 1 (*Entomologist*, 33, p. 242).
- 1904, Bibliographical and nomenclatorial notes on the *Hemiptera*, n° 2 (*Entomologist*, 37, p. 279).
- 1906, Leafhoppers and their natural enemies. Pt. IX: Leafhoppers, *Hemiptera* [*Bull. Hawaiian Sugar Pl. Assoc.*, Div. Ent., 1 (9), p. 434].
- 1907, Leafhoppers supplement (*Hemiptera*) (*Bull. Hawaiian Sugar Pl. Assoc.*, Div. Ent., 3, pp. 163-178).
- LALLEMAND, V., 1929, Voyage au Congo de S. A. R. le Prince Léopold de Belgique (1925). *Hemiptera*. 7: Fulgorides, Derbides, Flatides, Cercopides, Membracides et Jassides (*Rev. Zool. Bot. Afric.*, 17, pp. 85-87).
- MATSUMURA, S., 1905, 1000 Insects of Japan, 2, p. 60.

- MÉLICHAR, L., 1905, Beitrag zur Kenntniss der Homopterenfauna Deutsch-Ost-Afrikas (*Wiener Ent. Zeitung*, XXIV, pp. 284-285).
- 1912, *Wiss. Ergeb. der Zweiten Deutschen Zentr.-Afr.-Exped. 1010-1911*, I, pp. 109-134.
- METCALF, Z. P., 1913, The wing venation of the *Fulgoridae* (*Ann. Ent. Soc. Amer.*, VI, pp. 341-342).
- 1938, The *Fulgorina* of Barro Colorado and other parts of Panama (*Bull. Mus. Comp. Zool. Harvard*, vol. LXXXII, 5, pp. 303-332).
- MUIR, F., 1913, On some new species of leafhoppers. Part II: *Derbidae* (*Bull. Hawaiian Sugar Pl. Assoc.*, Div. Ent., 12, p. 72).
- 1918, Notes on the *Derbidae* in the British Museum Collection (*Ent. Monthl. Mag.*, 54, pp. 173-177, 202-207 et 228-243).
- 1922, Three new species of *Derbidae* (*Homoptera*) (*Philipp. Journ. Sci.*, vol. 20, 3, pp. 347-349).
- 1923, On new species of Fulgorids [*Ann. Mag. Nat. Hist.* (9), 11, pp. 559, 560].
- 1924, Notes on some genera of *Derbidae* (*Hemip.*) (*Proc. Entom. Soc. Wash.*, vol. 26, n° 1, pp. 15-19).
- 1926, XXXI. Notes on some African *Derbidae* (*Homoptera*) [*Ann. Mag. Nat. Hist.* (9), vol. 18, n° 104, pp. 227-240].
- 1928, LXIII. Notes on some African *Derbidae*. (*Homoptera*). II [*Ann. Mag. Nat. Hist.* (10), 1, pp. 498-525].
- 1930, New *Derbidae* from Sierra Leone (*Homoptera Fulgoroidea*) [*Ann. Mag. Nat. Hist.* (10), vol. V, pp. 81-84].
- 1934, New and little known *Fulgoroidea* (*Homoptera*) [*Ann. Mag. Nat. Hist.* (10), vol. 14, pp. 565 à 575].
- STÅL, C., 1855, *Hemiptera* fran Kafferlandet (*Öfv. Svensk. Vet. Akad. Förh.*, 12, pp. 89-100).
- 1856, Om *Derbides* med tre oceller (*Öfv. Svensk. Vet. Akad. Förh.*, 13, pp. 161-164).
- 1866, *Hemiptera Africana*, vol. IV, pp. 192-199.
- 1870, *Hemiptera insularum Philippinarum*. Bidrag till Philipppinska öarnes Hemipter-fauna (*Öfv. Svensk. Vet. Akad. Förh.*, 27, pp. 607-776).
- SYNAVE, H., 1966, Les *Derbidae* de l'Institut royal des Sciences naturelles de Belgique (*Bull. Inst. roy. Sci. nat. Belg.*, t. 42, n° 31, pp. 1-12).
- 1968, Contributions à la connaissance de la faune entomologique de la Côte d'Ivoire. J. Decelle, 1961-1964. XXIX: *Homoptera Cercopidae* et *Fulgoroidea* (*Ann. Mus. Roy. Afr. Centr.*, in-8°, Zool., 165, pp. 451-453).
- 1971, Contribution à la connaissance des Fulgoroïdes du Nigeria, récoltes J.T. Medler, 1968-1970 (*Bull. Inst. roy. Sci. nat. Belg.*, t. 47, n° 39, pp. 1 à 34).
- UHLER, P. R., 1896, Summary of the *Hemiptera* of Japan presented to the United States National Museum by Professor Mitzukuri (*Proc. U.S. Nat. Mus.*, 19, pp. 255-297).
- WESTWOOD, J. O., 1840, Observations on the genus *Derbe* of Fabricius (*Proc. Linn. Soc. London*, 1, pp. 82-85).
- 1841, idem (*Trans. Linn. Soc. London*, 19, pp. 1-16).
- 1851, Descriptions of some new species of exotic Homopterous Insects [*Ann. Mag. Nat. Hist.* (2), 7, pp. 207-210].

INDEX ALPHABÉTIQUE

TRIBUS.

	Pages.
<i>Cenchreini</i>	116
<i>Otiocerini</i>	183
<i>Rhotanini</i>	215
<i>Sikaianini</i>	112
<i>Zoraidini</i>	7

GENRES, SOUS-GENRES.

	Pages.		Pages.
<i>Amania</i> gen. n.	159	<i>Pamendanga</i> DISTANT	66
<i>Camma</i> DISTANT	23	<i>Paraphenice</i> MUIR	160
<i>Diostrombus</i> UHLER	23	<i>Patara</i> WESTWOOD	148
<i>Drona</i> DISTANT	23	<i>Peggiopsis</i> MUIR (s.-g.)	91
<i>Helcita</i> STÅL	78	<i>Phenice</i> WESTWOOD	175
<i>Kamendaka</i> DISTANT	192	<i>Proutista</i> KIRKALDY	19
<i>Levu</i> KIRKALDY	216	<i>Pyrrhoneura</i> KIRKALDY	183
<i>Lydda</i> WESTWOOD	8	<i>Robigus</i> DISTANT	185
<i>Malenia</i> HAUPT	117	<i>Sikaiana</i> DISTANT	112
<i>Muiria</i> KIRKALDY	114	<i>Stenopeggia</i> FENNAH	81
<i>Mysidioides</i> MATSUMURA	187	<i>Zoraida</i> KIRKALDY	84
<i>Neozoraida</i> MUIR (s.-g.)	88	<i>Zoraida</i> KIRKALDY (s.-g.)	93

ESPECES, SOUS-ESPECES.

	Pages.		Pages.
A		<i>alcmena</i> FENNAH (<i>Diostrombus</i>)	36
<i>abdominalis</i> (DISTANT) (<i>Diostrombus</i>)	65	<i>ampliata</i> n. sp. (<i>Mysidioides</i>)	188
<i>aburiensis</i> MUIR (<i>Zoraida</i>)	99	<i>angolensis</i> n. sp. (<i>Zoraida</i>)	96
<i>aburiensis</i> (MUIR) (<i>Malenia</i>)	128	<i>angustifrons</i> (MÉLICHAR) (<i>Amania</i>)	159
<i>africana</i> n. sp. (<i>Malenia</i>)	138	<i>annetti</i> (MUIR) (<i>Lydda</i>)	9
<i>africana</i> MUIR (<i>Mysidioides</i>)	190	<i>apicalis</i> (HAGLUND) (<i>Diostrombus</i>)	44
<i>africana</i> MUIR (<i>Sikaiana</i>)	112	<i>apicalis kivuensis</i> LALLEMAND (<i>Diostrombus</i>)... ..	45
<i>africanum</i> MUIR (<i>Levu</i>)	217	<i>apicemaculata</i> SYNAVE (<i>Patara</i>)	149
<i>albomaculata</i> MUIR (<i>Kamendaka</i>)	212	<i>arebiensis</i> n. sp. (<i>Paraphenice</i>)	165

	Pages.		Pages.
B			
<i>bendis</i> (FENNAH) (<i>Malenia</i>)	127	<i>grahami</i> (DISTANT) (<i>Diostrombus</i>) ...	52
<i>biclavatus</i> (WESTWOOD) (<i>Diostrombus</i>)	65	<i>grandis</i> MUIR (<i>Phenice</i>)	182
<i>bicornis</i> MUIR (<i>Phenice</i>)	177	H	
<i>bohemani</i> (WESTWOOD) (<i>Zoraida</i>) ...	109	<i>hancocki</i> MUIR (<i>Pamendanga</i>)	69
<i>boulardi</i> n. sp. (<i>Zoraida</i>)	94	<i>hancocki</i> MUIR (<i>Diostrombus</i>)	37
C		<i>hargreavesi</i> MUIR (<i>Patara</i>)	153
<i>calami</i> (MÉLICHAR) (<i>Pamandanga</i>) ..	75	<i>hargreavesi</i> MUIR (<i>Lydda</i>)	13
<i>carpenteri</i> MUIR (<i>Zoraida</i>)	90	<i>hargreavesi</i> MUIR (<i>Paraphenice</i>) ...	163
<i>carpentieri</i> MUIR (<i>Paraphenice</i>) ...	171	<i>hargreavesi</i> MUIR (<i>Kamendaka</i>) ...	207
<i>cocos</i> MUIR (<i>Lydda</i>)	15	<i>hopkinsi</i> MUIR (<i>Diostrombus</i>)	34
<i>cocos</i> MUIR (<i>Diostrombus</i>)	61	<i>hopkinsi</i> MUIR (<i>Pamendanga</i>)	67
<i>Cyrtippe Simmaruosi</i> (<i>Malenia</i>)	144 b.	<i>hyalina</i> n. sp. (<i>Kamendaka</i>)	208
<i>Costalis</i> Syn. (<i>Patara</i>)	158 d.	<i>hyalina</i> Syn. (<i>Patara</i>)	158 e
D		I	
<i>dardanus</i> (FENNAH) (<i>Malenia</i>)	147	<i>ifeana</i> SYNAVE (<i>Kamendaka</i>)	202
<i>decellei</i> SYNAVE (<i>Paraphenice</i>)	166	<i>izzardii</i> n. sp. (<i>Kamendaka</i>)	202
<i>dedegwanus</i> n. sp. (<i>Diostrombus</i>) ...	59	K	
<i>demoulini</i> n. sp. (<i>Diostrombus</i>)	48	<i>kivuensis</i> n. sp. (<i>Patara</i>)	156
<i>dilatatus</i> (WESTWOOD) (<i>Diostrombus</i>)	32	<i>kawandana</i> FENNAH (<i>Stenopeggia</i>) ...	82
<i>dissimilis</i> n. sp. (<i>Paraphenice</i>)	168	<i>kordofana</i> n. sp. (<i>Kamendaka</i>)	205
<i>distanti</i> MUIR (<i>Zoraida</i>)	91	L	
<i>distincta</i> n. sp. (<i>Malenia</i>)	138	<i>lactea</i> MÉLICHAR (<i>Malenia</i>)	145
<i>djambensis</i> n. sp. (<i>Diostrombus</i>) ...	46	<i>laertes</i> FENNAH (<i>Diostrombus</i>)	31
E		<i>laestrygon</i> FENNAH (<i>Pamendanga</i>) ...	73
<i>eloeidis</i> MUIR (<i>Lydda</i>)	18	<i>lanius</i> (STÅL) (<i>Diostrombus</i>)	58
<i>eloeidis</i> MUIR (<i>Patara</i>)	157	<i>lineatipes</i> MUIR (<i>Lydda</i>)	17
<i>eshowensis</i> (MUIR) (<i>Malenia</i>)	122	<i>longispina</i> n. sp. (<i>Malenia</i>)	142
<i>evansi</i> DISTANT (<i>Zoraida</i>)	96	<i>lootensi</i> n. sp. (<i>Patara</i>)	152
F		<i>luteus</i> (MUIR) (<i>Diostrombus</i>)	56
<i>fasciolata</i> BOHEMAN (<i>Phenice</i>)	180	M	
<i>flavocostata</i> DISTANT (<i>Zoraida</i>)	93	<i>maculicostata</i> MUIR (<i>Zoraida</i>)	89
<i>fritillaris</i> (BOHEMAN) (<i>Proutista</i>) ...	20	<i>majuscula</i> (DISTANT) (<i>Pamendanga</i>) .	69
<i>fuligipennis</i> MUIR (<i>Zoraida</i>)	111	<i>mayumbensis</i> SYNAVE (<i>Lydda</i>)	13
<i>fusca</i> (MUIR) (<i>Malenia</i>)	119	<i>mbaleensis</i> n. sp. (<i>Paraphenice</i>) ...	172 f. <i>Carpentieri</i> MUIR
G		<i>medleri</i> SYNAVE (<i>Malenia</i>)	130
<i>garambaensis</i> n. sp. (<i>Malenia</i>)	133	<i>miniaceus</i> MUIR (<i>Diostrombus</i>)	45
<i>gillardini</i> n. sp. (<i>Mysidioides</i>)	190	<i>minor</i> MUIR (<i>Kamendaka</i>)	208
<i>gowdei</i> DISTANT (<i>Diostrombus</i>)	40	<i>miserabilis</i> n. sp. (<i>Malenia</i>)	143
<i>grahami</i> MUIR (<i>Pamendanga</i>)	75	<i>mlanjensis</i> MUIR (<i>Pyrrhoneura</i>) ...	184
		<i>moerensis</i> n. sp. (<i>Diostrombus</i>)	63
		<i>Moerstruosa</i> Syn. (<i>Patara</i>)	158 e.

N		Pages.	S		Pages.
<i>natalensis</i> (MUIR) (<i>Malenia</i>)	119	<i>saegeri</i> n. sp. (<i>Diostrombus</i>)	39		
<i>ndelelensis</i> n. sp. (<i>Malenia</i>)	143	<i>saegeri</i> n. sp. (<i>Malenia</i>)	131		
<i>nealei</i> DISTANT (<i>Pamendanga</i>)	72	<i>seydéli</i> n. sp. (<i>Paraphenice</i>)	174		
<i>neavei</i> MUIR (<i>Pamendanga</i>)	77	<i>sibitensis</i> n. sp. (<i>Diostrombus</i>)	55		
<i>neavei</i> MUIR (<i>Paraphenice</i>)	163	<i>sierraleonensis</i> MUIR (<i>Paraphenice</i>) ..	170		
<i>nigeriana</i> SYNAVE (<i>Kamendaka</i>)	200	<i>similis</i> n. sp. (<i>Malenia</i>)	136		
<i>nigeriensis</i> SYNAVE (<i>Patara</i>)	151	<i>similis</i> n. sp. (<i>Kamendaka</i>)	197		
<i>nigra</i> n. sp. (<i>Malenia</i>)	143	<i>simplex</i> n. sp. (<i>Malenia</i>)	141		
<i>nigra</i> n. sp. (<i>Pamendanga</i>)	71	<i>sinuosa</i> (BOHEMAN) (<i>Zoraida</i>)	105		
<i>nigripes</i> (MUIR) (<i>Malenia</i>)	124	<i>soluta</i> n. sp. (<i>Malenia</i>)	140		
<i>nitidus</i> MUIR (<i>Diostrombus</i>)	62	<i>soyerae</i> CHINA (<i>Kamendaka</i>)	212		
<i>njalensis</i> MUIR (<i>Zoraida</i>)	100	<i>squamifer</i> (HESSE) (<i>Paraphenice</i>)	161		
<i>nyasensis</i> DISTANT (<i>Zoraida</i>)	102	<i>straminea</i> MUIR (<i>Kamendaka</i>)	196		
O		<i>stellulata</i> BOHEMAN (<i>Phenice</i>)	179		
<i>obscurus</i> n. sp. (<i>Diostrombus</i>)	29	<i>sudanica</i> n. sp. (<i>Zoraida</i>)	103		
<i>occidentalis</i> MUIR (<i>Helcita</i>)	80	T			
P		<i>tessellata</i> (WESTWOOD) (<i>Proutista</i>) ..	22		
<i>patterjemi</i> MUIR (<i>Robigus</i>)	186 b	<i>tortrinotatus</i> MUIR (<i>Robigus</i>)	185		
<i>pattersoni</i> DISTANT (<i>Zoraida</i>)	106	<i>tropicalis</i> n. sp. (<i>Malenia</i>)	138		
<i>pattersoni</i> MUIR (<i>Patara</i>)	156	<i>trispinosa</i> SYN. (<i>Patara</i>)	158 g.		
<i>picturata</i> DISTANT (<i>Zoraida</i>)	108	U			
<i>pitho</i> (FENNAH) (<i>Malenia</i>)	124	<i>ugandensis</i> MUIR (<i>Kamendaka</i>)	194		
<i>pondolandensis</i> (MUIR) (<i>Malenia</i>) ...	121	<i>ugandensis</i> DISTANT (<i>Zoraida</i>)	88		
<i>proxima</i> n. sp. (<i>Malenia</i>)	142	V			
<i>pseudalbomaculata</i> MUIR (<i>Kamendaka</i>)	215	<i>verschureni</i> n. sp. (<i>Diostrombus</i>) ...	54		
<i>pulchra</i> MUIR (<i>Muiria</i>)	114	<i>verschureni</i> n. sp. (<i>Malenia</i>)	135		
<i>Pseudohancocki</i> MUIR (<i>Diostr.</i>)	158	W			
Q		<i>wahlbergi</i> (STÄL) (<i>Helcita</i>)	78		
<i>quadripinosa</i> SYN. (<i>Patara</i>)	158 c	<i>whitfieldi</i> MUIR (<i>Diostrombus</i>)... ..	51		
<i>quadrinaculata</i> MUIR (<i>Phenice</i>) ...	176	<i>woodi</i> MUIR (<i>Lydda</i>)	11		
<i>quinquspinoza</i> n. sp. (<i>Malenia</i>) ...	136				
R					
<i>radiata</i> SYN. (<i>Patara</i>)	158 f.				
<i>rorida</i> n. sp. (<i>Malenia</i>)	140				
<i>rufus</i> MUIR (<i>Diostrombus</i>)	49				
<i>rutshuruensis</i> n. sp. (<i>Diostrombus</i>) ...	42				